

**APOYO GEOFISICO A LAS INVESTIGACIONES DEL ITGE**

---

**TESTIFICACION GEOFISICA EN EL CAMPO DE DALIAS.**

**Campaña de Abril-96**

## **INDICE**

1.	ANTECEDENTES Y OBJETIVOS .....	1
2.	METODOLOGIA DE TRABAJO .....	4
2.1.	Registros de conductividad y temperatura .....	4
2.1.1.	Calibración de la sonda .....	5
2.1.2.	Medidas de Conductividad y Temperatura .....	10
2.1.3.	Normalización de los valores de conductividad y cálculo de la concentración .....	10
2.2.	Medidas de flujo .....	12
2.2.1.	Antecedentes y descripción del trabajo realizado .....	12
2.2.2.	Calibración de la sonda .....	16
2.2.3.	Medidas sistemáticas de flujo .....	18
3.	DOCUMENTOS DEL ESTUDIO .....	21
3.1.	Ficheros digitales de los registros de temperatura, conductividad, Gamma Natural .....	21
3.1.1.	Ficheros ASCII .....	21
3.1.2.	Ficheros ACL .....	22
3.2.	Registros sobre papel .....	22
3.2.1.	Conductividad, Temperatura, Concentración de CINa y Gamma Natural .....	23
3.2.2.	Registros de flujo .....	24

## **FIGURAS**

- Nº 1. Resistividad de disoluciones de ClNa.
- Nº 2. Calibración de la sonda 800073/G para medidas de conductividad y temperatura.
- Nº 3. Relación entre la resistividad de soluciones de ClNa y la temperatura.
- Nº 4. Morfología de los registros de flujo en diferentes condiciones
- Nº 5. Presentación de las medidas de flujo en forma de registro continuo
- Nº 6. Desviaciones de las velocidades de flujo calculadas con la sonda en movimiento ascendente y descendente

## **ANEXOS.**

- Nº 1. Características técnicas del equipo pro-LOGGER utilizado en las medidas.
- Nº 2. Registros de Conductividad, Temperatura, Concentración y Gamma Natural
  - Nº 3.1) Calibración de la sonda de flujo. Registros en movimiento
  - Nº 3.2.) Calibración de la sonda de flujo. Registros en estático
- Nº 4. Registros de flujo
- Nº 5. Cálculos de flujo as partir de las medidas de la sonda Heat-pulse

## **TABLAS**

- I. Datos de calibración de la sonda Mod. 800073/G.
- II. Resumen de los registros realizados de Conductividad, Temperatura y Gamma Natural
- III. Resumen de los registros de flujo realizados en el Proyecto

## **1. ANTECEDENTES Y OBJETIVOS.**

El presente Informe describe la campaña de testificación geofísica de sondeos realizada en el Campo de Dalías en **Abril-96**. Esta campaña forma parte del conjunto de actuaciones que el INSTITUTO TECNOLOGICO GEOMINERO DE ESPAÑA (ITGE) viene desarrollando en la zona desde hace más de 20 años para el mejor conocimiento de sus recursos de aguas subterráneas, tanto en sus aspectos cuantitativos como cualitativos.

En el «INFORME SOBRE LAS CAMPAÑAS DE TESTIFICACIONES DEL CAMPO DE DALIAS 1989-1992», realizado por el ITGE en 1993, se pone de manifiesto la importancia económica y social de los recursos hidrogeológicos del Campo de Dalías, así como la necesidad de su estudio sistemático mediante las técnicas más precisas para el control de los procesos de contaminación por intrusión marina que se están produciendo en el mismo.

Este estudio sistemático del Campo de Dalías, en lo que respecta a la salinización de los acuíferos requiere:

- a) Disponer de una red de puntos de observación (sondeos) con la profundidad y distribución espacial adecuados.
- b) Realizar en ellos medidas detalladas y precisas de las características físicas y químicas más significativas.
- c) Analizar la evolución temporal de los parámetros hidroquímicos e hidrodinámicos representativos, lo que requiere la repetición periódica de las medidas.

En el Informe del ITGE mencionado con anterioridad se indica textualmente: «En este sentido, los registros geofísicos constituyen una pieza clave, por el grado de precisión alcanzable y la gran cantidad de información que pueden suministrar. Permiten observar variaciones espaciales y temporales del flujo de agua salada y dulce, con gran detalle en cuanto a la profundidad, valores de resistividad, temperatura, etc, dando una visión cualitativa importante de los recursos de los acuíferos, el grado de vulnerabilidad de los mismos, etc».

De acuerdo con este criterio, el ITGE contrató la ejecución de campañas de testificación de sondeos en el Campo de Dalías los años 1989-1990-1991 y 1992. Todas ellas fueron realizadas por la Compañía General de Sondeos (CGS) registrándose la Resistividad del fluido y la Temperatura como parámetros básicos. En algunos sondeos también se obtuvo el registro de Radiación Gamma Natural.

Los trabajos descritos en este Informe son continuidad y consecuencia de las campañas de testificación previamente realizadas y tienen los mismos objetivos. El trabajo en este caso ha sido efectuado para el ITGE por INTERNATIONAL GEOPHYSICAL TECHNOLOGY, S.A. (IGT) como empresa adjudicataria del Proyecto «APOYO GEOFISICO A LAS INVESTIGACIONES DEL ITGE» y constituye la tercera campaña realizada en el curso del Proyecto mencionado. La primera se llevó a cabo por IGT en Julio-94 y la segunda en Noviembre-95..

La toma de datos en campo se efectuó en el periodo del 17 de Abril al 1 de Mayo de 1.996, siendo el resumen estadístico de la misma el que indicamos a continuación:

- Registros de temperatura, conductividad y gamma natural: **3753 metros** en 37 sondeos.
- Registros de flujo:
  - a) Calibración de la sonda:
    - a.1) Medidas con la sonda en movimiento ascendente y descendente a distintas velocidades en un sondeo sin flujo
      - Ascenso: 20 medidas
      - Descenso: 21 medidas
    - a.2.) Medidas con la sonda introducida en un recipiente con agua: 17 medidas

- b) Registros en sondeos: 168 medidas, con repeticiones sistemáticas, a lo largo de 1307 metros en 11 sondeos

Para la ejecución de los registros IGT ha utilizado un equipo Pro-LOGGER fabricado por ROBERTSON GEOLOGGING LTD. Las características técnicas de este equipo se detallan en el **ANEXO 1.** de este informe.

## **2. METODOLOGIA DE TRABAJO.**

### **2.1. REGISTROS DE CONDUCTIVIDAD Y TEMPERATURA.**

En lo que respecta al objetivo principal de la campaña que es obtener información cuantitativa de la salinidad del agua de los sondeos a partir de los registros geofísicos, es de fundamental importancia la obtención de medidas precisas de Conductividad y Temperatura.

Las variaciones en la conductividad de un fluido están relacionadas con su contenido en sales disueltas y con su temperatura sin que tal relación pueda expresarse mediante una ecuación universalmente aceptada, sino mediante gráficos o tablas obtenidos de forma empírica. Estos gráficos son específicos de cada sistema de medida y por ello la primera fase del estudio ha consistido en su obtención mediante la calibración de las sondas, utilizando disoluciones patrón de concentración conocida.

Una vez obtenidos tales gráficos de calibración puede determinarse fielmente la concentración de la disolución a partir de sus valores de conductividad, para una cierta temperatura. Cuando se trata de calcular la concentración para un número muy elevado de datos, como es nuestro caso, la utilización manual de ábacos o tablas resulta inviable y por ello tales cálculos se realizan mediante programas específicos, aplicando expresiones matemáticas obtenidas de los datos experimentales.

Finalmente es importante para los objetivos del estudio poder analizar la evolución temporal de la salinidad, lo que requiere la comparación de datos homogéneos. En consecuencia los cálculos de la concentración han de efectuarse para una temperatura constante para todos los sondeos. Se ha elegido el valor de 25°C por ser éste el utilizado en la normalización de los valores de Resistividad de todas las campañas previamente realizadas.

De acuerdo con las ideas anteriores las etapas significativas de esta campaña de testificación geofísica han sido las siguientes:

- a) Calibración de las herramientas de medida
- b) Realización de las medidas propiamente dichas
- c) Normalización de los registros de conductividad para una temperatura de 25° C y cálculo de los correspondientes valores de concentración de sales disueltas, expresados en gramos de soluto por litro de disolvente, para soluciones equivalentes de ClNa.

#### 2.1.1. Calibración de la sonda.

Previamente al inicio de los registros en los sondeos de las campañas de Julio-94 y Noviembre-95 y como paso previo para la aceptación del equipo de medida por parte del ITGE se realizó la calibración de la sonda modelo 800073/G fabricada por ROBERTSON GEOLOGGING, propuesta por IGT para este trabajo.

La calibración se llevó a cabo empleando las disoluciones patrón preparadas por el ITGE y en presencia de sus técnicos. Las disoluciones patrón de ClNa tenían las concentraciones que se detallan a continuación: 0'5, 1, 2'5, 3,4,5,7,10,12,15,20 y 30 g/l.

Durante las medidas con cada una de las disoluciones patrón se contrastaron los valores de temperatura y conductividad proporcionados por la sonda 800073/G mediante dos termómetros independientes y un conductivímetro portátil.

Igual procedimiento se siguió para la nueva calibración al inicio de la campaña de Abril-96 que se describe en este Informe.

Los datos obtenidos durante la calibración son los que se indican en la **TABLA I**, junto con los de conductividad calculados para 25°C y los teóricos correspondientes a las disoluciones patrón a la misma temperatura.

Por su parte los valores teóricos de conductividad correspondientes a las disoluciones patrón a 25°C se han tomado del gráfico LOG INTERPRETATION CHARTS de Schlumberger donde se representan las variaciones de resistividad de disoluciones de ClNa en función de la concentración y de la temperatura (**Figura 1**)

**TABLA I.**

**CALIBRACION DE LA SONDA mod. 800073/G**

Conc. g/l	Cond. medida ( mS/cm)	Temp. medida (°C)	Cond. calculada a 28°C (mS/cm)	Cond. Teórica 25°C (mS/cm)
0'5	1.04	21.9	1.21	1
1	1.95	22.3	20.7	1.92
1'25	2.3	21.8	2.47	2.5
2'5	4.5	22.2	5.21	4.54
3	5.33	22.4	5.77	5.55
4	6.9	21.25	7.505	7.25
5	8.58	21.0	9.39	9.1
7	11.875	21.5	12.84	12.50
10	16.5	21.1	18.0	17.54
12	19.7	21.25	21.43	20.83
15	24.2	22.5	26.17	25.7
20	32	22.3	33.97	33.33
30	45	21.9	48.21	47.61

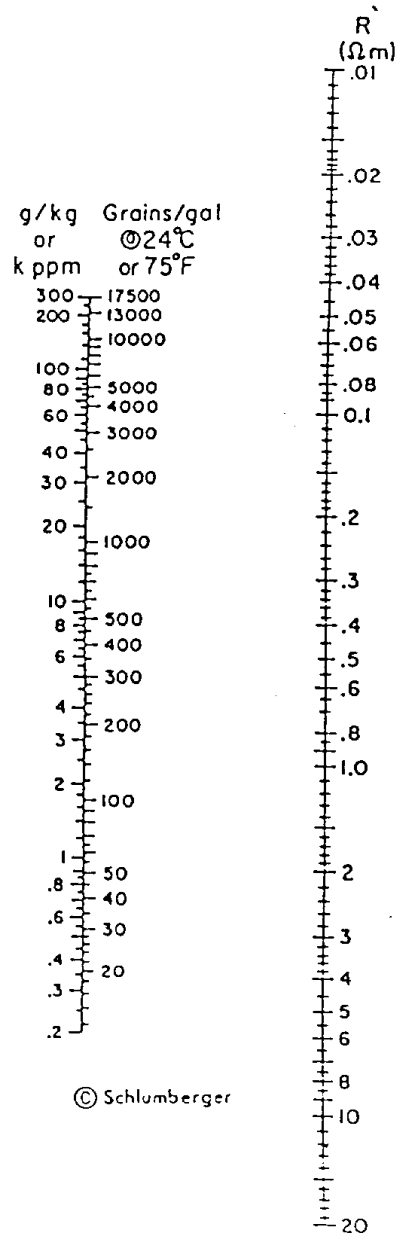
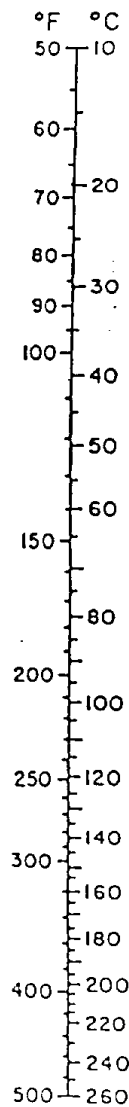


FIGURA 1. Resistividad de soluciones de Cl<sub>Na</sub>  
(según LOG INTERPRETATION CHARTS de Schlumberger)

Con los valores de conductividad en mS/cm a 25°C y los de concentración en g/l se ha construido el gráfico de la **Figura 2**, en el que se han incluido también los valores teóricos de conductividad a 25°C para las disoluciones patrón utilizadas.

De este modo se puede comprobar la bondad de las medidas de la sonda 800073/G, del equipo pro-LOGGER. Al objeto de mostrar la estabilidad de las medidas de esta sonda hemos incluido en la citada figura los gráficos resultantes de las tres calibraciones realizadas al inicio de las campañas de Julio-94, Noviembre-95 y Abril-96. Puede comprobarse que los resultados son prácticamente idénticos en los tres casos.

Sin embargo en la última calibración se aprecia un ligero aumento de los valores de conductividad calculada para concentraciones más altas lo que puede ser debido a discrepancias en la concentración real de las disoluciones

A partir de este gráfico se ha deducido la expresión matemática a aplicar para el cálculo sistemático de la concentración en g/l a partir de las medidas de conductividad obtenidas por el equipo pro-LOGGER y normalizadas a 25°C. Esta expresión ha resultado ser la siguiente:

$$Y = 0'451461 * X ^ 1'082545$$

donde:

Y es la concentración en g/l a 25°C

X es la conductividad en mS/cm a 25°C

^ indica «elevado a»

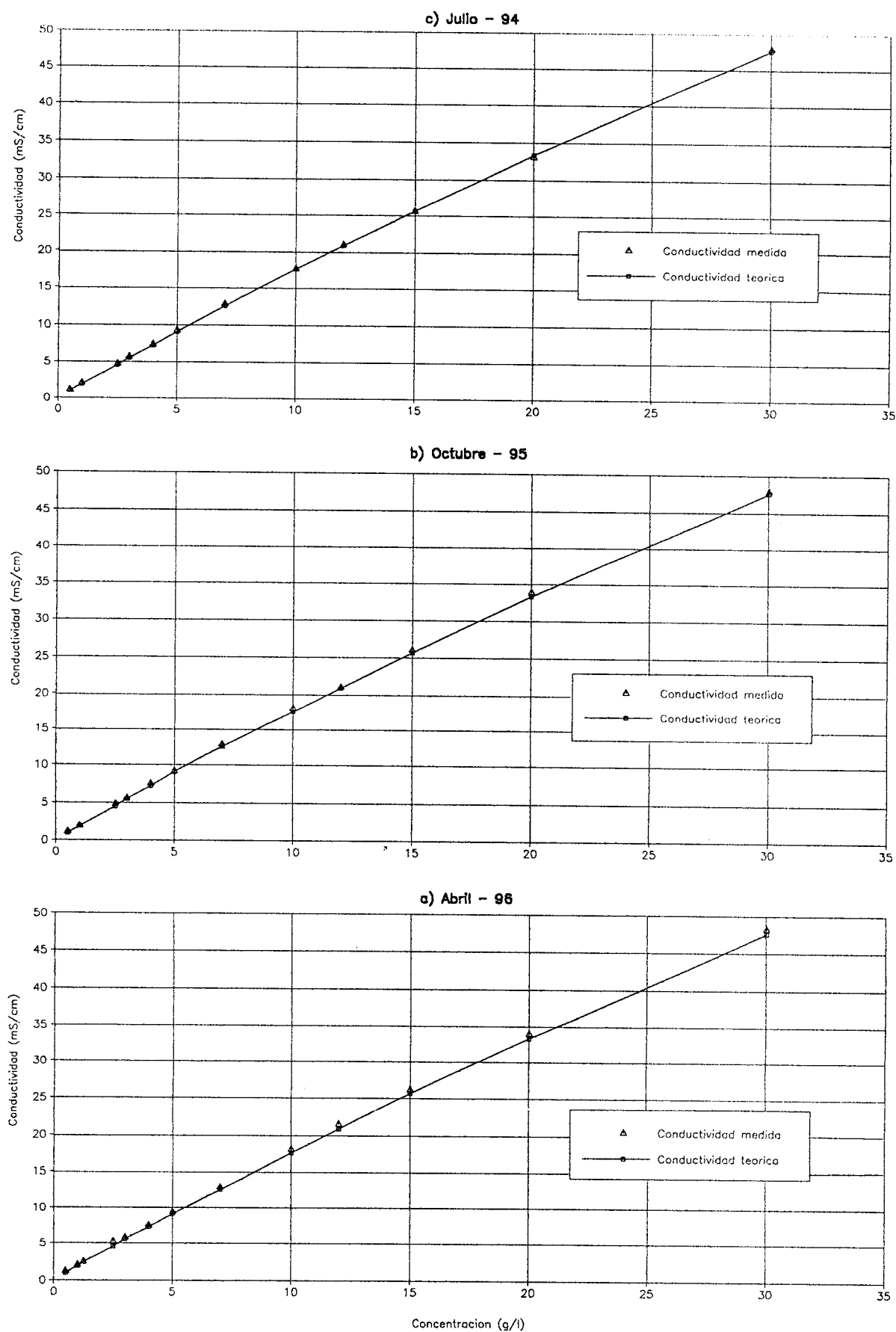


Figura 2.- Calibraciones de la sonda 80073/G

### 2.1.2. Medidas de Conductividad y Temperatura.

Una vez aceptado el equipo de medida por el ITGE en base a los resultados de su calibración se procedió al registro sistemático de los sondeos, según las indicaciones del ITGE en lo que respecta a los tramos a testificar en cada caso.

Durante esta fase del estudio se realizó la comprobación sistemática del correcto funcionamiento del equipo midiendo al inicio o final de cada registro la conductividad y temperatura de disoluciones patrón preparadas por el ITGE.

Las medidas de conductividad y temperatura de los sondeos se realizaron durante el descenso de la sonda, registrándose también la Radiación Gamma Natural.

Durante la ejecución de las medidas se obtuvo un registro analógico sobre papel que se entregó a los representantes del ITGE a la finalización de cada sondeo, a la vez que un fichero digital sobre soporte magnético. El operador controló el proceso de medida a través de la inspección visual de los datos registrados en la pantalla del equipo pro-LOGGER.

En la **TABLA II** presentamos un resumen estadístico de los sondeos medidos con indicación del tramo registrado en cada caso y con la nomenclatura de los correspondientes ficheros ASCII y ACL.

### 2.1.3. Normalización de los valores de conductividad y cálculo de la concentración.

Para el cálculo de los valores de conductividad a 25°C a partir de los valores medidos por la sonda 800073/G se ha aplicado la expresión:

$$C_{25} = C_t [46'5/(t+21'5)] \quad (A)$$

en la que  $C_t$  es la conductividad medida por la sonda a la temperatura  $t$ .

Esta fórmula es la transformación, para operar con unidades de conductividad, de la expresión:

$$R_t = R_x [(T_x+21'5)/(T_t+21'5)] \quad (B)$$

TABLA II.

Resumen de los registros de Conductividad, Temperatura y Gamma Natural.

Campaña de Abril 96

Sondeo	Tramo testificado (m)	Longitud (m)	Fichero ACL	Fichero ASCII
259Rm(A3)	107-117	7	RG3259RM	259RM-* .RG3
261Rm(A4)	2-117	115	RG3261RM	261RM-* .RG3
260Rm(A5)	11-18	7	RG3260RM	260RM-* .RG3
263Rm(A8)	117-245	123	RG3263RM	263RM-* .RG3
264Rm(A9)	63-370	307	RG3264RM	264RM-* .RG3
265Rm(A10)	50-516	466	RG3265RM	265RM-* .RG3
266Rm(A11)	70-380	310	RG3266RM	266RM-* .RG3
477Bj(B5)	27-118	91	RG3477BJ	277BJ-* .RG3
254Rm(M)	16-65	49	RG3254RM	254RM-* .RG3
152Vc(N)	38-94	56	RG3152VC	152VC-* .RG3
224Rm	49-158	109	RG3224Rm	224Rm-* .RG3
227Rm	50-149	99	RG3227Rm	227Rm-* .RG3
234Rm	48-160	112	RG3234Rm	234Rm-* .RG3
240Rm	102-117	15	RG3240Rm	240Rm-* .RG3
244Rm	46-137	91	RG3244Rm	244Rm-* .RG3
252Rm	149-263	114	RG3252Rm	252Rm-* .RG3
253Rm	148-233	85	RG3253Rm	253Rm-* .RG3
14Vc	91-201	110	RG314Vc	14Vc-* .RG3
36Vc	67-114	47	RG336Vc	36Vc-* .RG3
39Vc	68-108	40	RG339Vc	39Vc-* .RG3
40Vc	68-157	89	RG340Vc	40Vc-* .RG3
41Vc	67-115	48	RG341Vc	41Vc-* .RG3
42Vc	66-115	49	RG342Vc	42Vc-* .RG3
43Vc	66-197	131	RG343Vc	43Vc-* .RG3
44Vc	67-132	56	RG344Vc	44Vc-* .RG3
46Vc	67-140	73	RG346Vc	46Vc-* .RG3
47Vc	66-97	31	RG347Vc	47Vc-* .RG3
50Vc	65-96	31	RG350Vc	50Vc-* .RG3
53Vc	60-104	44	RG353Vc	53Vc-* .RG3
54Vc	60-105	45	RG354Vc	54Vc-* .RG3
56Vc	60-104	44	RG356Vc	56Vc-* .RG3
59Vc	58-83	25	RG359Vc	59Vc-* .RG3
117Vc	140-355	215	RG3117Vc	117Vc-* .RG3
458Bj	69-103	34	RG3458Bj	458Bj-* .RG3
485Bj	76-327	251	RG3485Bj	485Bj-* .RG3
486Bj	105-196	91	RG3486Bj	486Bj-* .RG3
508Bj	85-228	143	RG3508Bj	508Bj-* .RG3
SUMA		3753 m		

publicada en los FUNDAMENTOS DE LOG INTERPRETATION CHARTS de Schlumberger (**Figura 3**). Mediante la expresión (A) se puede calcular la conductividad de una disolución de CINa a 25°C a partir de la conductividad ( $C_i$ ) y temperatura ( $t$ ) conocidas.

El cálculo de la concentración en g/l de CINa a partir de los valores de Conductividad normalizados a 25°C se ha efectuado de forma automática por aplicación de la expresión obtenida por ajuste numérico a los datos de la Calibración de la sonda empleada en las medidas.

$$\text{Concentración (g/l)} = 0'451461 \cdot \text{Conductividad (mS/cm) a 25°C elevada a } 1'082545$$

## 2.2. MEDIDAS DE FLUJO.

### 2.2.1. Antecedentes y descripción del trabajo realizado.

Para la ejecución de las medidas de flujo se utilizó una sonda del tipo «Heat pulse» fabricada por ROBERTSON GEOLOGGING LTD.

La elección de esta sonda vino condicionada por las medidas de flujo realizadas en la campaña de Julio-94. En esta campaña se constató que la mayor parte de los flujos presentes en los sondeos no podían ser detectados con una sonda del tipo «impeller» o micromolinete por estar por debajo del rango de medida de esta sonda.

Dado que la sonda de flujo tipo «heat pulse» tiene un rango de operación para flujos débiles (entre 0.1 y 3 m/min) se decidió utilizar esta sonda en la campaña de Abril-96. El modo de operación de esta sonda a diferencia de la del tipo «impeller» es en estático, es decir que las medidas tienen carácter puntual y se efectúan manteniendo la sonda quieta.

La sonda «heat pulse» consta de una resistencia en forma de rejilla y dos sensores de temperatura situados a ambos lados de la resistencia y separados por una distancia conocida (5 cm). Si esta resistencia se calienta de forma instantánea, se calentará a su vez una lámina de agua, que al desplazarse, en presencia de flujo en el sondeo hará que las lecturas de

Conversion approximated by:  $R_2 = R_1 \cdot [(T_1 + 6.77)/(T_2 + 6.77)]^{\circ}\text{F}$  or  $R_2 = R_1 \cdot [(T_1 + 21.5)/(T_2 + 21.5)]^{\circ}\text{C}$

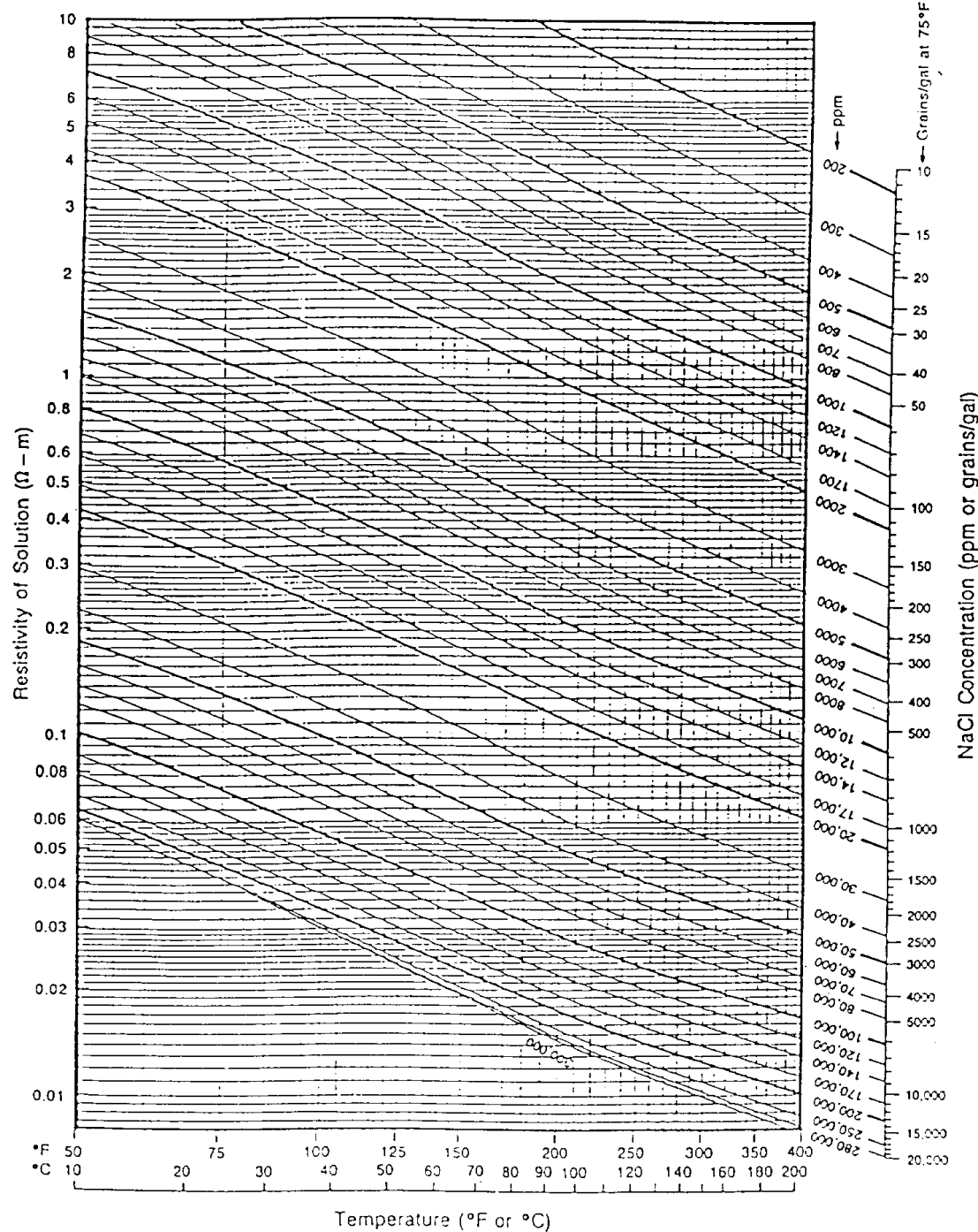


FIGURA 3. Resistividad de soluciones de ClNa  
(según LOG INTERPRETATION CHARTS de Schlumberger)

temperatura en los sensores manifiesten un cambio brusco a la llegada de la lámina de agua más caliente a uno de los sensores.

De esta forma puede determinarse la velocidad del flujo sabiendo el tiempo que tarda en llegar la lámina de agua caliente desde la rejilla a los sensores y teniendo en cuenta que la separación entre ellos es 5 cm.

$$V_{\text{flujo}} = d/t_p$$

d: 5 cm

$t_p$ : tiempo en seg.

Esta sonda proporciona un registro expresado en c.p.s, directamente relacionado con la diferencia de temperatura (DT) entre los dos sensores. Previamente a la ejecución de cada medida se debe realizar una compensación entre los dos sensores. Con esto se consigue que las medidas partan siempre del mismo valor en c.p.s y se mantengan dentro del mismo rango para así poder ser comparables unas medidas con otras.

Los registros que se obtienen representan la variación de temperatura respecto al tiempo (100 segundos máximo). En presencia de flujo se observa un cambio brusco en las lecturas DT. Puesto que los sensores están situados a ambos lados de la fuente de calor, puede determinarse el sentido ascendente o descendente del flujo si estas diferencias de temperatura son positivas o negativas, según se muestran en la **Figura 4**.

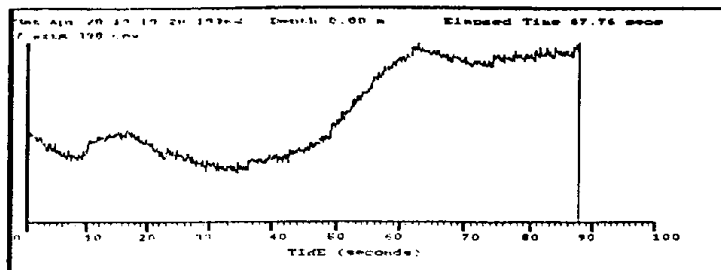
Como se pone de manifiesto en la **Figura 4** las lecturas realizadas en ausencia de flujo muestran una variación de temperatura que se debe a la transmisión del calor por convección, a diferencia de las lecturas en presencia de flujo, en los que la variación de temperatura se debe a la transmisión de calor por difusión.

Asimismo, se observa que el sentido del incremento en las lecturas varía de la siguiente forma:

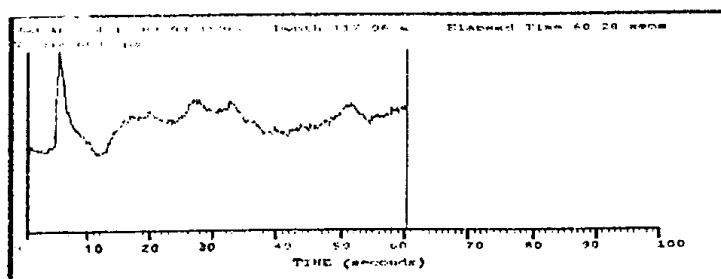
Flujo ascendente.- Incremento negativo («pico» hacia abajo)

Flujo descendente.- Incremento positivo («pico» hacia arriba)

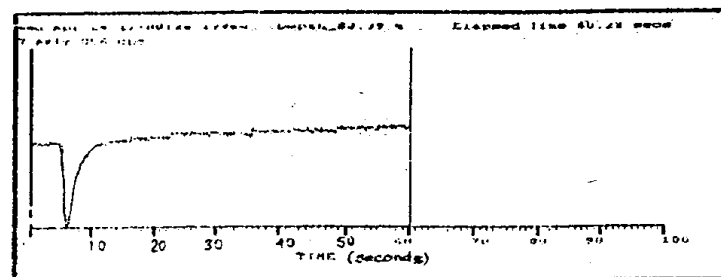
En algunos casos se realizó el registro utilizando otro tipo de programa para presentación de los datos, aunque el contenido del registro es idéntico. Esta



Sin flujo



Flujo descendente



Flujo ascendente

Figura 4.- Morfología de los registros de flujo en diferentes condiciones

presentación tiene la peculiaridad de poderse observar las diferencias de temperatura de forma continua y la ventaja de poder manipular la escala de DT. Sin embargo la escala de tiempos es de difícil lectura puesto que solo aparecen marcas cada minuto. En la **Figura 5** se muestra un ejemplo de este tipo de presentación.

#### 2.2.2. Calibración de la sonda.

Al objeto de evaluar la precisión y significado de los registros se realizó una calibración de la sonda de la forma que a continuación se detalla. Para realizar las pruebas se eligió el sondeo 264 Rm (A9), en el que se sabe con certeza que hay ausencia de flujo. Al no existir flujo en el sondeo es posible simularlo realizando medidas con la sonda en movimiento. Obtendremos un flujo ascendente con una velocidad determinada si se realiza el registro con la sonda bajando a esa velocidad.

De igual forma se puede simular un flujo descendente registrando con la sonda en ascenso. Los resultados que se obtuvieron se recogen en el **ANEXO 3.1)**

Los registros realizados en descenso (flujo ascendente) muestran como característica común la presencia de un cambio brusco en las lecturas de DT. El sentido de este incremento es siempre negativo o «hacia abajo». Si aplicamos la relación (1) en cada medida realizada se obtiene con gran aproximación el valor de velocidad a la que se bajó la sonda.

Los registros realizados en ascenso (flujo descendente) presentan un incremento de DT con valor positivo «hacia arriba». Si calculamos para cada medida la velocidad de flujo que se obtendría, mediante la relación (1) se observa que la velocidad calculada es inferior a la velocidad real, lo cual debe ser tenido en cuenta a la hora de interpretar los resultados. En la **Figura 6** se muestran las desviaciones de las velocidades calculadas respecto a las teóricas.

También se realizaron una serie de medidas en un recipiente con agua con el fin de determinar la respuesta de la sonda en ausencia de flujo, los resultados de esta prueba se muestran en el **ANEXO 3.2).**

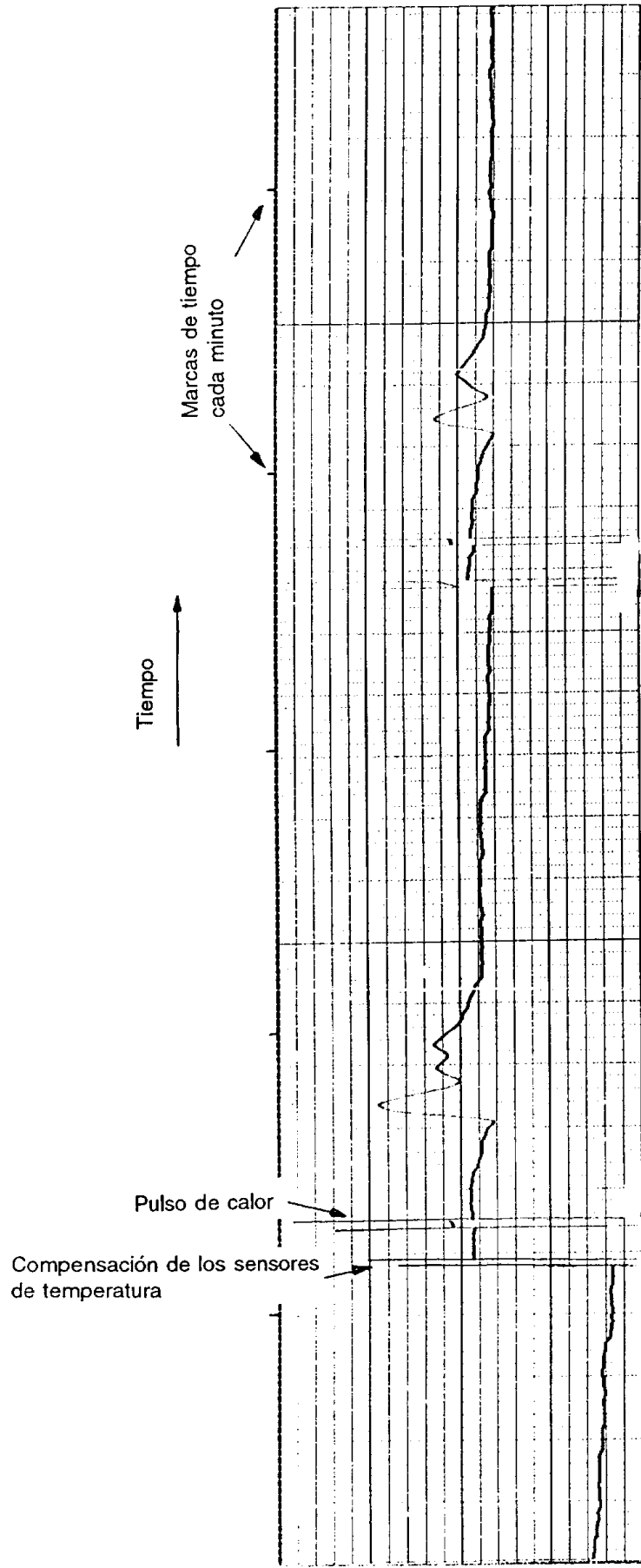


Figura 5.- Presentación de las medidas de flujo en forma de registro continuo

Flujo descendente (sonda en ascenso)		Flujo ascendente (sonda en descenso)	
V. real (m/min)	V. calc (m/min)	V. real (m/min)	V. calc. (m/min)
3	1,2	3	3
3	1	3	3
3,1	1,2	2	2
2,1	0,7	2	1,7
2,1	0,5	1,5	1
1,5	0,5	1,5	1
1,5	0,6	0,94	0,6
0,92	0,3	0,94	0,75
0,92	0,375	0,5	0,33
0,5	0,214	0,51	0,35
0,5	0,25	0,27	0,21
0,3	0,17	0,27	0,23
0,3	0,17	0,21	0,25
0,19	0,12	0,23	0,27
0,19	0,12	0,12	0,176
0,11	0,11	0,13	0,2
0,11	0,09	0,09	0,17
0,11	0,09	0,09	0,17
0,11	0,086	0,1	0,156
0,06	0,079	0,11	0,17
0,08	0,09		

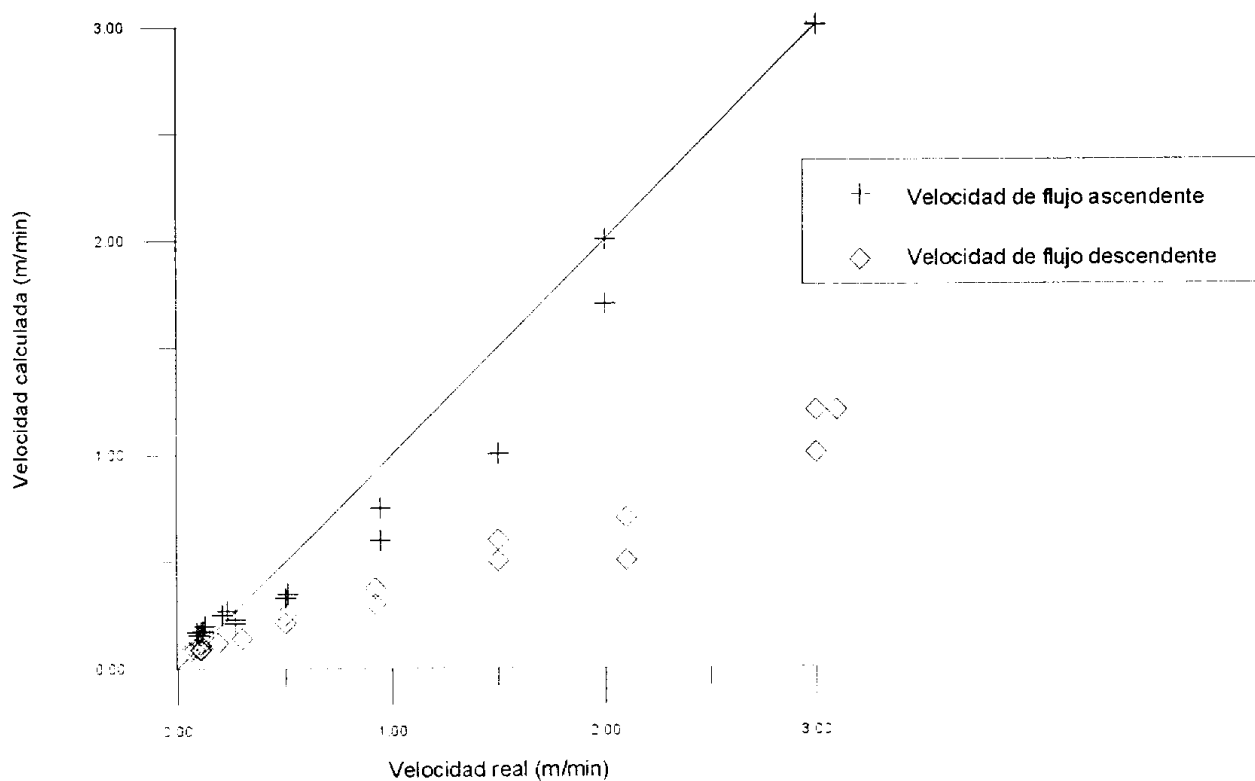


Figura 6.- Desviaciones de las velocidades de flujo calculadas con la sonda en movimiento ascendente y descendente

### **2.2.3. Medidas sistemáticas de flujo.**

Estas medidas se efectuaron en los sondeos que nos fueron indicados y a las profundidades que previamente fueron seleccionadas por el ITGE. Los registros se realizaron en modo estático y se repitieron tantas veces como se consideró necesario hasta obtener una medida lo suficientemente fiable.

En varios sondeos se operó con centradores adecuados al diámetro del entubado, en los tramos donde no existían estrechamientos o cambios del mismo.

La **TABLA III** resume los registros de flujo incluidos en este Informe. Los resultados obtenidos se recogen en el **ANEXO 4**.

TABLA III

Sonda Heat pulse					Sonda normal	
Sondeo	Tiempo (min.)	Lecturas	Tramo (m)	metros registr.	metros registr.	Tiempo (min)
186 Bj	130	41	110-186	76	91 metros	25
265 Rm	345	51	54-508	454	466 metros	105
224 Rm	125	25	58-155	97	109 metros	25
234 Rm	165	23	52-158	106	112 metros	30
227 Rm	90	11	58-130	72	99 metros	55
40 Vc	110	33	76-154	78	89 metros	25
252 Rm	50	12	156-171.8	15.8	114 metros	30
43 Vc	195	45	74-162	88	131 metros	35
253 Rm	130	36	152-224	72	85 metros	22
185 Bj	175	37	122-281	160	251 metros	62
508 Bj	132	38	96-220	124	143 metros	35
11 sondeos	1.647 minutos		352	1.343.8	1.690 metros	449

### **3. DOCUMENTOS DEL ESTUDIO.**

El conjunto de datos obtenidos en esta campaña de testificación de sondeos se ha entregado al ITGE mediante dos tipos de documentos, de acuerdo con las especificaciones establecidas por este Organismo.

- a) Ficheros digitales
- b) Registros analógicos sobre papel.

#### **3.1. FICHEROS DIGITALES DE LOS REGISTROS DE CONDUCTIVIDAD, TEMPERATURA Y GAMMA NATURAL.**

##### **3.1.1 Ficheros ASCII.**

Para cada sondeo se entregó un fichero ASCII de cada parámetro registrado, con la información:

- Z .- Profundidad del punto de medida
- V.- Valor del parámetro leído, o calculado, a esa cota.

La nomenclatura de cada uno de estos ficheros es del tipo:  
nombre/clave.extension.

- Nombre. Es el nombre completo del sondeo según la identificación dada por el ITGE.
- Clave. Se refiere al parámetro medido o calculado a partir de los registros, según la relación siguiente:

- \* Conductividad medida --- CM
  - \* Temperatura --- TE
  - \* Conductividad a 25°C --- C5
  - \* Concentración de Cl<sub>Na</sub> --- NA
  - \* Gamma Natural --- GN
- Extensión. RGx, donde x es el número ordinal de la campaña realizada con el equipo pro-LOGGER. 3 para la actual.

### 3.1.2 Ficheros ACL.

También se entregaron los datos en ficheros ACL con la nomenclatura siguiente:

- Fichero de cabecera: RGx/nombre.HDR
- Ficheros asociados: RGx/nombre.extensión.

En este caso RGx tiene el mismo significado que la extensión de los ficheros ASCII (número de orden de la campaña realizada con el equipo pro-LOGGER).

- Nombre. Es el nombre del sondeo
- Extensión: Se estableció de acuerdo con el código que relacionamos a continuación:

- \* Conductividad medida --- 1
- \* Temperatura --- 2
- \* Conductividad a 25°C --- 3
- \* Concentración de Cl<sub>Na</sub> --- 4
- \* Gamma Natural --- 5

### 3.2. REGISTROS SOBRE PAPEL.

Se han producido mediante impresora en hojas tamaño DIN-A4 e incluyen la información que se detalla a continuación.

3.2.1 Conductividad, Temperatura, Concentración de Cl<sub>Na</sub> y Gamma Natural.  
**(ANEXO 2).**

En su cabecera se incluye toda la información relativa a la localización del sondeo y descripción de los registros realizados.

Localización:

Sondeo  
Localidad  
Provincia  
Coordenadas UTM  
Cota  
Datum del registro.

Descripción de la operación:

Fecha  
Hora  
Tramo testificado  
Profundidad perforada  
Nivel del agua  
Temperatura ambiente  
Tiempo de registro  
Velocidad de desplazamiento de la sonda.

Identificación del equipo:

Equipo  
Sonda  
Consultor

Datos de identificación de los ficheros digitales:

Nombre de los ficheros ASCII y ACL.

Para cada sondeo se representan en cuatro campos los siguientes datos:

- \* Conductividad medida (mS/cm)
- \* Temperatura (°C)
- \* Concentración de Cl<sub>Na</sub> (g/l) calculada a 25°C
- \* Gamma Natural (c.p.s.)

Por ser los sondeos y los tramos registrados de longitud variable no ha podido mantenerse la misma escala vertical para todos los gráficos.

De manera análoga la escala horizontal de cada parámetro representado se ha adaptado al rango de variación de sus valores para hacer más fácilmente visibles los aspectos significativos de cada registro.

### 3.2.2. Registros de flujo. ANEXO 4.

Para cada sondeo se indica la fecha de ejecución, el tiempo invertido en las medidas y la profundidad a la que se realizaron cada uno de los registros.

En la mayor parte de los sondeos se ha utilizado la representación en forma de "ventana", que ya se describió en el epígrafe 2.2.1. En algunos se representa de forma continua, con las características descritas en el mismo epígrafe.

Madrid, Abril -96  
INTERNATIONAL GEOPHYSICAL TECHNOLOGY, S.A.



Fdo.: José Carlos CAMBERO  
Ingeniero de Minas



Fdo.: Ángel GRANDA  
Ingeniero de Minas

## **A N E X O 1**

**Características técnicas del equipo pro-LOGGER  
utilizado en las medidas**

# RG PRO-LOGGER



## FEATURES

CPU:	Intel 32-bit 25MHz with coprocessor
Memory:	1 MByte RAM expandable to 4 MBytes
HDD Disk:	54KB ROM
Floppy Disk:	40M Bytes
Ports:	3.5" 1.44 MByte
Internal screen:	PC/AT format, serial port, parallel port, RS232, IEEE488, 1024x768 resolution
Keyboard:	10" (25cm) VGA colour
Joystick:	Built-in full size, 101 key, sealed to IP65
Internal printer:	Infrared
Display:	High-speed thermal printer [0.0mm width], built-in, infrared printer, parallel port, serial parallel ports
Telemetry:	Serial, current probe voltage & current, selection of differential tension, main voltage, temperature and current conditions on single or multiconductor cable
Probe power:	100VDC, 2A max output
Compatibility:	RS232C, IEEE488, PC, pocket, directly without additional I/O modules. Analogue interface (optional) available to support probes from other manufacturers
Operating System:	MS-DOS (optional)
Software:	PC/2 Log data acquisition package

The latest addition to the RG range of digital borehole logging systems, the RG pro-LOGGER, represents the ultimate in currently available professional logging technology.

Designed around a fast 32-bit processor and the MS-DOS\* operating system, the RG pro-LOGGER undertakes tasks from basic log data acquisition to sophisticated applications such as dipmeter and televiewer processing with ease at the wellsite.

The unit is equipped with an unequalled range of built-in peripherals including a 10" colour vdu for realtime display of log curves, a high-speed integral plotter for immediate hardcopy in the field, a fullsize 101-key keyboard and joystick, and displays including depth, tension / differential tension, speed and operating voltages. Naturally, features such as hard and floppy disks, serial and Centronics ports for external devices are standard equipment.

The RG pro-LOGGER like its smaller brother, the proven PORTALOG 2, is designed for the toughest field conditions and has been rigorously tested on RG's own international service operations. Closed circulation cooling, a sealed keyboard and an outer case proofed to IP65 ensure reliability under all climatic conditions. The power requirement is 110/220VAC from a generator, mains or rig supply.

The RG pro-LOGGER supports the full range of multifunctioned RG digital slimhole sonde combinations designed for coal, water, mineral and geotechnical applications. Up to six log measurements can be acquired during a single trip into a well and no additional surface modules are required for most probes.

In addition, the system can be supplied with pulse and analogue channels to allow use of many probes purchased previously from other manufacturers.

Software for log data acquisition, calibration and replay is supplied with every RG pro-LOGGER system and simple menu-prompted commands make operation simple for even the inexperienced logging operator. A wide choice of software for log processing, interpretation and presentation is also available.

## SALES INFORMATION

01 003 000	RG LOGOEP software system
01 003 001	Acquisition interface:

RG LOGOEP

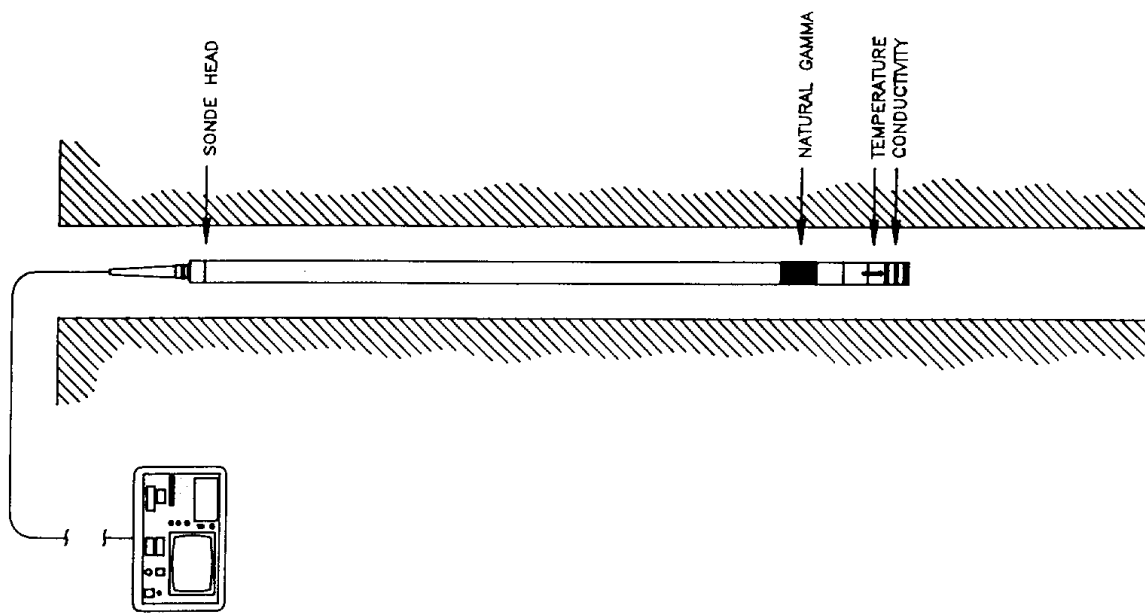
RG LOGOEP

# TEMPERATURE/CONDUCTIVITY PROBE

This probe combination provides continuous depth-based measurements of temperature and conductivity. Both parameters can be output in absolute and in differential forms. An optional natural gamma detector is available for correlation purpose.

The measurement sensors are located in an insulated housing at the base of the sonde. During logging, borehole fluid flows freely through ports on the side and base of this housing and over the sensors. The temperature measurement uses a high sensitivity semiconductor transducer. The conductivity cell comprises three carbon contact rings driven by a constant voltage source of alternating polarity to avoid cell polarisation effects.

The probe should be calibrated periodically at base using a constant temperature bath and standard KCl conductivity solutions. No field calibration is required for this probe.



## MEASUREMENTS:

Depth	Derived
Absolute Temperature	Differential Temperature
Fluid Conductivity	Differential Conductivity
Natural Gamma [optional]	

## APPLICATIONS:

- Fluid salinity / location of zones of different water quality
- Identification of zones of infiltration/suffusion
- In-situ temperature profile
- Fluid level determination
- Location of cement grout band and casing
- Temperature compensation of other logs

## OPERATING CONDITIONS:

- Hole depth: 2000m
- Hole diameter: min. 4.5mm
- Borehole type: open/cased hole; water filled
- Centralisation: none
- Logging speed: 4 to 6m/min
- In normal operating conditions, the probe will be left in the borehole during a log run and allowed to stand for 24 hours to reach equilibrium, after which the log is recorded downwards while running into the hole to minimise fluid disturbance.

## SPECIFICATIONS:

Diameter:	38mm
Length:	2.44m
Weight:	7.7kg
Temperature:	-70°C [option 125°C]
Pressure:	3000 psi [option 5000psi]
Temperature range:	0 to 70 °C
accuracy:	+/- 0.5 °C
differential:	Temperature gradient over 1 metre
Conductivity Range:	50 to 50,000 $\mu\text{S}/\text{cm}$
accuracy:	+/- 2.5% at 500 $\mu\text{S}/\text{cm}$
differential:	Conductivity gradient over 1 metre
Natural Gamma detector:	Nal(Tl) scintillation crystal
size:	50mm x 25mm [larger sizes available]
dead time:	4 $\mu\text{secs}$

## SALES INFORMATION:

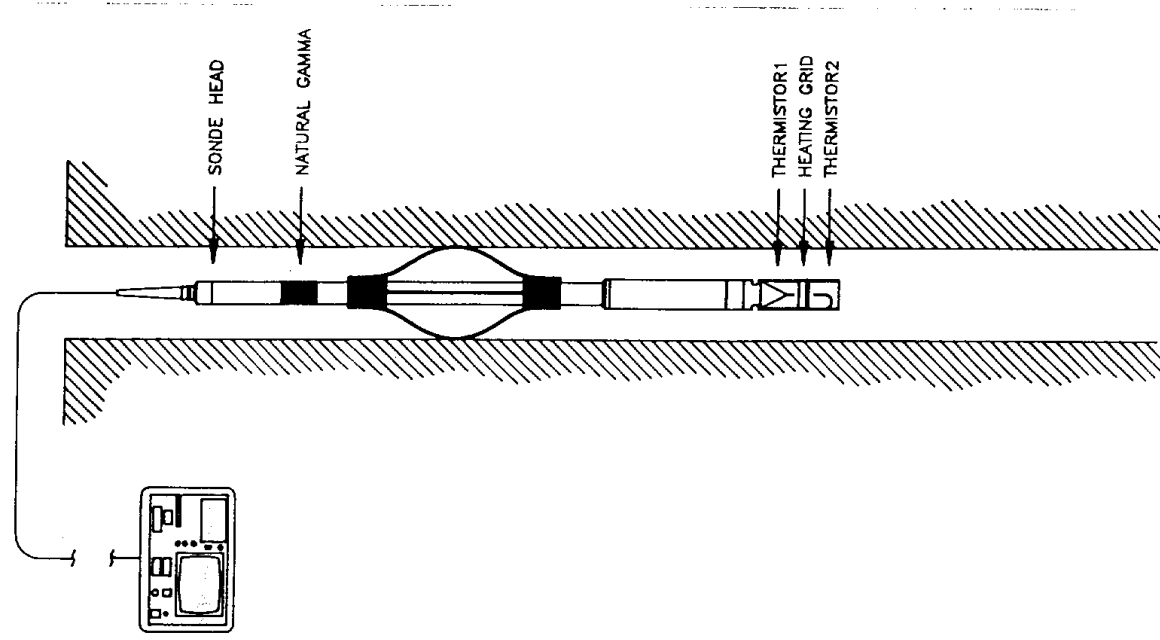
Probe:	25 040 000	Temperature/Conductivity probe
Accessories:	25047 000	- includes Natural Gamma
	20 072 000	Natural Gamma calibrator without source
	30 010 000	100 $\mu\text{Ci}$ $^{137}\text{Cs}$ source for Natural Gamma calibrator

# HEAT PULSE FLOWMETER PROBE

The heat pulse flowmeter probe is designed for use with low flow rates which are below the threshold limit of conventional impeller tools. The sonde contains a horizontal wire grid heating element with thermistors above and below it. Apertures in the tool permit the free flow of well fluid through the assembly.

Pulses of electric current are applied to the heating grid under surface command, warming fluid in the vicinity of the grid. The warm fluid front migrates towards the thermistors where it is detected. Depending on the direction of flow, either upper or lower thermistor detects the warm fluid front first. The time taken to reach the detector gives an indication of flowrate. The thermistors are arranged differentially and the direction of deflection of the log trace indicates up or down flow.

The sonde is equipped with an auto nulling facility to cancel any offset in thermistor characteristics and to return the log trace to a fixed position prior to firing. No field calibration is required for the flow measurement.



## MEASUREMENTS

- Differential Temperature
- Flow
- Natural Gamma (optional)
- Casing Centraliser (optional)

## SPECIFICATIONS:

Diameter:	50mm
Length:	2.29m
Weight:	9.4kg
Temperature:	70°C (option 125°C)
Pressure:	3000 psi
Flowmeter range:	0.1 to 3m/min
Natural Gamma detector size:	Nal(Tl) scintillation 50mm x 25mm
dead time:	4 usec

## SALES INFORMATION:

Probe:	25 073 000	Heatpulse flowmeter probe
	25 074 000	including Natural Gamma
	25 075 000	including CCL
Accessories:		
	21 001 000	Centraliser range 90 - 180mm
	21 002 000	Centraliser range 180 - 260mm
	21 003 000	Centraliser range 260 - 342mm
	21 004 000	Centraliser range 342 - 472mm
	20 070 000	Natural Gamma calibrator without source
	30 010 000	100Ci $^{137}\text{Cs}$ source for Natural Gamma calibrator

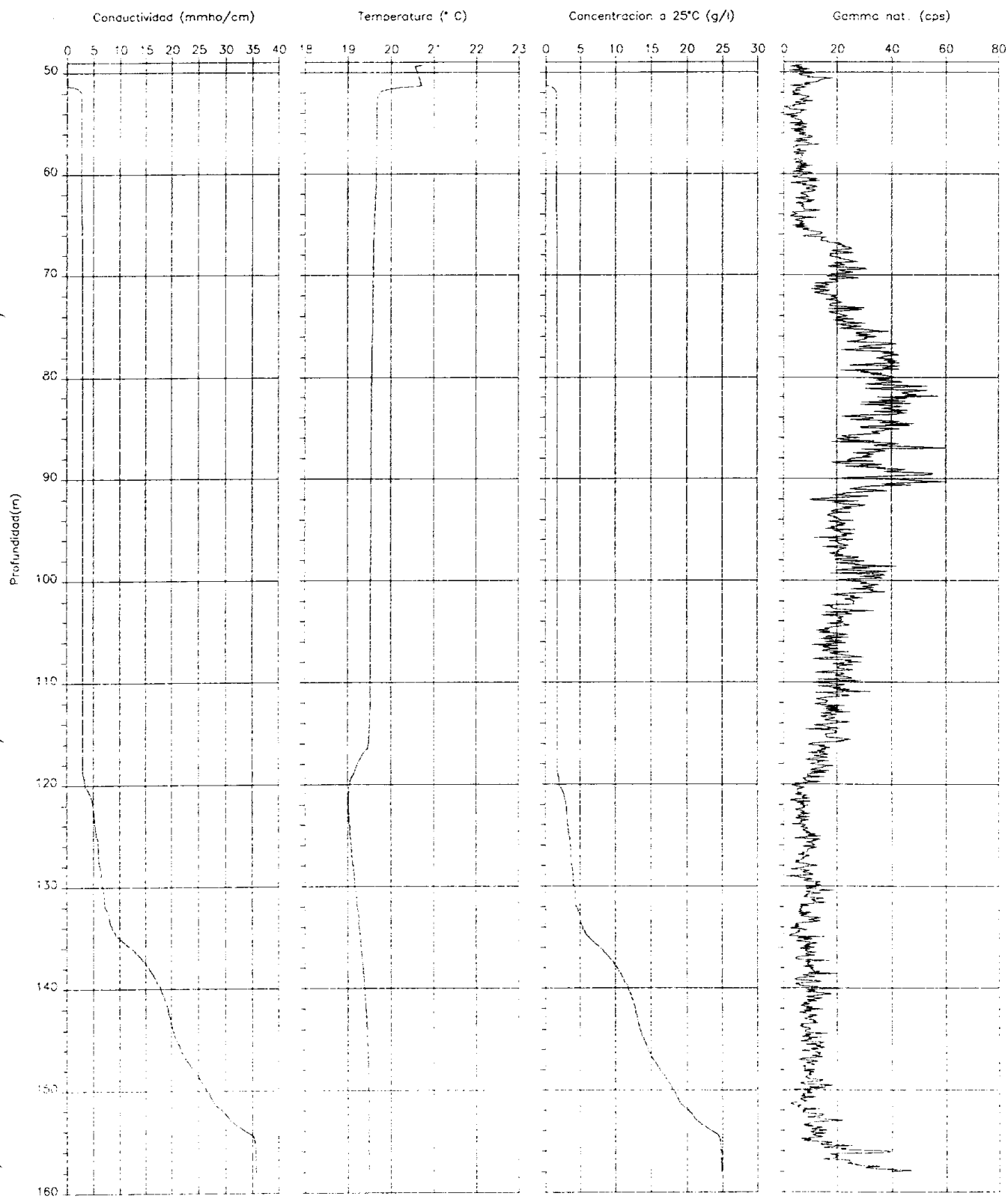
## **A N E X O 2.**

**Registros de Conudctividad, Temperatura, concentración y Gamma Natural**

Sondeo: 224Rm  
Localidad: Aguadulce  
Provincia: Almería  
UTM (X): 538275  
UTM (Y): 4074875  
Cota: 51.75 m  
Datum log: Borde tubo

Fecha: 18/4/96  
Hora: 10:15  
Tramo test.: 49-158 m  
Prof. perf.: ?  
Nivel fluido: 51.5 m  
T ambiente: 20°C  
Tiempo de reg.: 25 min

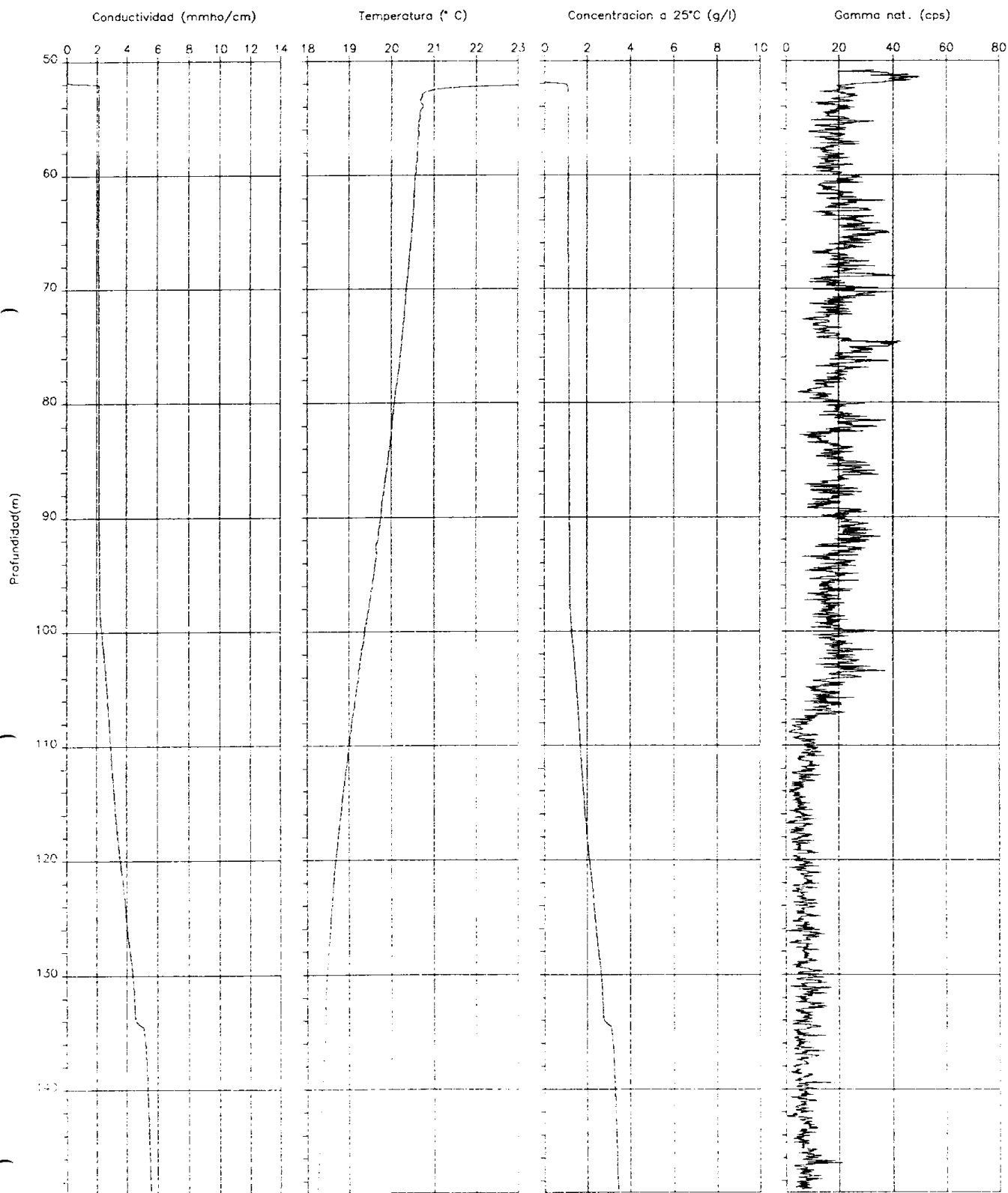
Velocidad: 4 m/min  
Equipo: Pró-FOGGER  
Sonda: TCGS 1497  
Fichero ACL: RG3224RM  
Fichero ASCII: 224RM-\* .RG  
Consultor: IGT, S.A.



Sondeo: 227Rm  
Localidad: Aguadulce  
Provincia: Almeria  
UTM (X): 537920  
UTM (Y): 4074750  
Cota: 52.5 m  
Datum log: Borde tubo

Fecha: 18/4/96  
Hora: 16:45  
Tramo test.: 50-149 m  
Prof. perf.: ?  
Nivel fluido: 52 m  
T ambiente: 28.0°C  
Tiempo de reg.: 55 min

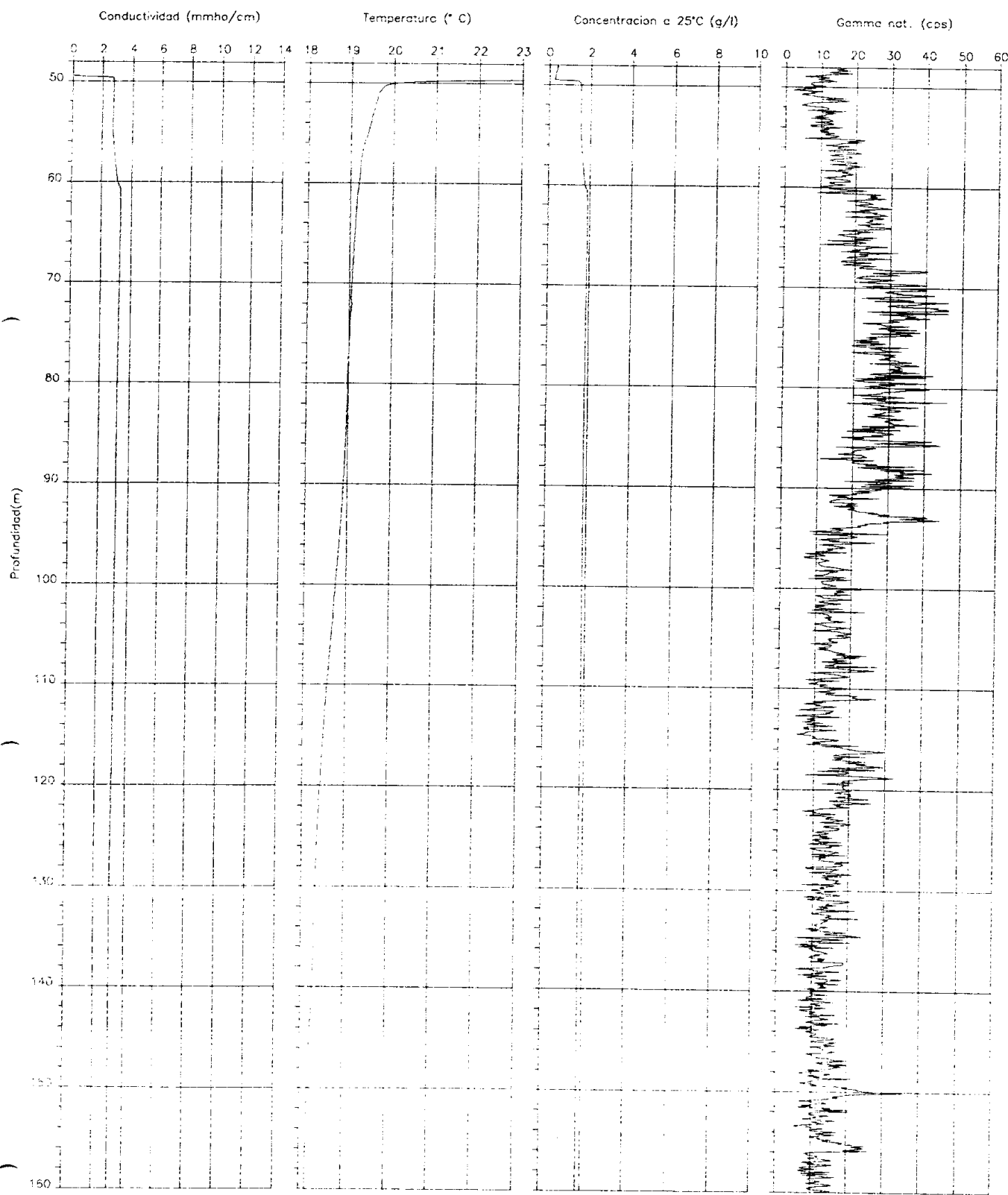
Velocidad: 4 m/min  
Equipo: Pro-LOGGER  
Sonda: TCGS 1497  
Fichero ACL: RG3227RM  
Fichero ASCII: 227RM-\* .RG3  
Consultor: IGT, S.A.



Sondeo: 234Rm  
Localidad: Aguadulce  
Provincia: Almeria  
UTM (X): 537700  
UTM (Y): 4073815  
Cota: 50.29  
Datum log: Hormigon

Fecha: 19/4/96  
Hora: 11:35  
Tramo test.: 48-160 m  
Prof. perf.: ?  
Nivel fluido: 49.7 m  
T ambiente: 21.4°C  
Tiempo de reg.: 30 min

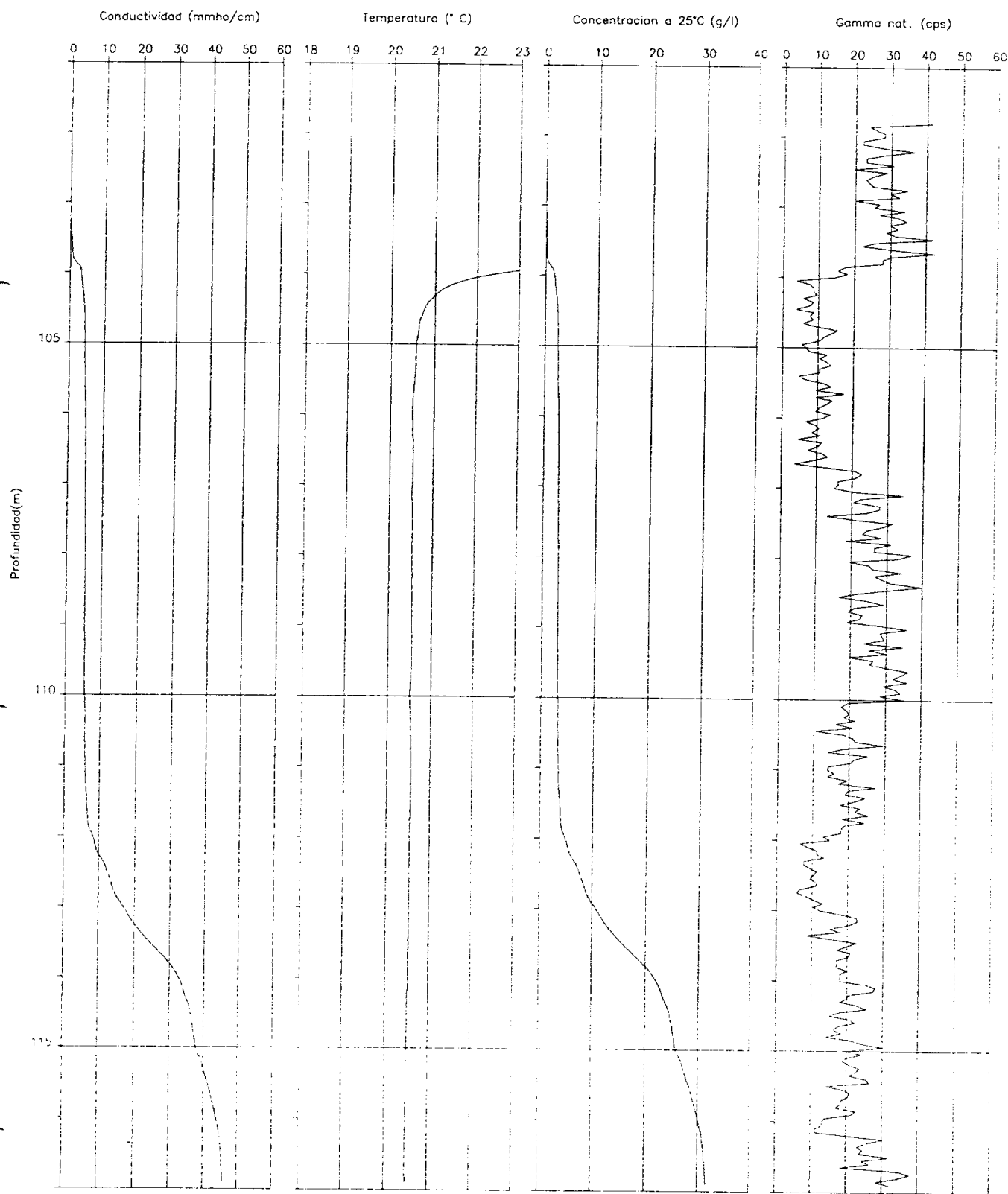
Velocidad: 4 m/min  
Equipo: Pro-LOGGER  
Sonda: TCGS 1497  
Fichero ACL: RG3234RM  
Fichero ASCII: 234RM-\* .RG3  
Consultor: IGT, S.A.



Sondeo: 240RM  
Localidad: Aguadulce  
Provincia: Almeria  
UTM (X): 539025  
UTM (Y): 4075150  
Cota: 104.18 m  
Datum log: Borde tubo

Fecha: 27/4/96  
Hora: 13:15  
Tramo test.: 102-117 m  
Prof. perf.: ?  
Nivel fluido: 103.8 m  
T ambiente: 22°C  
Tiempo de reg.: 5 min

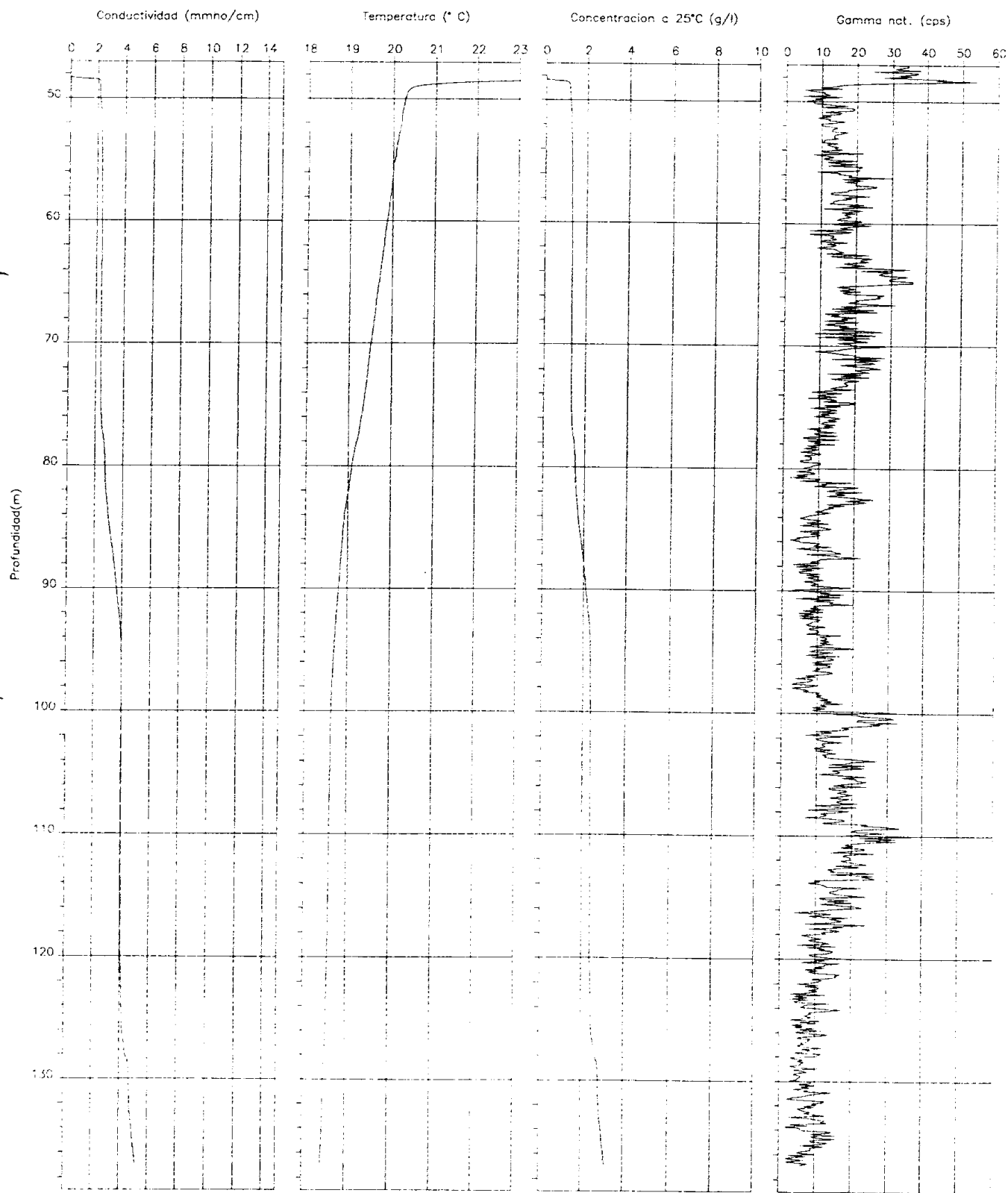
Velocidad: 4 m/min  
Equipo: Pro-LOGGER  
Sonda: TCGS 1497  
Fichero ACL: RG3240RM  
Fichero ASCII: 240RM-\* .RG3  
Consultor: IGT, S.A.



Sondeo: 244RM  
Localidad: Aguadulce  
Provincia: Almería  
UTM (X): 537500  
UTM (Y): 4074250  
Cota: 48.91  
Datum log: Borde tubo

Fecha: 29/4/96  
Hora: 12:25  
Tramo test.: 46-137 m  
Prof. perf.: ?  
Nivel fluido: 48.4 m  
T ambiente: 26°C  
Tiempo de reg.: 25 min

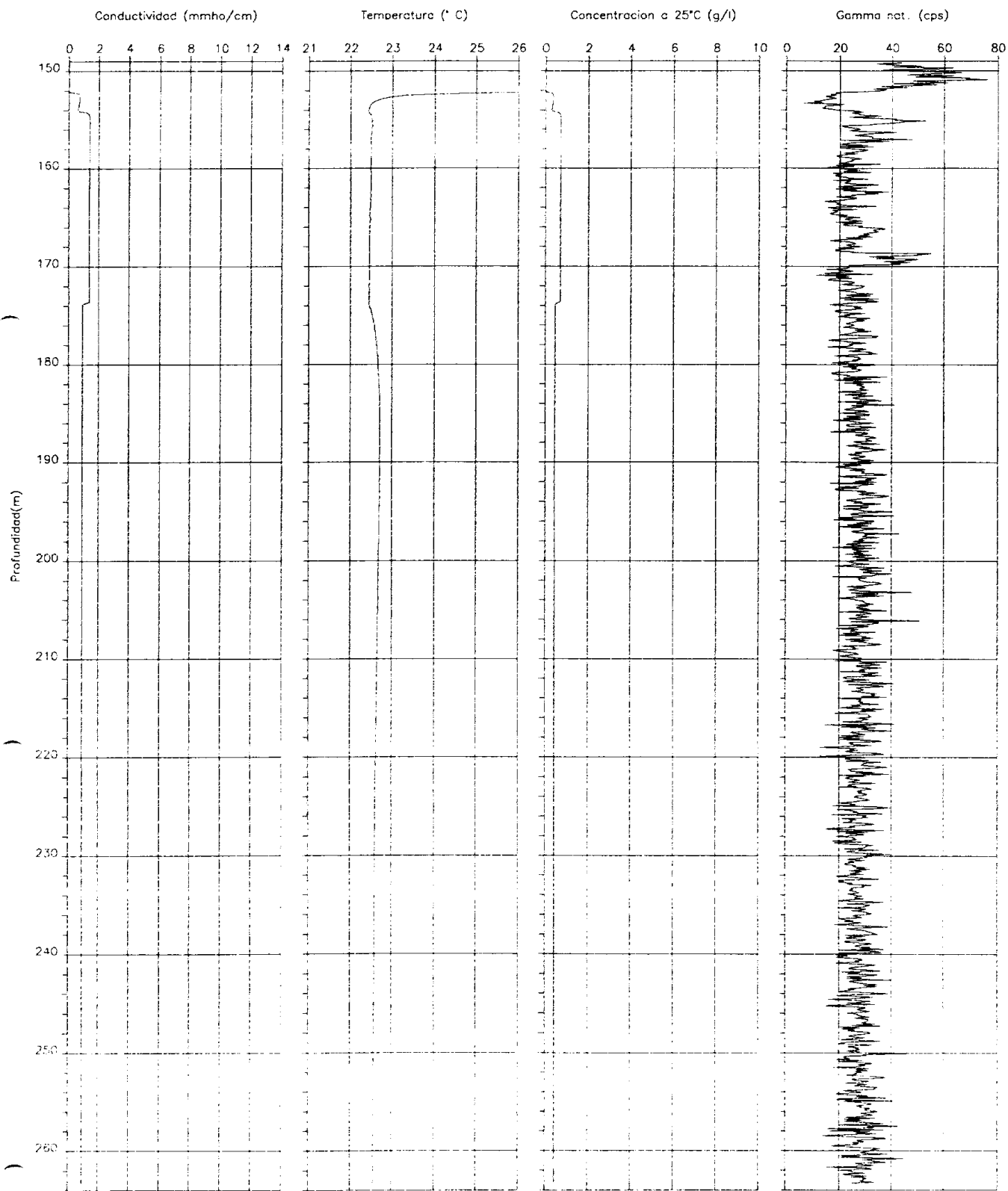
Velocidad: 4 m/min  
Equipo: Pro-LOGGER  
Sonda: TCGS 1497  
Fichero ACL: RG3244RM  
Fichero ASCII: 244RM-\* .RG3  
Consultor: IGT, S.A.



Sondeo: 252Rm  
Localidad: Aguadulce  
Provincia: Almeria  
UTM (X): 537000  
UTM (Y): 4075875  
Cota: 152.99 m  
Datum log: Borde tubo

Fecha: 22/4/96  
Hora: 15:35  
Tramo test.: 149-263 m  
Prof. perf.: ?  
Nivel fluido: 152.2 m  
T ambiente: 24°C  
Tiempo de reg.: 30 min

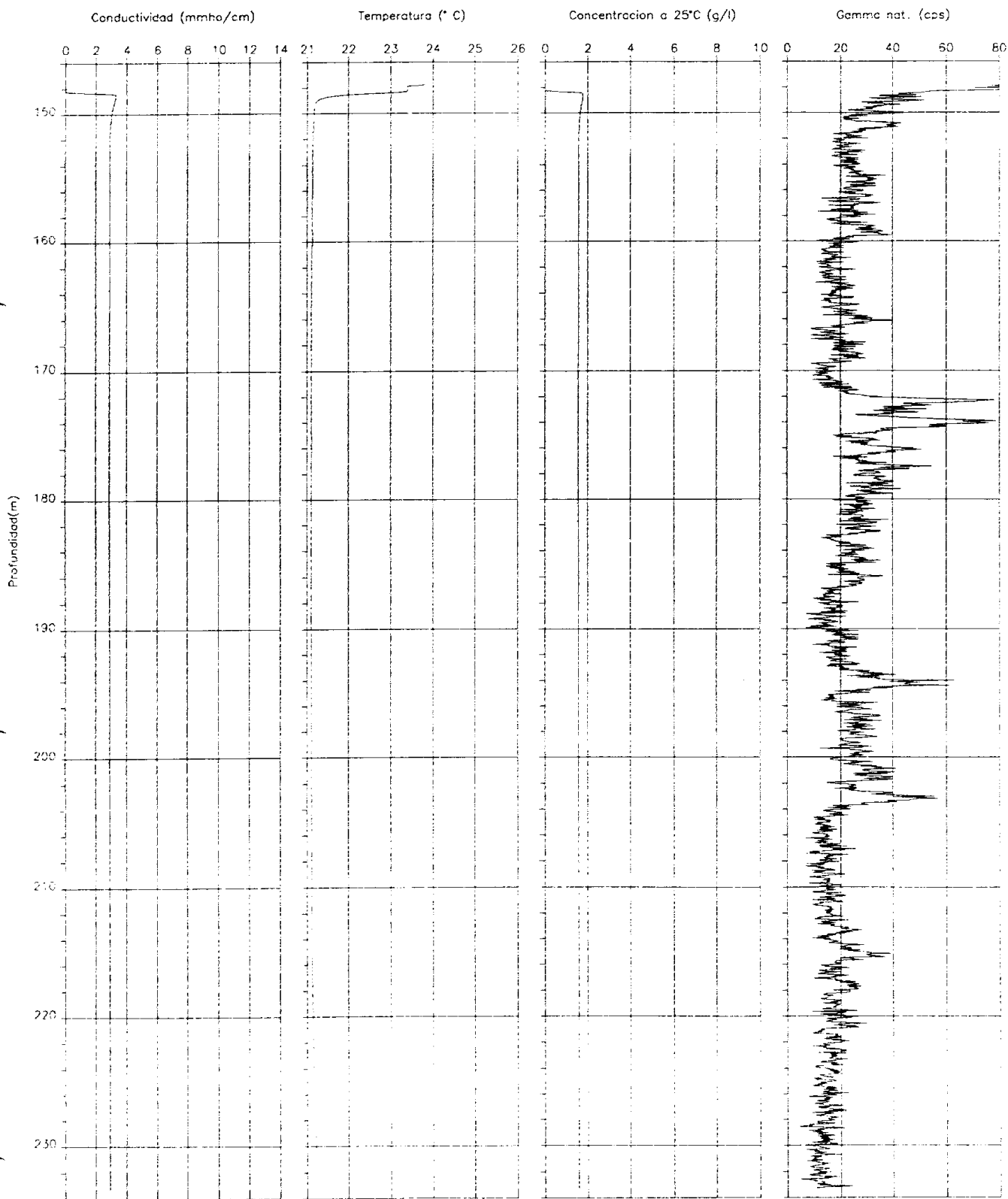
Velocidad: 4 m/min  
Equipo: Pro-LOGGER  
Sonda: TCGS 1497  
Fichero ACL: 252RMRG3  
Fichero ASCII: 252RM-\* .RG3  
Consultor: IGT, S.A.



Sondeo: 253Rm  
Localidad: Aguadulce  
Provincia: Almeria  
UTM (X): 536725  
UTM (Y): 4075950  
Cota: 149.07 m  
Datum log: Borde tubo

Fecha: 23/4/96  
Hora: 16:48  
Tramo test.: 148-233 m  
Prof. perf.: ?  
Nivel fluido: 148.3 m  
T ambiente: 23.5°C  
Tiempo de reg.: 22 min

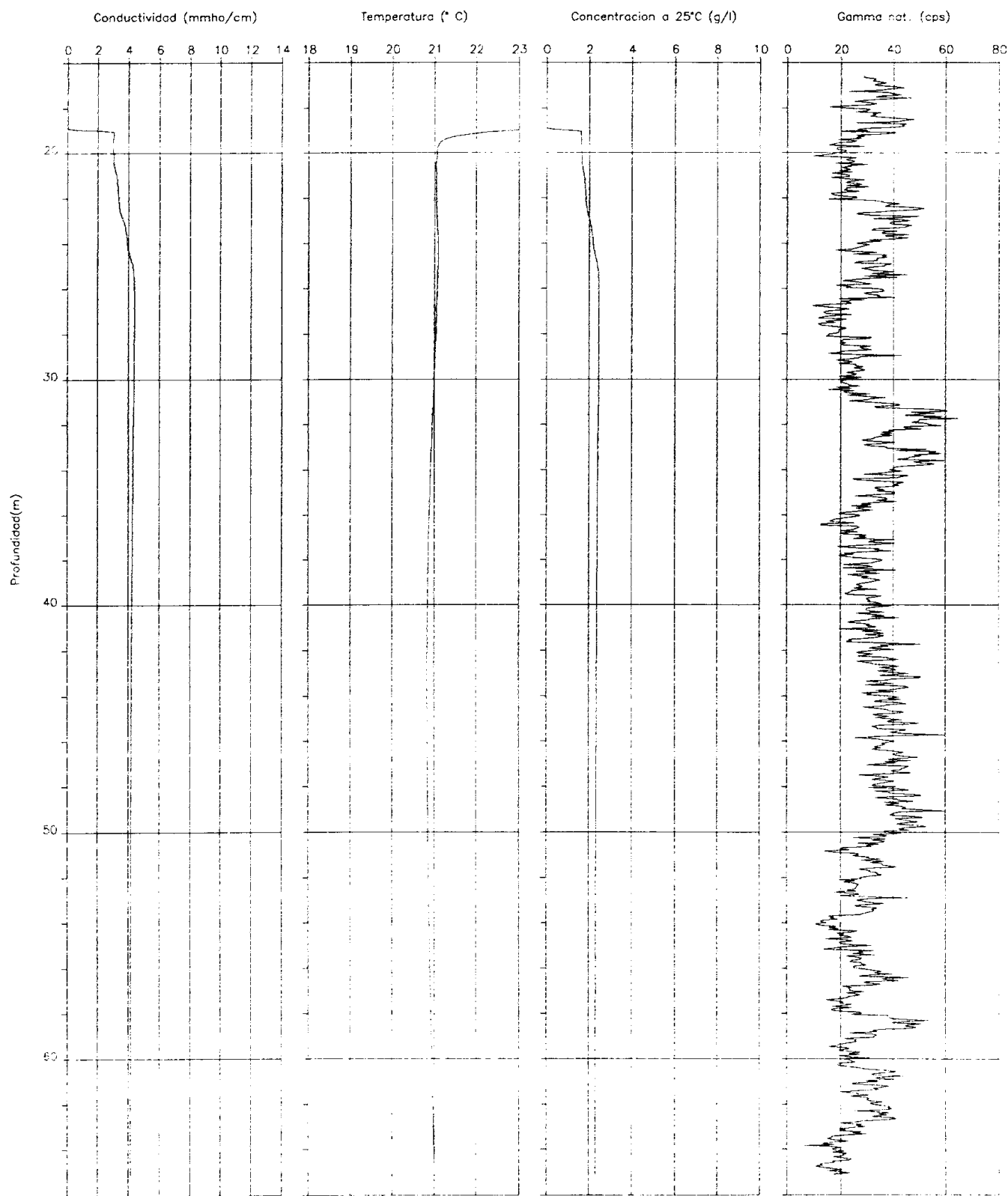
Velocidad: 4 m/min  
Equipo: Pro-LOGGER  
Sonda: TCGS 1497  
Fichero ACL: RG3253RM  
Fichero ASCII: 253RM-\* .RG  
Consultor: IGT, S.A.



Sondeo: 254RM  
Localidad: Roquetas  
Provincia: Almeria  
UTM (X): 535800  
UTM (Y): 4072700  
Cota: 20.50  
Datum log: Borde tubo

Fecha: 30/4/96  
Hora: 12:43  
Tramo test.: 16-65 m  
Prof. perf.: ?  
Nivel fluido: 19 m  
T ambiente: 24°C  
Tiempo de reg.: 12 min

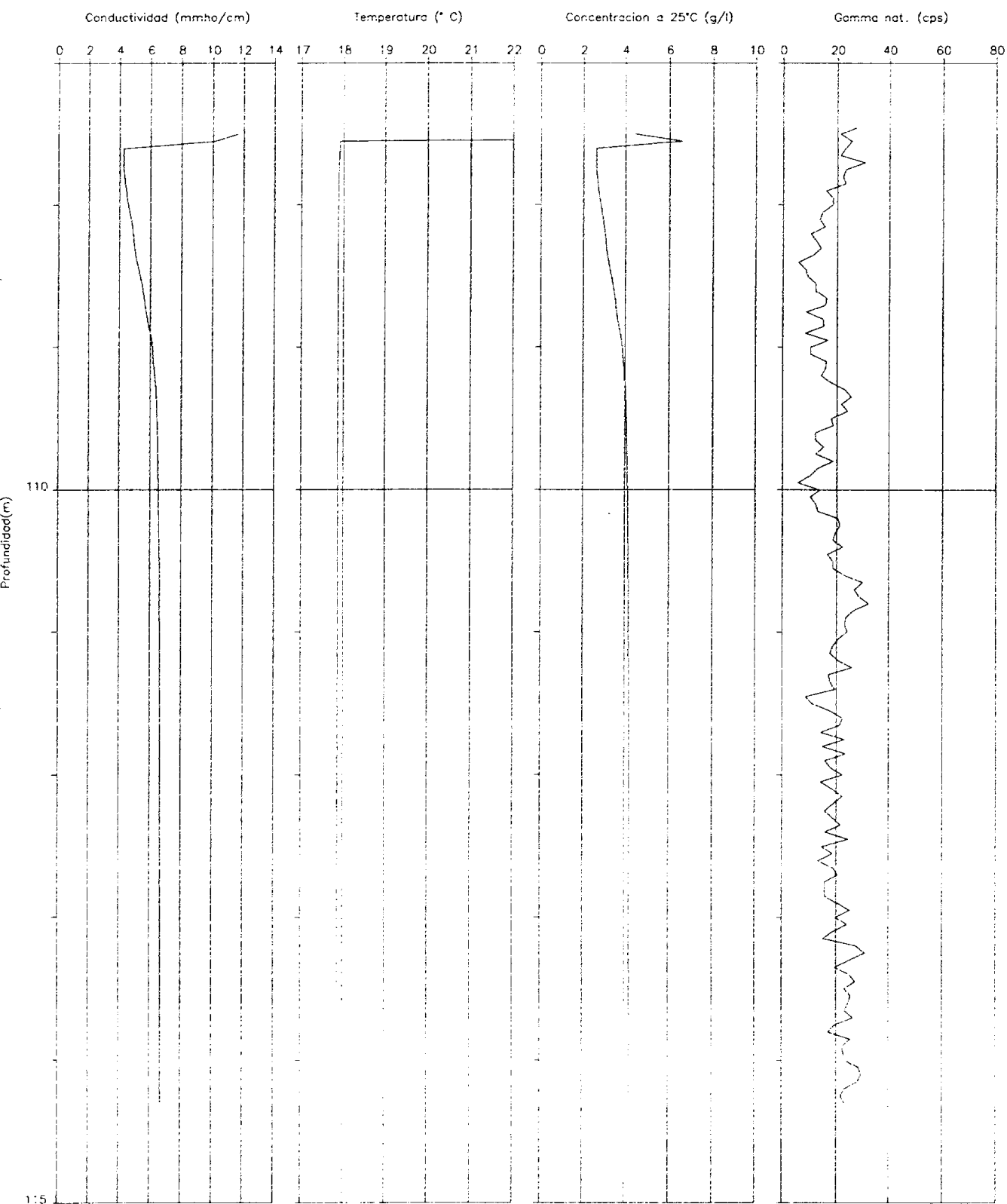
Velocidad: 4 m/min  
Equipo: Pro-LOGGER  
Sonda: TCGS 1497  
Fichero ACL: RG3254RM  
Fichero ASCII: 254RM-\* .RG  
Consultor: IGT, S.A.



Sondeo: 259RM (A-3)  
Localidad: Aguadulce  
Provincia: Almeria  
UTM (X): 538100  
UTM (Y): 7074000  
Cota: 14.96 m  
Datum log: Borde tubo

Fecha: 26/4/96  
Hora: 18:00  
Tramo test.: 107-114 m  
Prof. perf.: ?  
Nivel fluido: ?  
T ambiente: 24.2°C  
Tiempo de reg.: 2 min

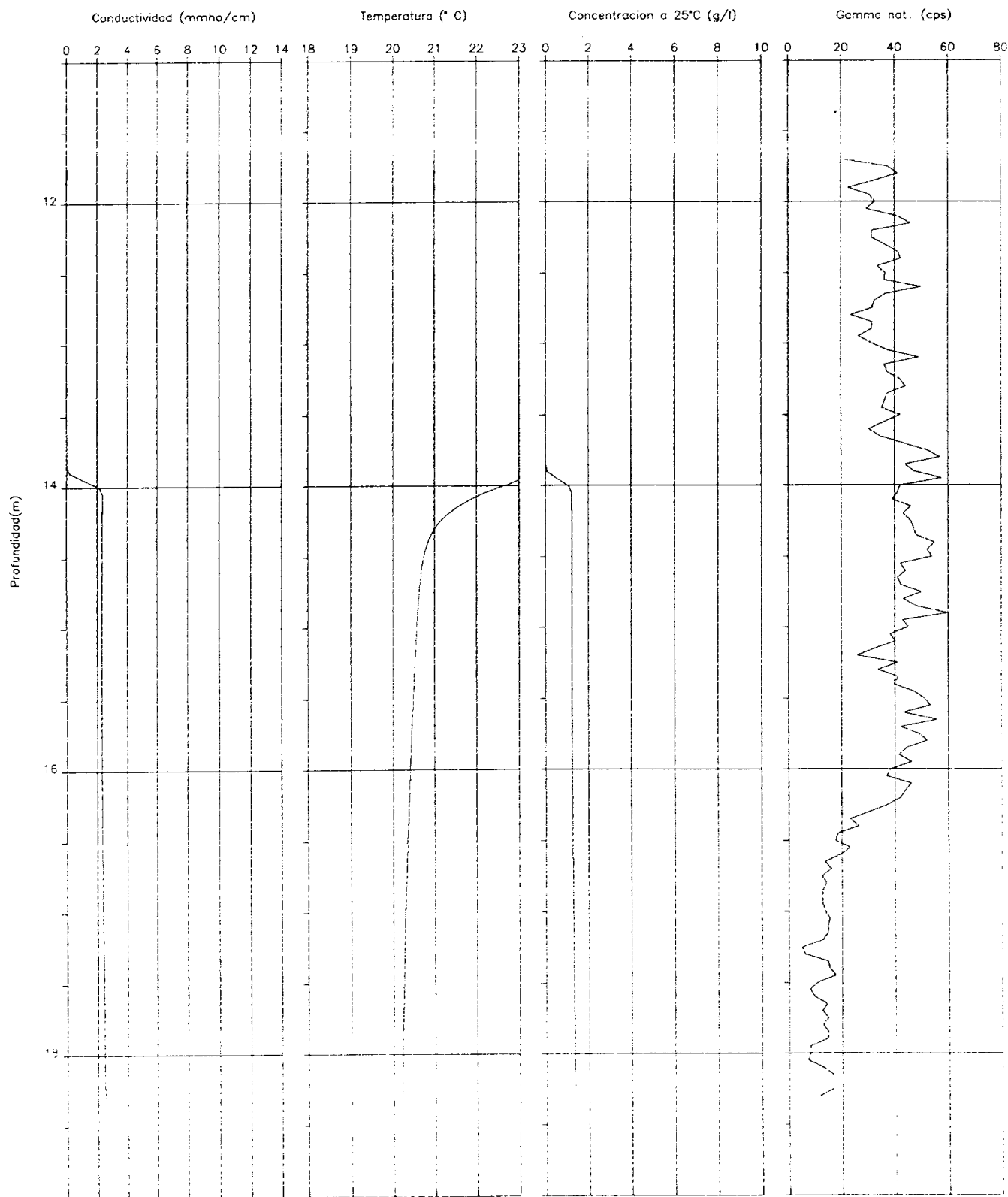
Velocidad: 4 m/min  
Equipo: Pro-LOGGER  
Sonda: TCGS 1497  
Fichero ACL: RG3259RM  
Fichero ASCII: 259RM-\* .RG3  
Consultor: IGT, S.A.



Sondeo: 260RM (A-5)  
Localidad: Roquetas  
Provincia: Aguadulce  
UTM (X): 538100  
UTM (Y): 4074000  
Cota: 14.96 m  
Datum log: Borde tubo

Fecha: 26/4/96  
Hora: 17:30  
Tramo test.: 11-18 m  
Prof. perf.: ?  
Nivel fluido: 14.0 m  
T ambiente: 19.5°C  
Tiempo de reg.: 2 min

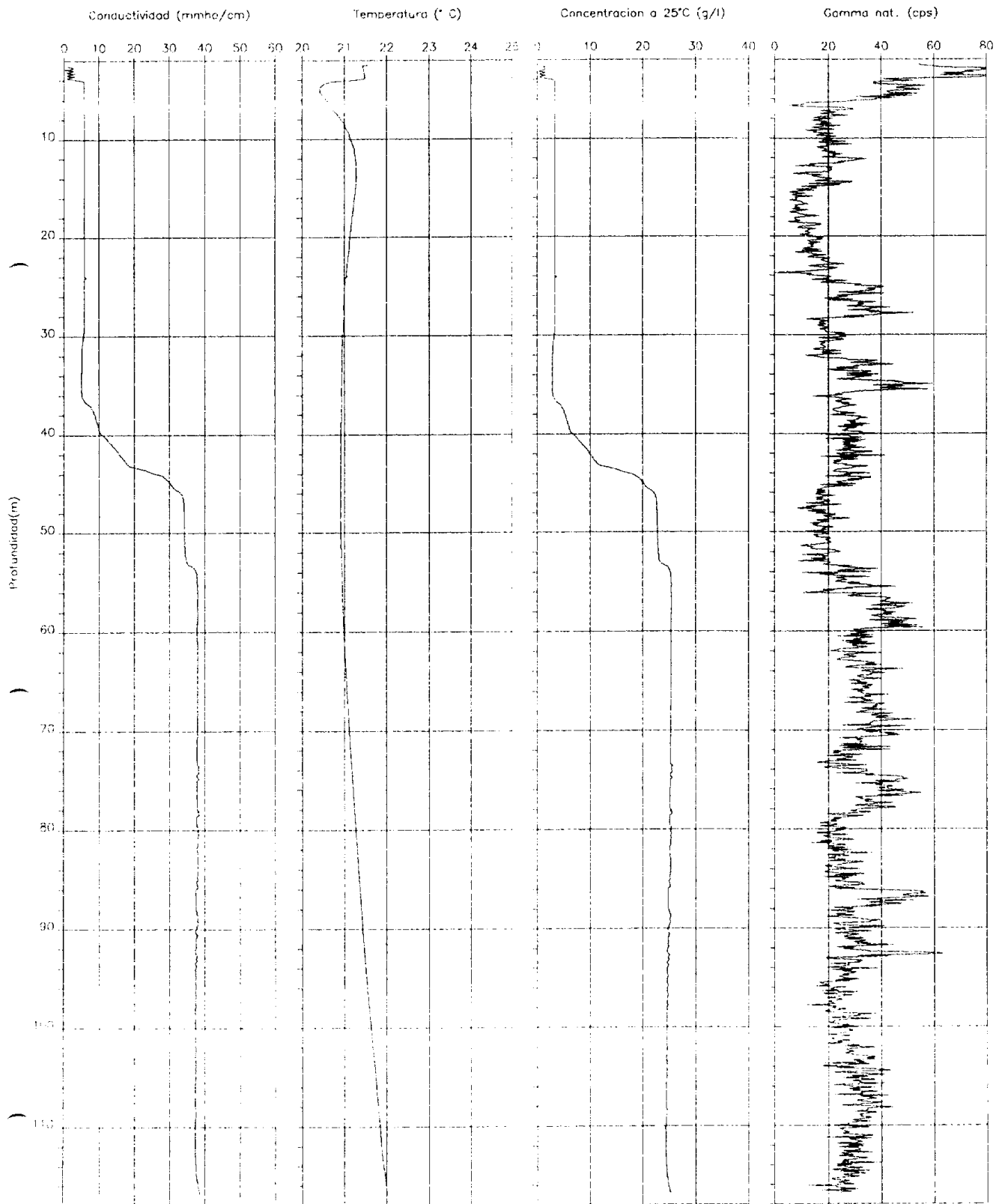
Velocidad: 4 m/min  
Equipo: Pro-LOGGER  
Sonda: TCGS 1497  
Fichero ACL: RG3260RM  
Fichero ASCII: 260RM-\* .RG  
Consultor: IGT, S.A.



Sondeo: 261RM (A-4) Localidad: Roquetas  
Provincia: Almeria UTM (X): 536125  
UTM (Y): 4071900 Cota: 4.93 m  
Datum log: Borde tubo

Fecha: 30/4/96 Hora: 11:20  
Tramo test.: 2-117 m Prof. perf.: ?  
Nivel fluido: 4 m T ambiente: 22°C  
Tiempo de reg.: 30 min

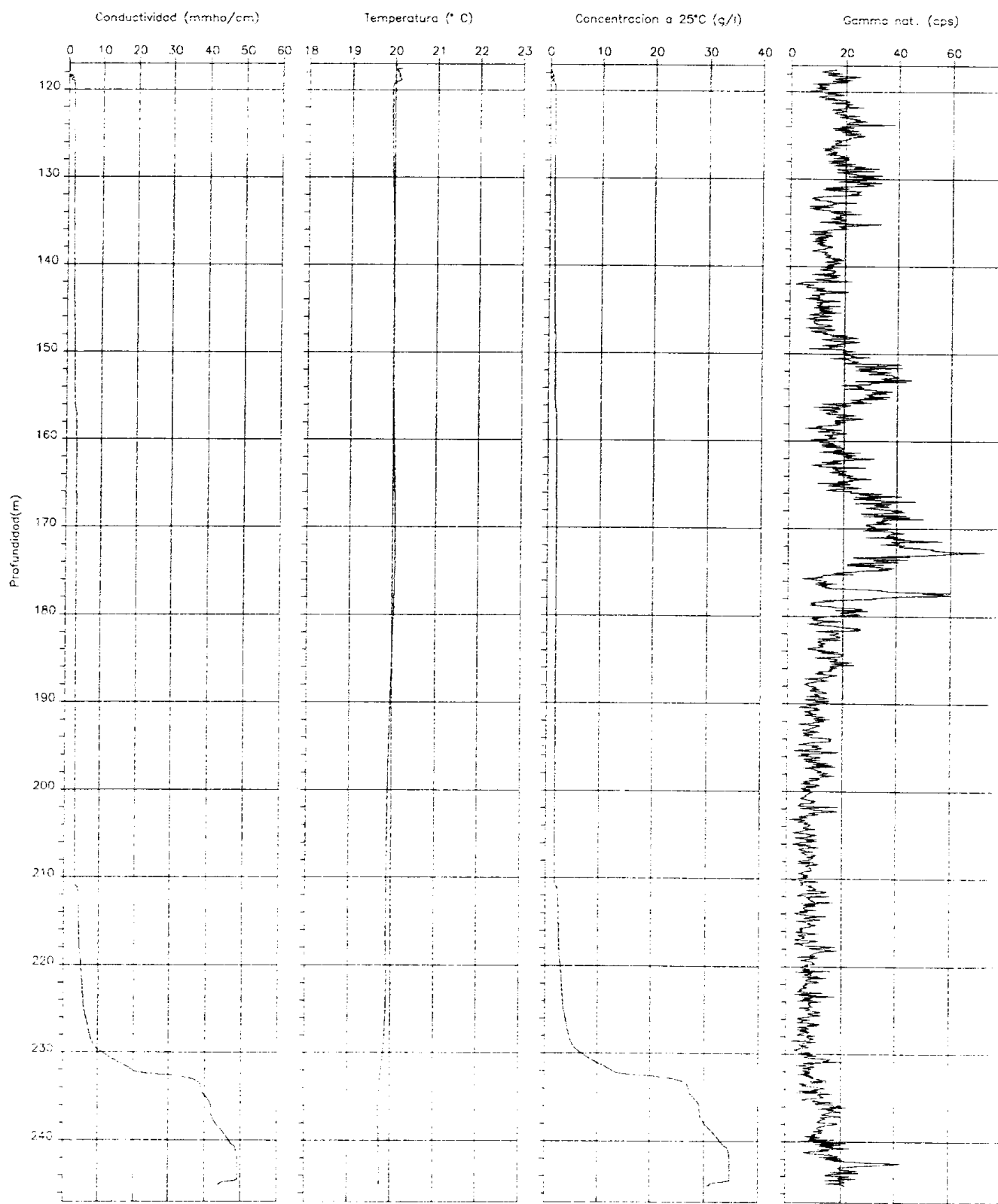
Velocidad: 4 m/min  
Equipo: Pro-LOGGER  
Sonda: TCGS 1497  
Fichero ACL: RG3261RM  
Fichero ASCII: 261RM-\* .RG3  
Consultor: IGT, S.A.



Sondeo: 263RM (A-8)  
Localidad: Aguadulce  
Provincia: Almería  
UTM (X): 537900  
UTM (Y): 4075800  
Cota: 119.35 m  
Datum log: Borde tubo

Fecha: 29/4/96  
Hora: 10:45  
Tramo test.: 117-246 m  
Prof. perf.: ?  
Nivel fluido: 118.9 m  
T ambiente: 21°C  
Tiempo de reg.: 30 min

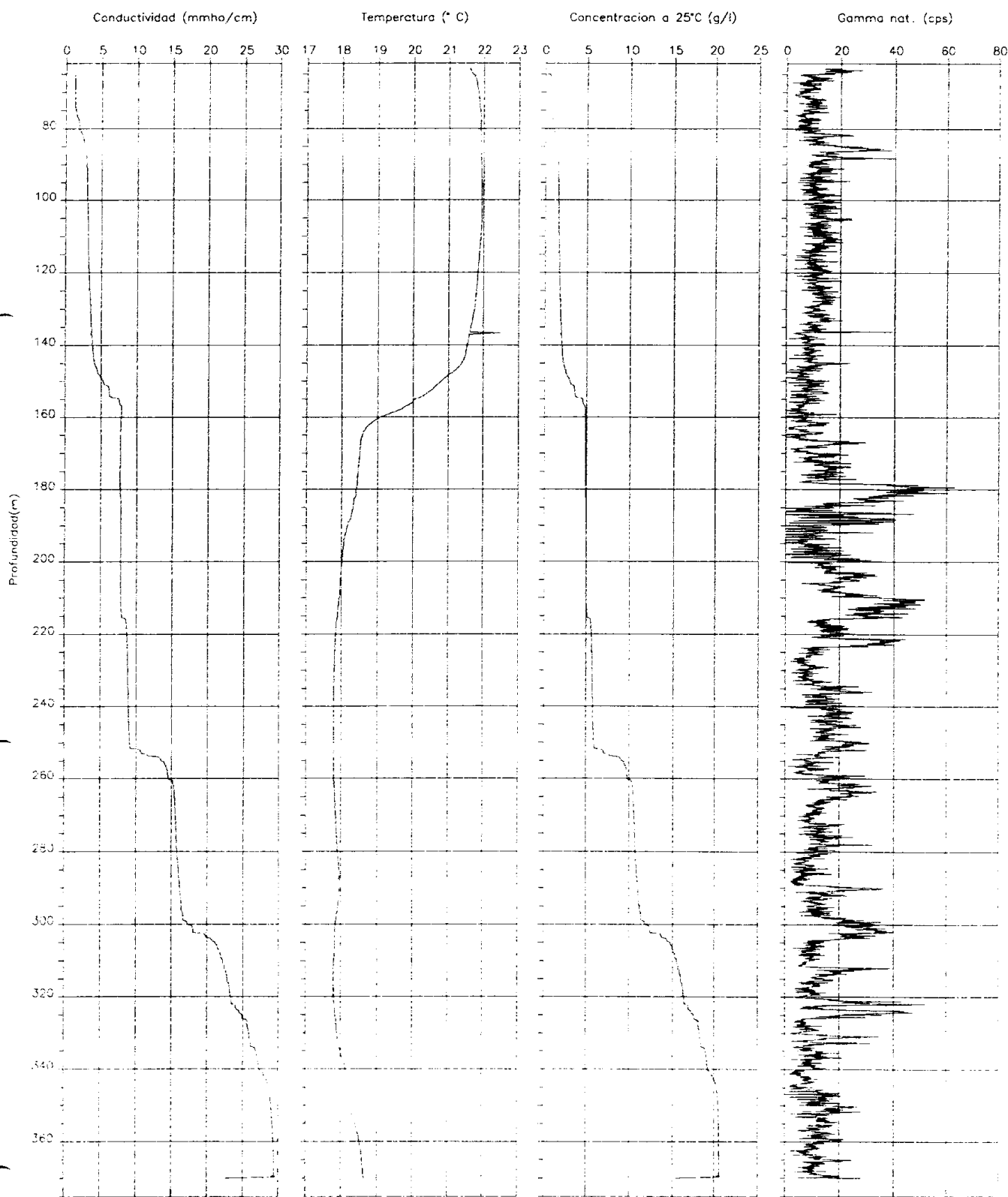
Velocidad: 4 m/min  
Equipo: Pro-LOGGE  
Sonda: TCGS 1497  
Fichero ACL: RG3263RM  
Fichero ASCII: 263RM-\*.\*  
Consultor: IGT, S.A.



Sondeo: 264RM (A9)  
Localidad: Aguadulce  
Provincia: Almeria  
UTM (X): 537500  
UTM (Y): 4075000  
Cota: 65.57 m  
Datum log: Borde tubo

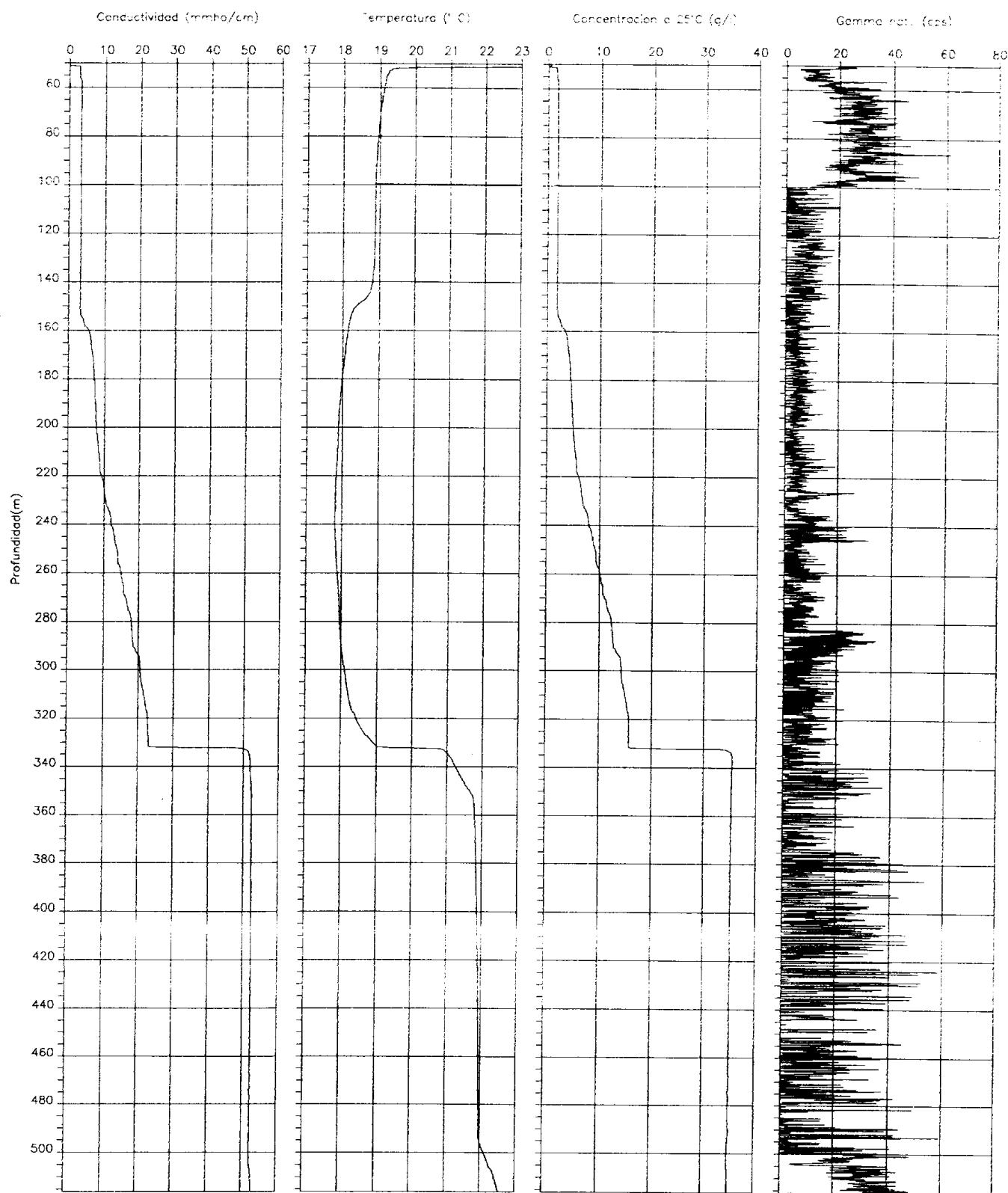
Fecha: 14/4/96  
Hora: 13:00  
Tramo test.: 63-370 m  
Prof. perf.: ?  
Nivel fluido: 65.2 m  
T ambiente: 22°C  
Tiempo de reg.: 1h 30 min

Velocidad: 4 m/min  
Equipo: Pro-LOGGER  
Sonda: TCGS 1497  
Fichero ACL: RG3264RM  
Fichero ASCII: 264RM-\* .RG3  
Consultor: IGT, S.A.



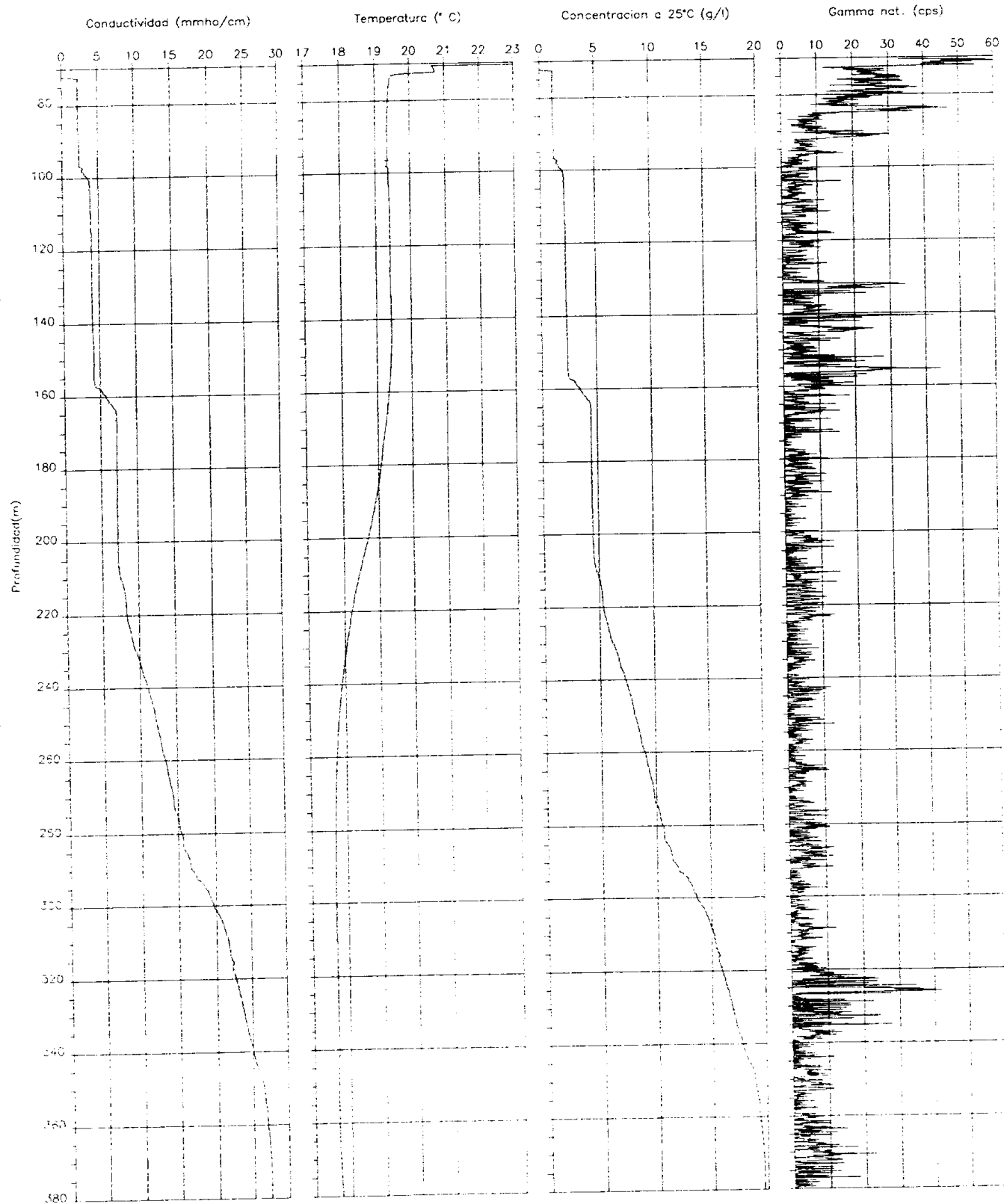
Sondeo: 265Rm (A10) Fecha: 17/4/96  
Localidad: Aguadulce Hora: 11:55  
Provincia: Almería Tramo test.: 50-516 m  
UTM (X): 537200 Prof. perf.: ?  
UTM (Y): 4074150 Nivel fluido: 51.2 m  
Cota: 51.83 m T. ambiente: 26.3°C  
Datum log: Borde tubo Tiempo de reg.: 1h 45 min

Velocidad: 4 m/min  
Equipo: Pro-LOGGER  
Sonda: TCGS 1497  
Fichero ACL: RG3265RM.AC  
Fichero ASCII: 265RM-\* .RG3  
Consultor: IGT, S.A.



Sondeo: 266RM (A-11) Fecha: 27/4/96  
 Localidad: Aguadulce Hora: 10:35  
 Provincia: Almeria Tramo test.: 70-380 m  
 UTM (X): 536900 Prof. perf.: ?  
 UTM (Y): 4074700 Nivel fluido: 72.5 m  
 Cota: 72.95 m T ambiente: 20°C  
 Datum log: Borde tubo Tiempo de reg.: 1h 15 min

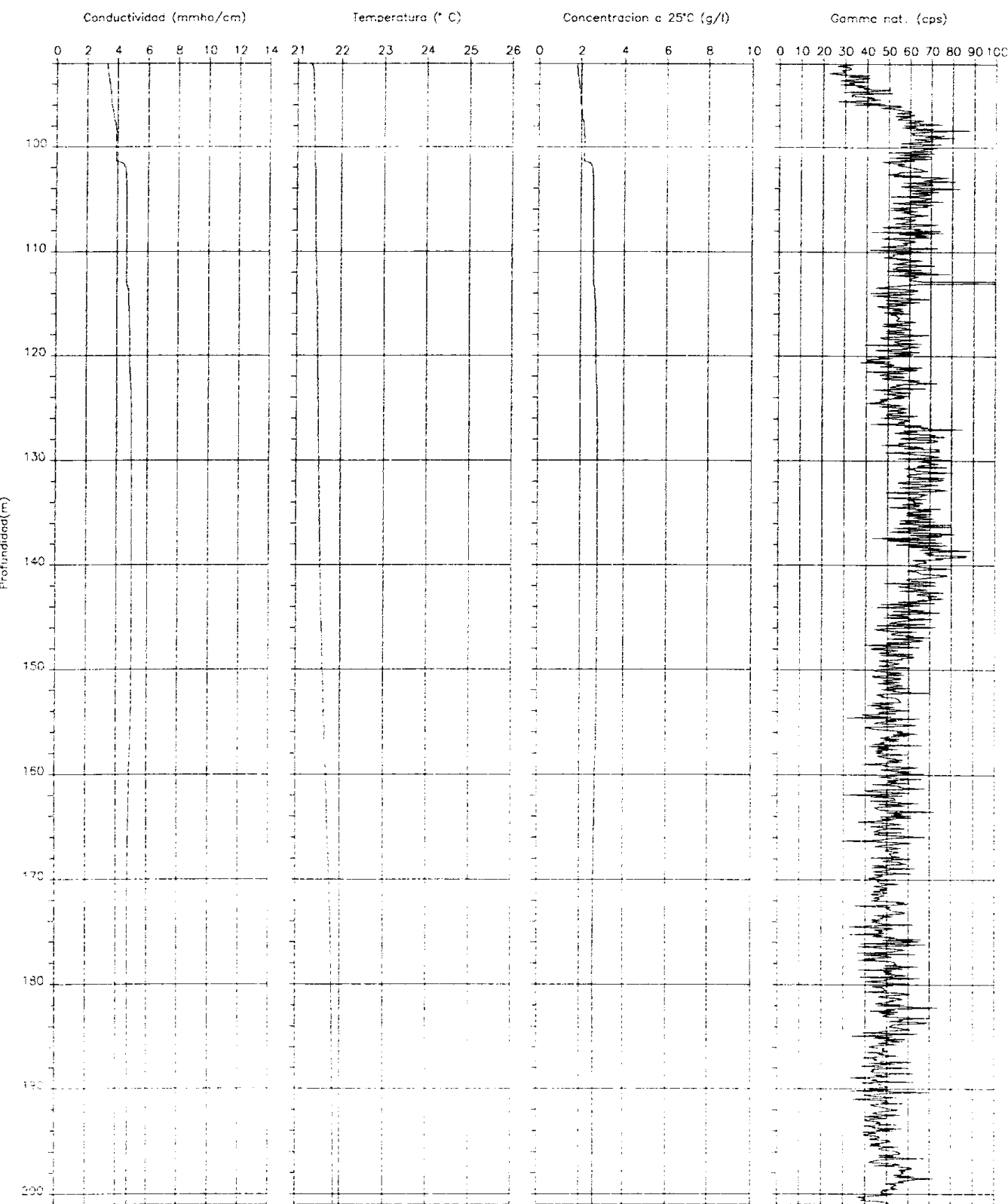
Velocidad: 4 m/min  
 Equipo: Pro-LOGGER  
 Sonda: TCGS 1497  
 Fichero ACL: RG3266RM  
 Fichero ASCII: 266RM-\* .RG3  
 Consultor: IGT, S.A.



Sondeo: 14Vc  
Localidad: Gangosa  
Provincia: Almeria  
UTM (X): 532325  
UTM (Y): 4073400  
Cota: 94.41 m  
Datum log: Borde tubo

Fecha: 30/4/96  
Hora: 9:54  
Tramo test.: 92-201 m  
Prof. perf.: ?  
Nivel fluido: ?  
T ambiente: 21.5°C  
Tiempo de reg.: 26 min

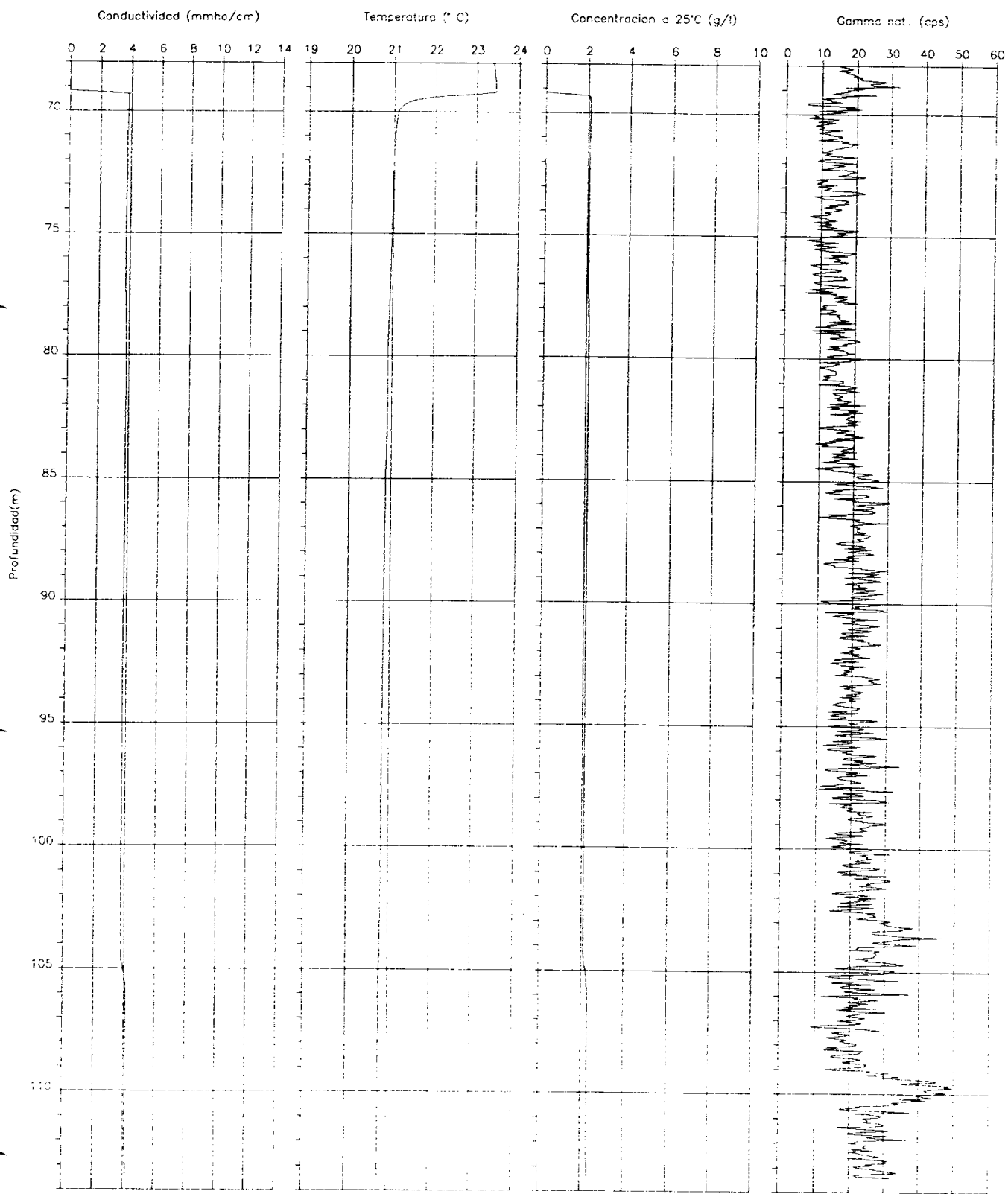
Velocidad: 4 m/min  
Equipo: Pro-LOGGER  
Sonda: TCGS 1497  
Fichero ACL: RG314VC  
Fichero ASCII: 14VC-\* .RG3  
Consultor: IGT, S.A.



Sondeo: 36Vc  
Localidad: Gangosa  
Provincia: Almeria  
UTM (X): 534875  
UTM (Y): 4074075  
Cota: 69.86 m  
Datum log: Borde tubo

Fecha: 29/4/96  
Hora: 13:35  
Tramo test.: 67-113 m  
Prof. perf.: ?  
Nivel fluido: 69.3 m  
T ambiente: 26°C  
Tiempo de reg.: 14 min

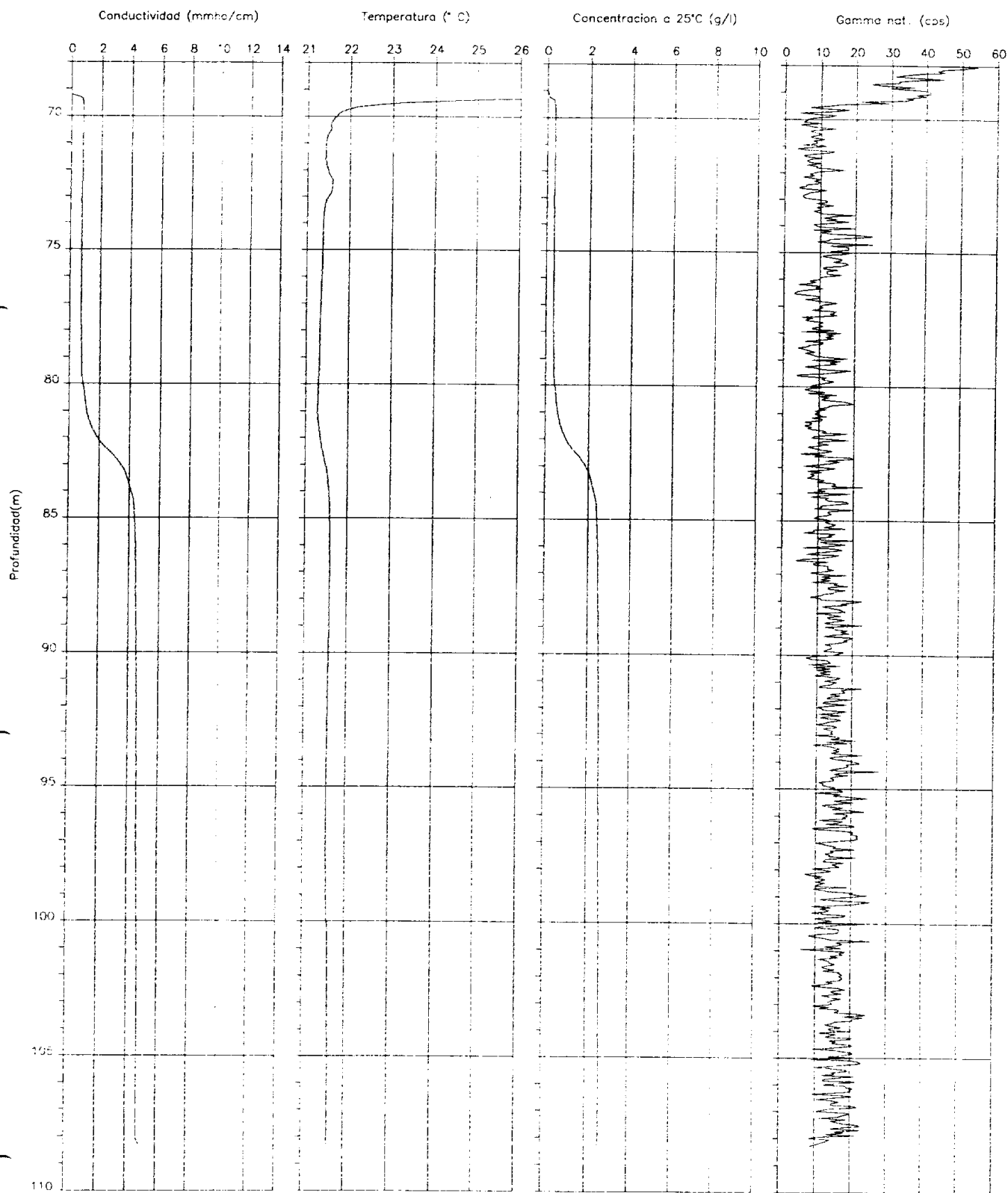
Velocidad: 4 m/min  
Equipo: Pro-LOGGER  
Sonda: TCGS 1497  
Fichero ACL: RG336VC  
Fichero ASCII: 36VC-\* .RG3  
Consultor: IGT, S.A.



Sondeo: 39VC  
Localidad: Gangosa  
Provincia: Almeria  
UTM (X): 534520  
UTM (Y): 4073700  
Cota: 69.81 m  
Datum log: Borde tubo

Fecha: 22/4/96  
Hora: 12:55  
Tramo test.: 68-108 m  
Prof. perf.: ?  
Nivel fluido: 69.5 m  
T ambiente: 25°C  
Tiempo de reg.: 10 min

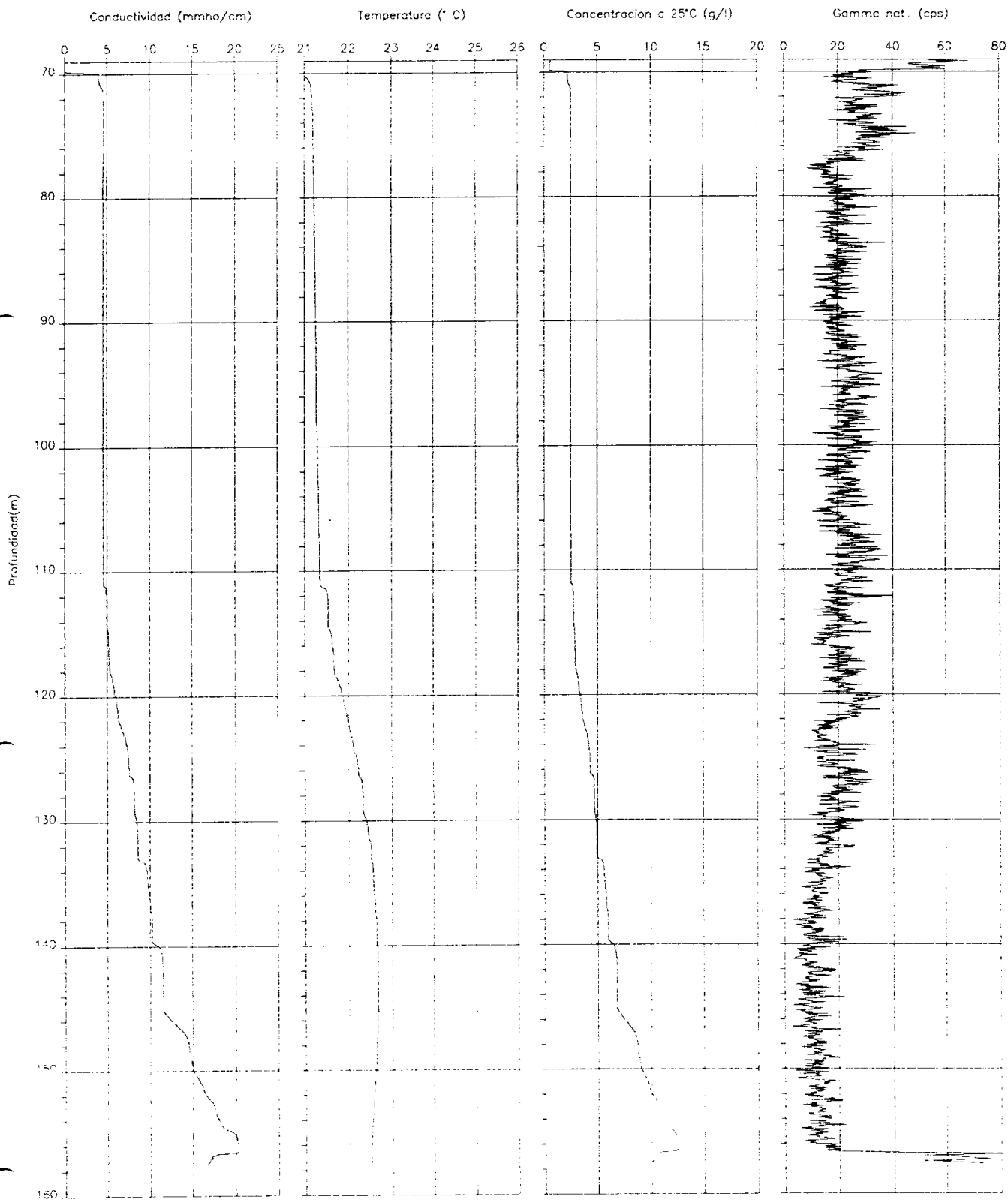
Velocidad: 4 m/min  
Equipo: Pro-LOGGER  
Sonda: TCGS 1497  
Fichero ACL: RG339VC  
Fichero ASCII: 39VC-\* .RG3  
Consultor: IGT, S.A.



Sondeo: \_\_\_ 40VC  
Localidad: \_\_\_ Gangosa  
Provincia: \_\_\_ Almeria  
UTM (X): \_\_\_ 534460  
UTM (Y): \_\_\_ 4073660  
Cota: \_\_\_ 70.45 m  
Datum log: \_\_\_ Chapa

Fecha: \_\_\_ 22/4/96  
Hora: \_\_\_ 9:30  
Tramo test.: \_\_\_ 68-157 m  
Prof. perf.: \_\_\_ ?  
Nivel fluido: \_\_\_ 70.0 m  
T ambiente: \_\_\_ 19°C  
Tiempo de reg.: \_\_\_ 25 min

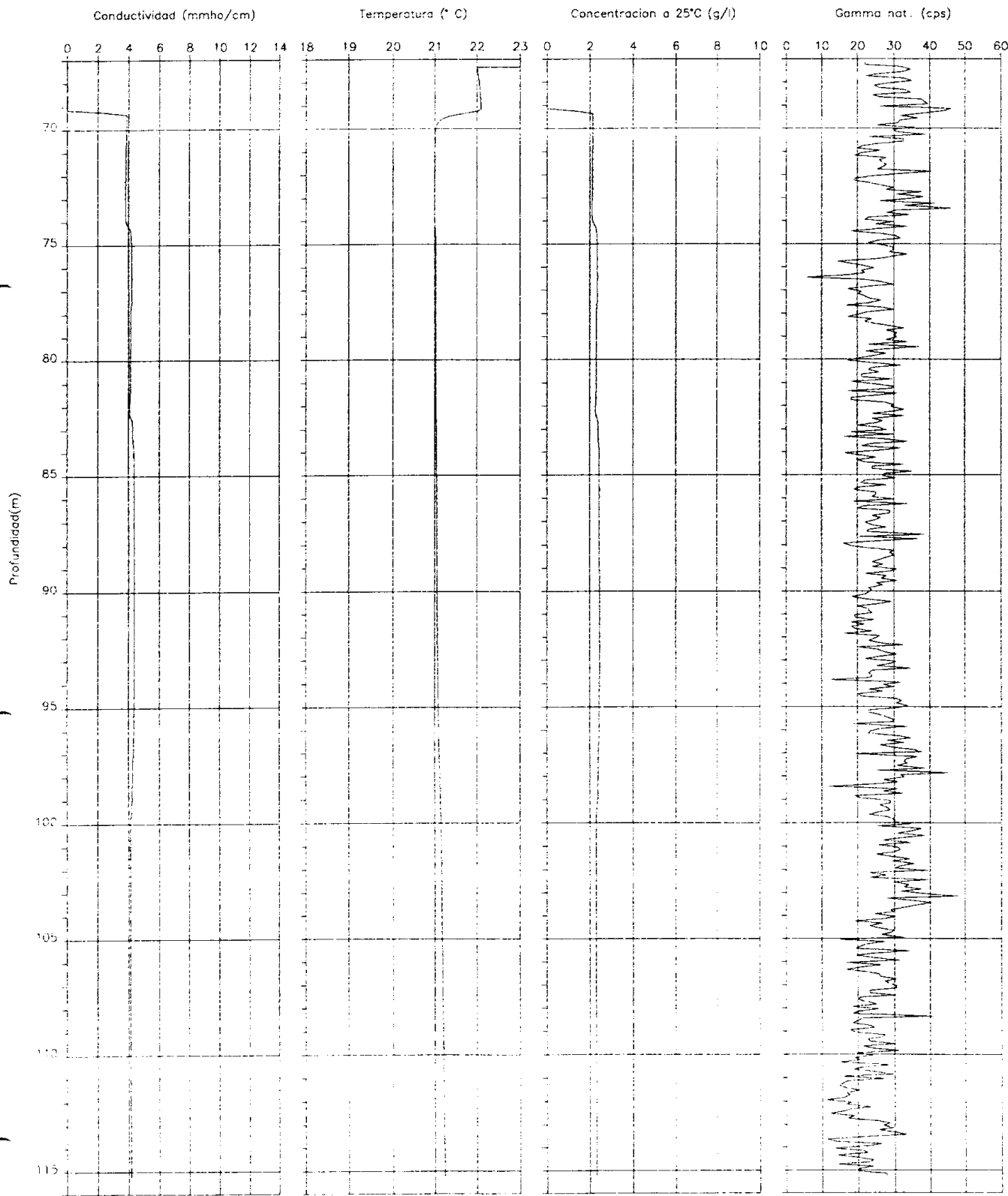
Velocidad: \_\_\_ 4 m/min  
Equipo: \_\_\_ Pro-LOGGER  
Sonda: \_\_\_ TCGS 1497  
Fichero ACL: \_\_\_ RG340VC  
Fichero ASCII: \_\_\_ 40VC-\* .RG3  
Consultor: \_\_\_ IGT, S.A.



Sondeo: 41Vc  
Localidad: Gangosa  
Provincia: Almeria  
UTM (X): 534325  
UTM (Y): 4073475  
Cota: 69.95 m  
Datum log: Borde tubo

Fecha: 29/4/96  
Hora: 16:40  
Tramo test.: 67-115 m  
Prof. perf.: ?  
Nivel fluido: 69.2 m  
T ambiente: 20.5°C  
Tiempo de reg.: 12 min

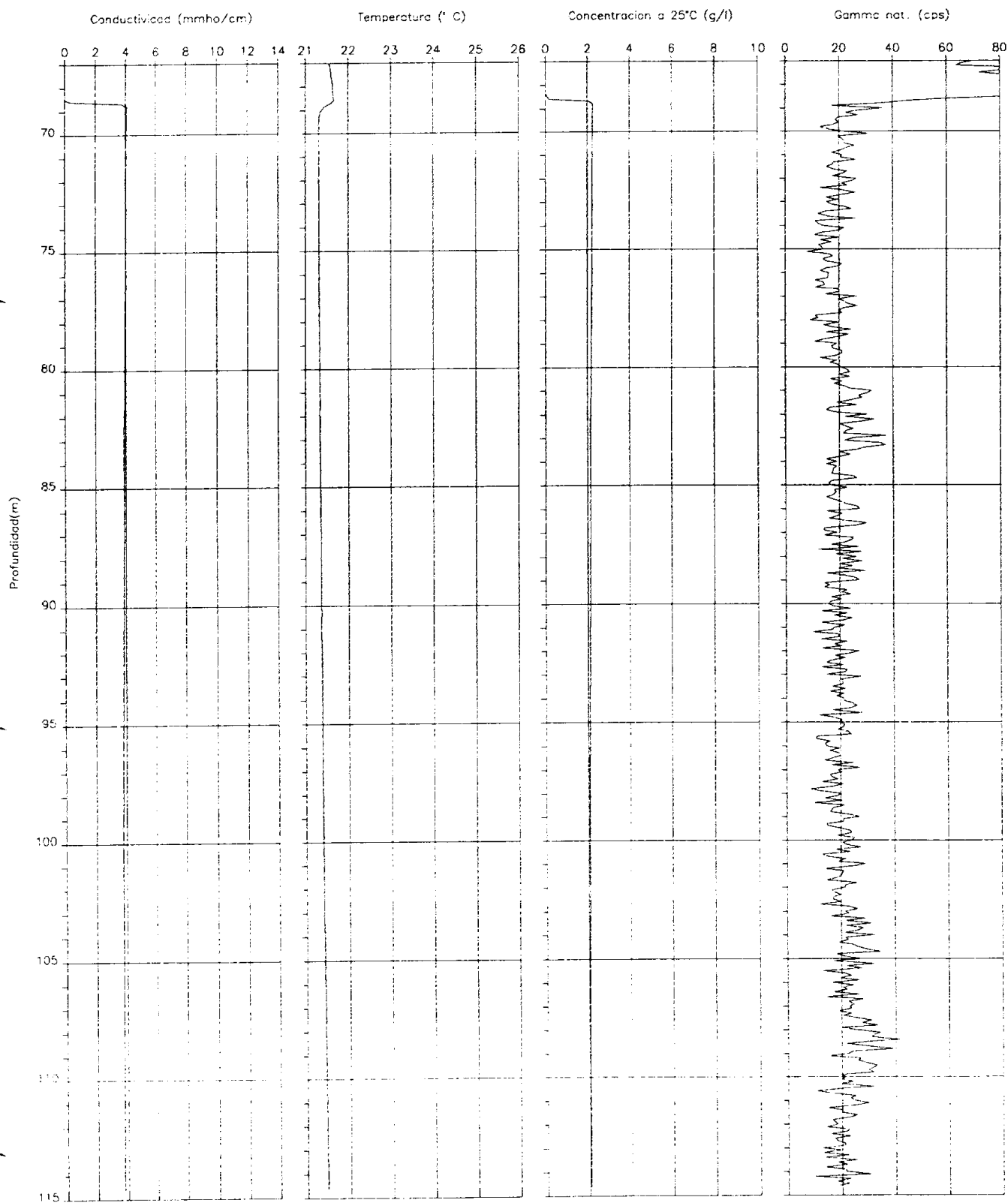
Velocidad: 4 m/min  
Equipo: Pro-LOGGER  
Sonda: TCGS 1497  
Fichero ACL: RG341VC  
Fichero ASCII: 41VC-\* .RG3  
Consultor: IGT, S.A.



Sondeo: 42VC  
Localidad: Gangosa  
Provincia: Almeria  
UTM (X): 534225  
UTM (Y): 4073250  
Cota: 69.88 m  
Datum log: Borde tubo

Fecha: 29/4/96  
Hora: 17:45  
Tramo test.: 66-115 m  
Prof. perf.: ?  
Nivel fluido: 68.6 m  
T ambiente: 20°C  
Tiempo de reg.: 13 min

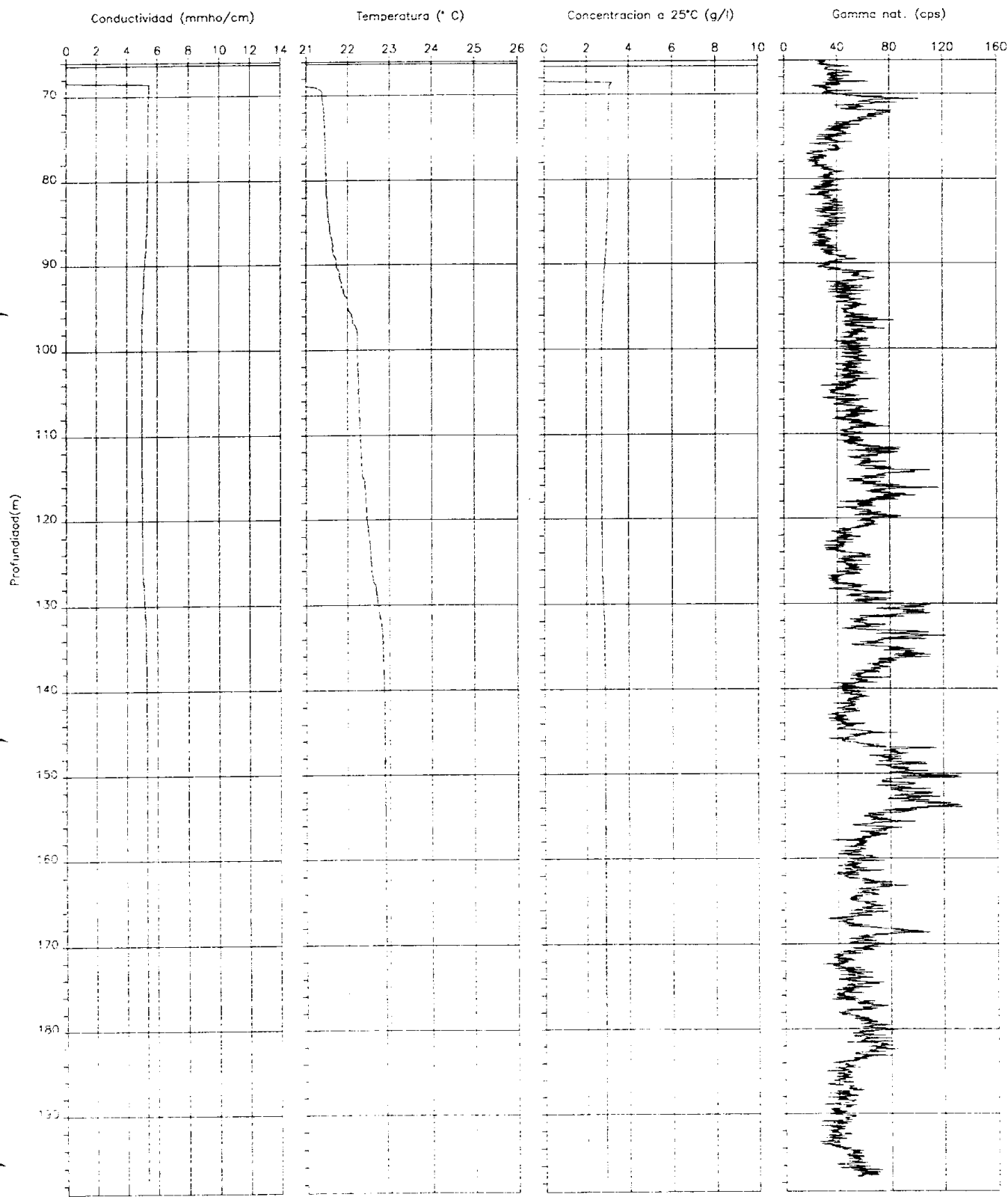
Velocidad: 4 m/min  
Equipo: Pro-LOGGER  
Sonda: TCGS 1497  
Fichero ACL: RG342VC  
Fichero ASCII: 42VC-\* .RG3  
Consultor: IGT, S.A.



Sondeo: 43Vc  
Localidad: Vicar  
Provincia: Almeria  
UTM (X): 534000  
UTM (Y): 4073125  
Cota: 69.86 m  
Datum log: Borde tubo

Fecha: 23/4/96  
Hora: 10:05  
Tramo test.: 66-197 m  
Prof. perf.: ?  
Nivel fluido: 68.32 m  
T ambiente: 18°C  
Tiempo de reg.: 35 min

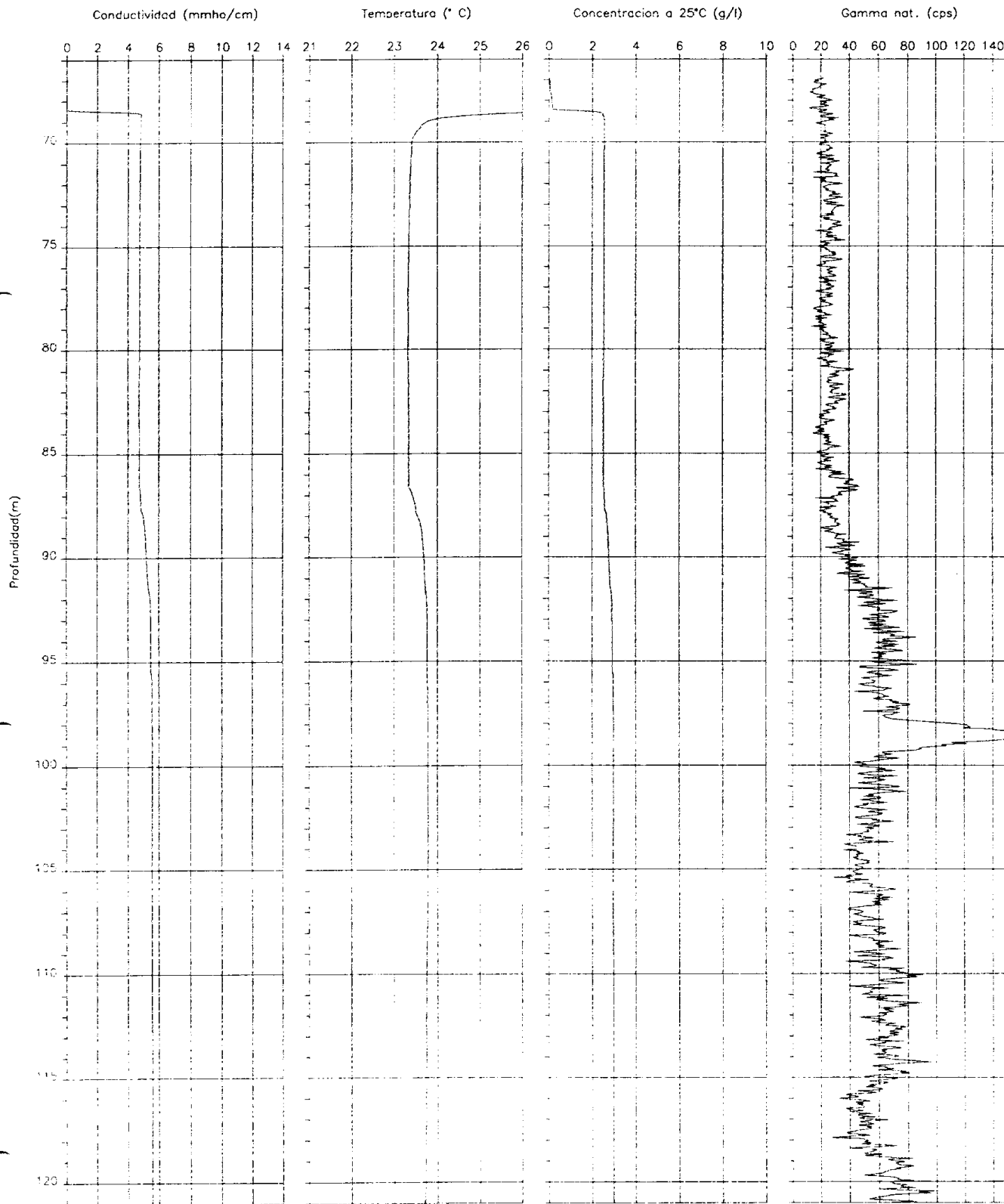
Velocidad: 4 m/min  
Equipo: Pro-LOGGER  
Sonda: TCGS 1497  
Fichero ACL: RG343VC  
Fichero ASCII: 43VC--\*.RG3  
Consultor: IGT, S.A.



Sondeo: 44Vc  
Localidad: Gangosa  
Provincia: Almeria  
UTM (X): 533900  
UTM (Y): 4073075  
Cota: 69.70 m  
Datum log: Borde tubo

Fecha: 30/4/96  
Hora: 16:23  
Tramo test.: 67-123 m  
Prof. perf.: ?  
Nivel fluido: 68.4 m  
T ambiente: 21.5°C  
Tiempo de reg.: 15 min

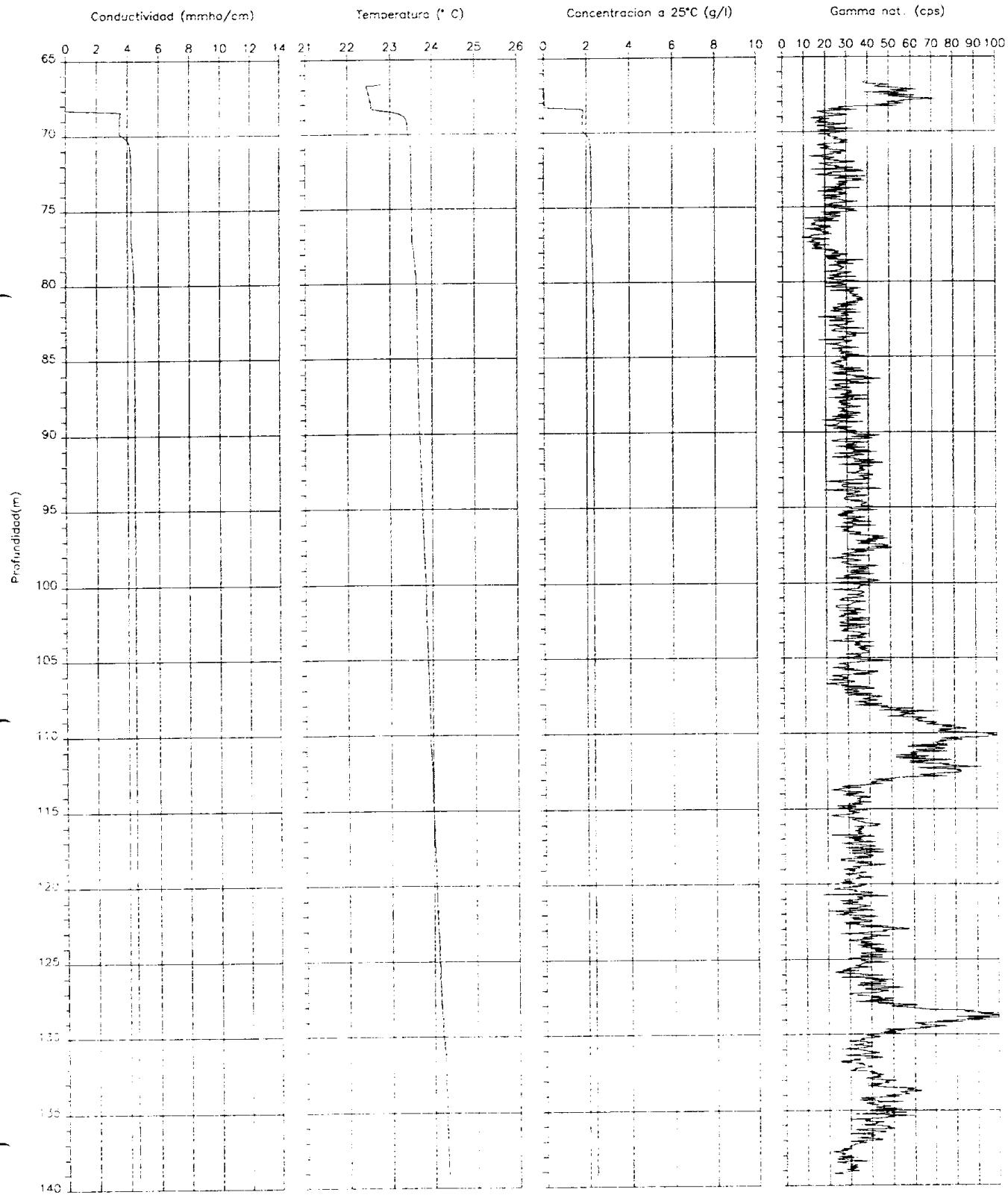
Velocidad: 4 m/min  
Equipo: Pro-LOGGER  
Sonda: TCGS 1497  
Fichero ACL: RG344VC  
Fichero ASCII: 44VC-\* .RG3  
Consultor: IGT, S.A.



Sondeo: 46VC  
Localidad: Gangosa  
Provincia: Almeria  
UTM (X): 533425  
UTM (Y): 4072825  
Cota: 69.56 m  
Datum log: Borde tubo

Fecha: 30/4/96  
Hora: 17:11  
Tramo test.: 67-140 m  
Prof. perf.: ?  
Nivel fluido: 68.3 m  
T ambiente: 20°C  
Tiempo de reg.: 20 min

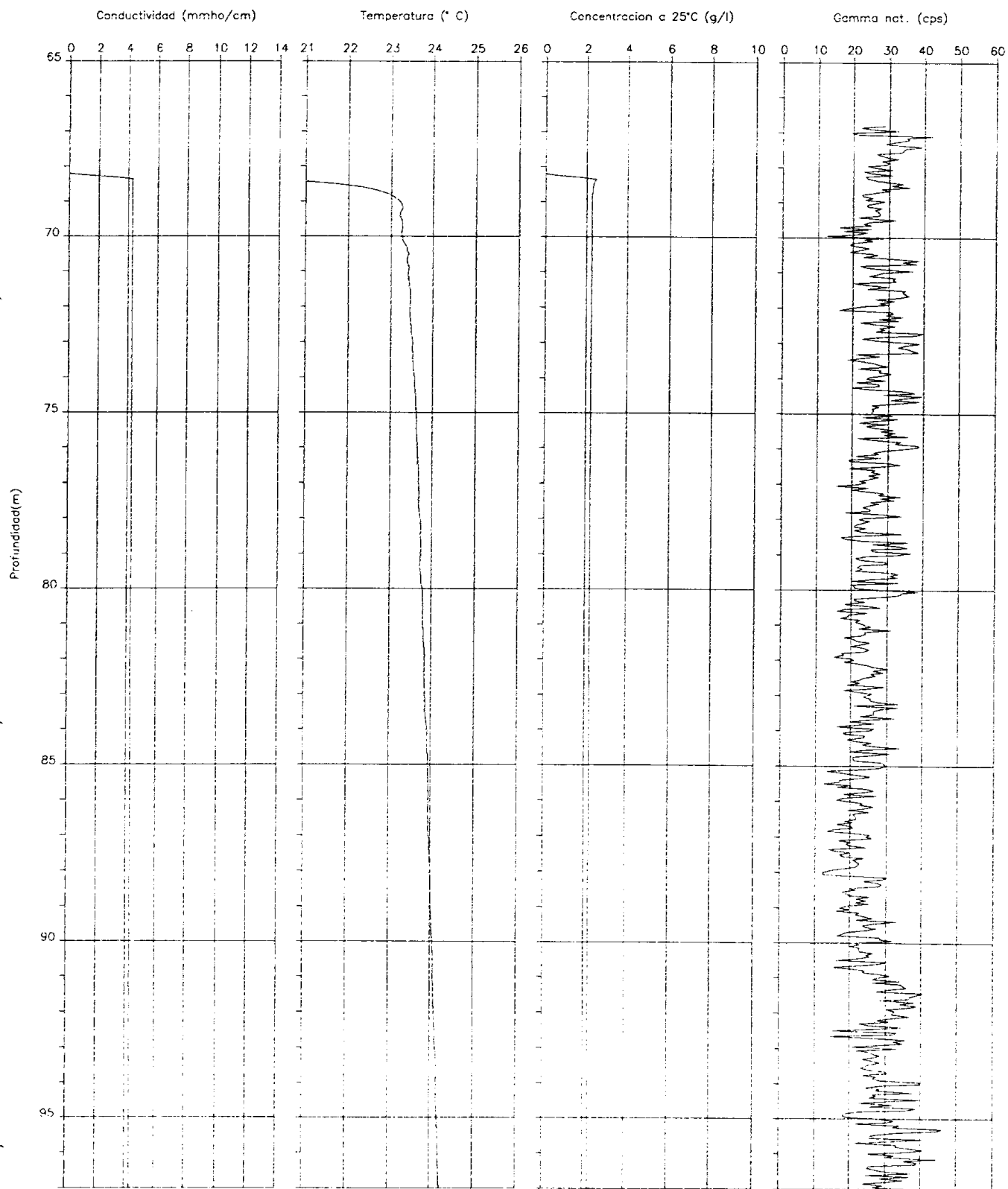
Velocidad: 4 m/min  
Equipo: Pro-LOGGER  
Sonda: TCGS 1497  
Fichero ACL: RG346VC  
Fichero ASCII: 46VC-\* .RG3  
Consultor: IGT, S.A.



Sondeo: 47Vc  
Localidad: Gangosa  
Provincia: Almeria  
UTM (X): 533225  
UTM (Y): 4072775  
Cota: 69.40 m  
Datum log: Borde tubo

Fecha: 1/5/96  
Hora: 9:45  
Tramo test.: 66-97 m  
Prof. perf.: ?  
Nivel fluido: 68.2 m  
T ambiente: 19°C  
Tiempo de reg.: 10 min

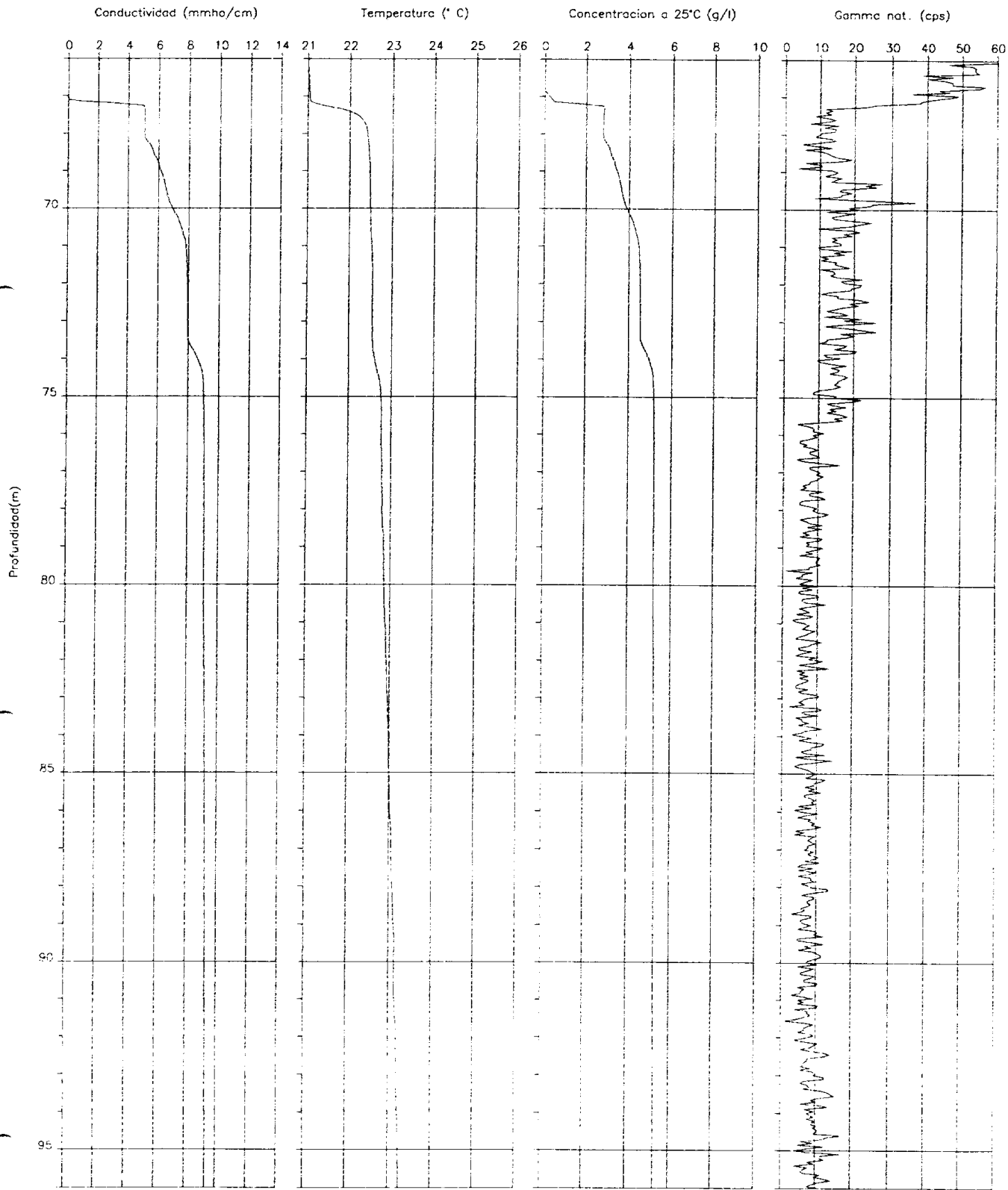
Velocidad: 4 m/min  
Equipo: Pro-LOGGER  
Sonda: TCGS 1497  
Fichero ACL: RG347VC  
Fichero ASCII: 47VC-\* .RG3  
Consultor: IGT, S.A.



Sondeo: 50Vc  
Localidad: Gangosa  
Provincia: Almeria  
UTM (X): 532175  
UTM (Y): 4072925  
Cota: 69.52 m  
Datum log: Borde tubo

Fecha: 1/5/96  
Hora: 10:37  
Tramo test.: 65-96 m  
Prof. perf.: ?  
Nivel fluido: 67.2 m  
T ambiente: 20.5°C  
Tiempo de reg.: 8 min

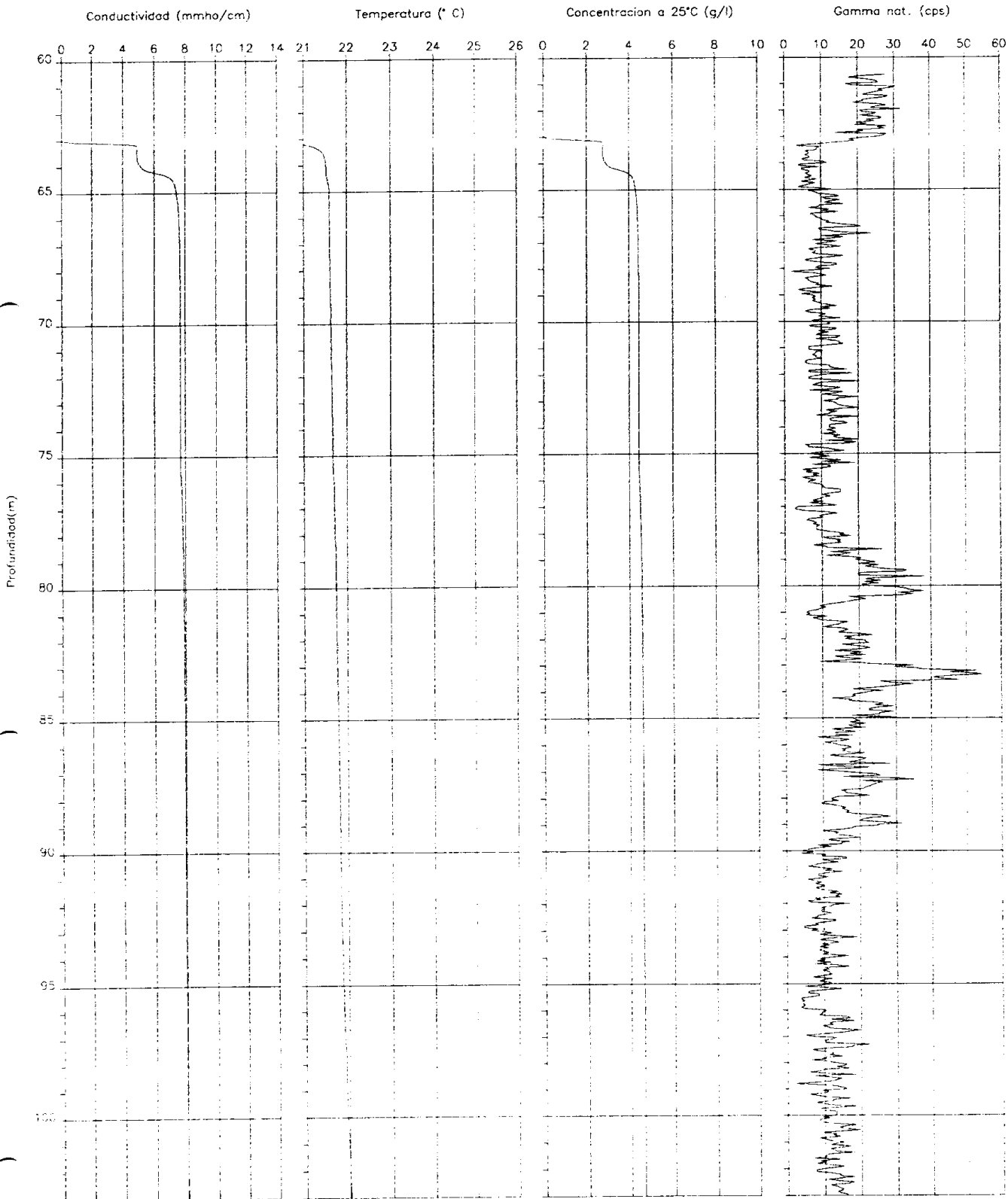
Velocidad: 4 m/min  
Equipo: Pro-LOGGER  
Sonda: TCGS 1497  
Fichero ACL: RG350VC  
Fichero ASCII: 50VC-\* .RG3  
Consultor: IGT, S.A.



Sondeo: 53Vc  
Localidad: Viso  
Provincia: Almeria  
UTM (X): 531175  
UTM (Y): 4071175  
Cota: 66.70 m  
Datum log: Borde tubo

Fecha: 5/1/96  
Hora: 11:15  
Tramo test.: 60-103 m  
Prof. perf.: ?  
Nivel fluido: 63.0 m  
T ambiente: 20°C  
Tiempo de reg.: 11 min

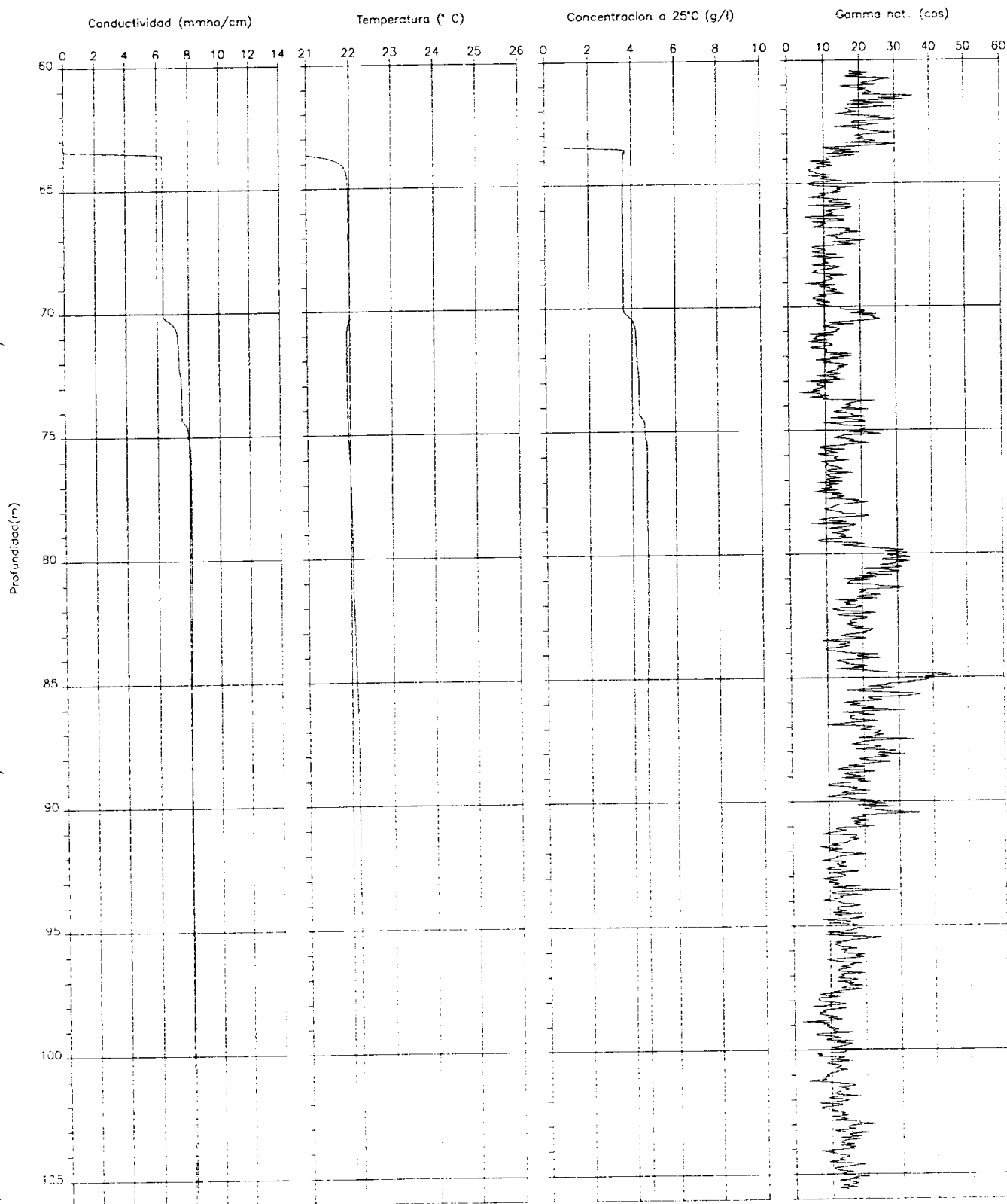
Velocidad: 4 m/min  
Equipo: Pro-LOGGER  
Sonda: TCGS 1497  
Fichero ACL: RG353VC  
Fichero ASCII: 53VC-\* .RG3  
Consultor: IGT, S.A.



Sonda: RG34VC  
Localidad: Viso  
Provincia: Almeria  
UTM (X): 530675  
UTM (Y): 4070775  
Cota: 67.22 m  
Datum log: Borde tubo

Fecha: 1/5/96  
Hora: 12:00  
Tramo test.: 60-105 m  
Prof. perf.: ?  
Nivel fluido: 63.4 m  
T ambiente: 20°C  
Tiempo de reg.: 12 min

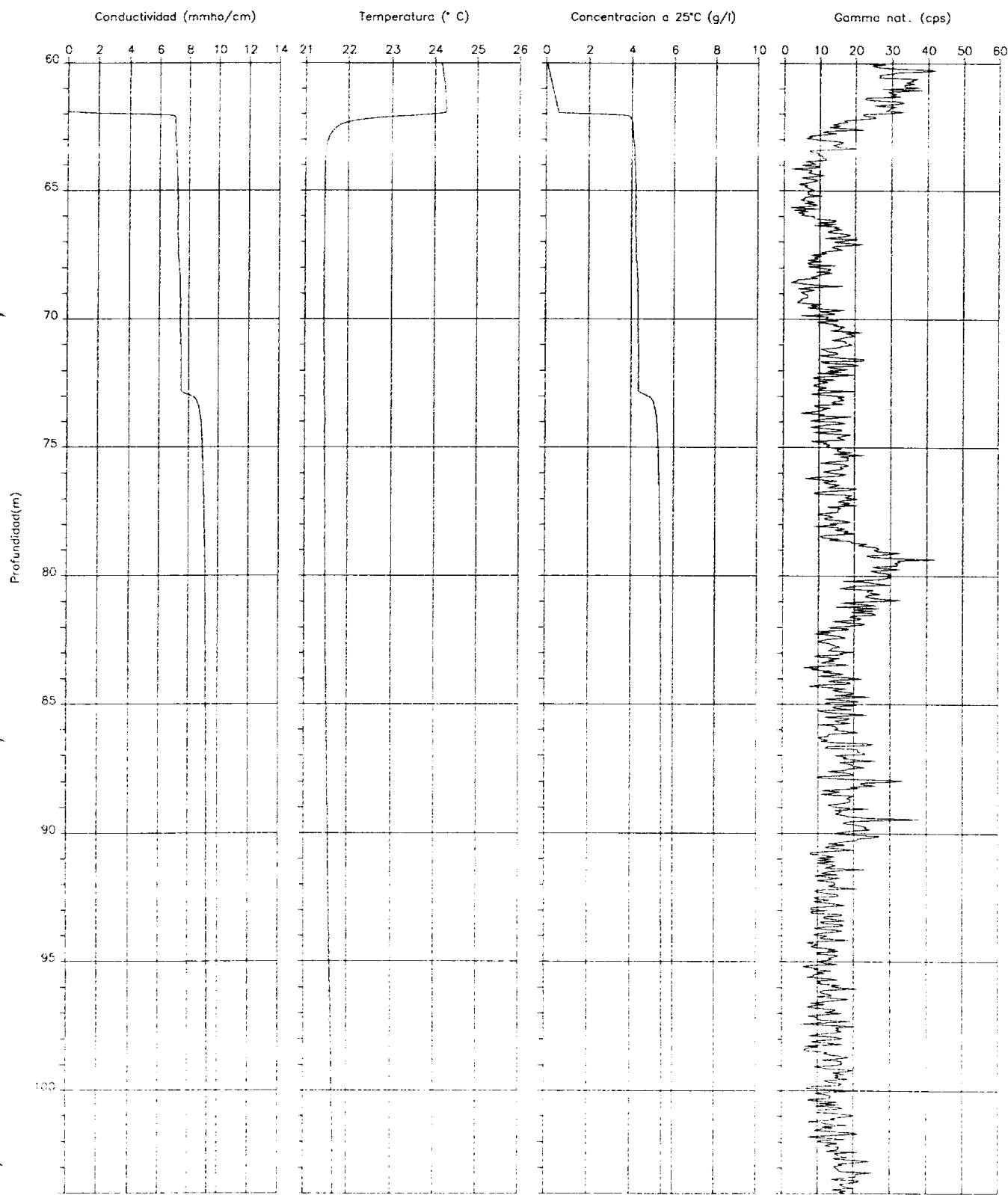
Velocidad: 4 m/min  
Equipo: Pro-LOGGER  
Sonda: TCGS 1497  
Fichero ACL: RG354VC  
Fichero ASCII: 54VC-\* .RG3  
Consultor: IGT, S.A.



Sondeo: 56Vc  
Localidad: Viso  
Provincia: Almería  
UTM (X): 530550  
UTM (Y): 4070750  
Cota: 66.59 m  
Datum log: Borde tubo

Fecha: 1/5/96  
Hora: 13:00  
Tramo test.: 60-104 m  
Prof. perf.: ?  
Nivel fluido: 62. m  
T ambiente: 21°C  
Tiempo de reg.: 11 min

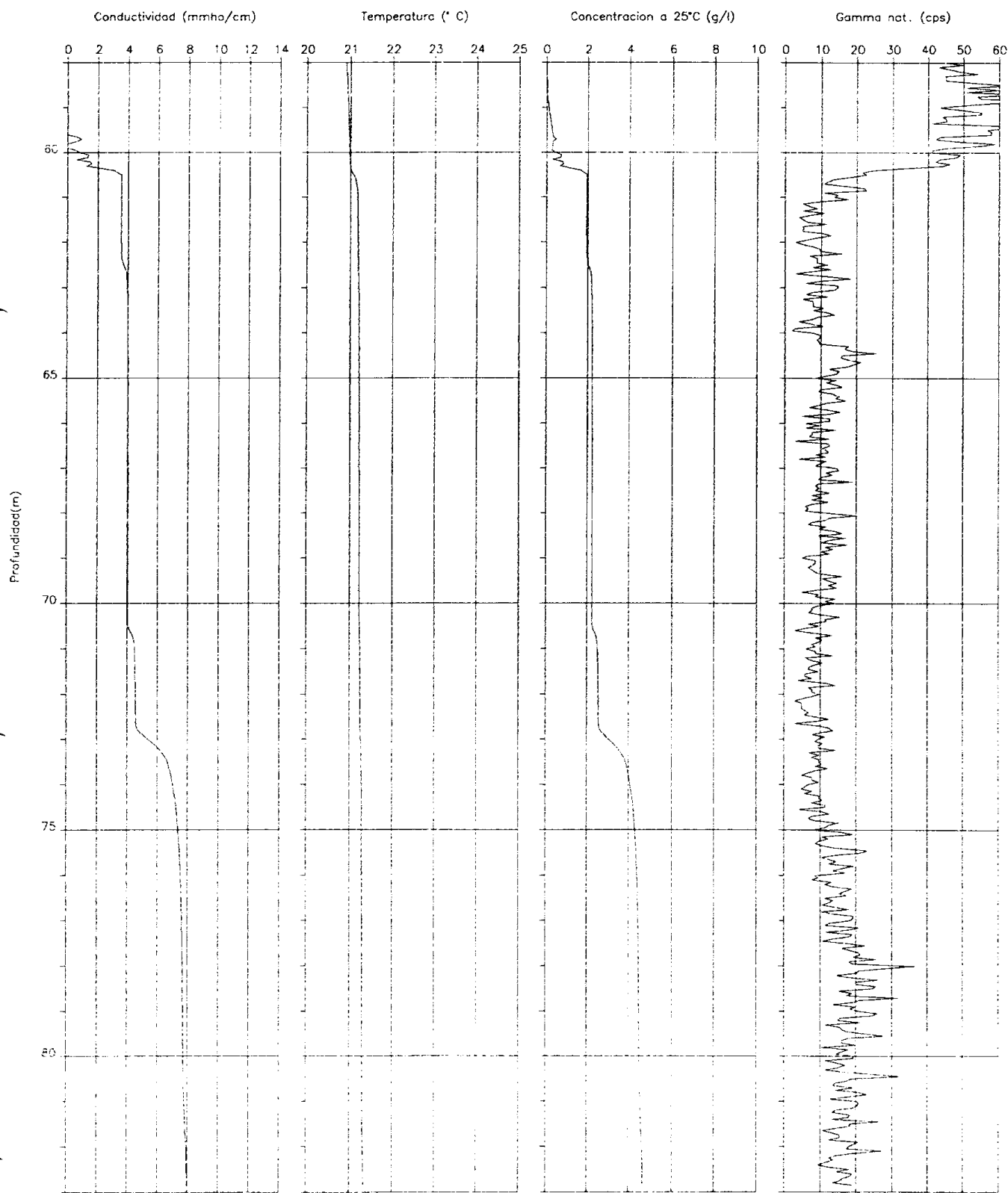
Velocidad: 4 m/min  
Equipo: Pro-LOGGER  
Sonda: TCGS 1497  
Fichero ACL: RG356VC  
Fichero ASCII: 56VC-\* .RG3  
Consultor: IGT, S.A.



Sondeo: 59Vc  
Localidad: Viso  
Provincia: Almería  
UTM (X): 529750  
UTM (Y): 4070250  
Cota: 66.38 m  
Datum log: Borde tubo

Fecha: 1/5/96  
Hora: 13:45  
Tramo test.: 58-83 m  
Prof. perf.: ?  
Nivel fluido: 60.3 m  
T ambiente: 21.5°C  
Tiempo de reg.: 9 min

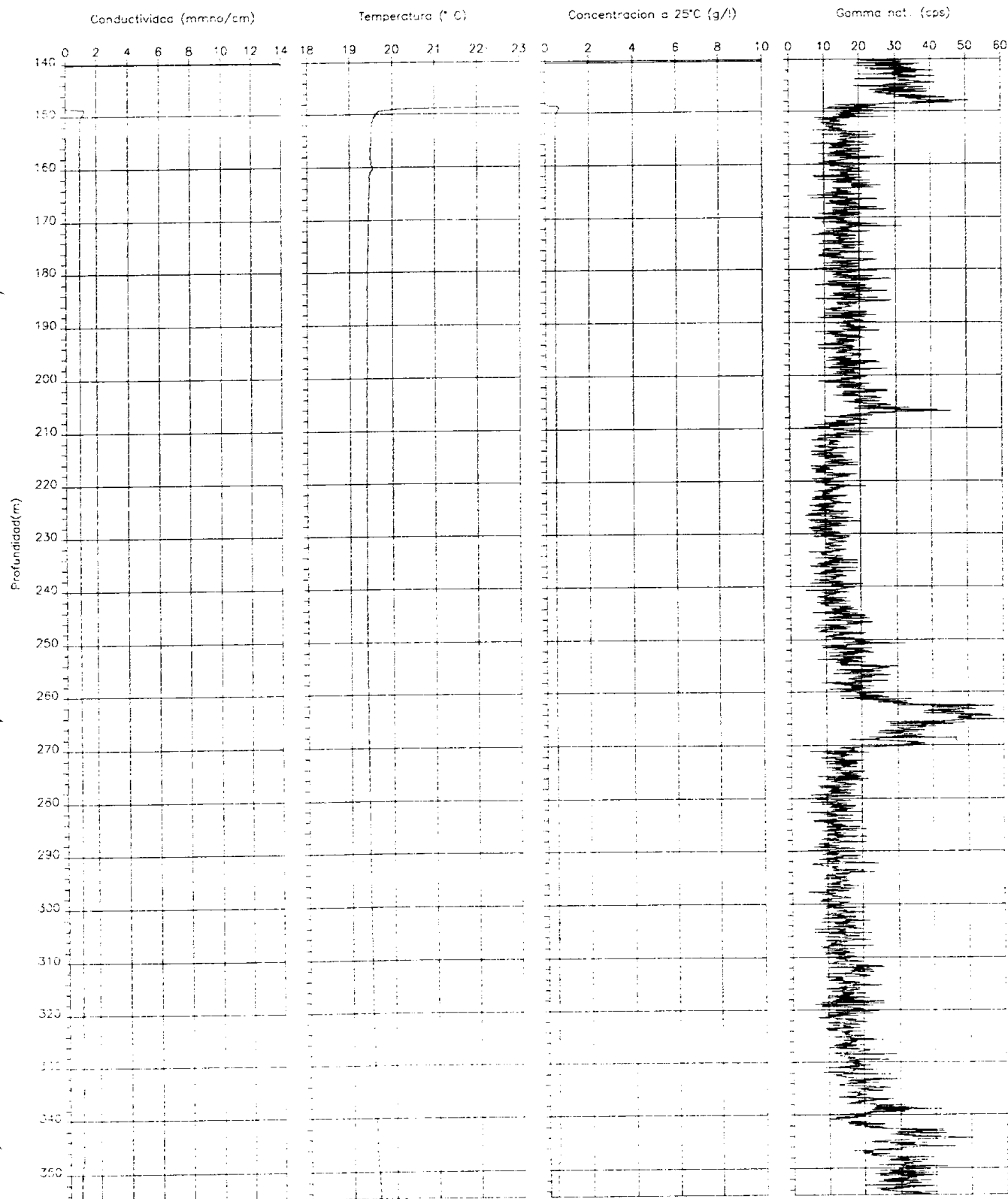
Velocidad: 4 m/min  
Equipo: Pro-LOGGER  
Sonda: TCGS 1497  
Fichero ACL: RG359VC  
Fichero ASCII: 59VC-\* .RG3  
Consultor: IGT, S.A.



Sondeo: 117Vc  
Localidad: Viso  
Provincia: Almería  
UTM (X): 529275  
UTM (Y): 4072375  
Cota: 141.25  
Datum log: Borde tubo

Fecha: 20/4/96  
Hora: 10:30  
Tramo test.: 140-355 m  
Prof. perf.: ?  
Nivel fluido: 148.7 m  
T ambiente: 24°C  
Tiempo de reg.: 55 min

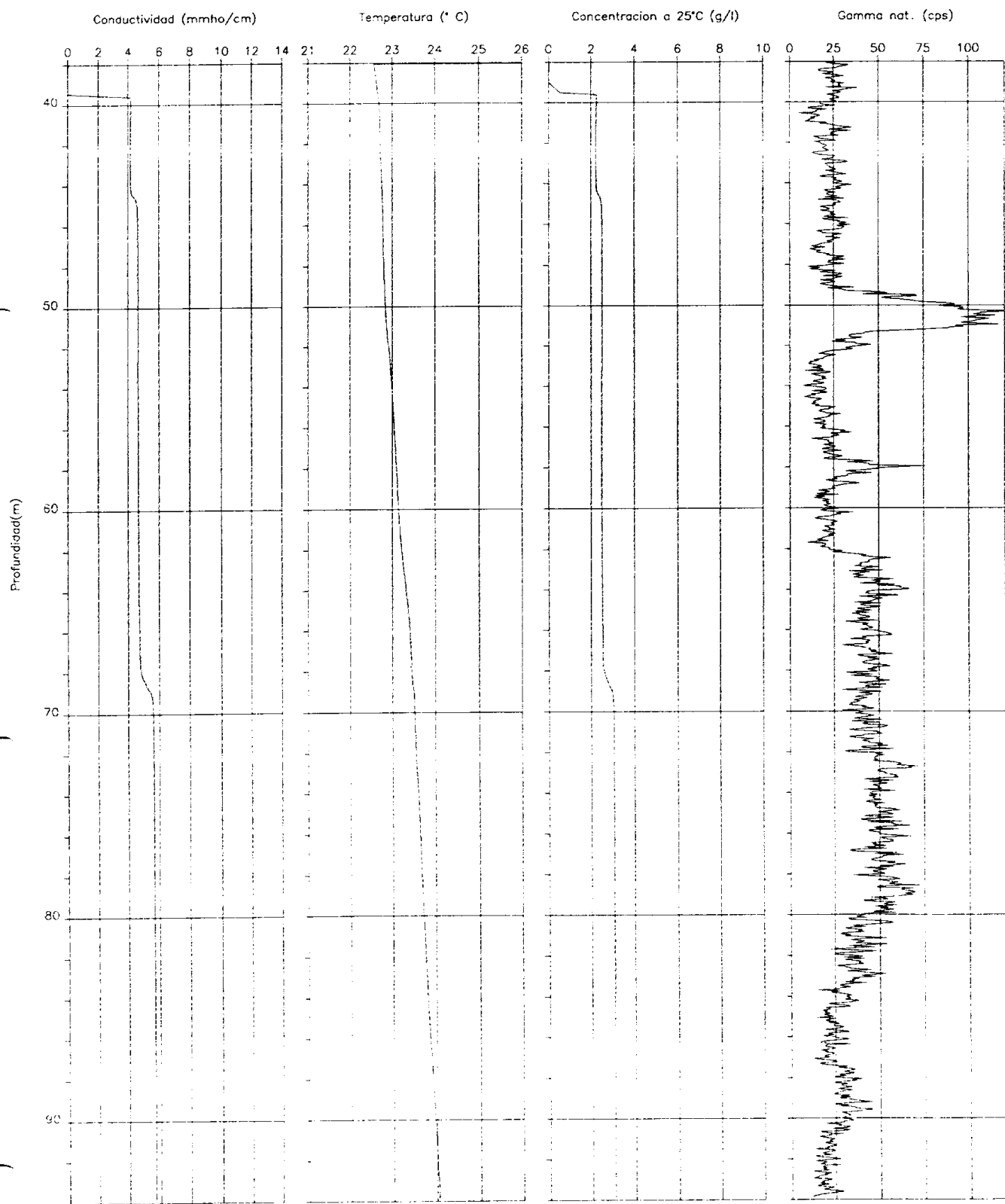
Velocidad: 4 m/min  
Equipo: Pro-LOGGER  
Sonda: TCGS 1497  
Fichero ACL: RG3117VC  
Fichero ASCII: 117VC-\* .RGZ  
Consultor: IGT, S.A.



Sondeo: 152VC  
Localidad: Roquetas  
Provincia: Almeria  
UTM (X): 534400  
UTM (Y): 4072400  
Cota: 40.98 m  
Datum log: Borde tubo

Fecha: 30/4/96  
Hora: 13:33  
Tramo test.: 38-94 m  
Prof. perf.: ?  
Nivel fluido: 39.5 m  
T ambiente: 24°C  
Tiempo de reg.: 15 min

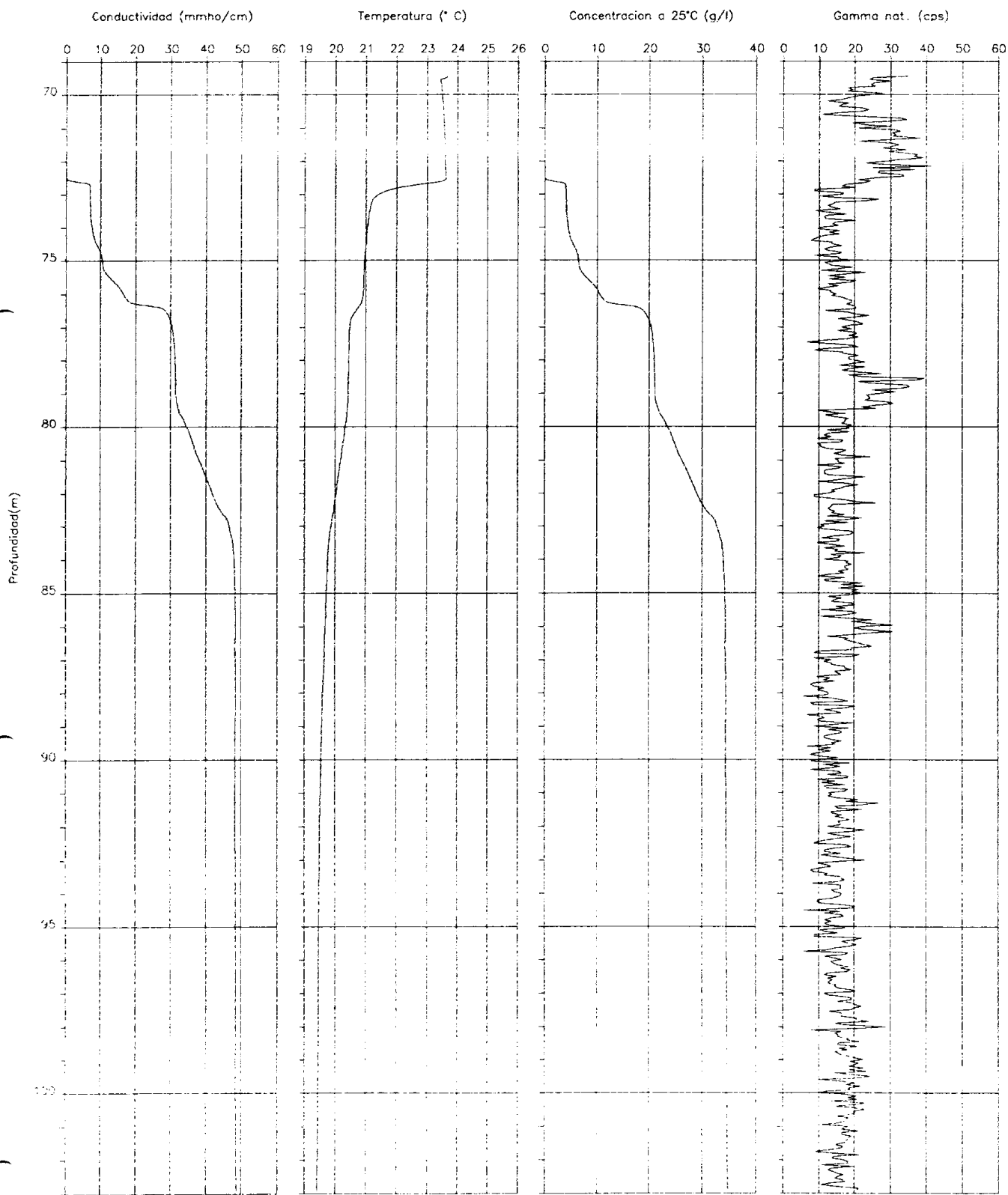
Velocidad: 4 m/min  
Equipo: Pro-LOGGER  
Sonda: TCGS 1497  
Fichero ACL: RG3152VC  
Fichero ASCII: 152VC-\* .RG3  
Consultor: IGT, S.A.



Sondeo: 458BJ  
Localidad: Balanegra  
Provincia: Almeria  
UTM (X): 506650  
UTM (Y): 4067875  
Cota: 70.44  
Datum log: Borde tubo

Fecha: 26/4/96  
Hora: 11:53  
Tramo test.: 69-103 m  
Prof. perf.: ?  
Nivel fluido: 72.6 m  
T ambiente: 21.4°C  
Tiempo de reg.: 10 min

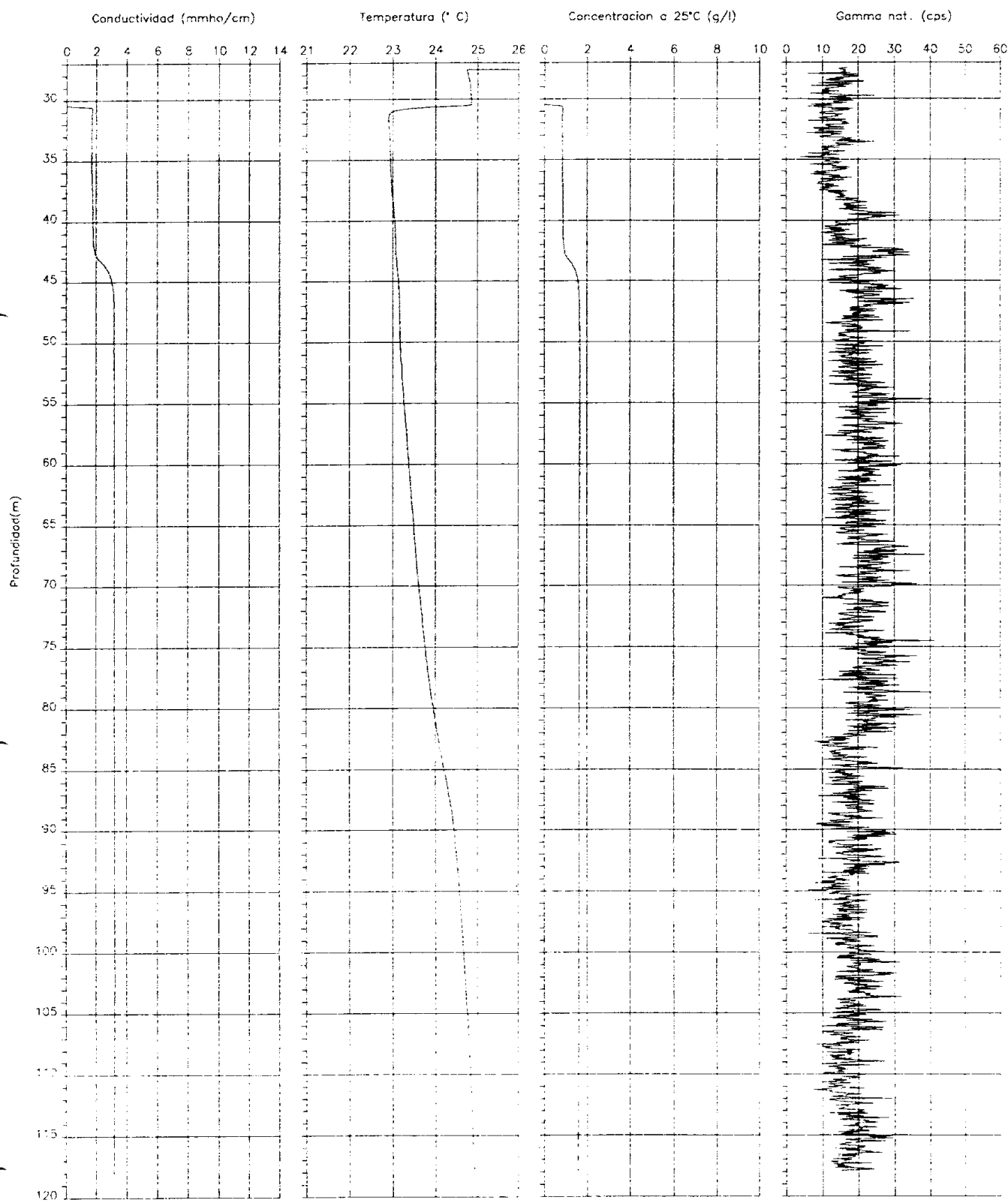
Velocidad: 4 m/min  
Equipo: Pro-LOGGER  
Sonda: TCGS 1497  
Fichero ACL: RG3458BJ  
Fichero ASCII: 458BJ-\* .RG3  
Consultor: IGT, S.A.



Sondeo: 477BJ (B-5)  
Localidad: Balanegra  
Provincia: Almeria  
UTM (X): 508450  
UTM (Y): 4067350  
Cota: 24.95 m  
Datum log: Borde tubo

Fecha: 26/4/96  
Hora: 13:00  
Tramo test.: 27-118 m  
Prof. perf.: ?  
Nivel fluido: 30.3 m  
T ambiente: 23.2°C  
Tiempo de reg.: 22 min

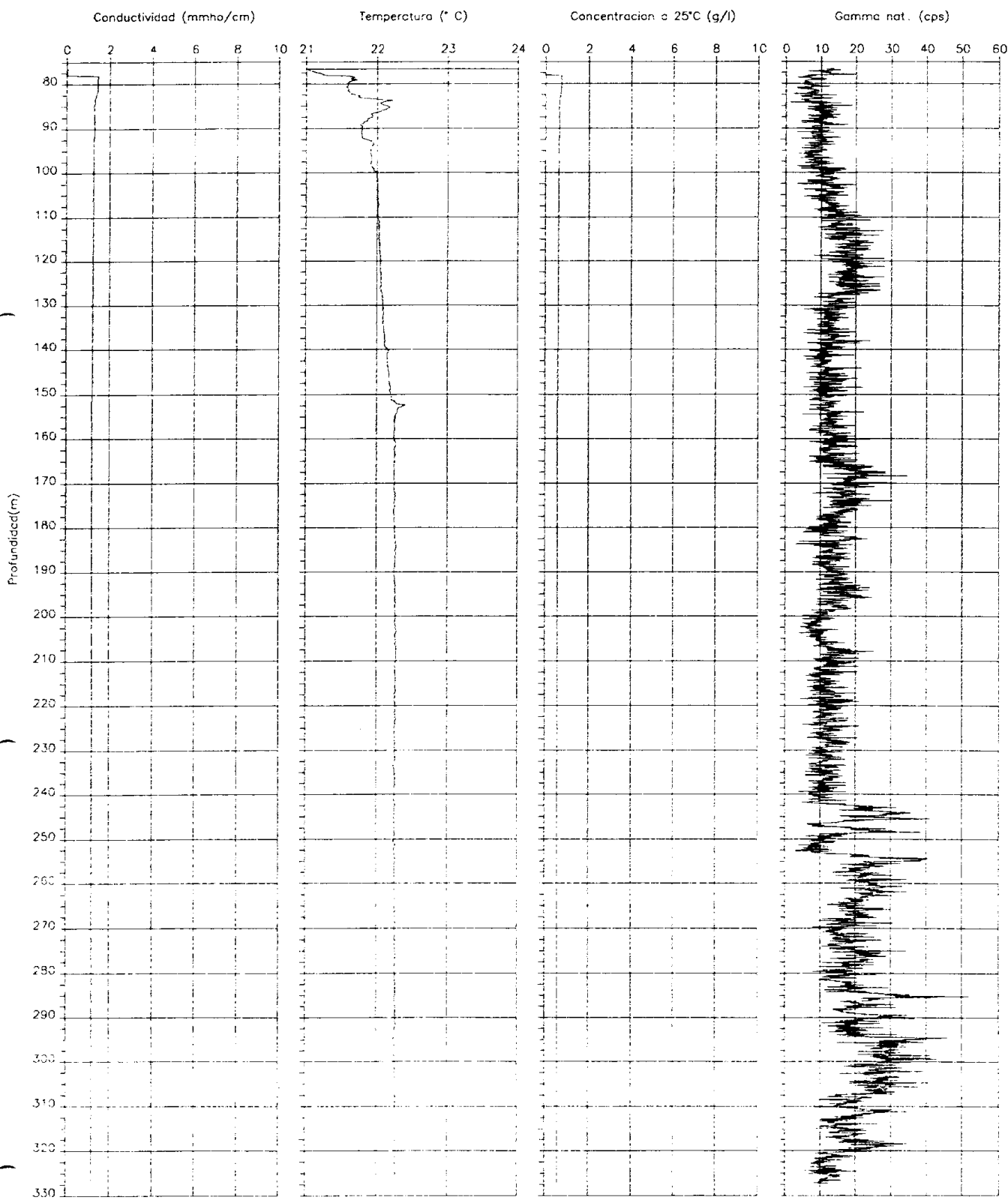
Velocidad: 4 m/min.  
Equipo: Pro-LOGGER  
Sonda: TCGS 1497  
Fichero ACL: RG3477BJ  
Fichero ASCII: 477BJ-\* .RG3  
Consultor: IGT, S.A.



Sondeo: 485BJ  
Localidad: Balanegra  
Provincia: Almeria  
UTM (X): 509150  
UTM (Y): 4067775  
Cota: 61.74  
Datum log.: Borde tubo

Fecha: 25/4/96  
Hora: 10:30  
Tramo test.: 76-327 m  
Prof. perf.: ?  
Nivel fluido: 78.0 m  
T ambiente: 20°C  
Tiempo de reg.: 1h 02 min

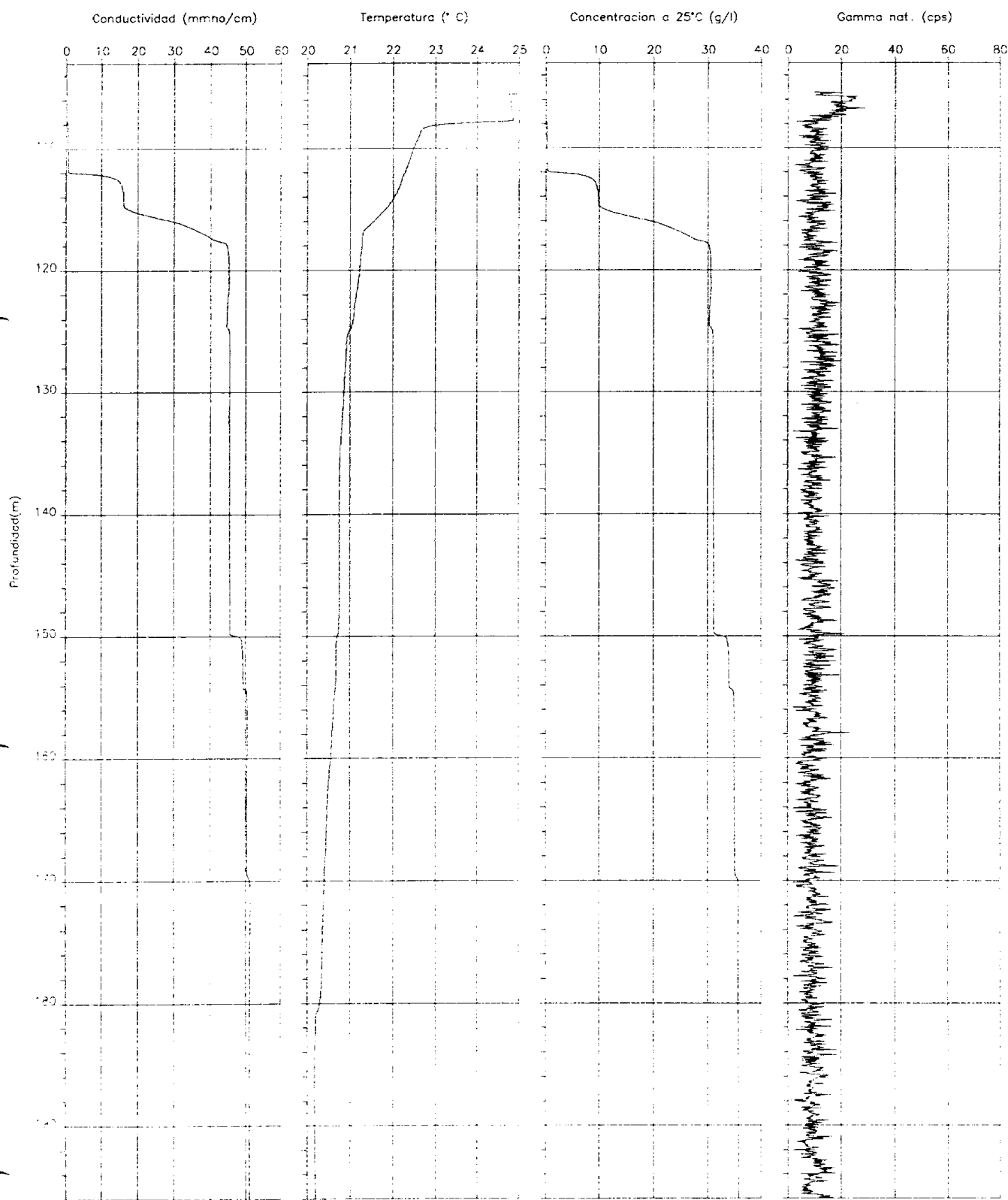
Velocidad: 4 m/min  
Equipo: Pro-LOGGER  
Sonda: TCGS 1497  
Fichero ACL: RG3485BJ  
Fichero ASCII: 485BJ-\* .RG3  
Consultor: IGT, S.A.



Sondeo: 486BJ  
Localidad: Balanegra  
Provincia: Almeria  
UTM (X): 508525  
UTM (Y): 4068225  
Cota: 98.49  
Datum log: Borde tubo

Fecha: 24/4/96  
Hora: 17:52  
Tramo test.: 105-196 m  
Prof. perf.: ?  
Nivel fluido: 107.7 m  
T ambiente: 24.5°C  
Tiempo de reg.: 25 min

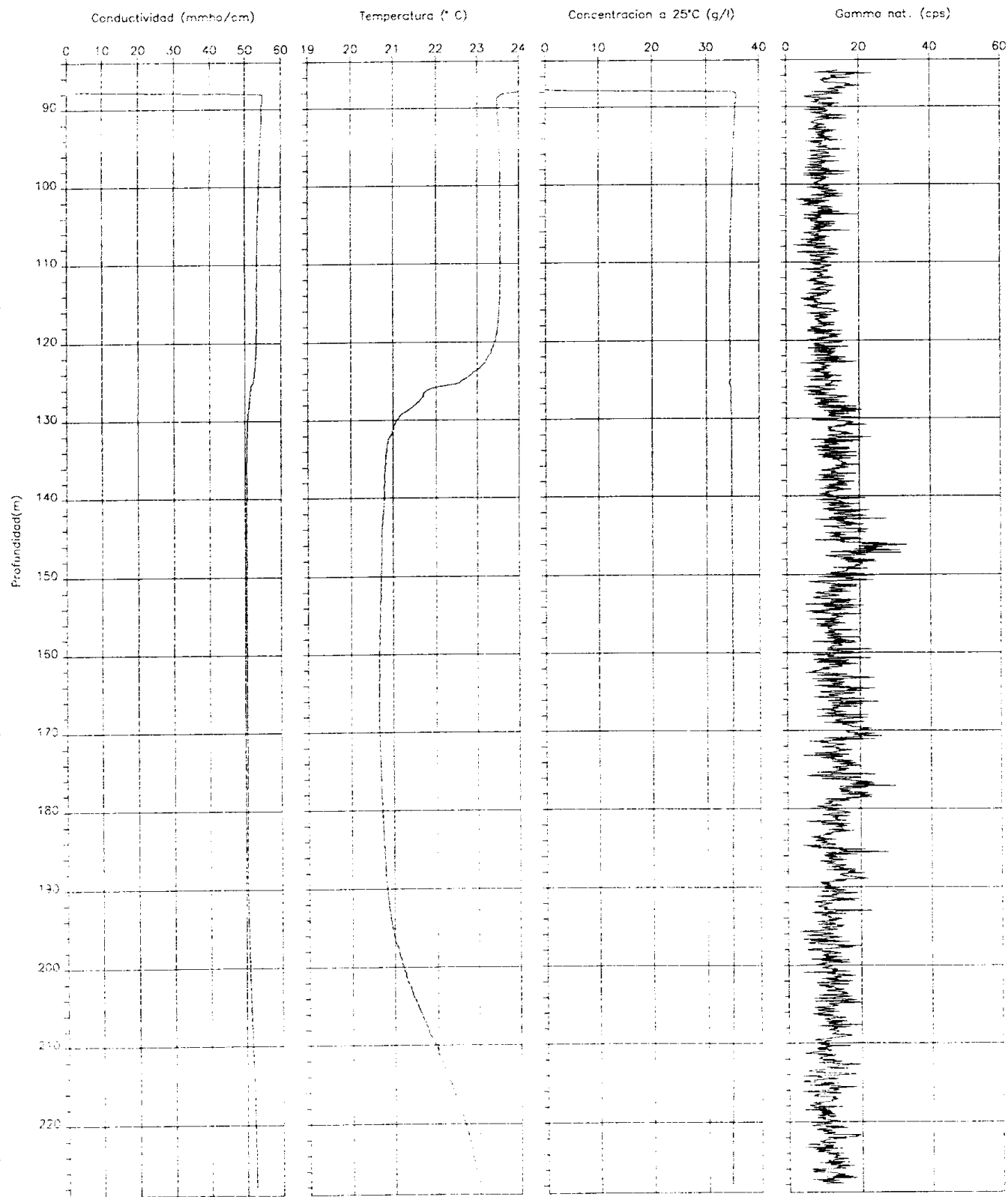
Velocidad: 4 m/min  
Equipo: Pro-LOGGER  
Sonda: TCGS 1497  
Fichero ACL: RG3486BJ  
Fichero ASCII: 486BJ-\* .RG3  
Consultor: IGT, S.A.



Sondeo: 508BJ (B10) Localidad: Balanegra  
Provincia: Almeria UTM (X): 508475  
UTM (Y): 4067925 Cota: 78.62 m  
Datum log: Borde tubo

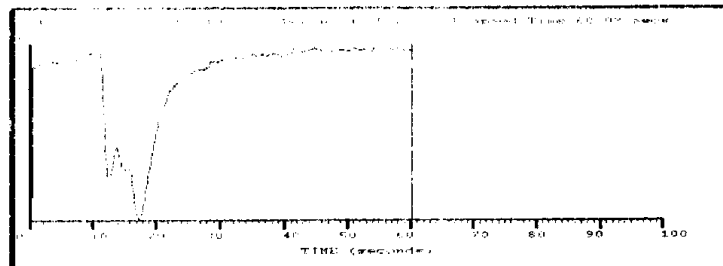
Fecha: 25/4/96 Hora: 17:45  
Tramo test.: 85-228 m Prof. perf.: ?  
Nivel fluido: 88.06 m T ambiente: 25°C  
Tiempo de reg.: 35 min

Velocidad: 4 m/min  
Equipo: Pro-LOGGER  
Sonda: TCGS 1497  
Fichero ACL: RG3508BJ  
Fichero ASCII: 508BJ-\* .RG3  
Consultor: IGT, S.A.

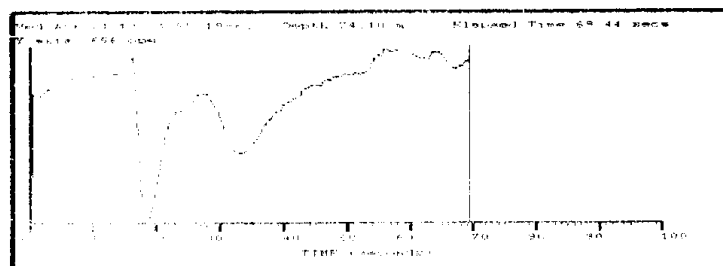


## **A N E X O 3.1)**

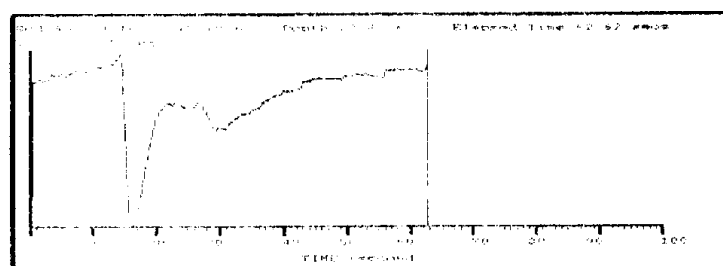
**Calibración de la sonda de flujo. Registros en movimiento**



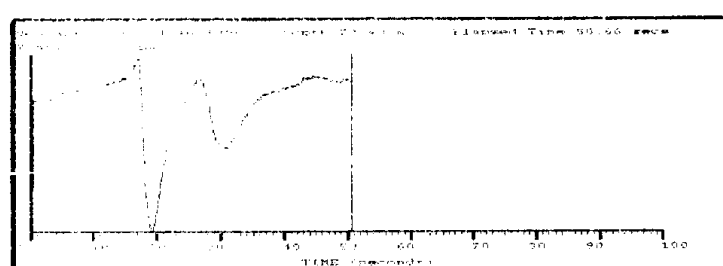
0.23 m/min



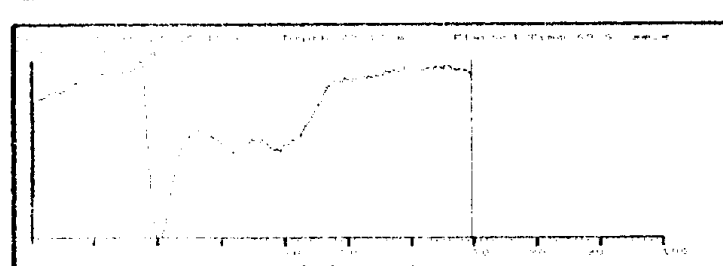
0.12 m/min



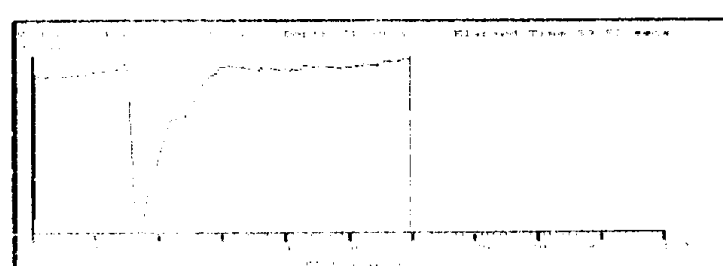
0.13 m/min



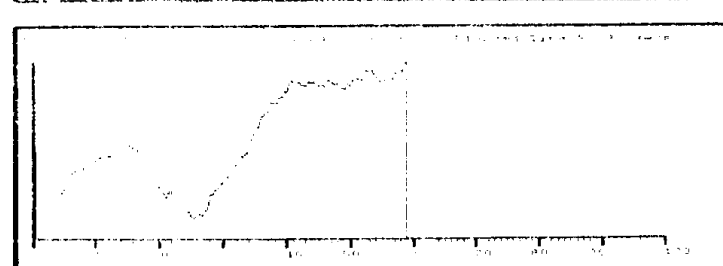
0.09 m/min



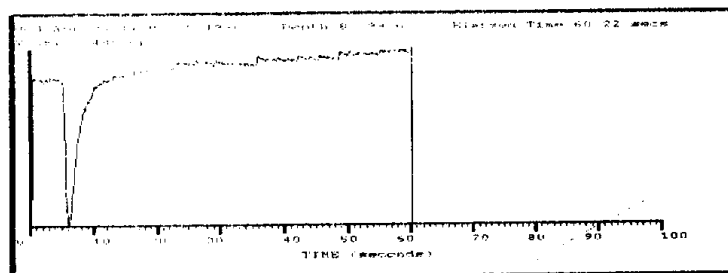
0.09 m/min



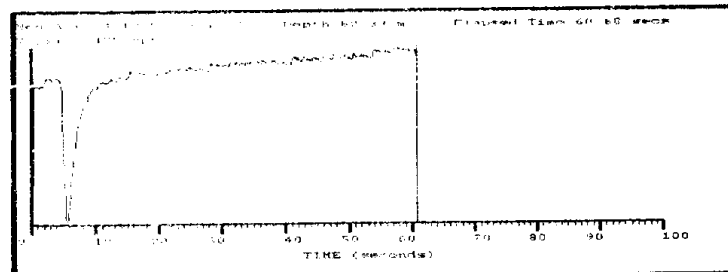
0.1 m/min



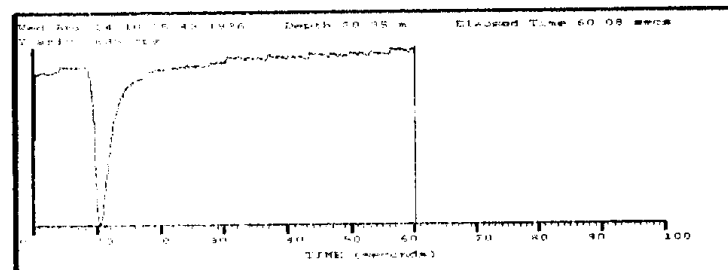
0.11 m/min



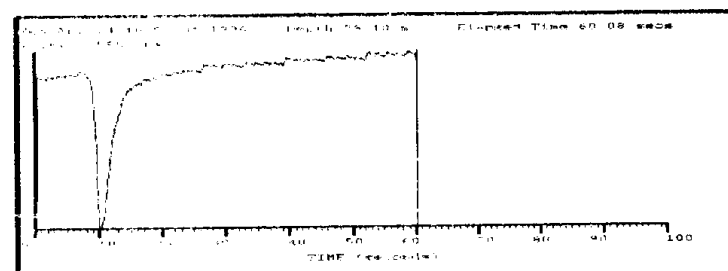
0.94 m/min



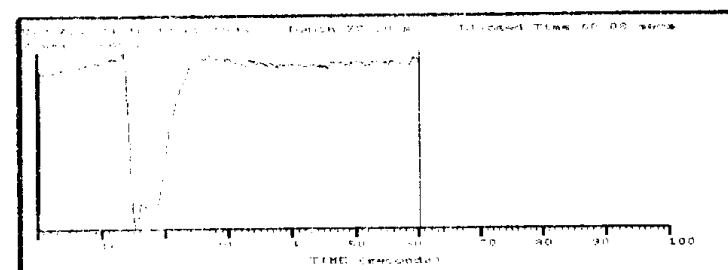
0.94 m/min



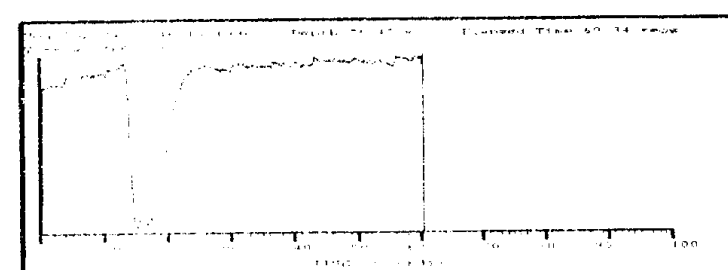
0.5 m/min



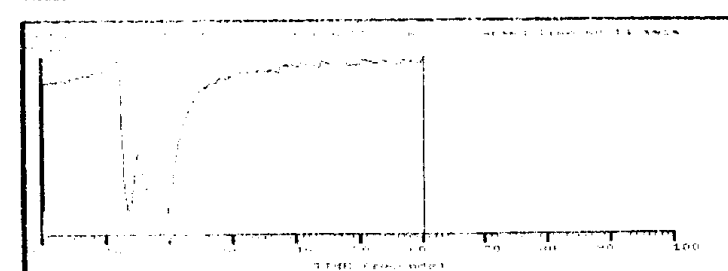
0.51 m/min



0.27 m/min

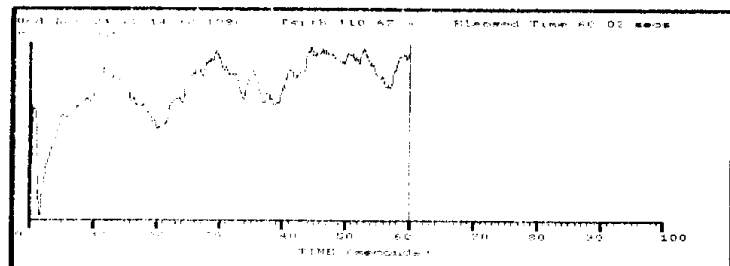


0.27 m/min

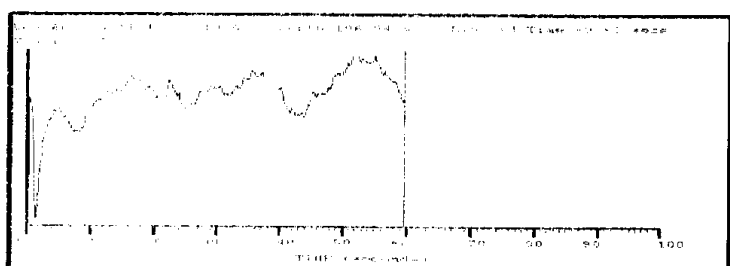


0.21 m/min

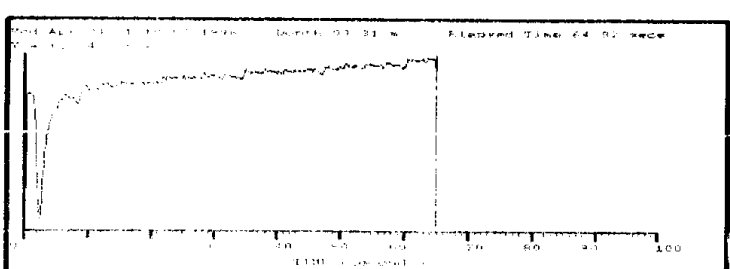
Sonda en descenso (flujo ascendente)



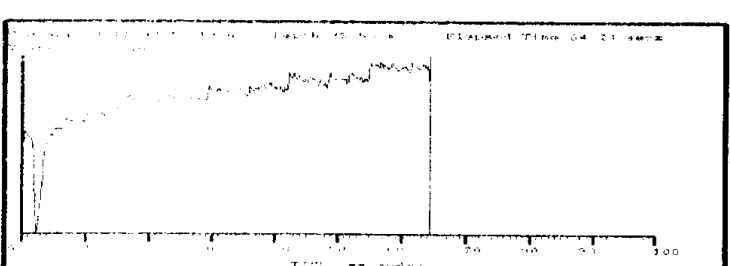
3 m/min



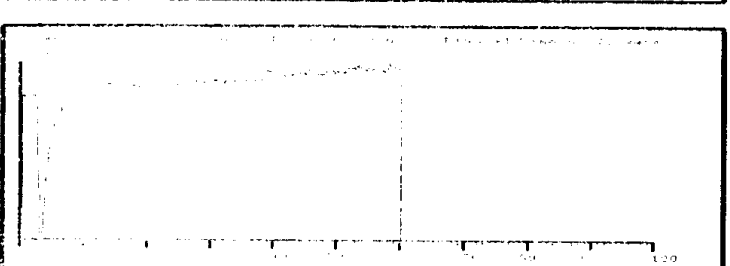
3 m/min



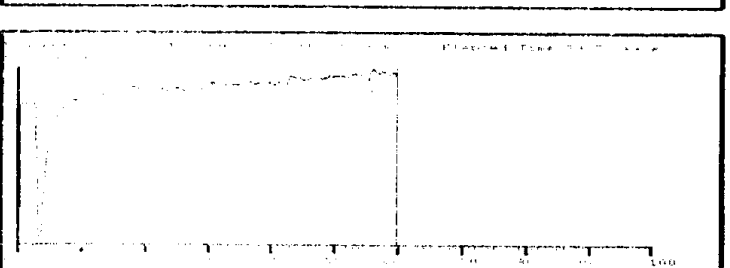
2 m/min



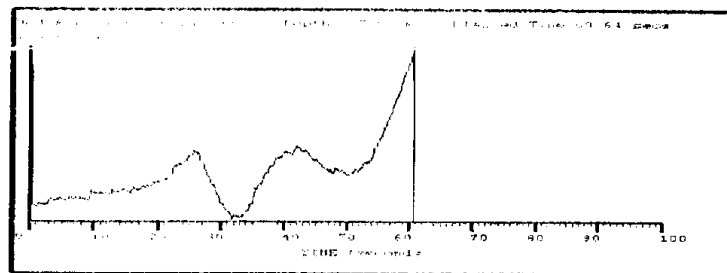
2 m/min



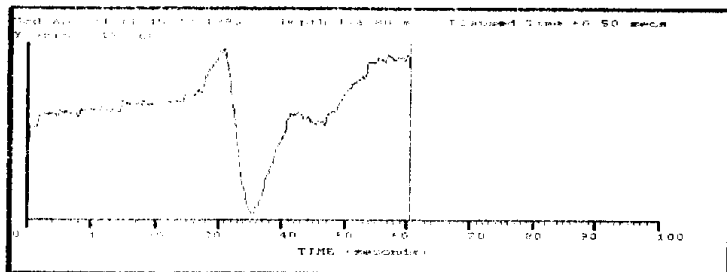
1.5 m/min



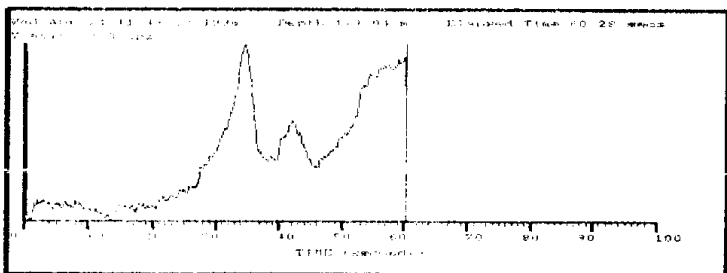
1.5 m/min



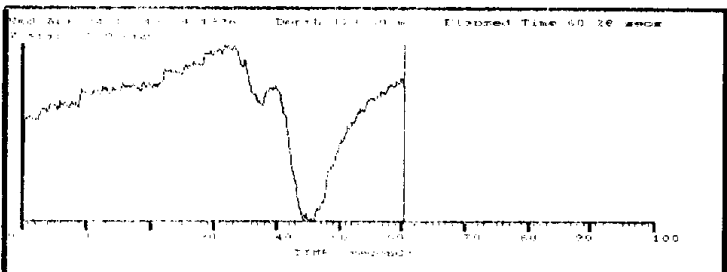
0.19 m/min



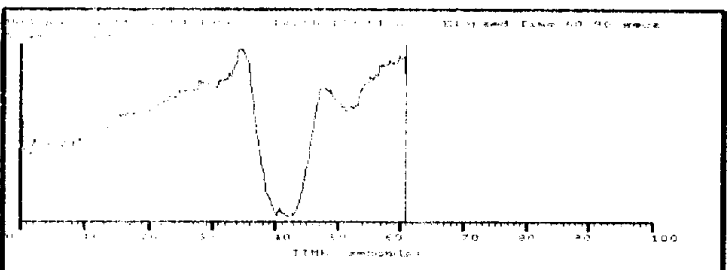
0.11 m/min



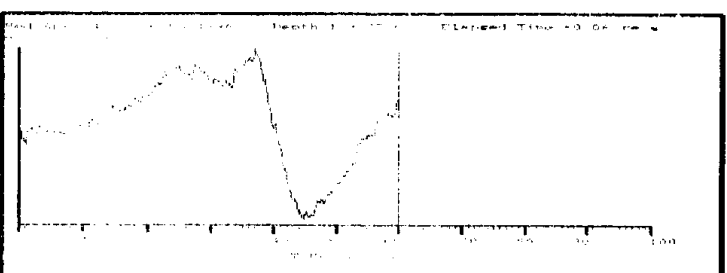
0.11 m/min



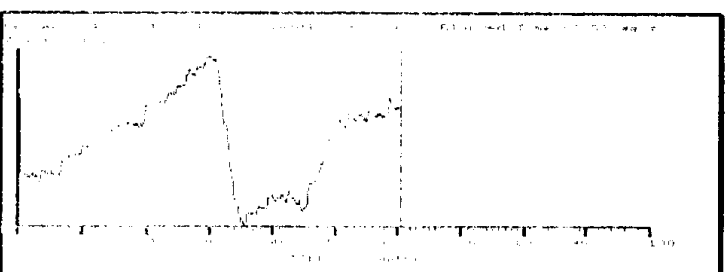
0.11 m/min



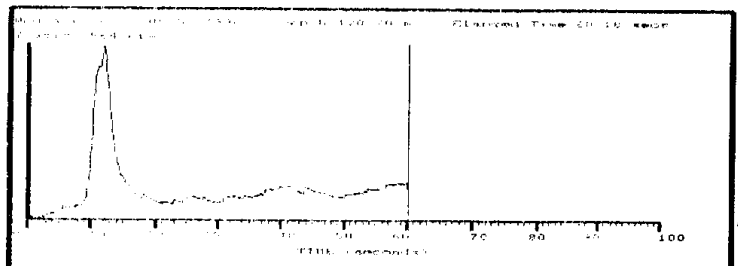
0.1 t min



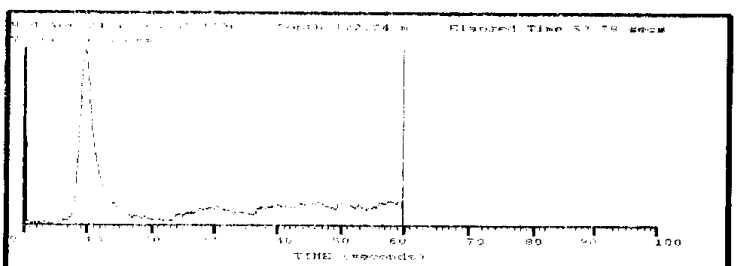
0.06 m/min



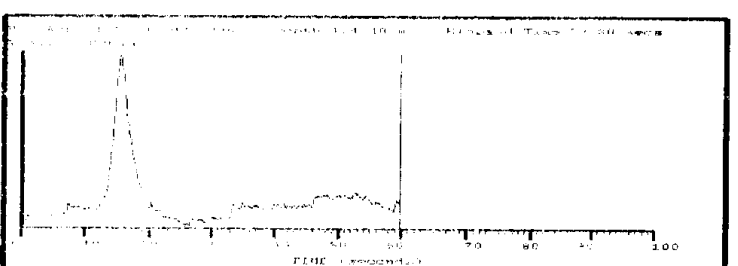
0.08 m/min



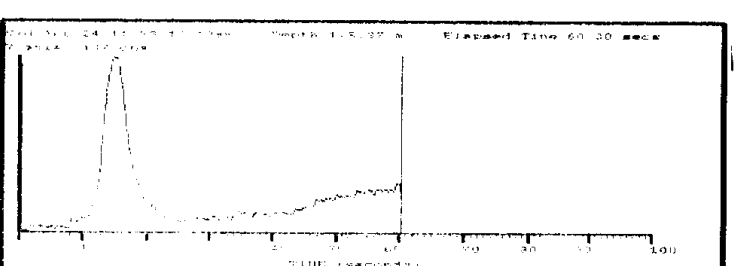
0.92 m/min



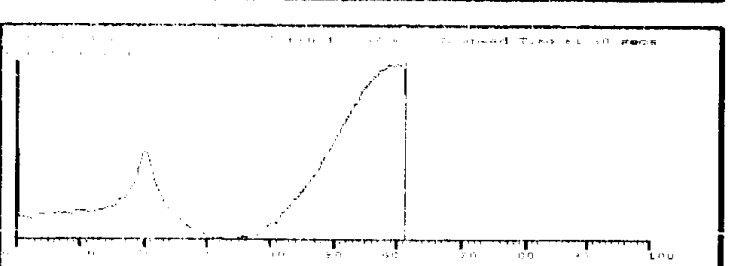
0.92 m/min



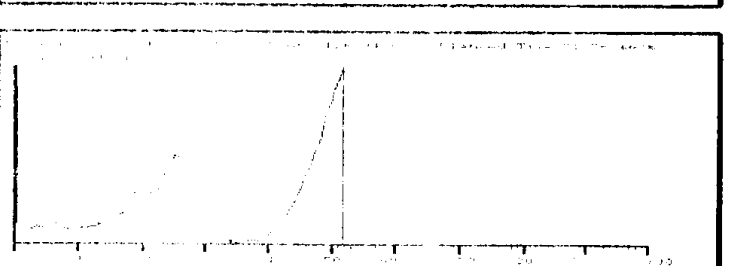
0.5 m/min



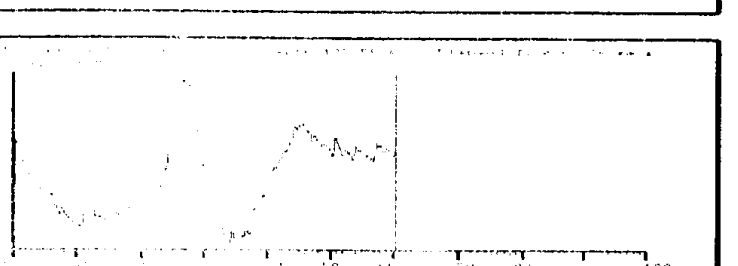
0.5 m/min



0.3 m/min

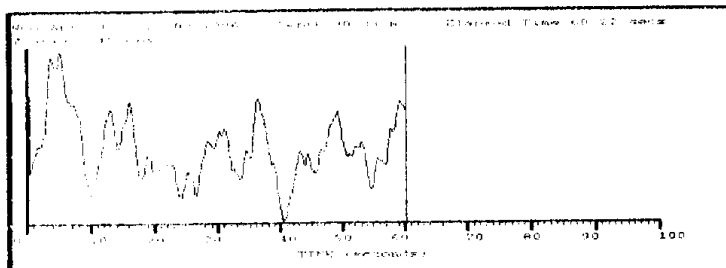


0.3 m/min

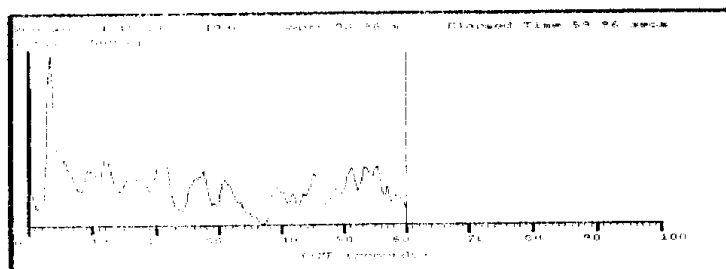


0.19 m/min

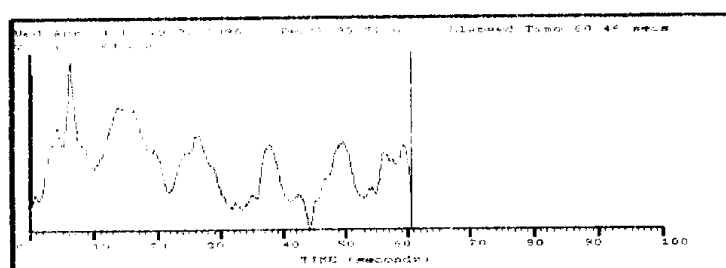
Sonda en ascenso  
(flujo descendente)



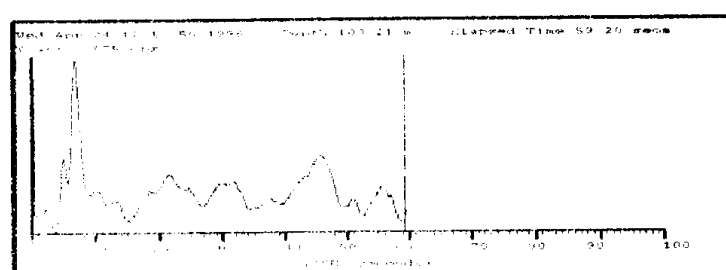
3 m/min



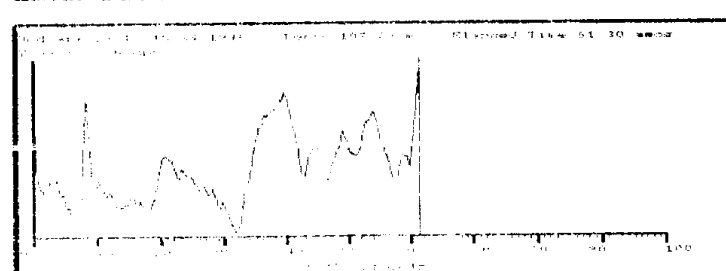
3 m/min



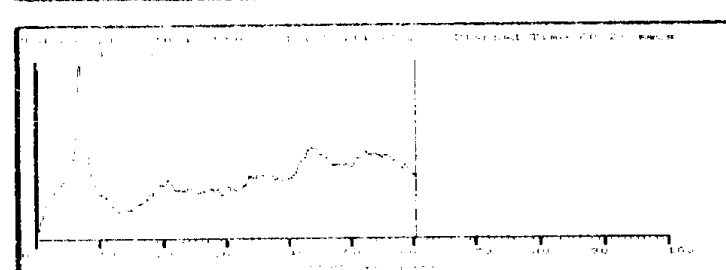
3.1 m/min



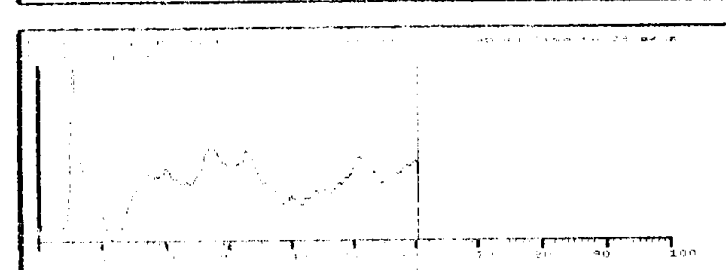
2.1 m/min



2.1 m/min



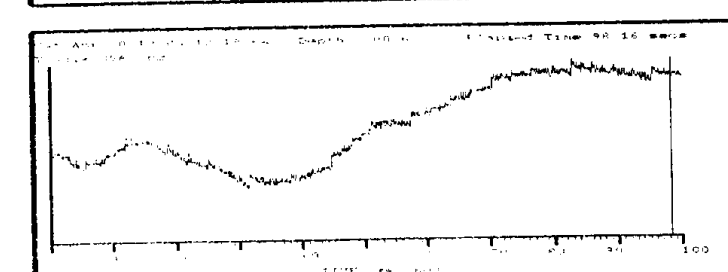
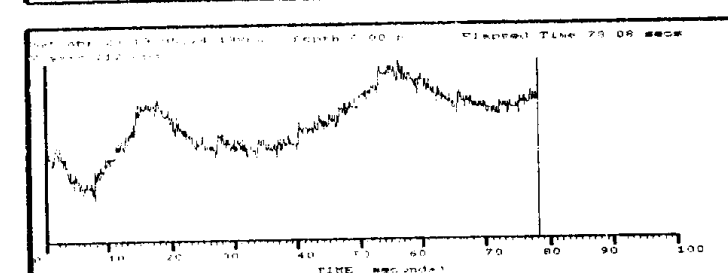
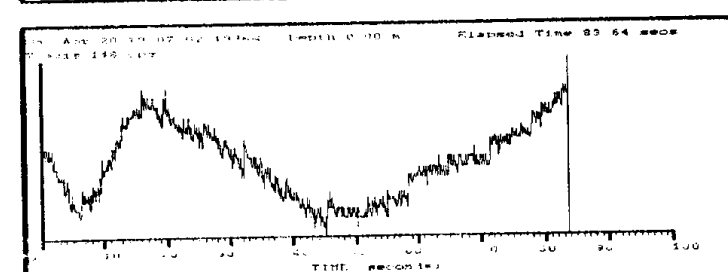
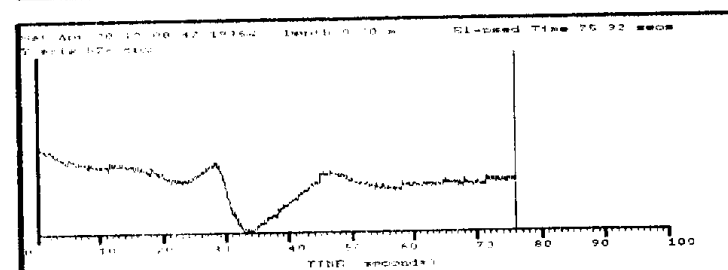
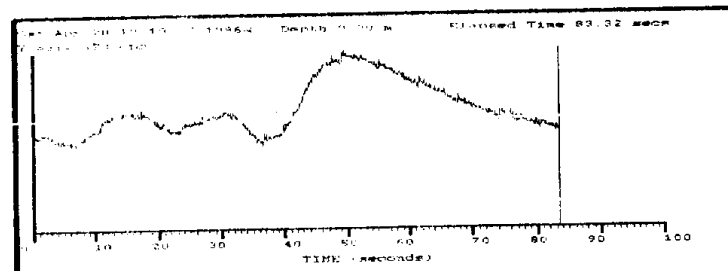
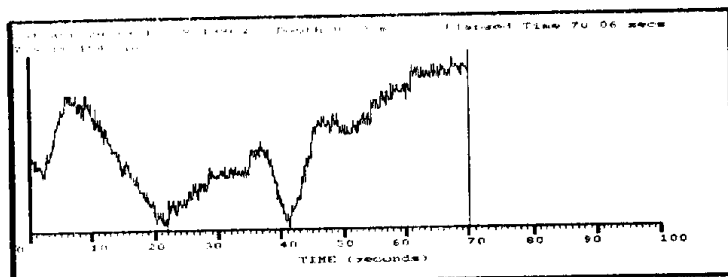
1.5 m/min

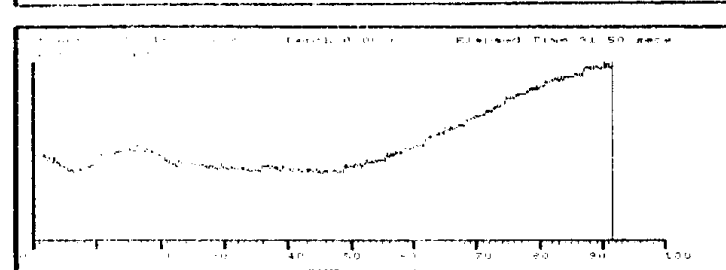
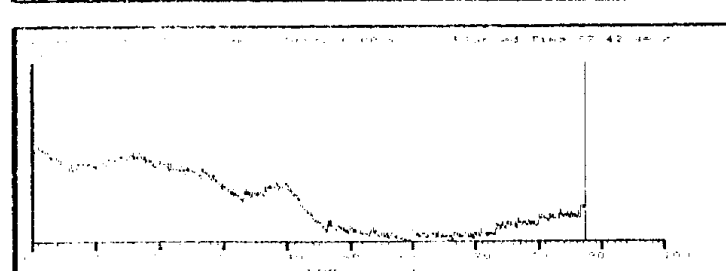
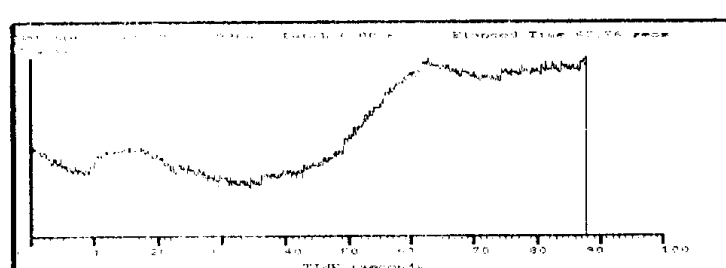
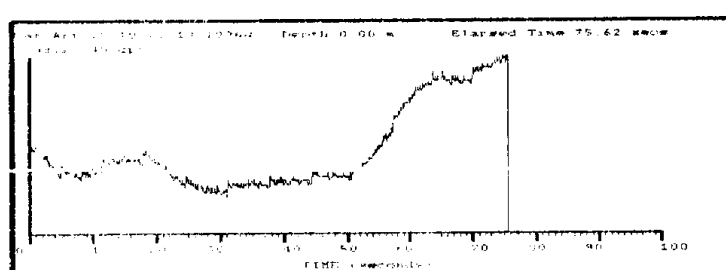
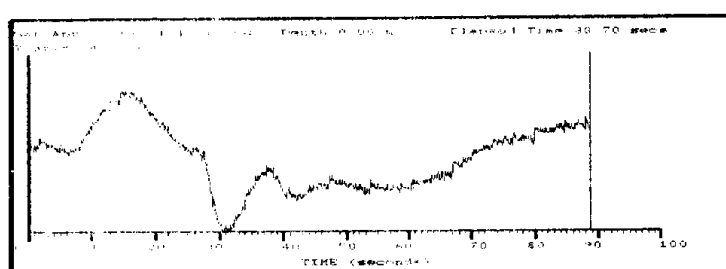
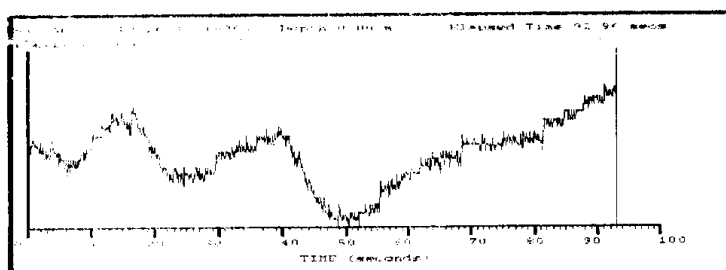
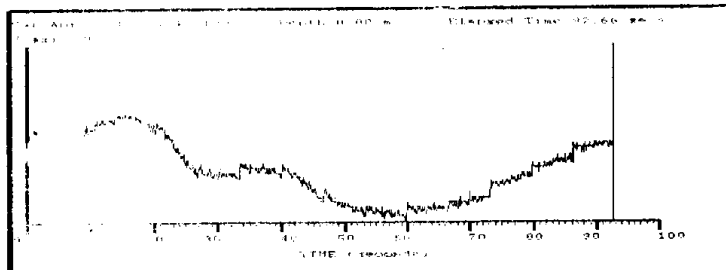


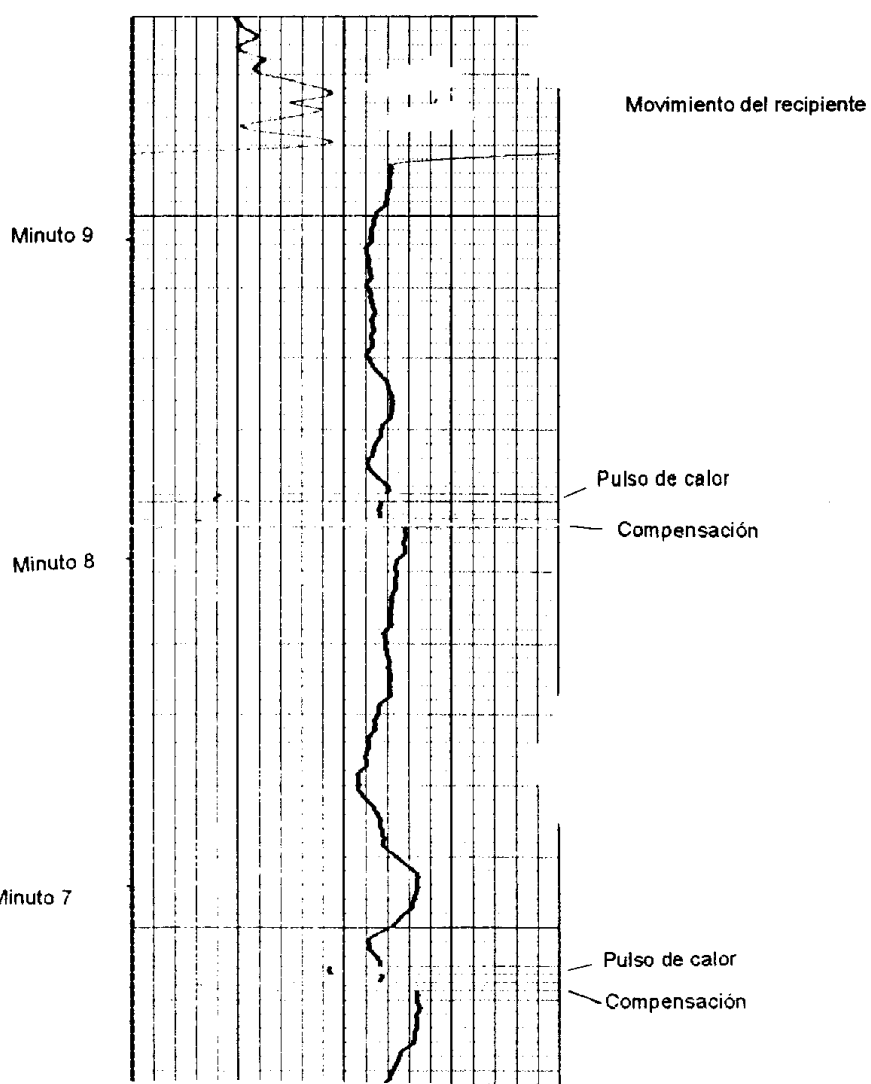
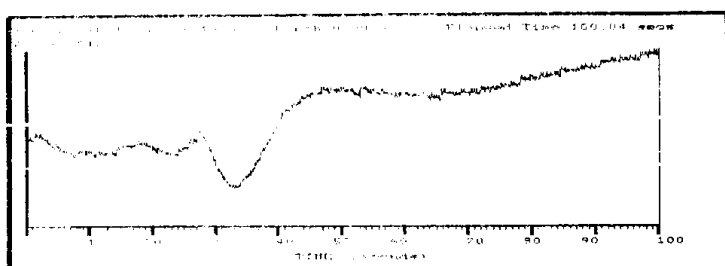
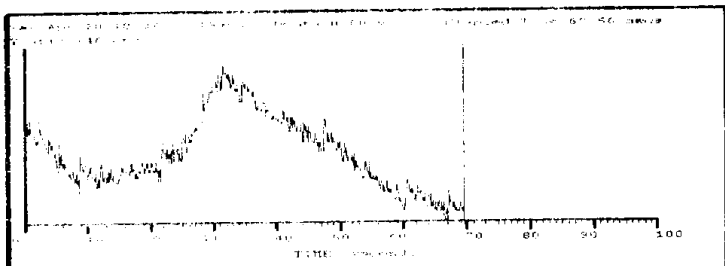
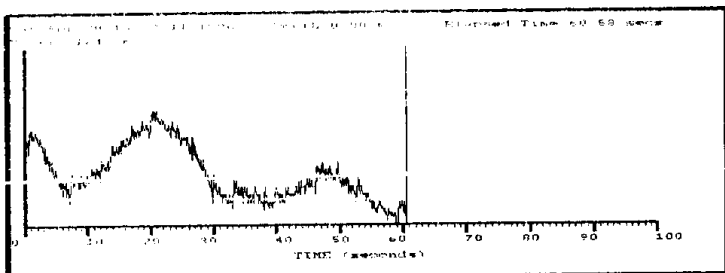
1.5 m/min

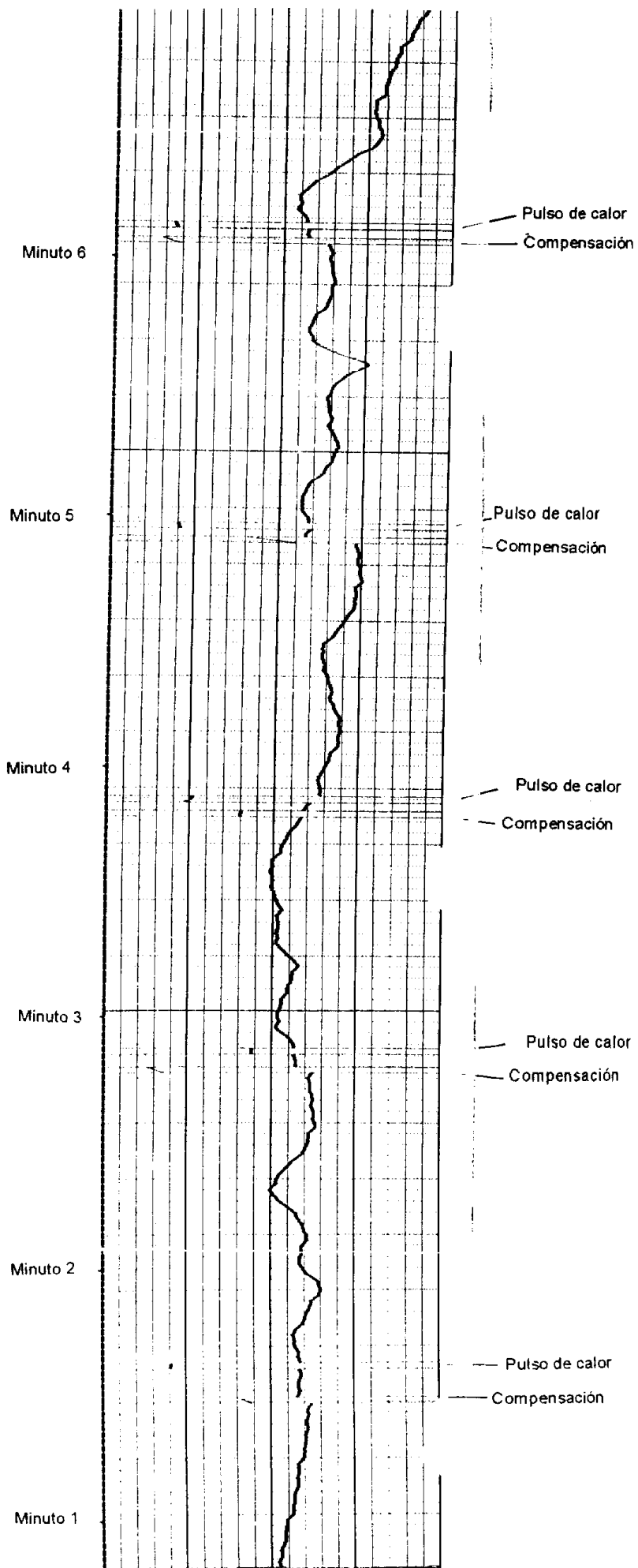
## **A N E X O 3.2)**

**Calibración de la sonda de flujo. Registros en estático**





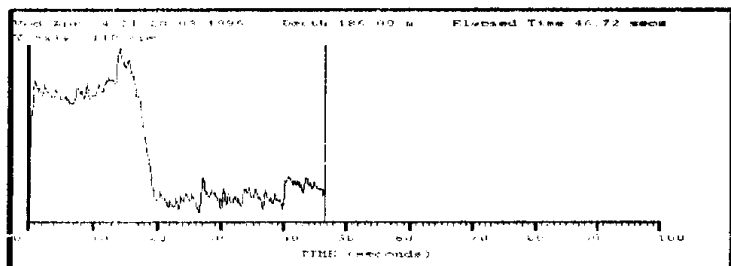




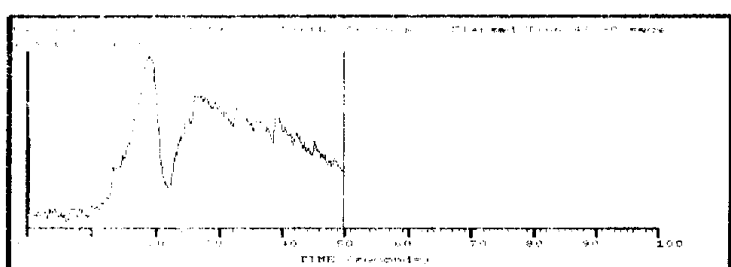
**A N E X O 4.**

**Registros de flujo**

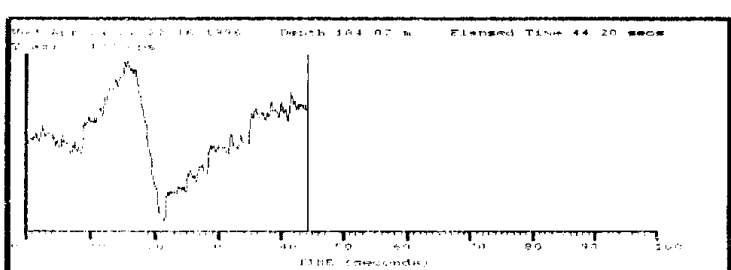
Sondeo      **486 Bj**  
Fecha      24-03-96  
Hora      19:20--21:30



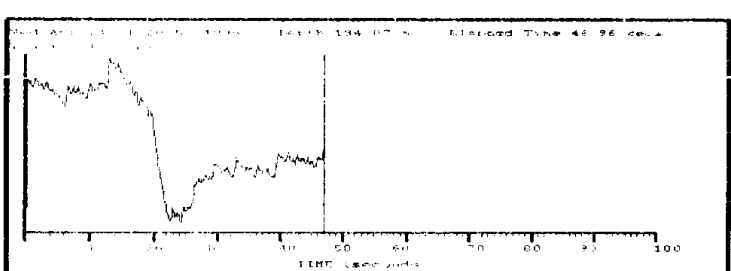
186 m.



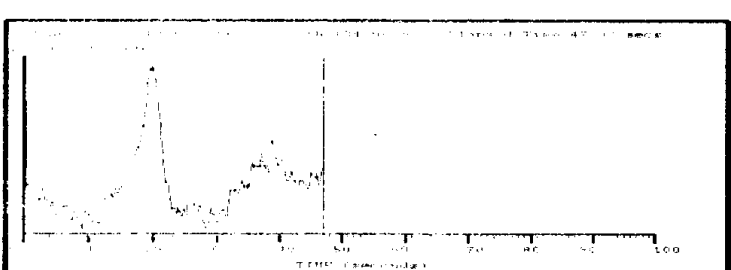
186 m.



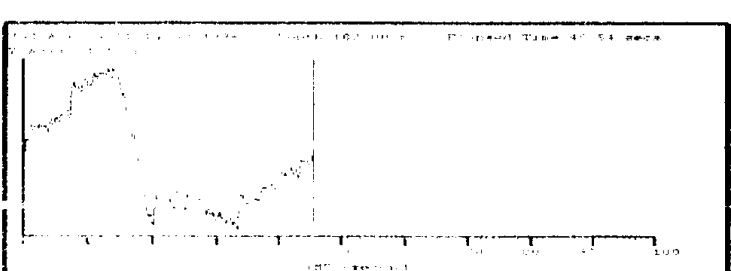
184.07 m.



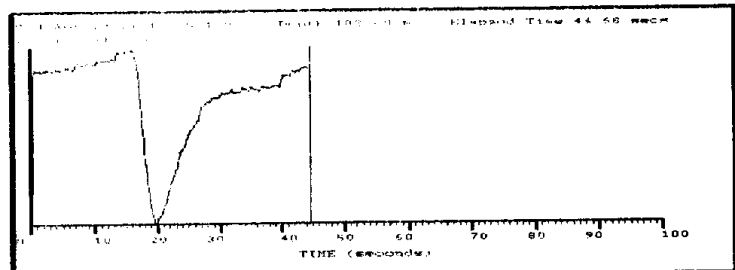
184.07 m.



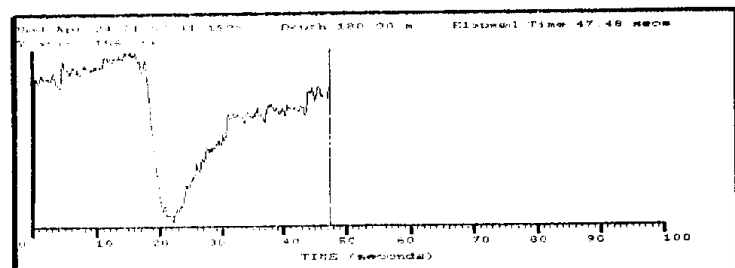
184.07 m.



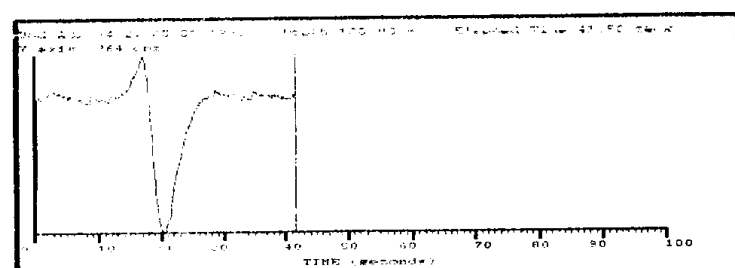
182 m.



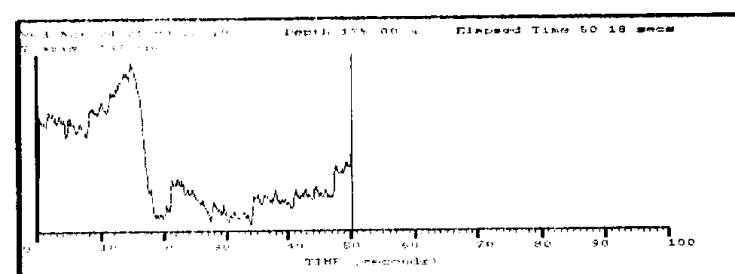
182 m.



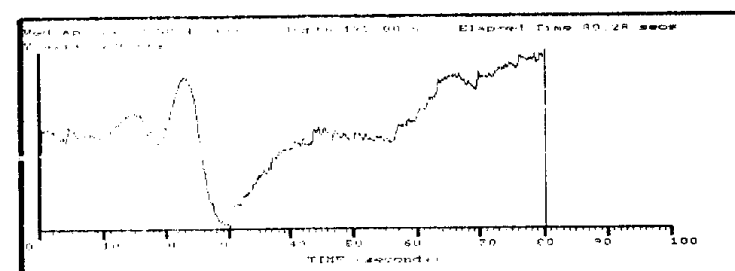
180 m.



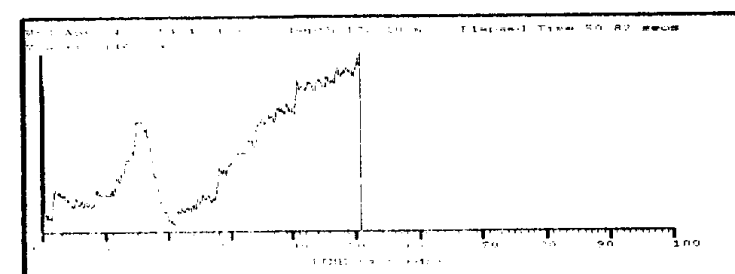
180 m.



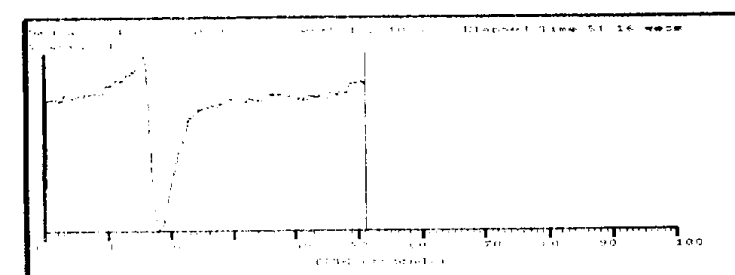
175 m.



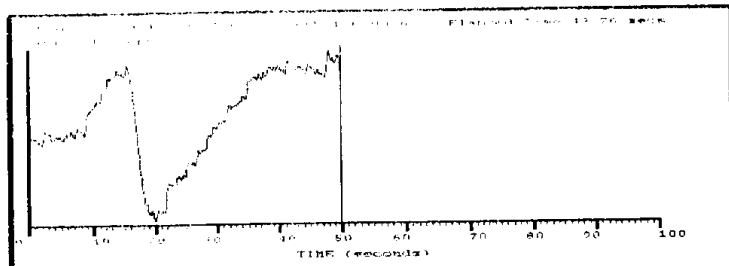
175 m.



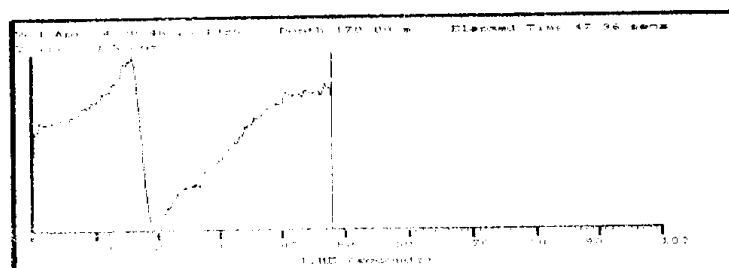
172.1 m.



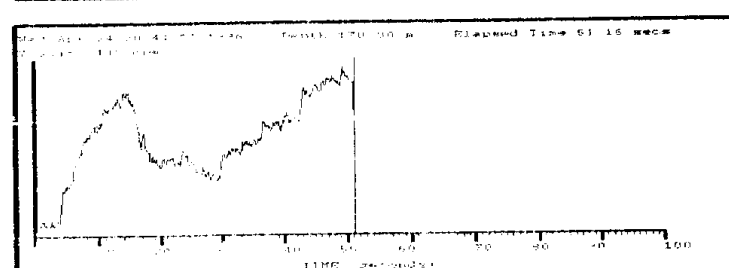
172.1 m.



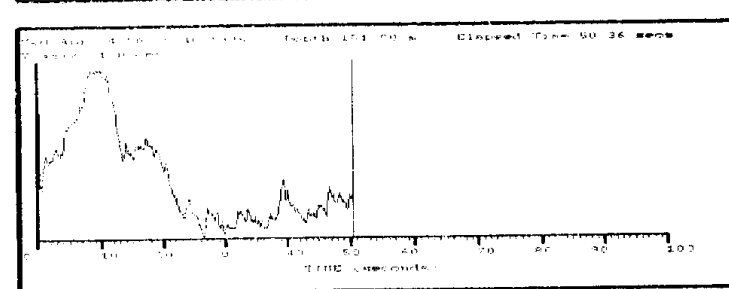
170 m.



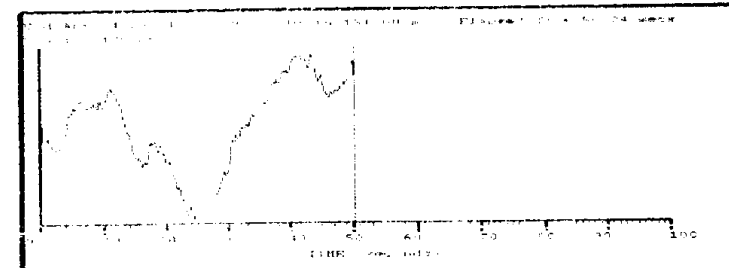
170 m.



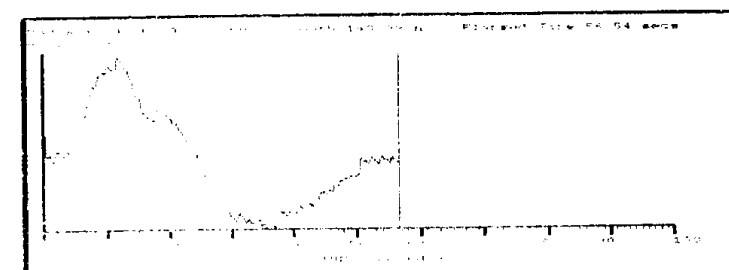
170 m.



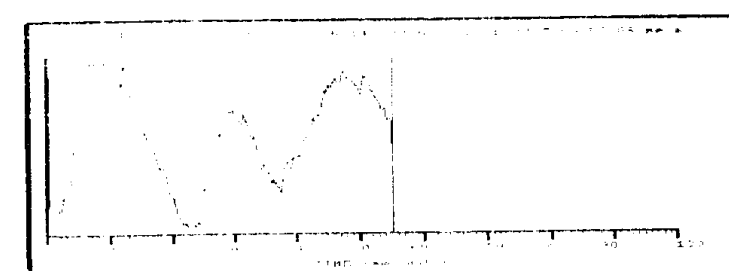
151 m.



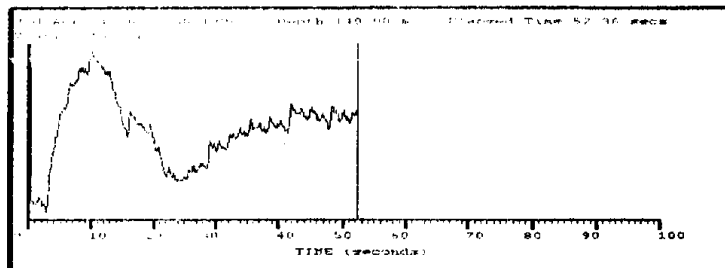
151 m.



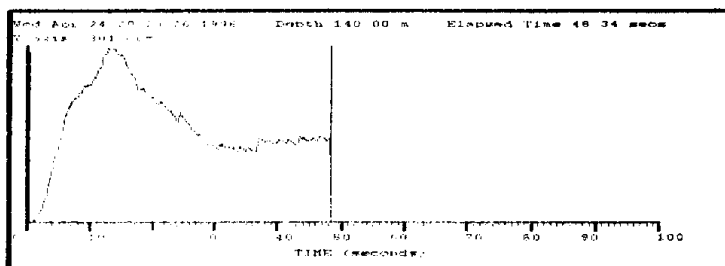
149 m.



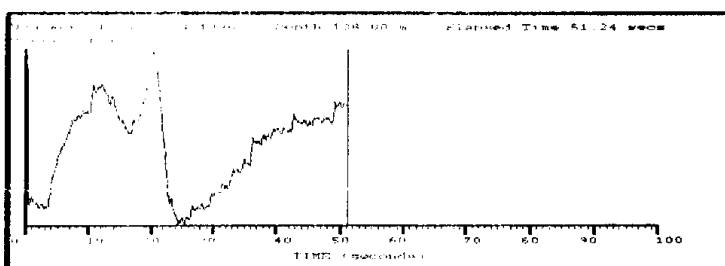
149 m.



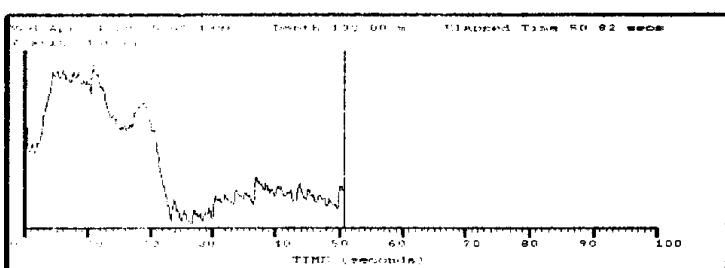
140 m.



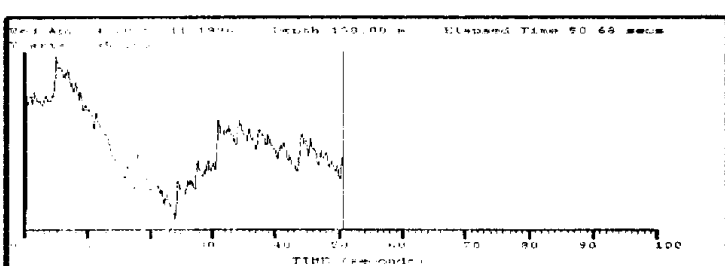
140 m.



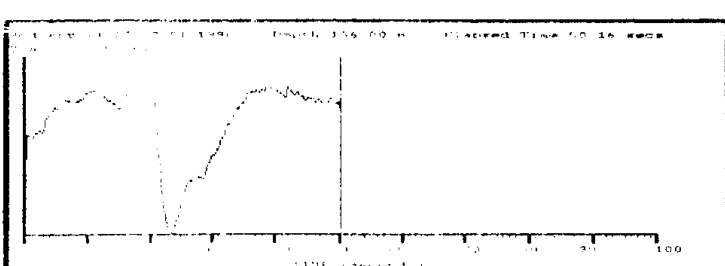
138 m.



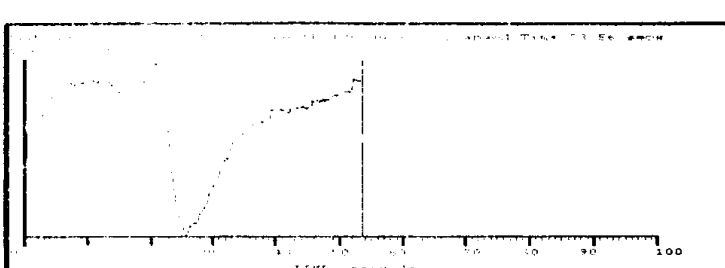
138 m.



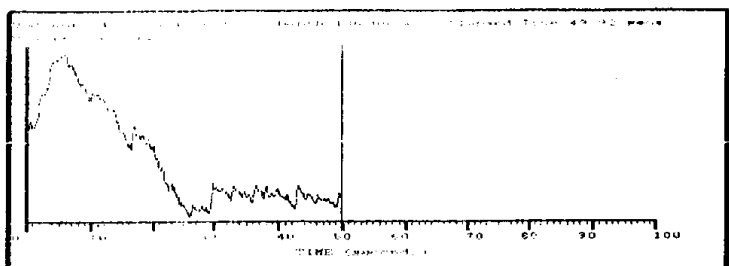
138 m.



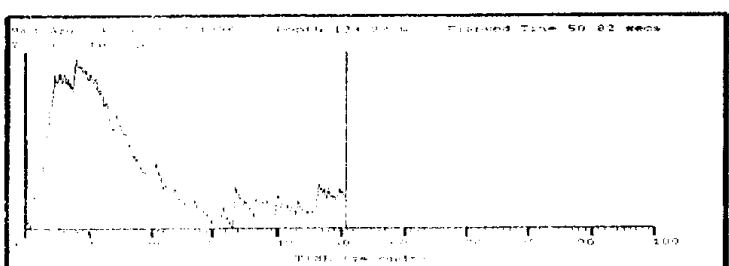
136 m.



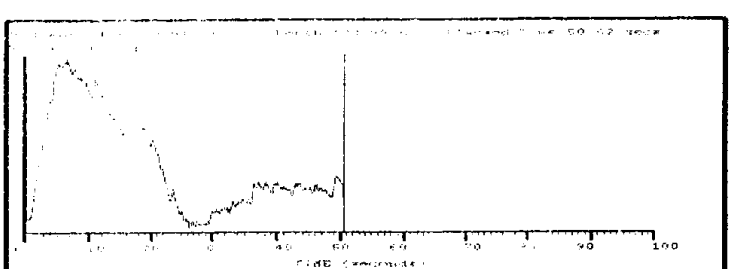
136 m.



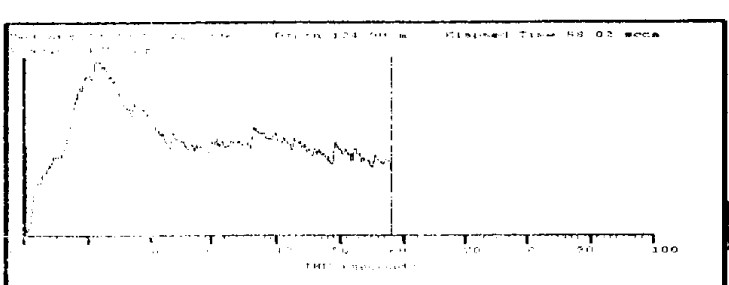
136 m.



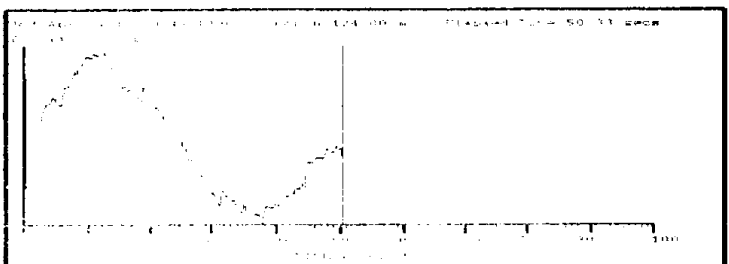
134 m.



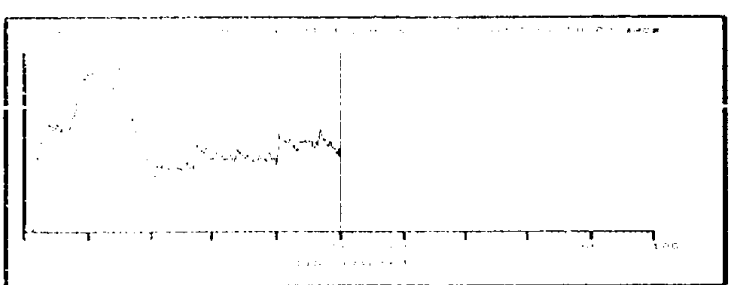
134 m.



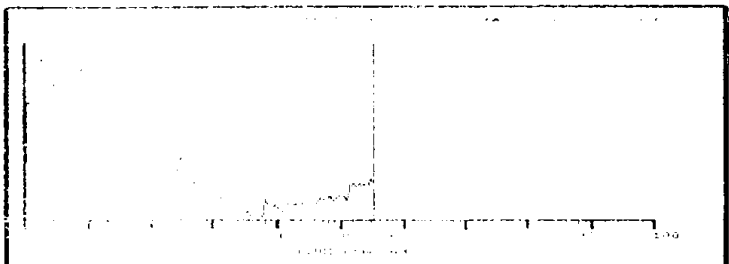
124 m.



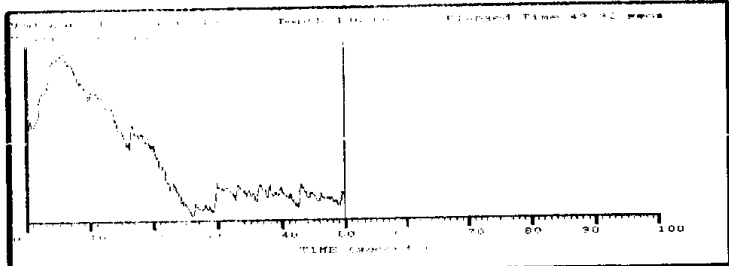
124 m.



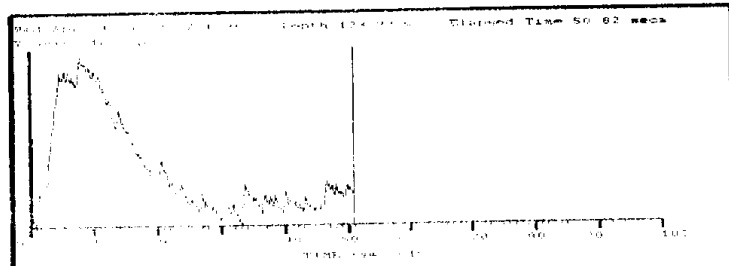
122 m.



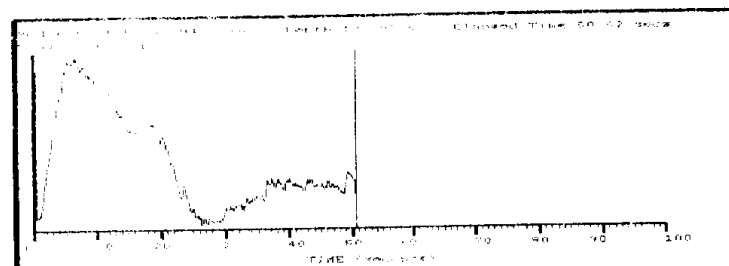
112 m.



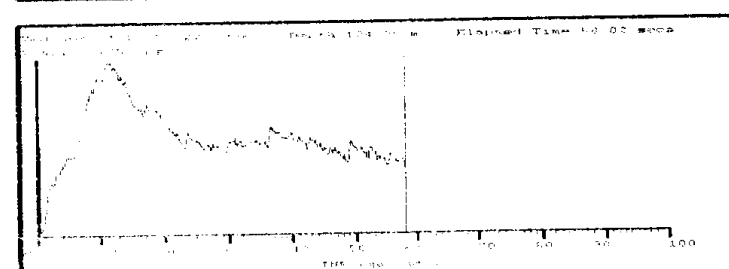
136 m.



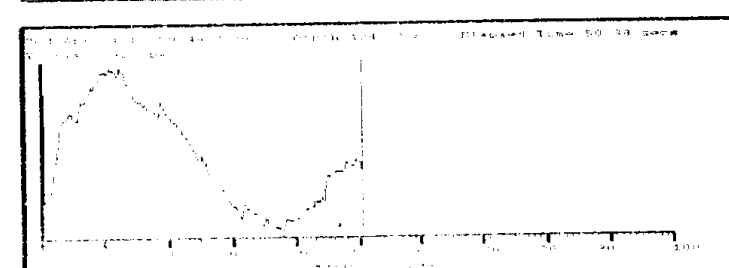
134 m.



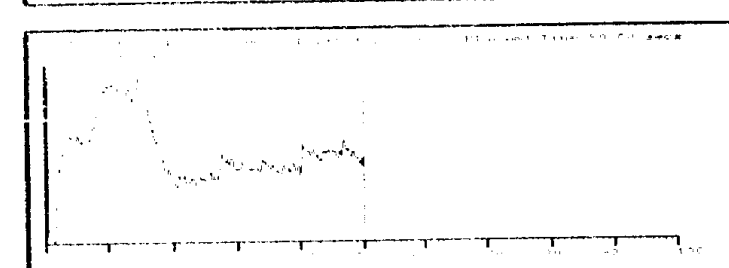
134 m.



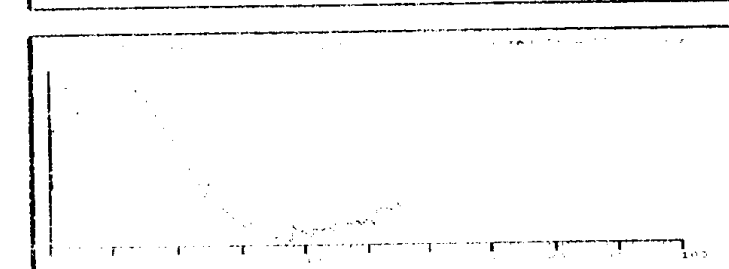
124 m.



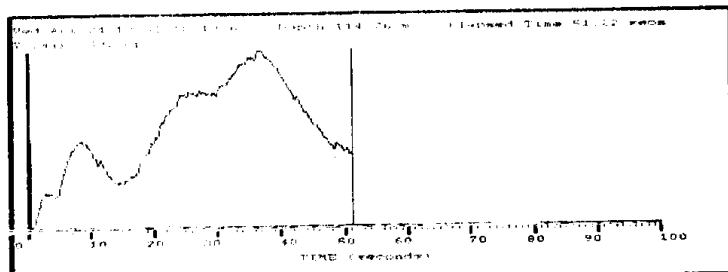
124 m.



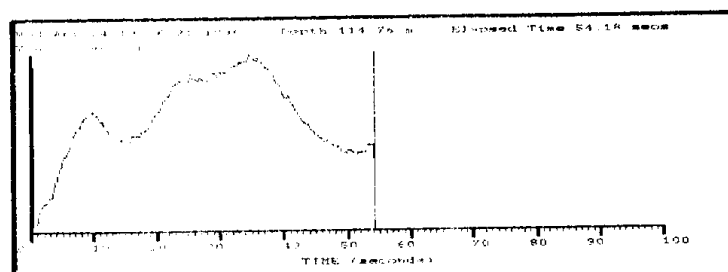
122 m.



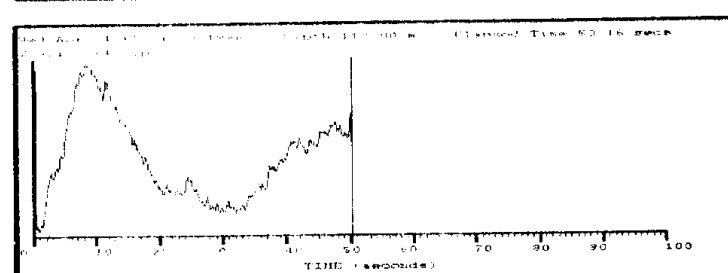
112 m.



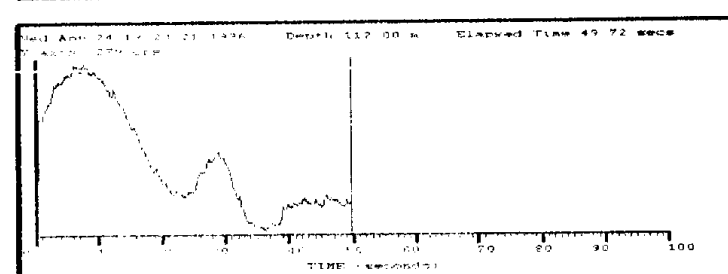
114.76 m.



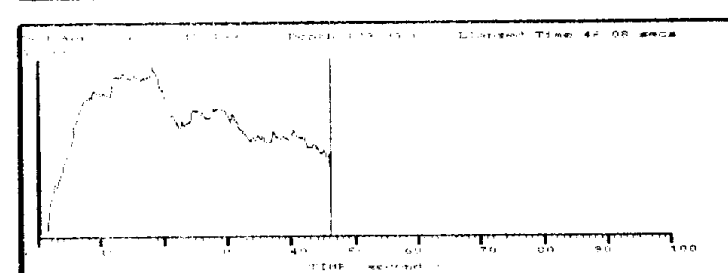
114.76 m.



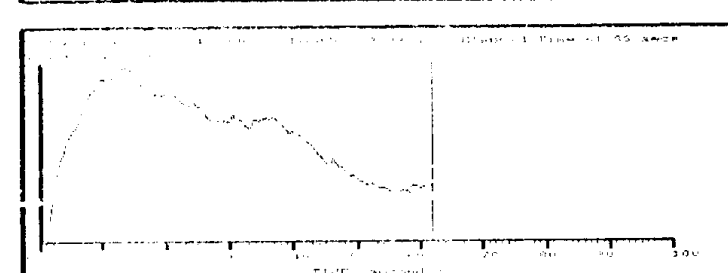
112 m.



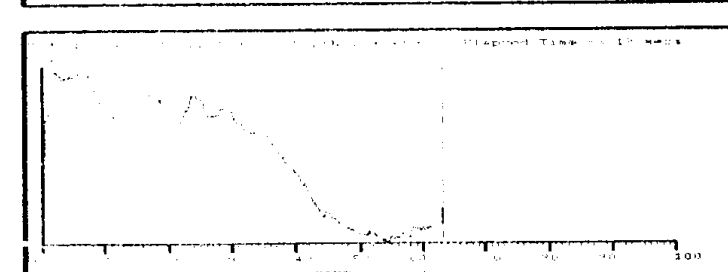
112 m.



110 m.



110 m.

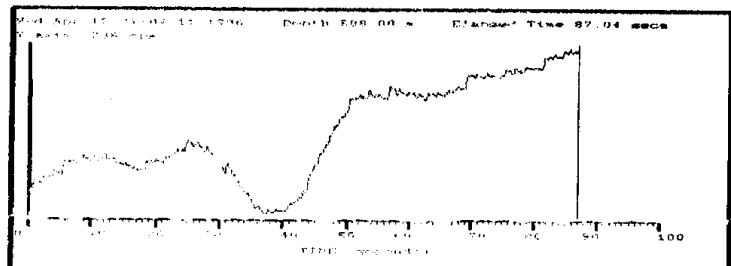


110 m.

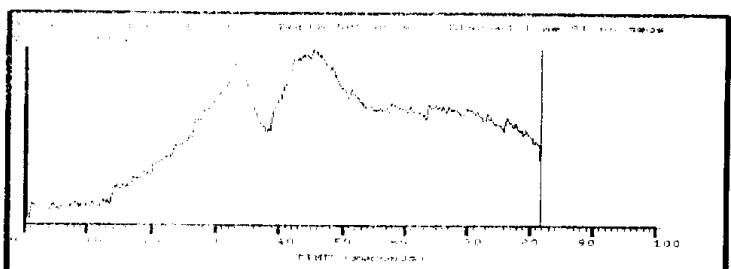
Sondeo      **265 Rm**

Fecha      17-04-96

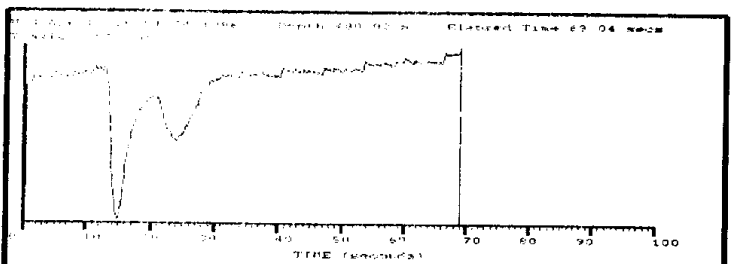
Hora      15:45--21:30



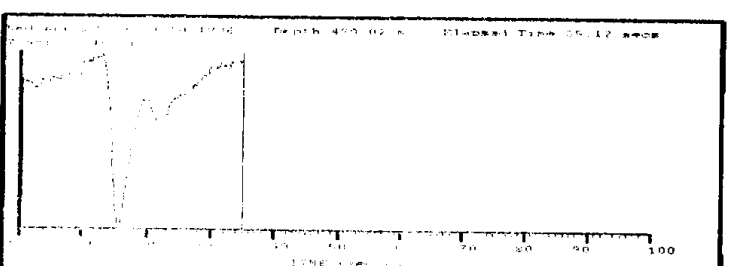
508 m.



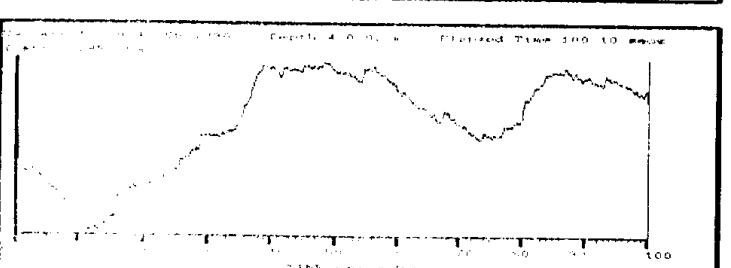
508 m.



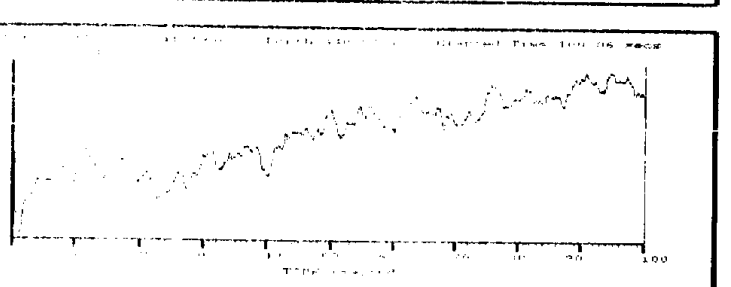
480 m.



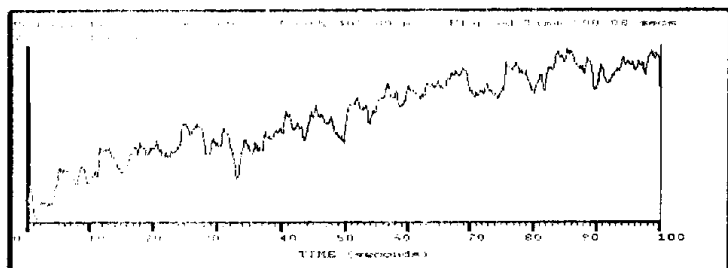
480 m.



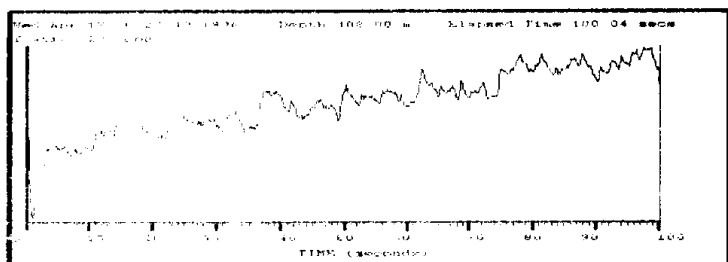
480 m.



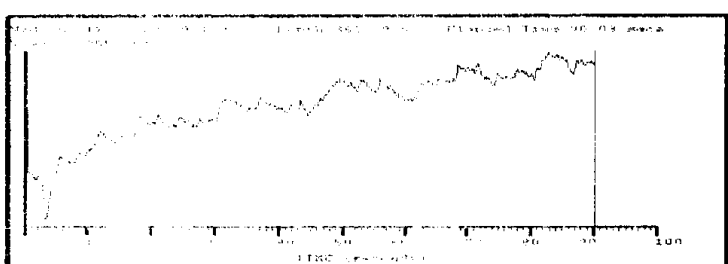
440 m.



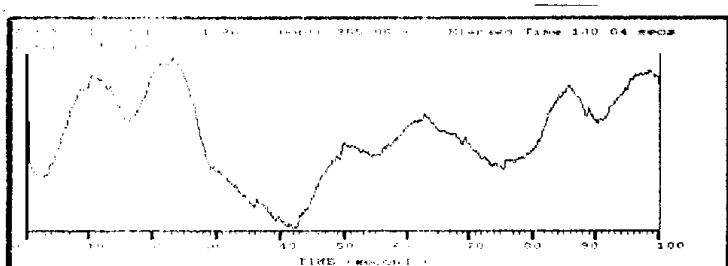
408 m.



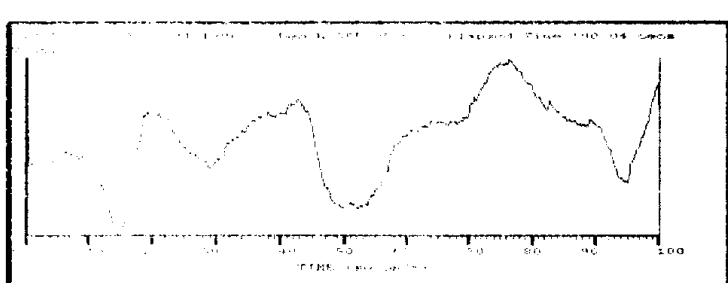
408 m.



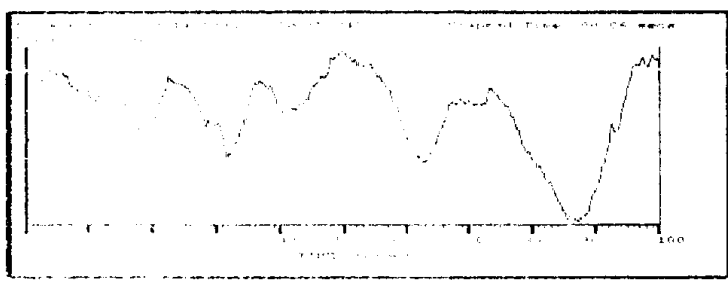
364 m.



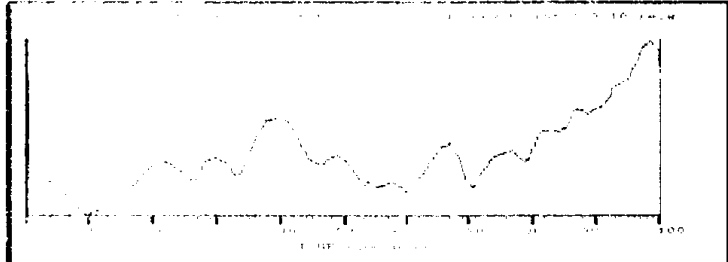
355 m.



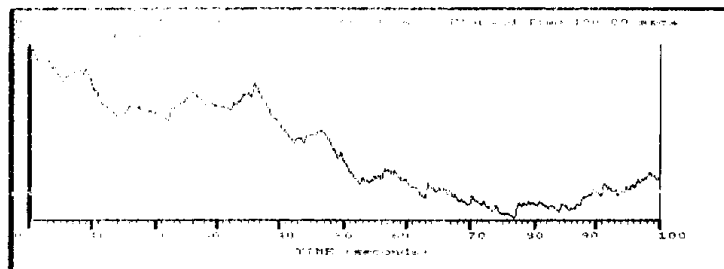
355 m.



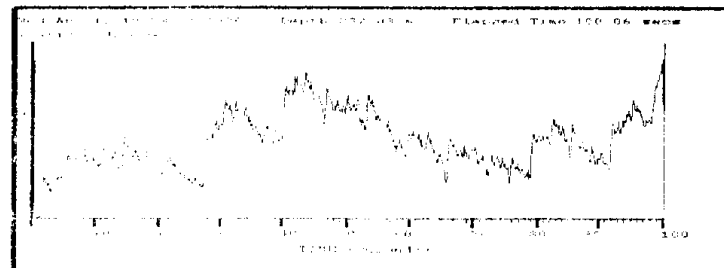
343.9 m.



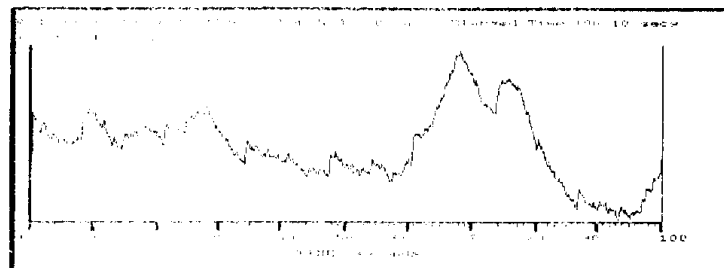
343.9 m.



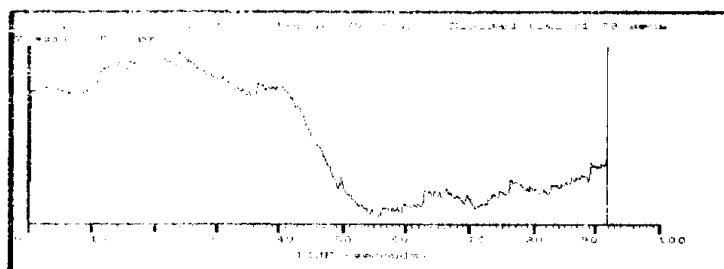
332 m.



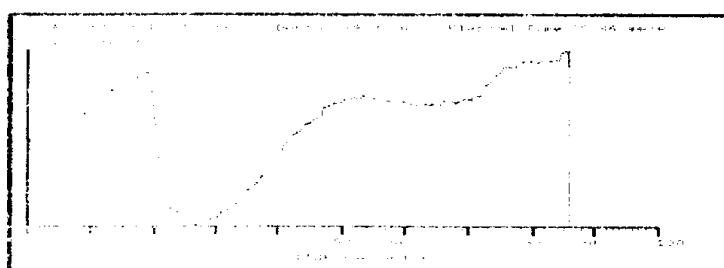
332 m.



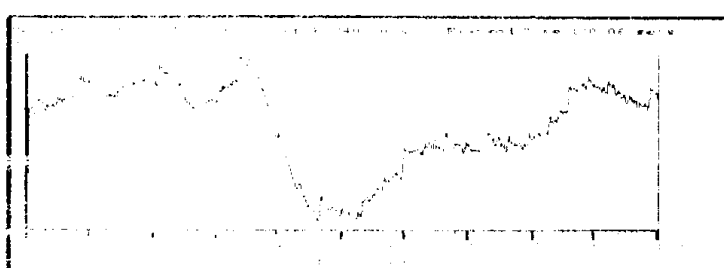
332 m.



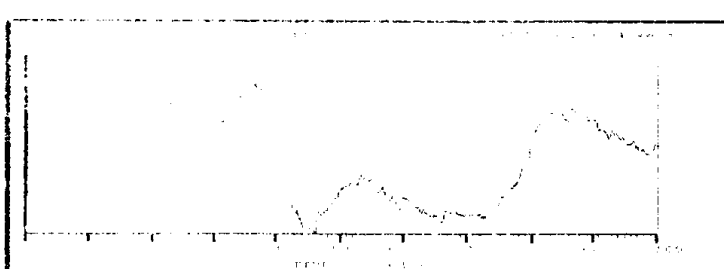
280 m.



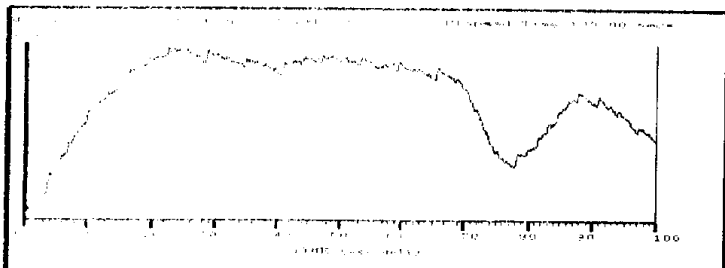
280 m.



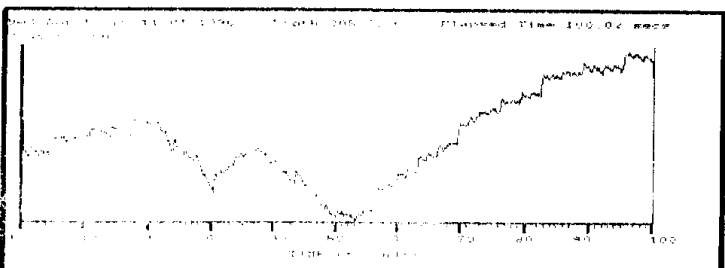
240 m.



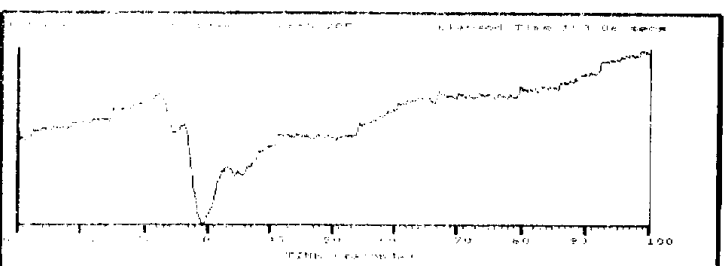
240 m.



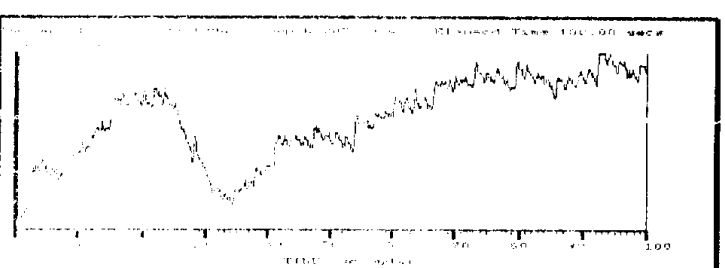
240 m.



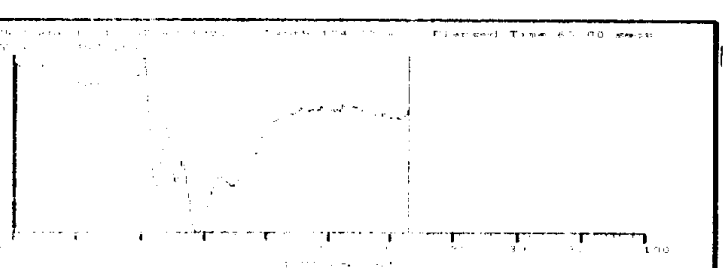
205 m.



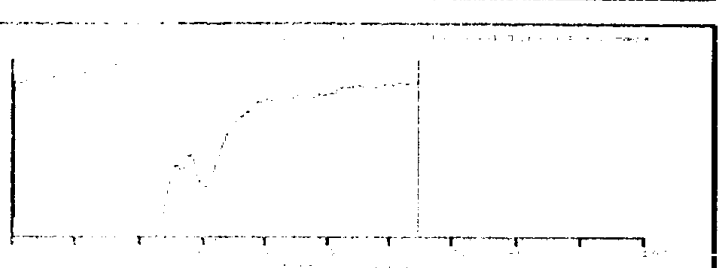
205 m.



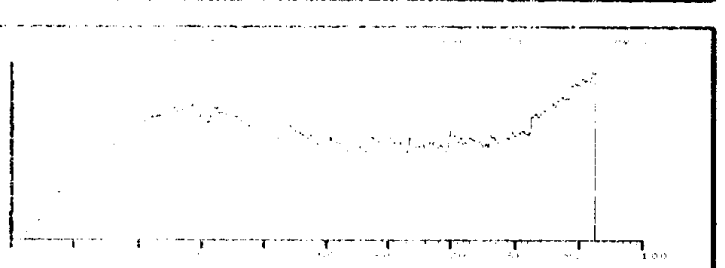
205 m.



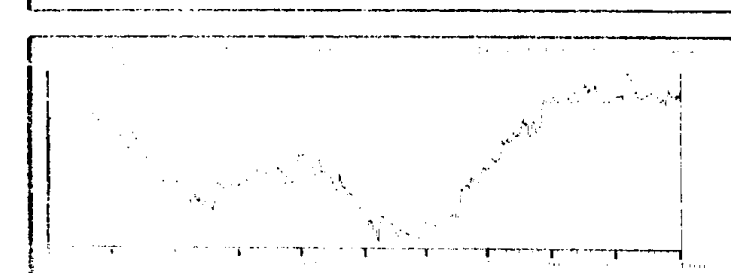
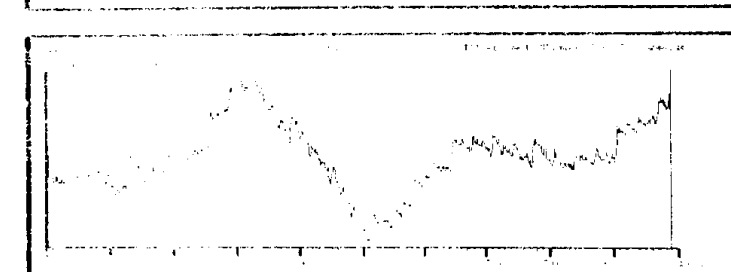
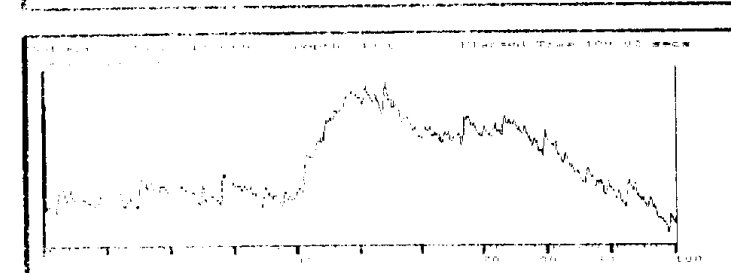
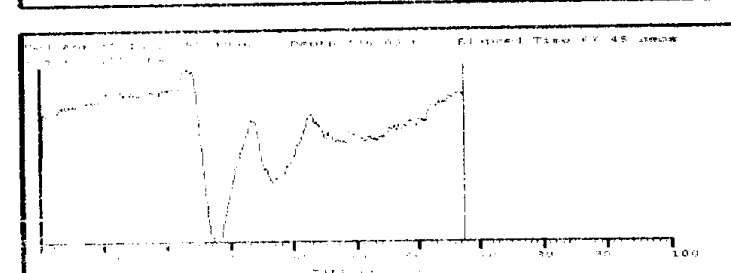
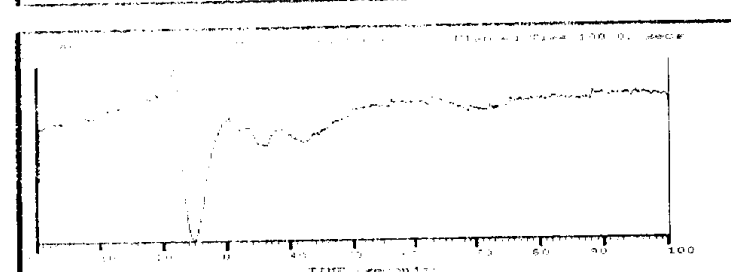
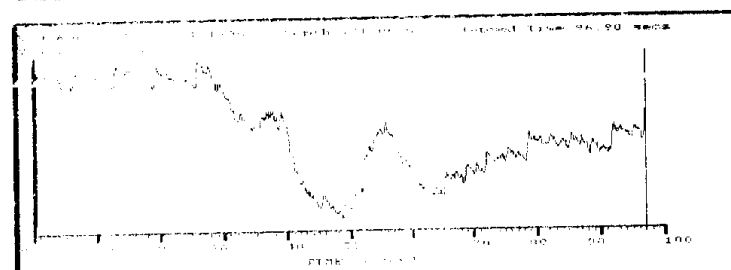
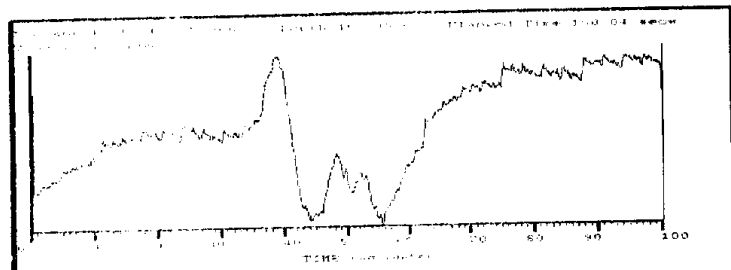
174 m.

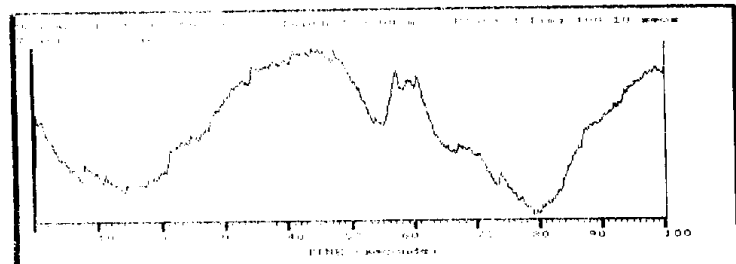


174 m.

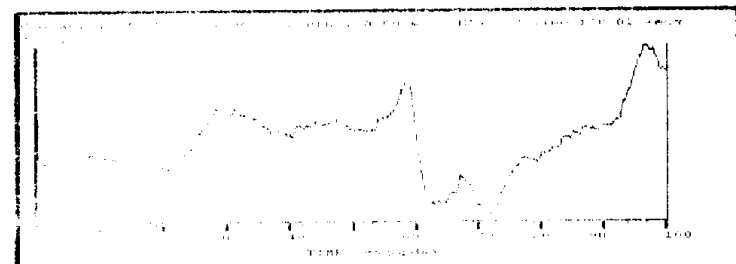


160 m.

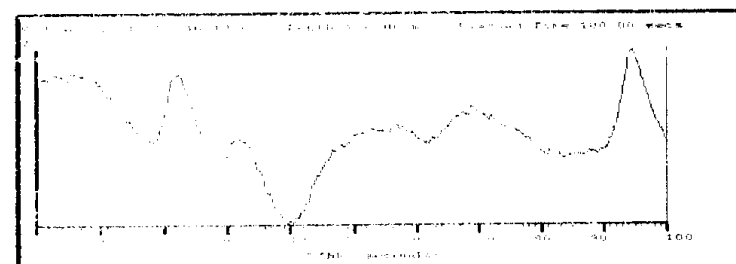




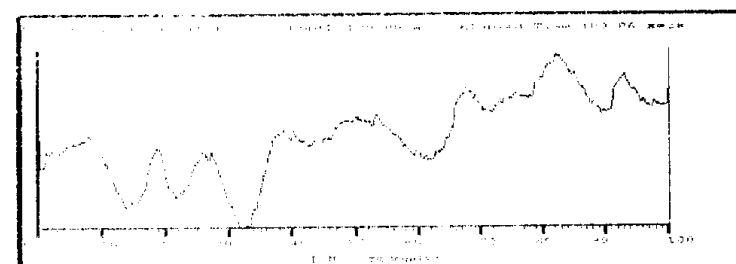
120 m.



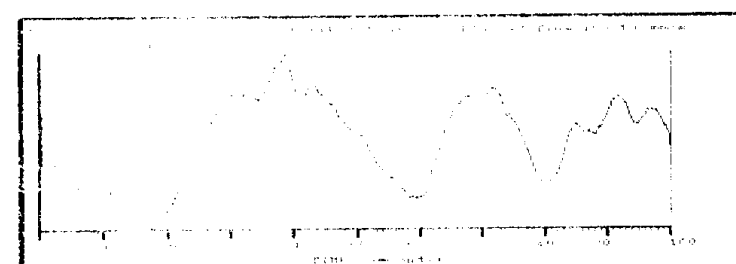
120 m.



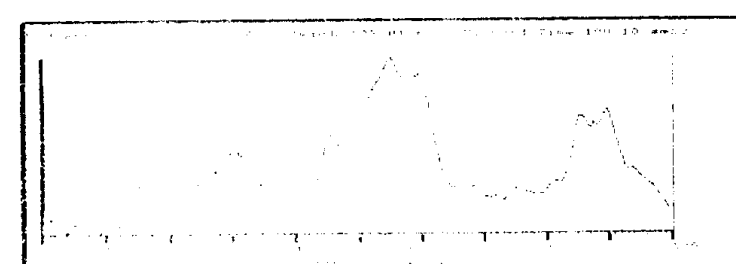
120 m.



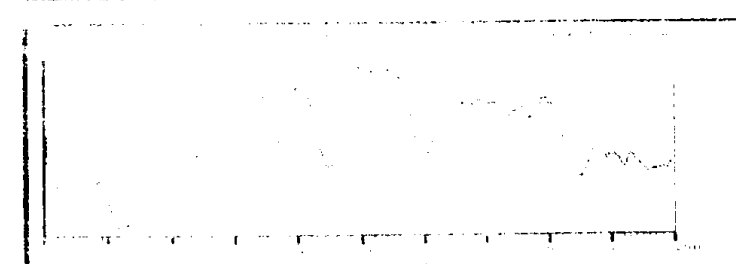
120 m.



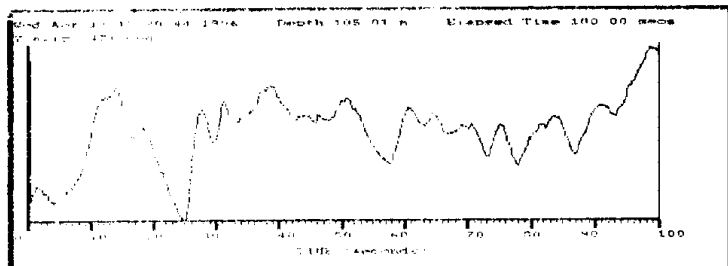
105 m.



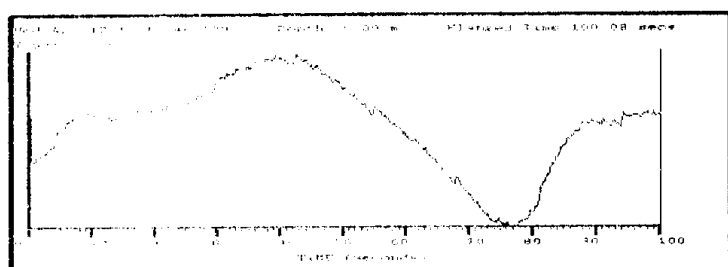
105 m.



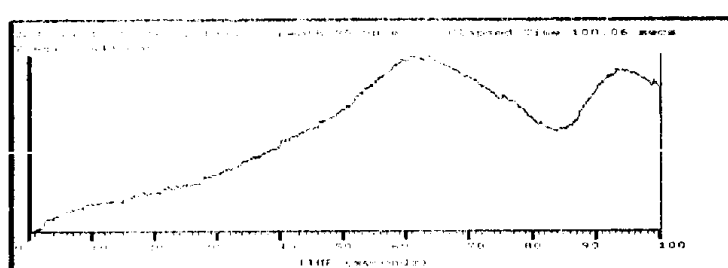
105 m.



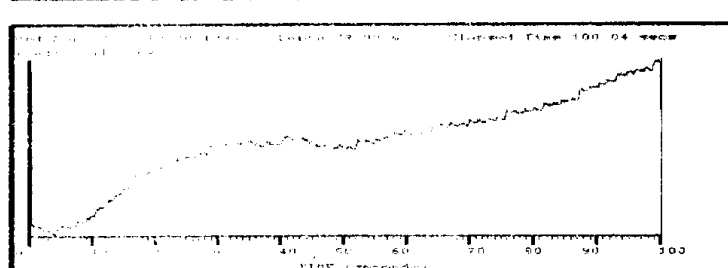
105 m.



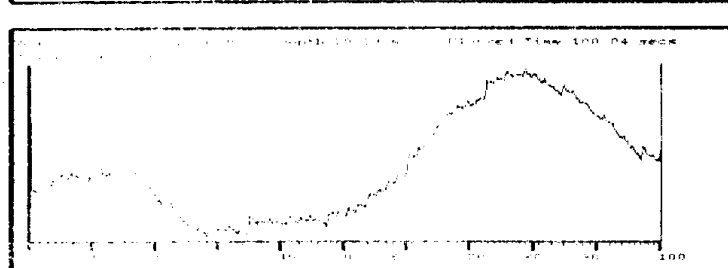
90 m.



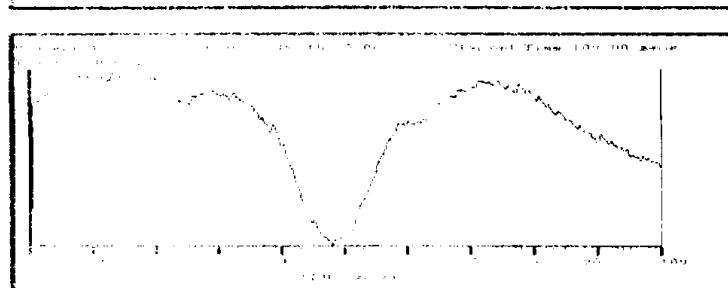
90 m.



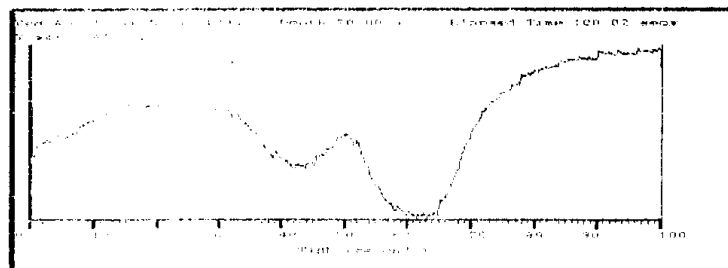
90 m.



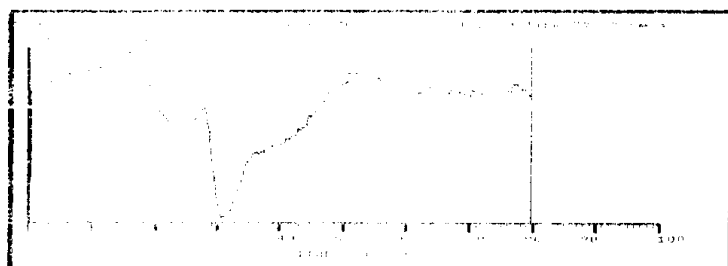
90 m.



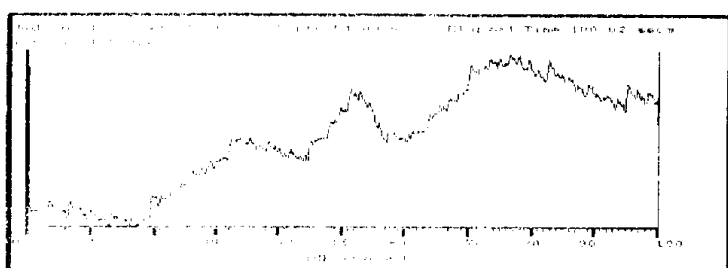
70 m.



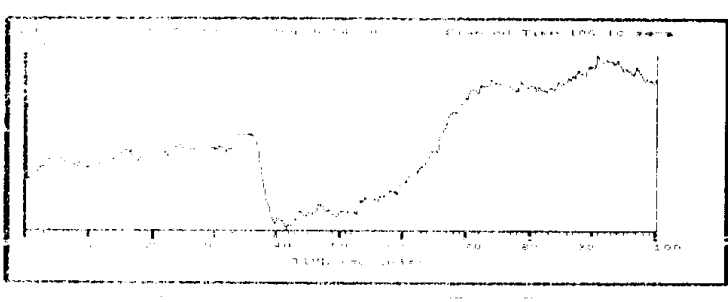
70 m.



70 m.

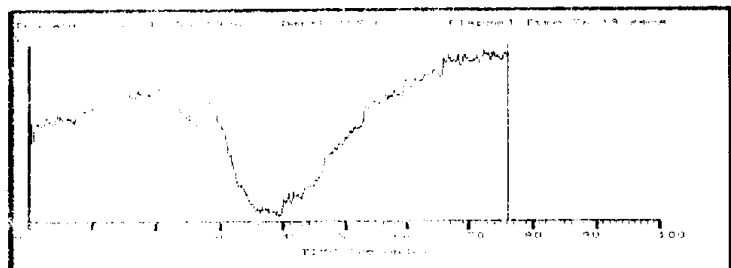


54 m.

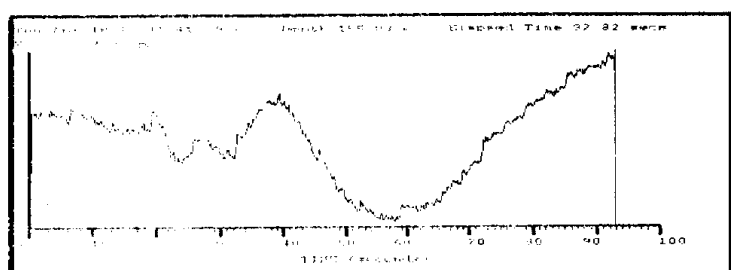


54 m.

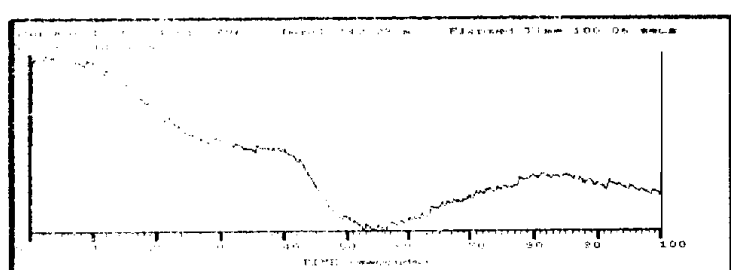
Sondeo      **224 Rm**  
Fecha      18-04-96  
Hora      11:45--13:50



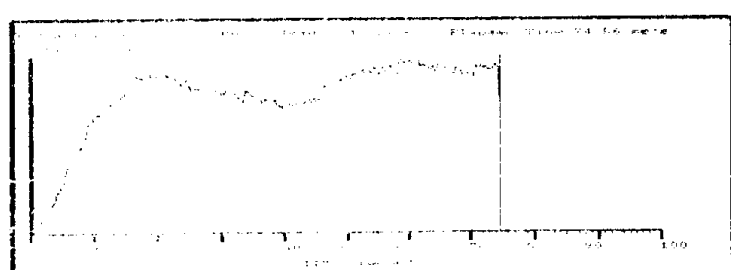
155 m.



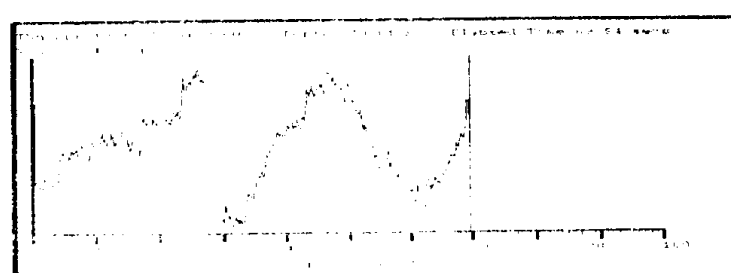
155 m.



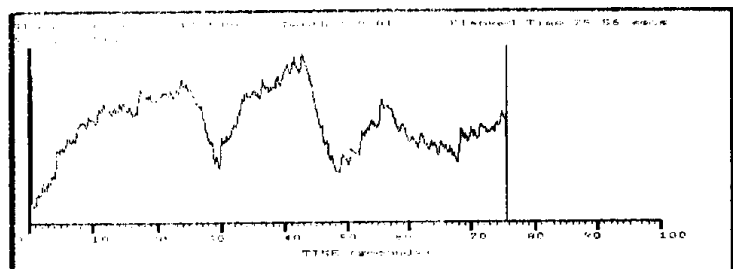
142.3



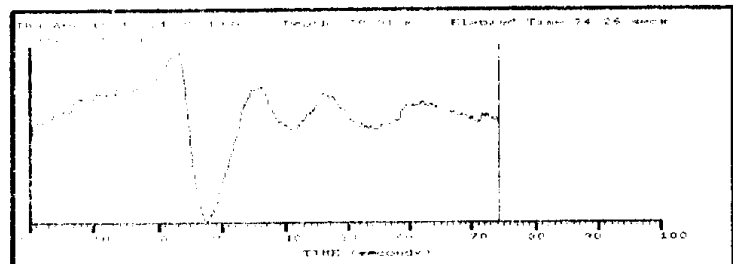
142.3



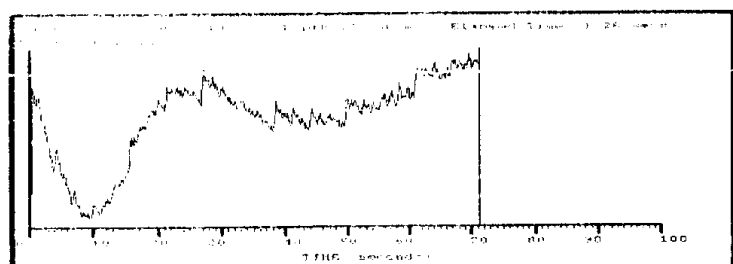
130 m.



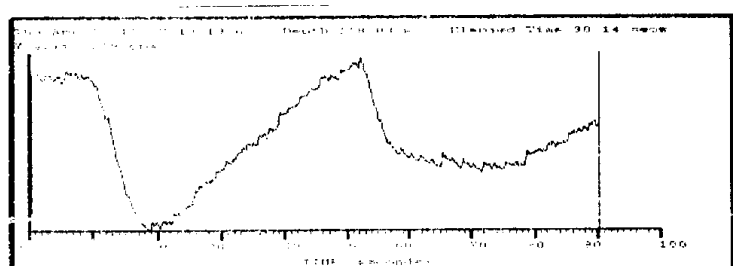
130 m.



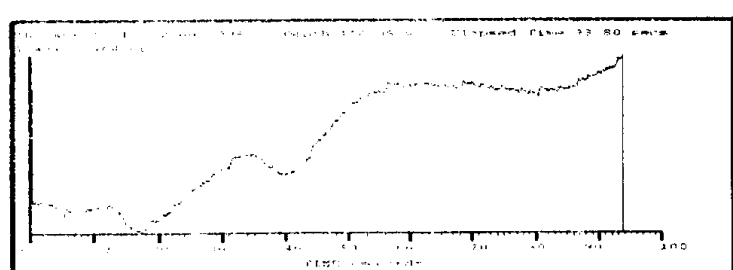
130 m.



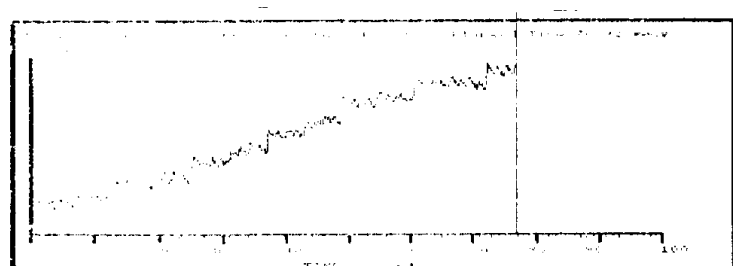
120 m.



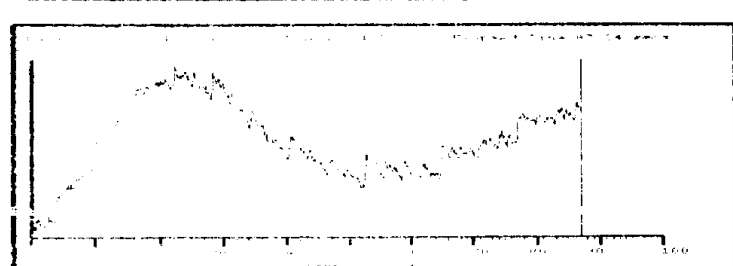
118 m.



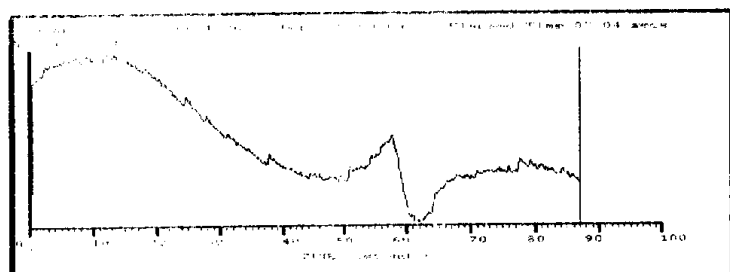
116 m.



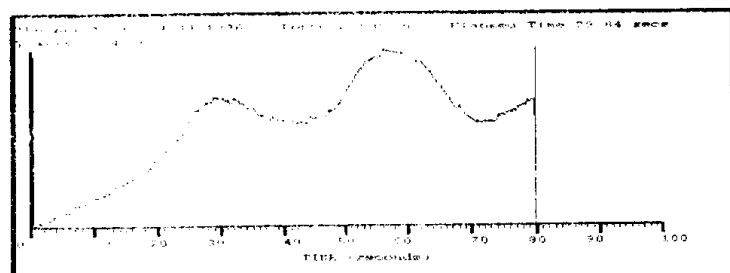
114 m.



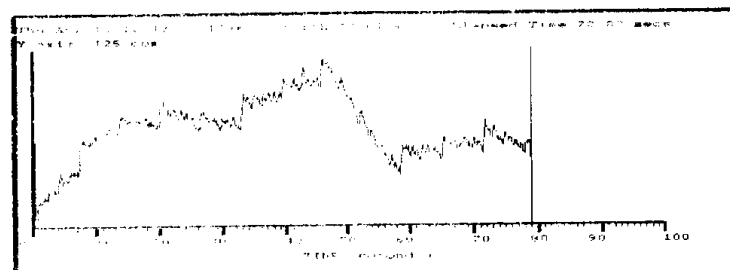
114 m.



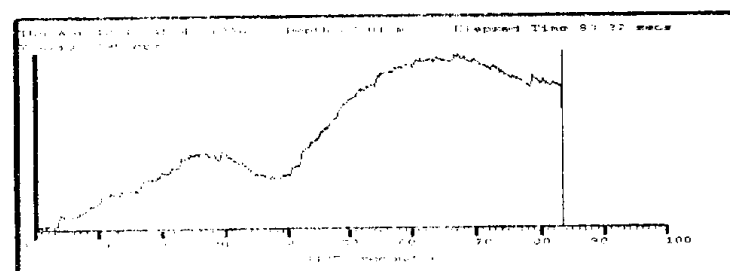
103 m.



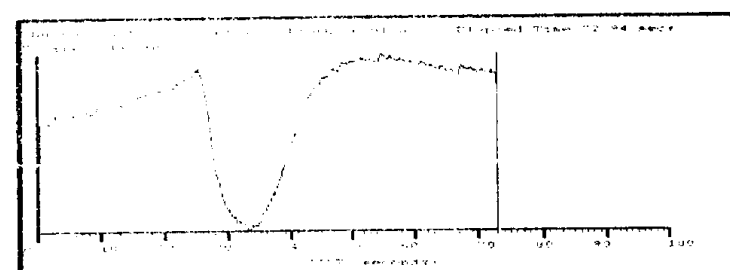
103 m.



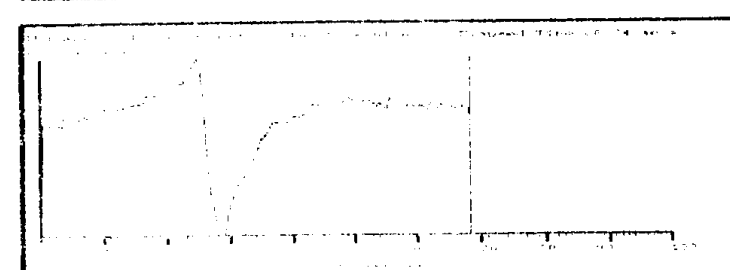
87 m.



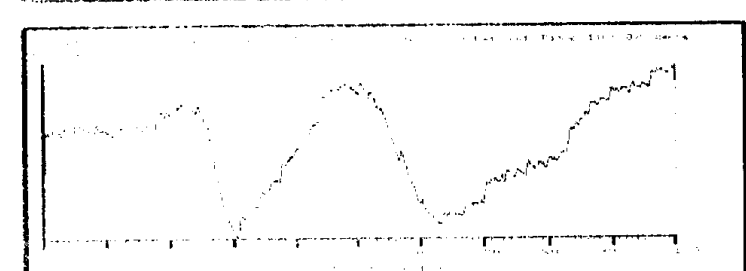
87 m.



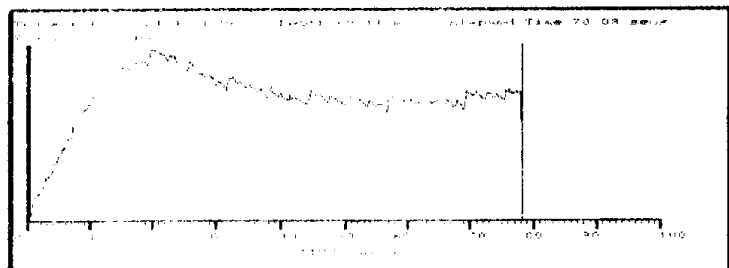
76 m.



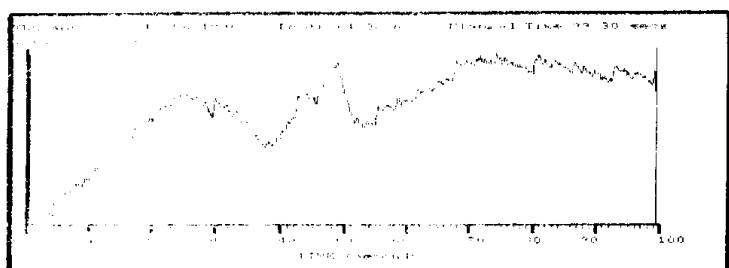
76 m.



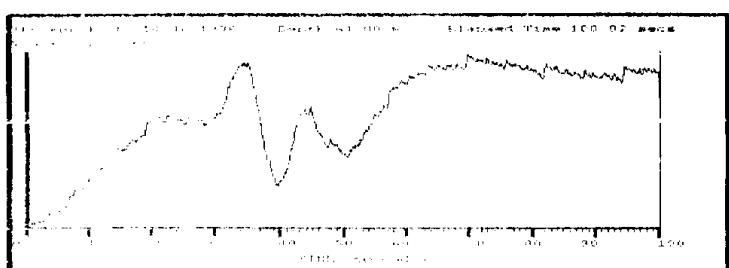
69 m.



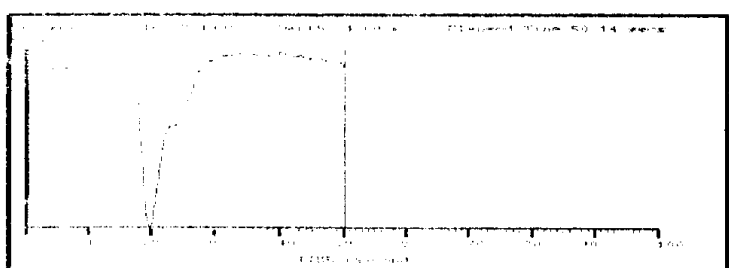
69 m.



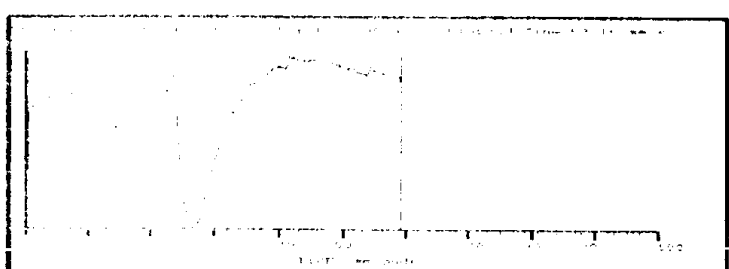
64 m.



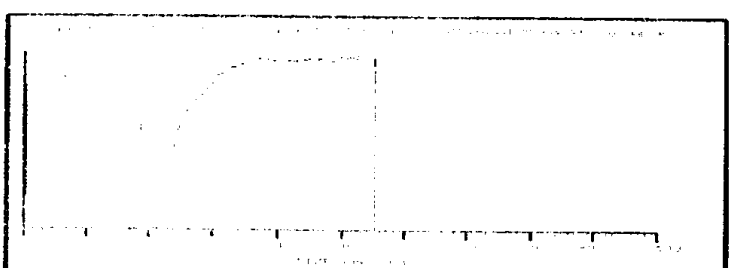
64 m.



64 m.



58 m.

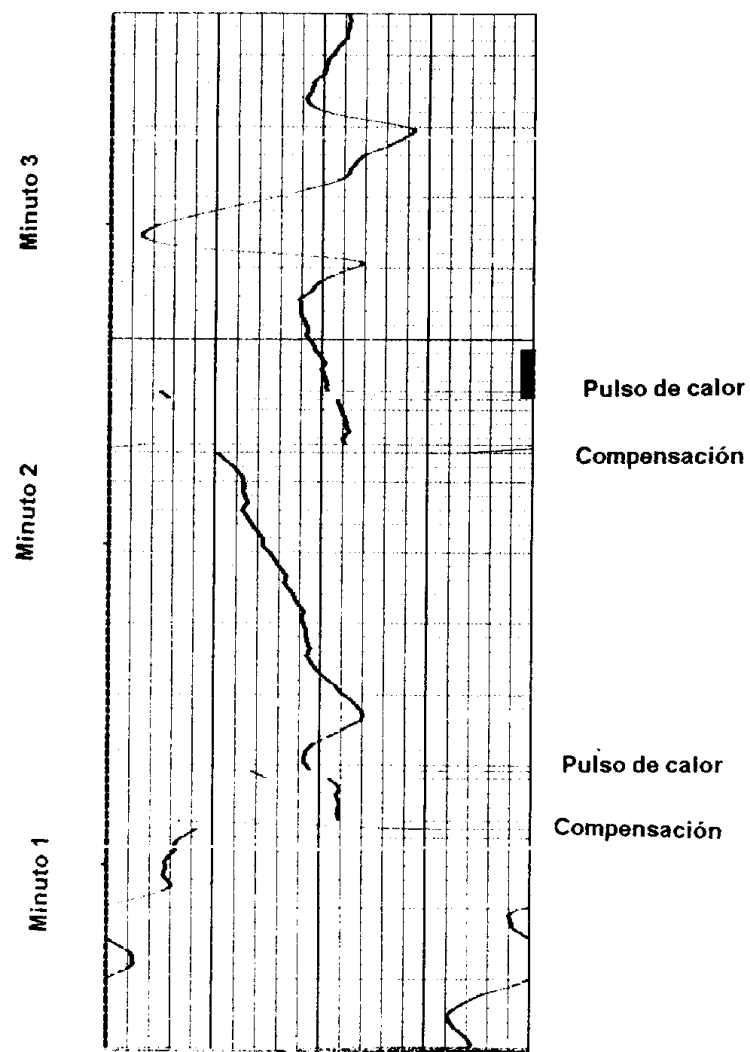
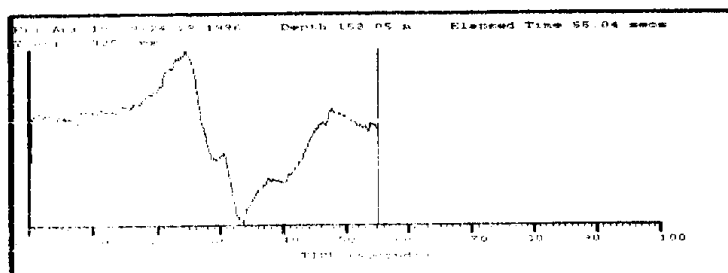


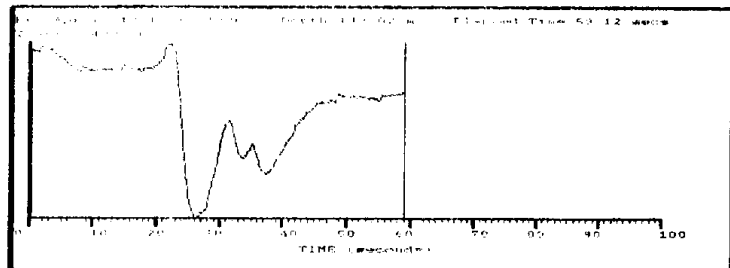
58 m.

Sondeo 234 Rm

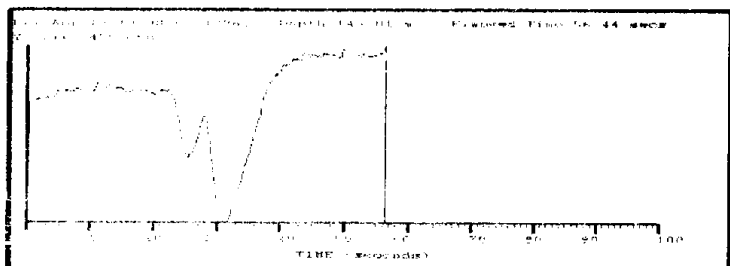
Fecha 18-04-96

Hora 16:15--19:00

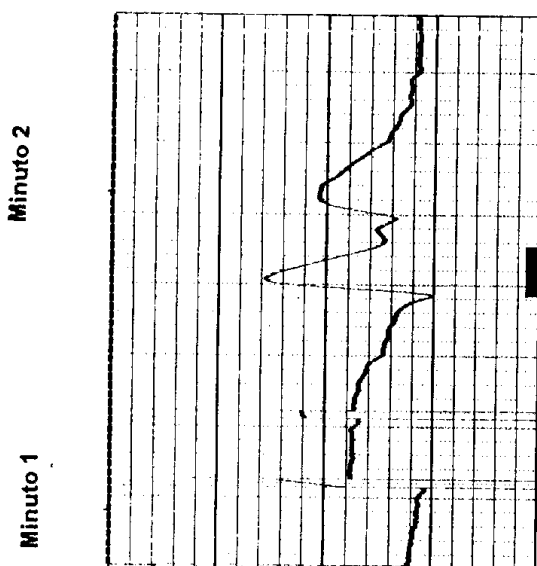




149 m.



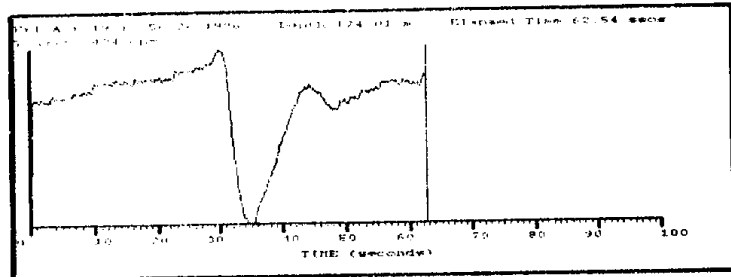
143 m.



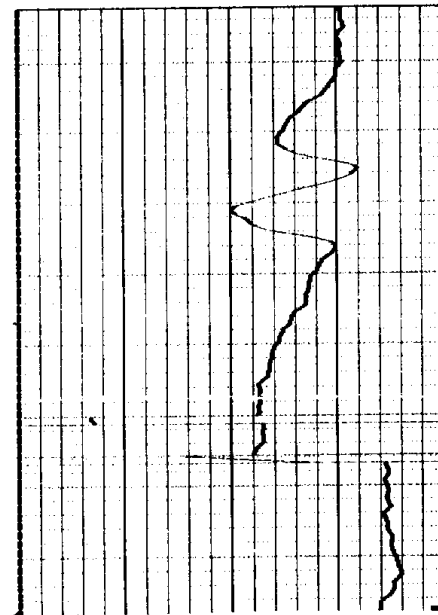
143 m.

Pulso de calor

Compensación



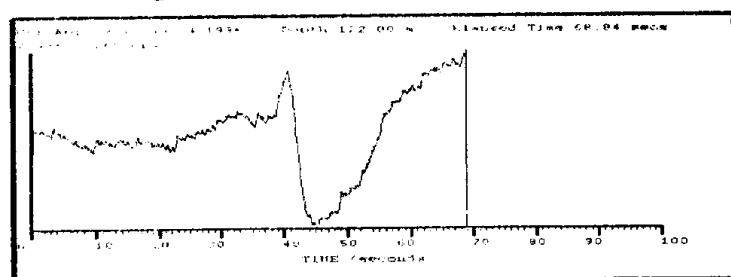
124 m.



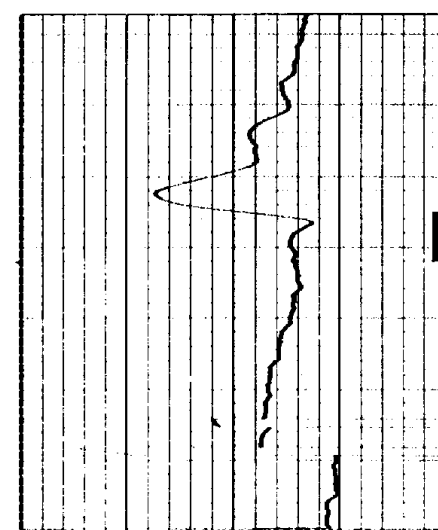
124 m.

Pulso de calor

Compensación



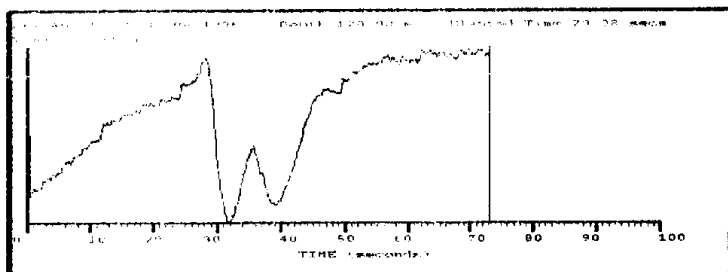
122 m.



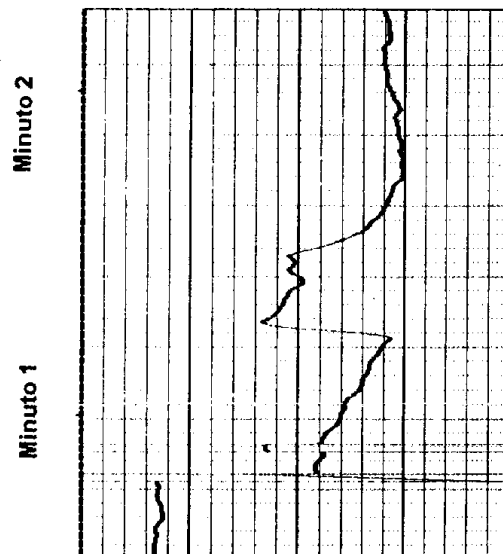
122 m.

Pulso de calor

Compensación



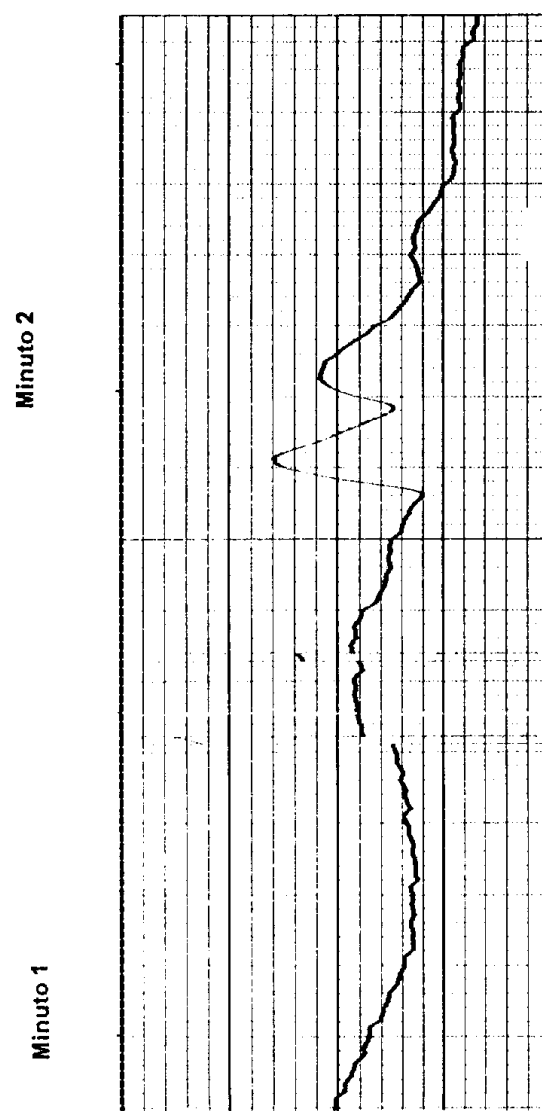
120 m.



120 m.

Pulso de calor

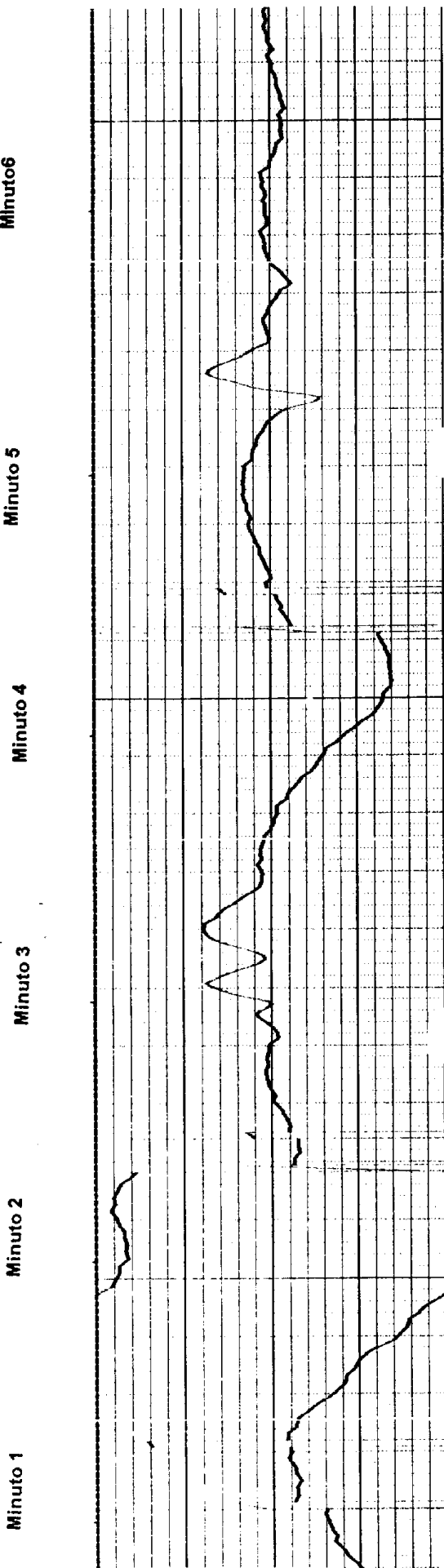
Compensación



118 m.

Pulso de calor

Compensación



Pulso de calor

Compensación

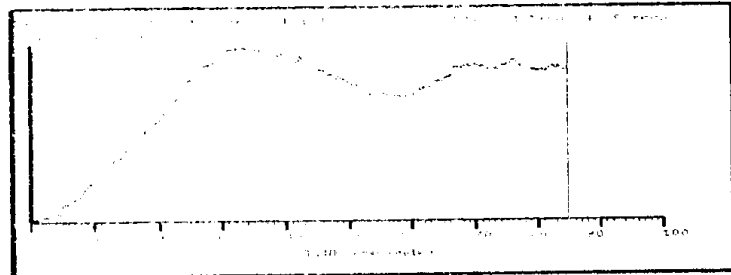
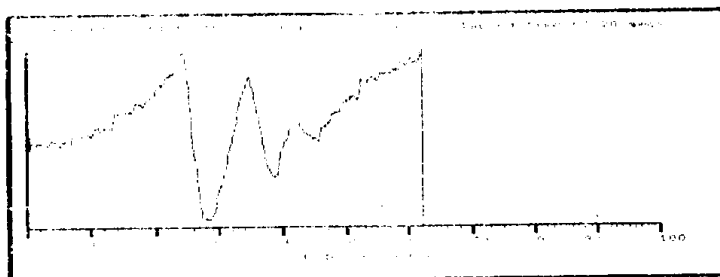
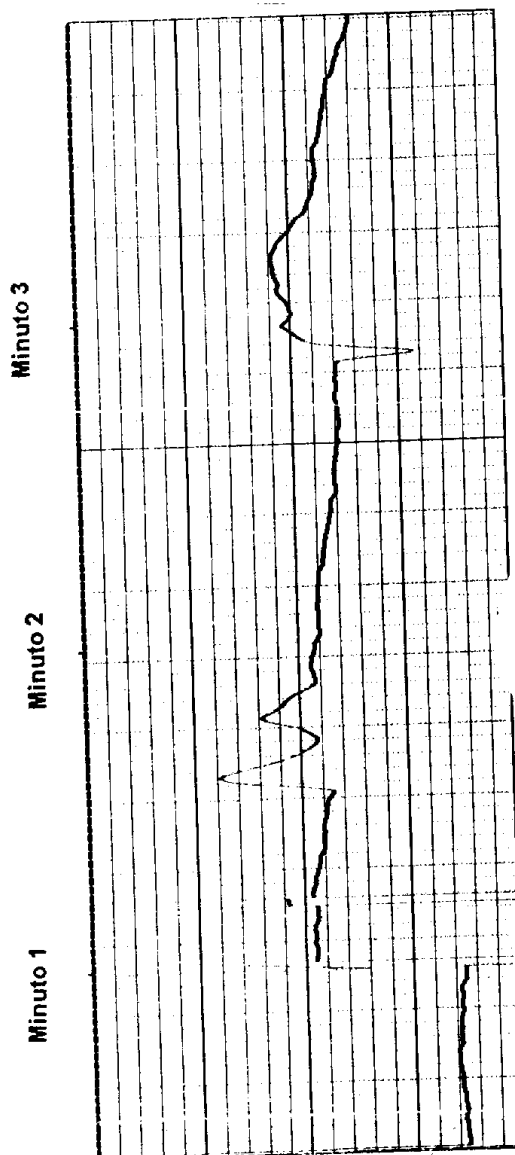
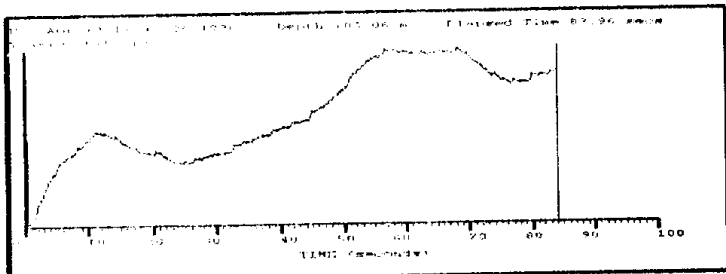
128 m.

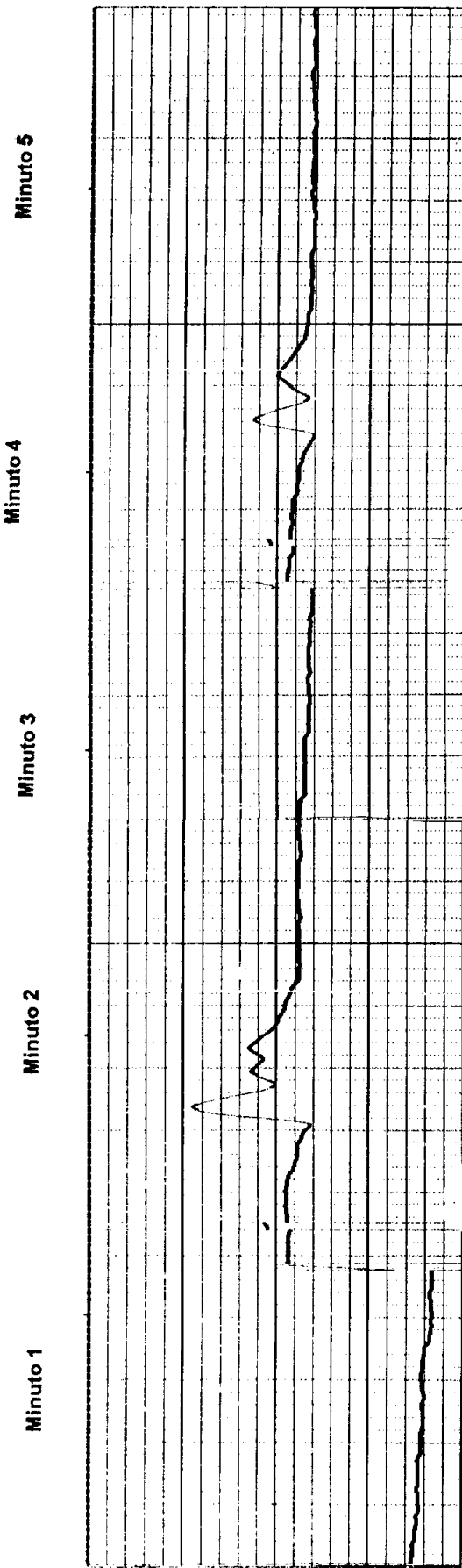
Pulso de calor

Compensación

Pulso de calor

Compensación





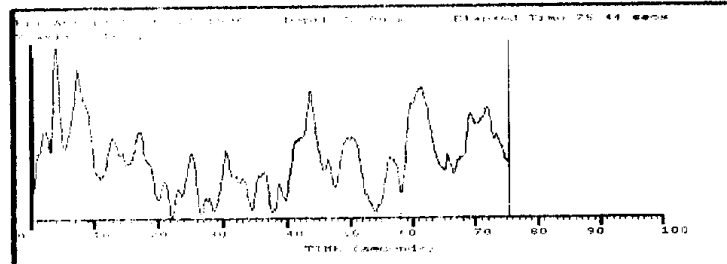
**Pulso de calor**

**Compensación**

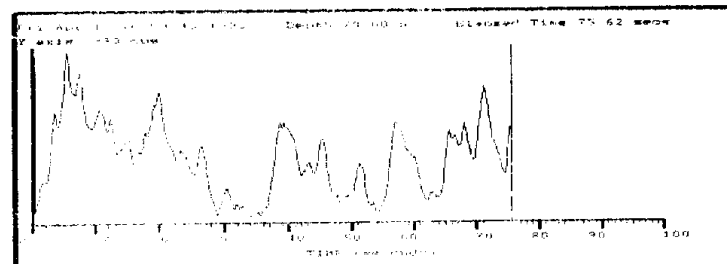
88 m.

**Pulso de calor**

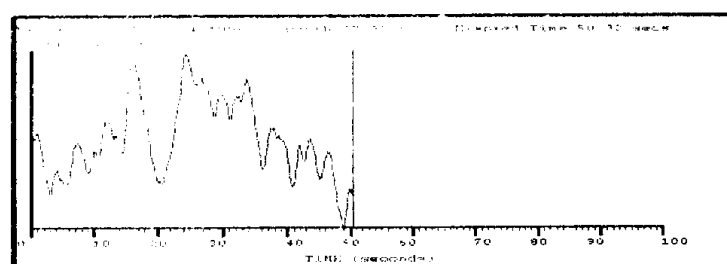
**Compensación**



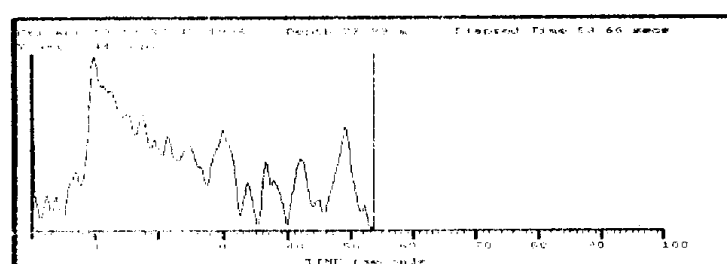
78 m.



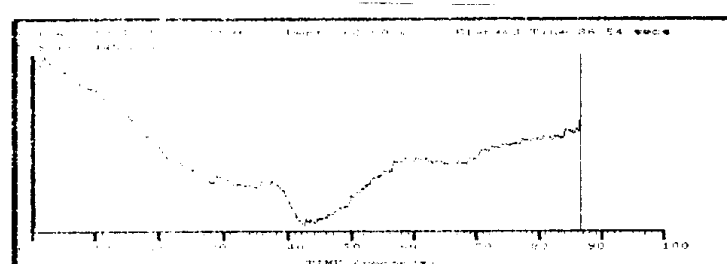
78 m.



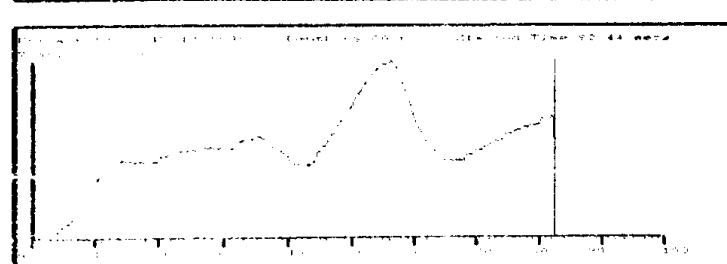
78 m.



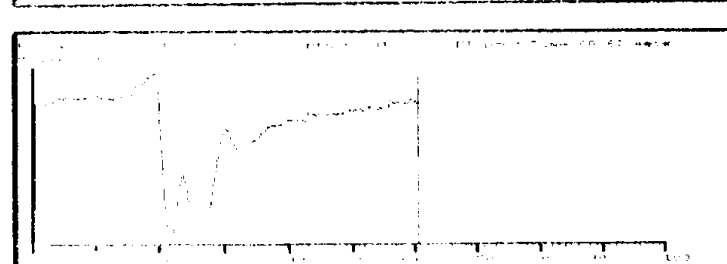
78 m.



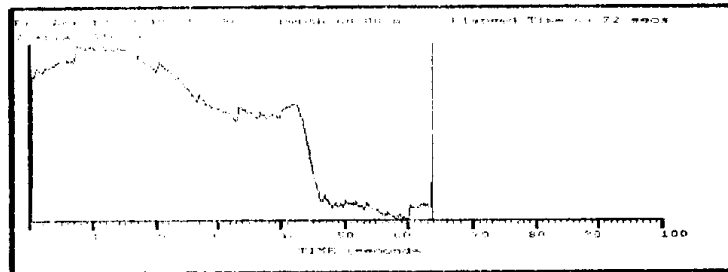
68 m.



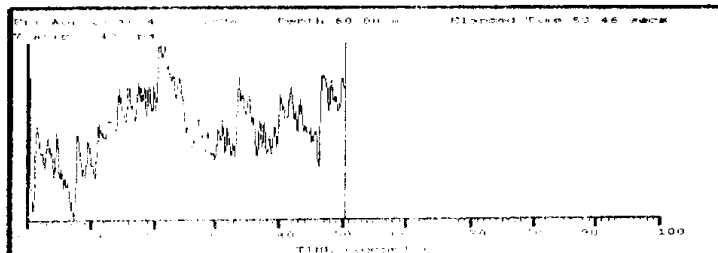
68 m.



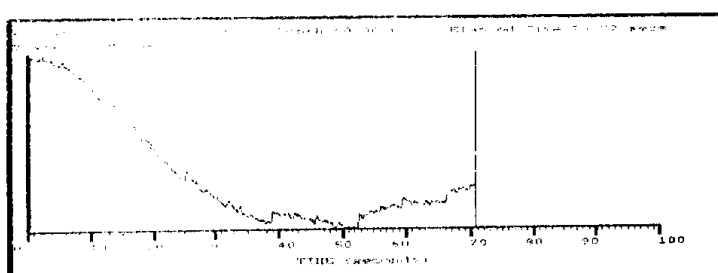
68 m.



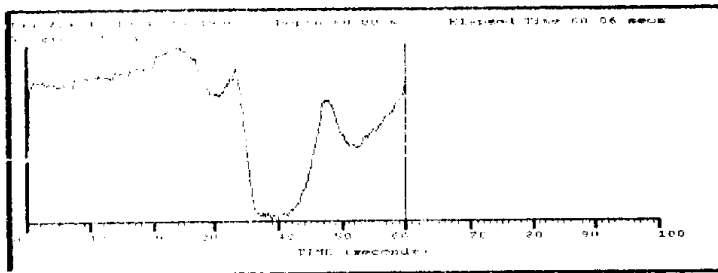
60 m.



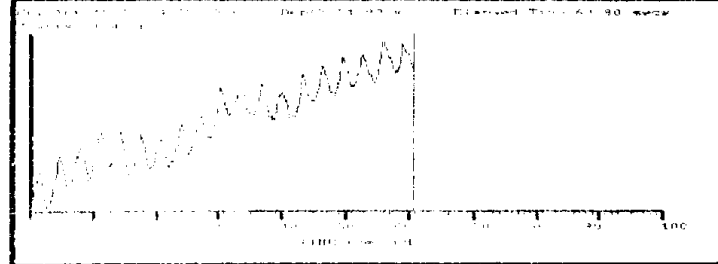
60 m.



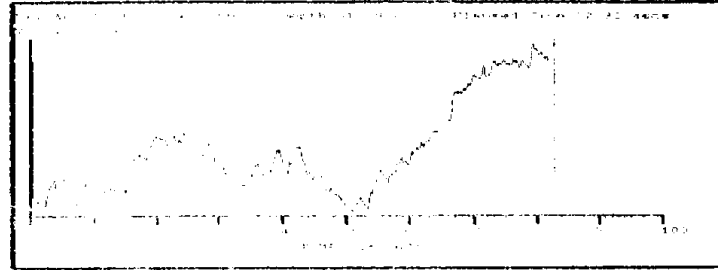
60 m.



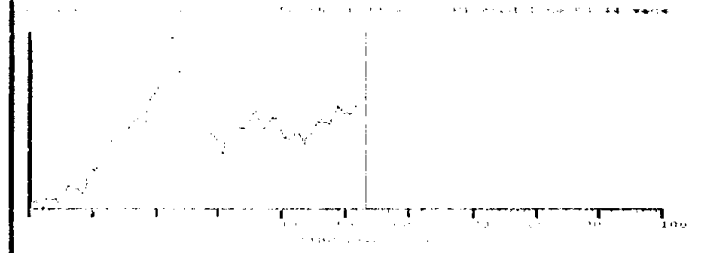
60 m.



52 m.



52 m.

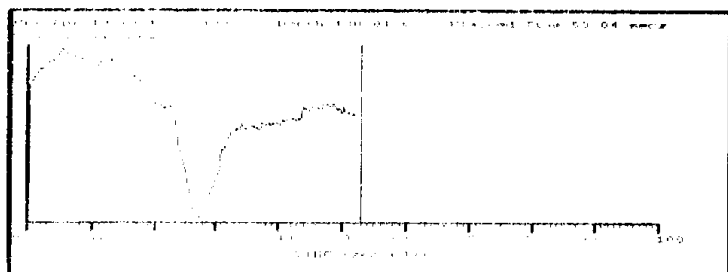


52 m.

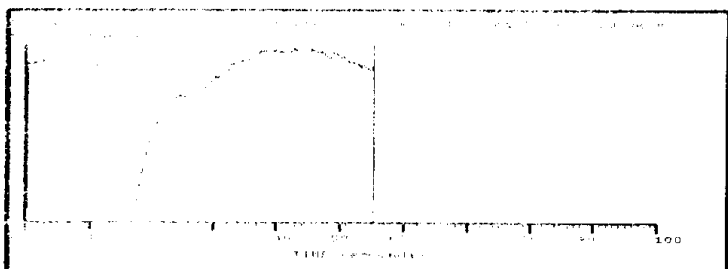
Sondeo      **227 Rm**

Fecha      19-04-96

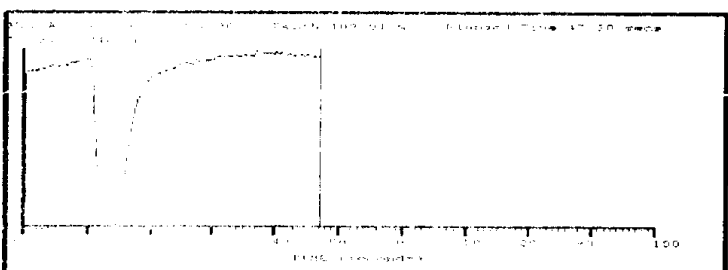
Hora      9:30--11:00



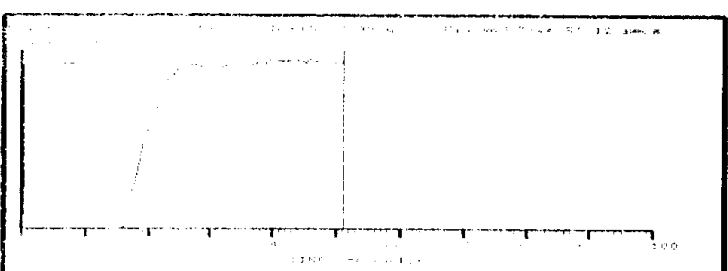
130 m.



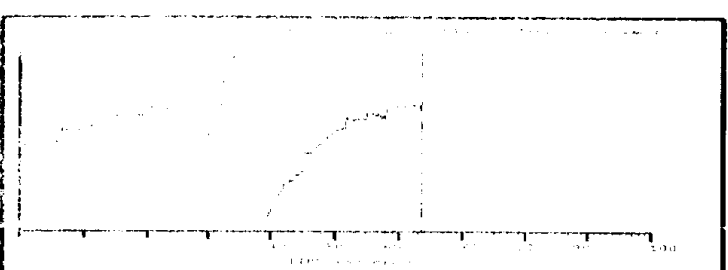
130 m.



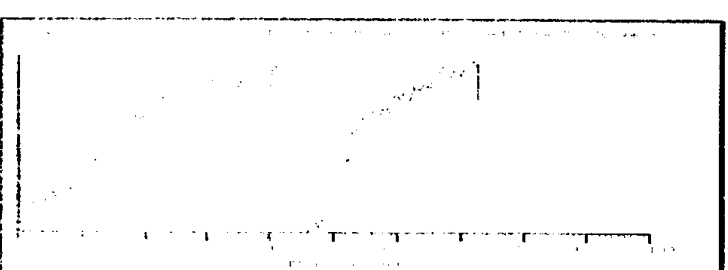
109 m.



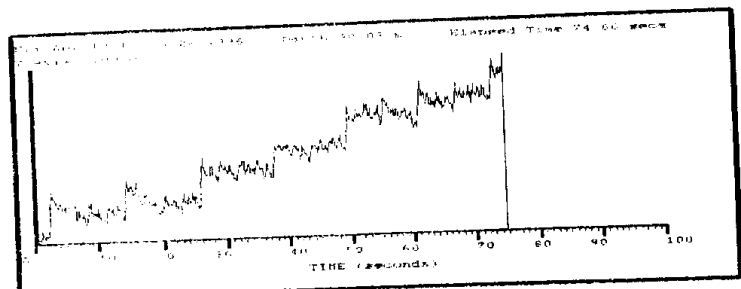
97.4 m.



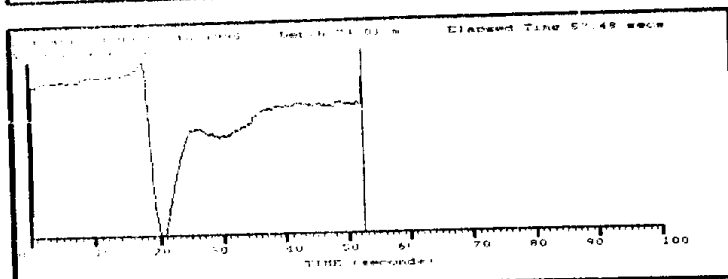
90 m.



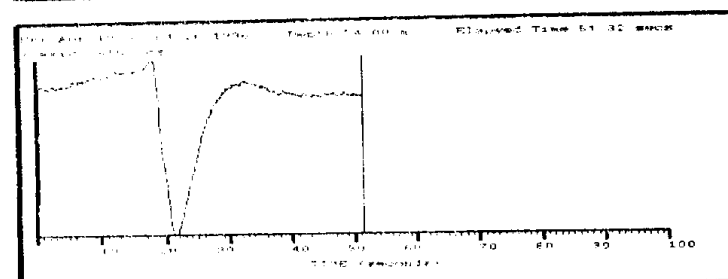
90 m.



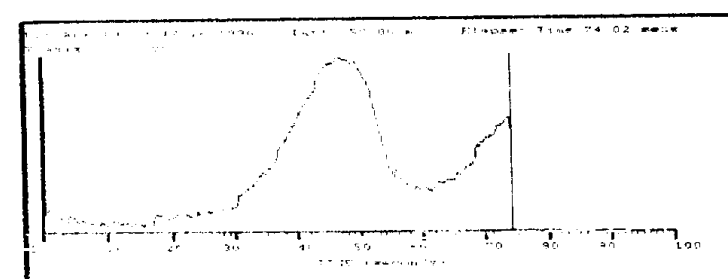
90 m.



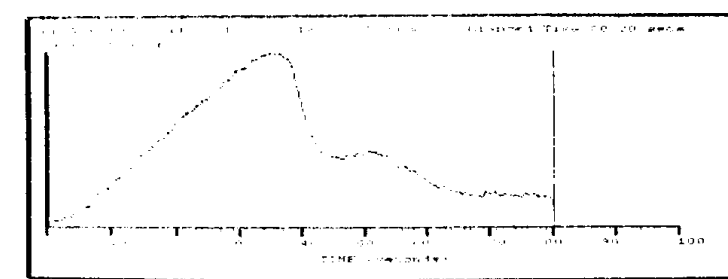
74 m.



74 m.



58 m.

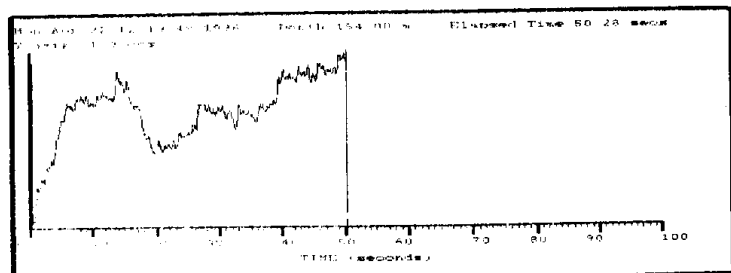


58 m.

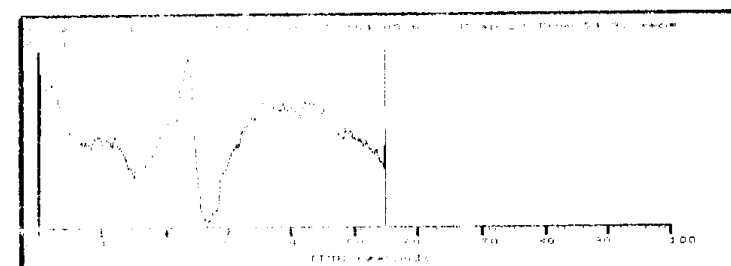
Sondeo 40 Vc

Fecha 22-04-96

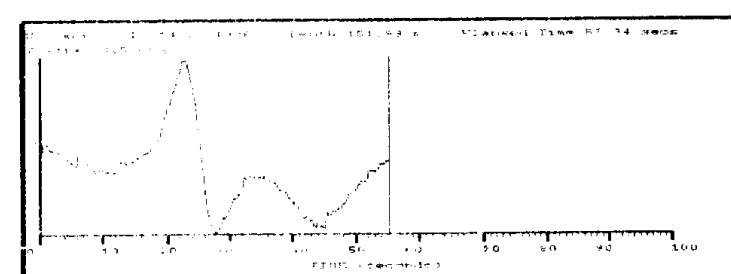
Hora 10:25--12:15



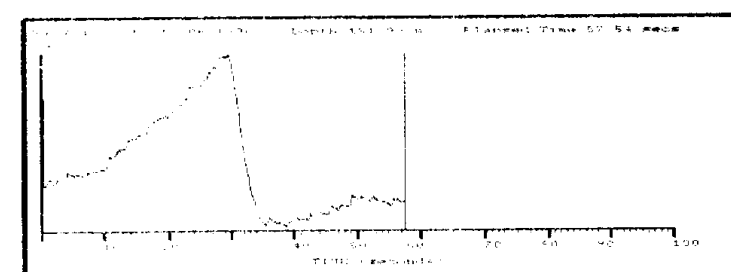
154 m.



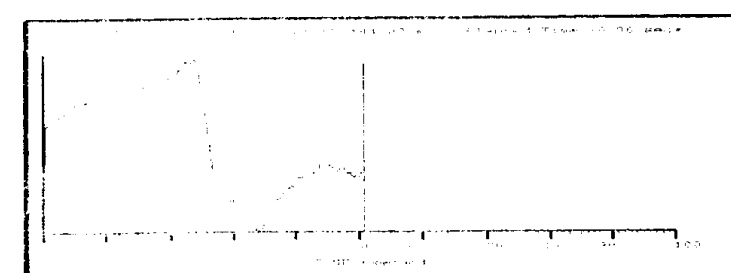
152 m.



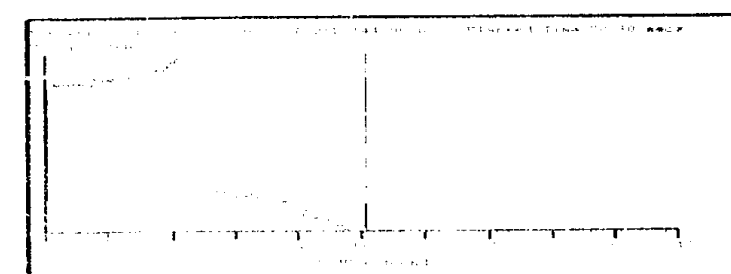
152 m.



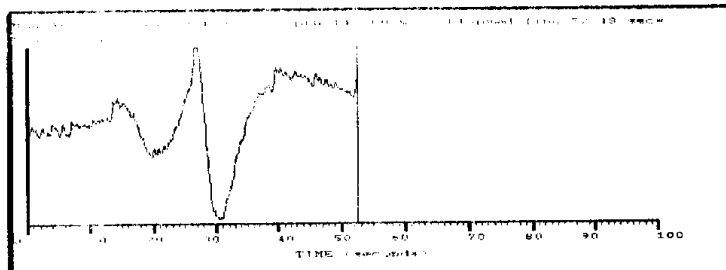
152 m.



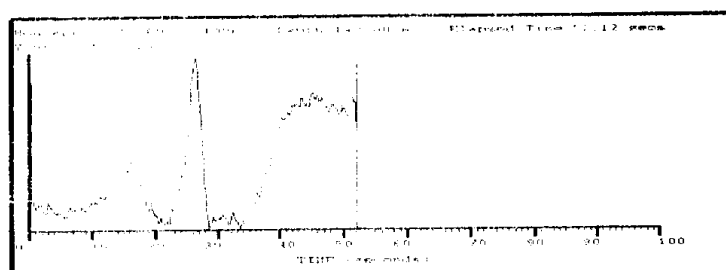
144 m.



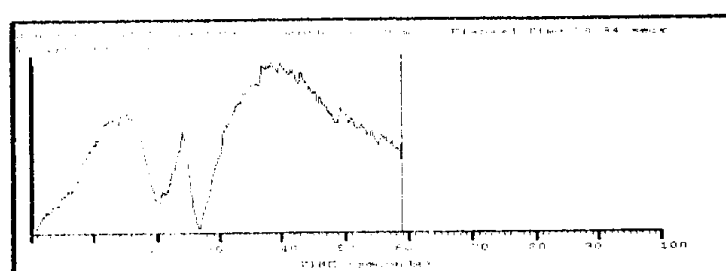
144 m.



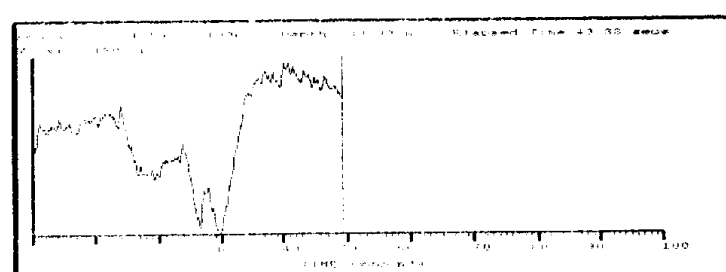
142 m.



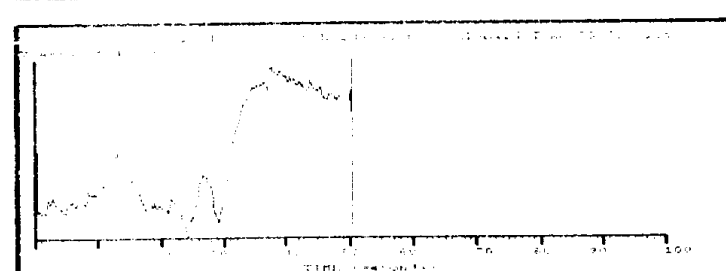
142 m.



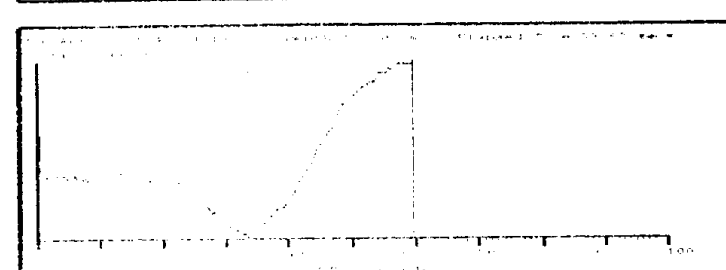
142 m.



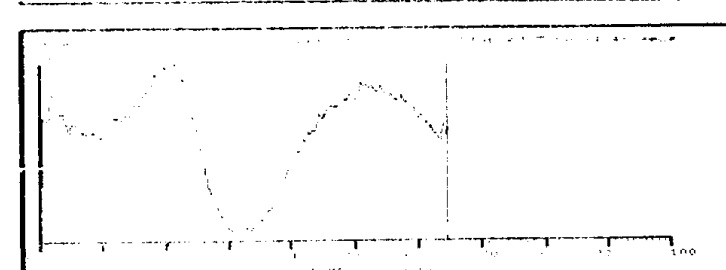
140 m.



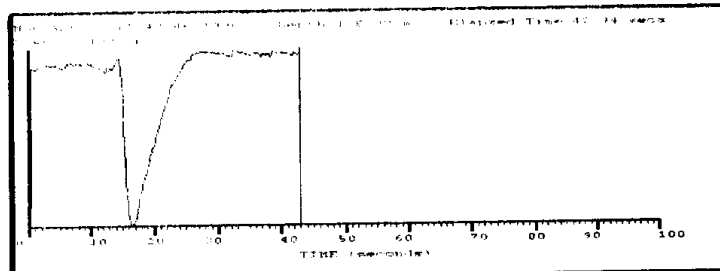
140 m.



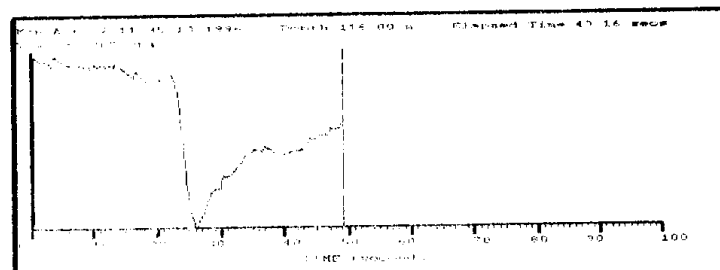
138 m.



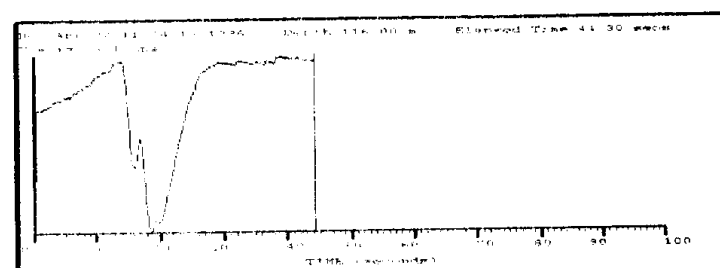
138 m.



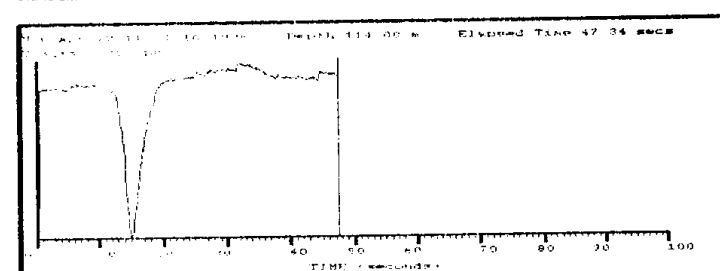
136 m.



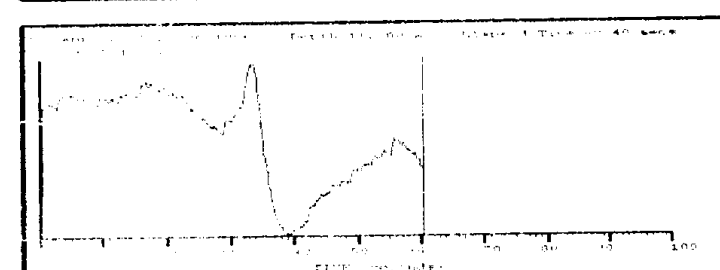
116 m.



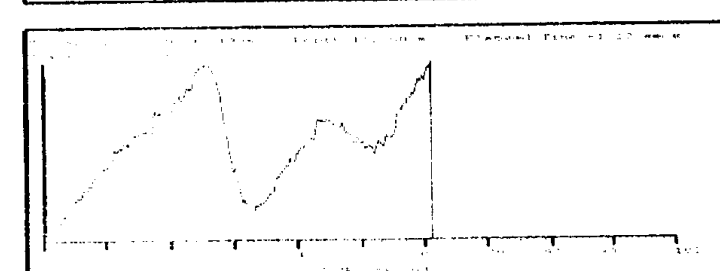
116 m.



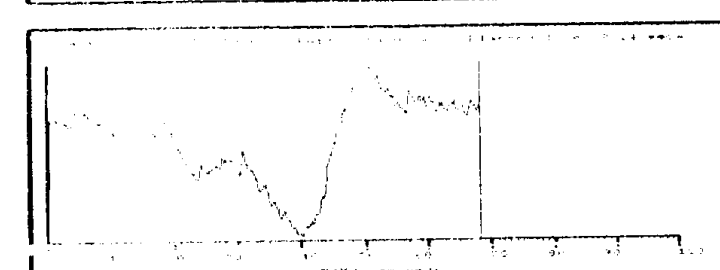
114 m.



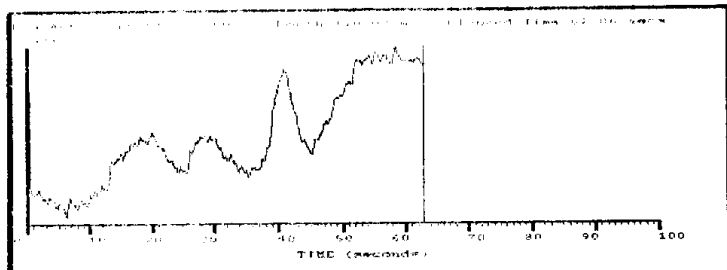
112 m.



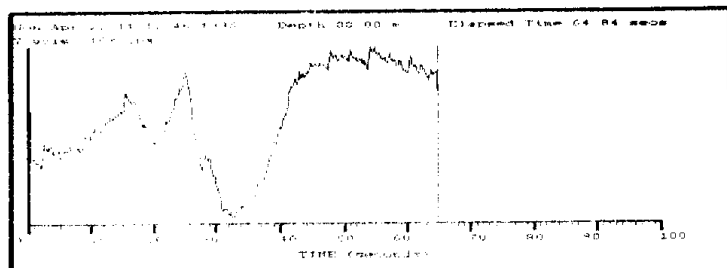
112 m.



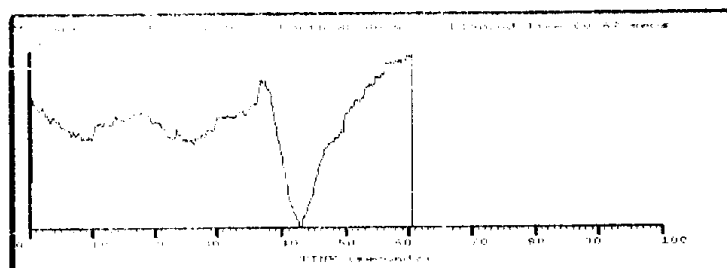
110 m.



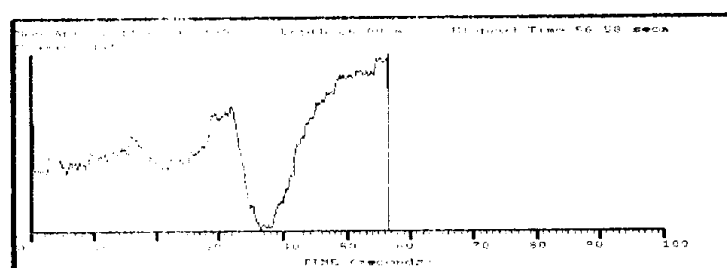
110 m.



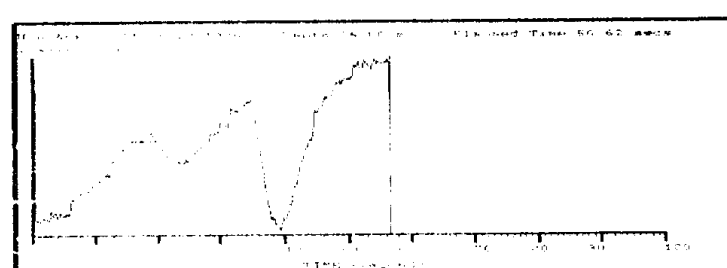
88 m.



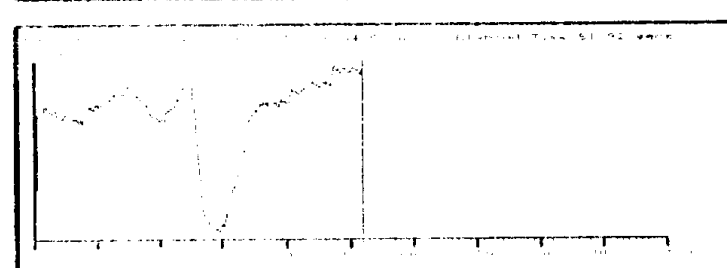
88 m.



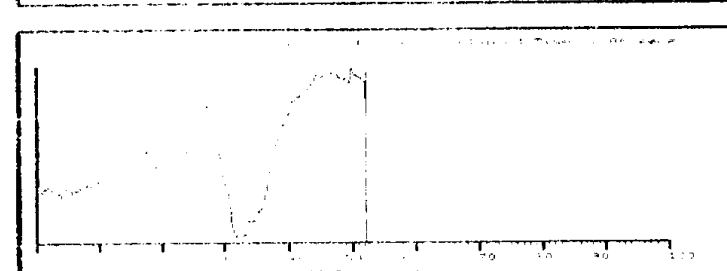
86 m.



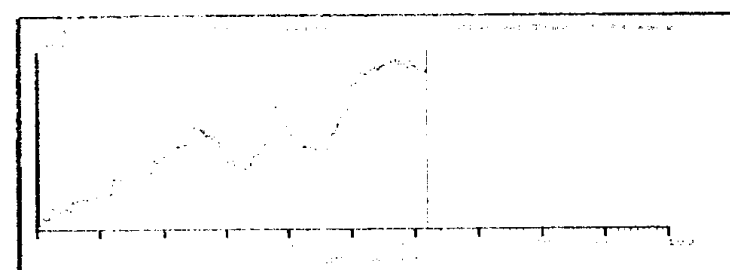
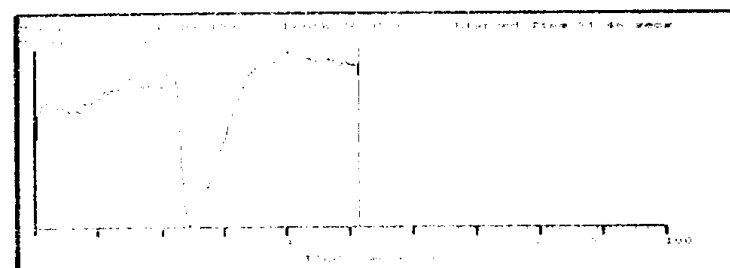
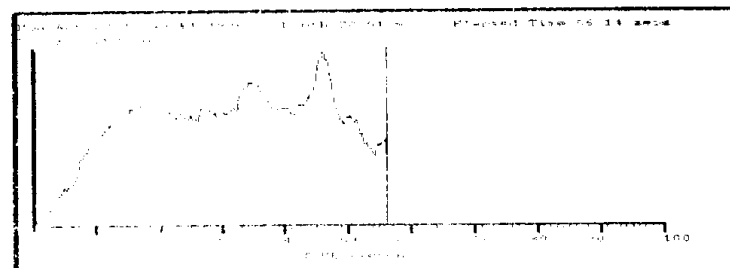
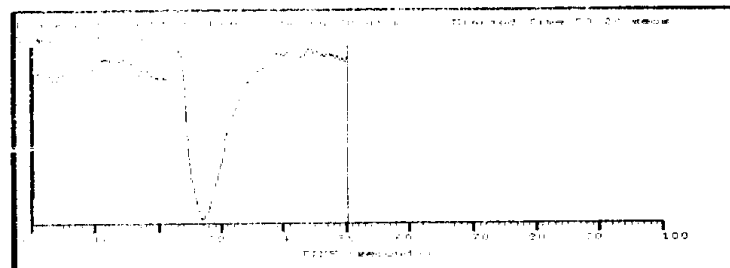
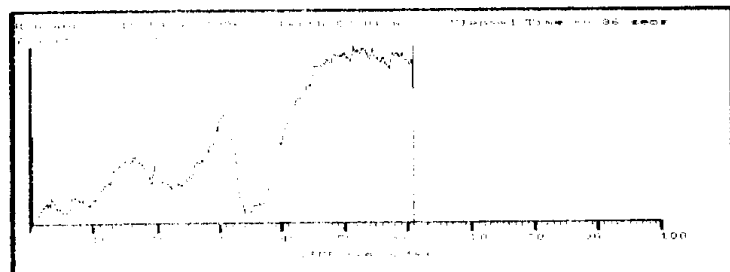
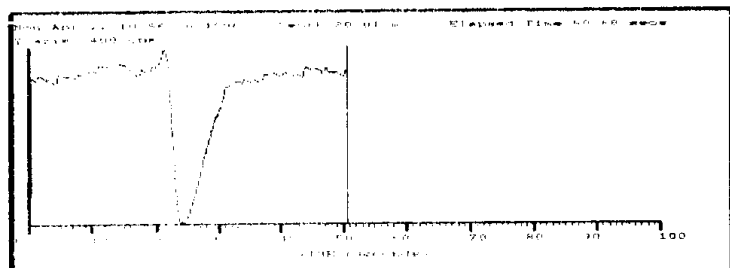
86 m.



84 m.



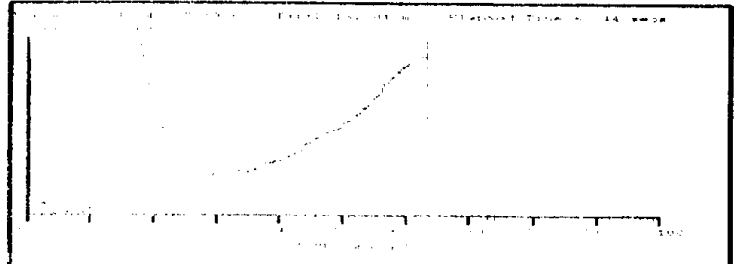
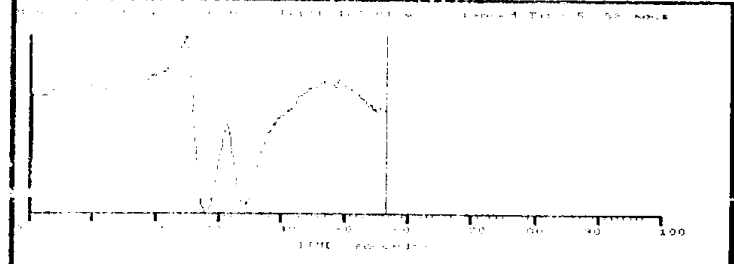
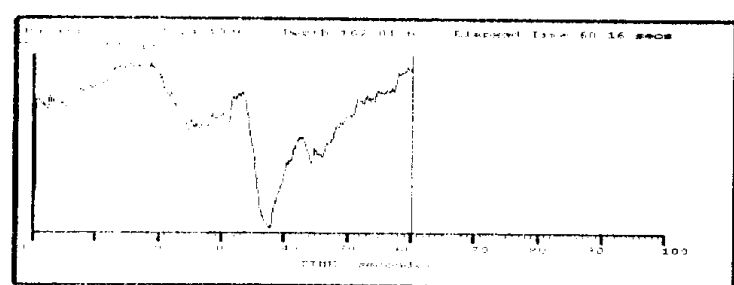
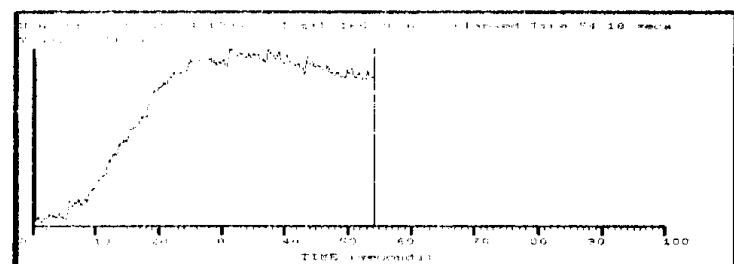
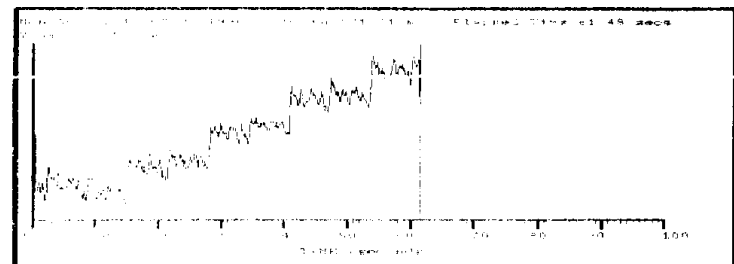
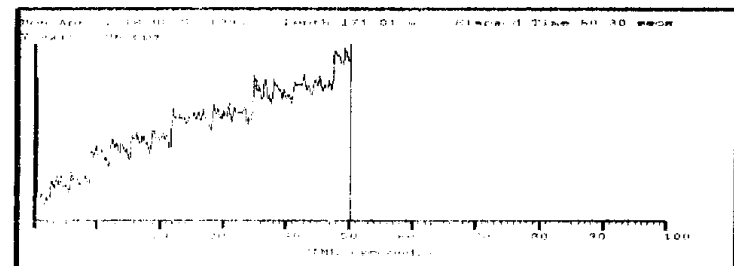
84 m.

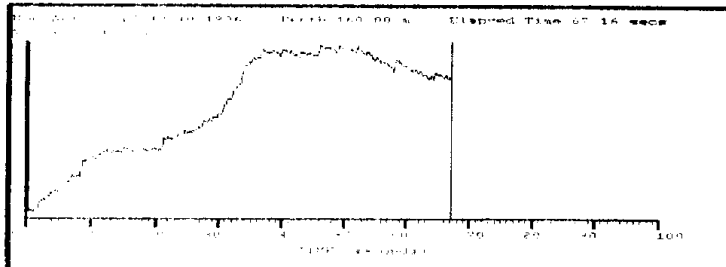


Sondeo      **252 Rm**

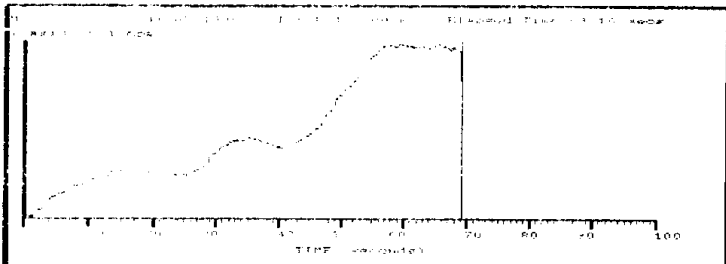
Fecha      22-04-96

Hora      17:10--18:00

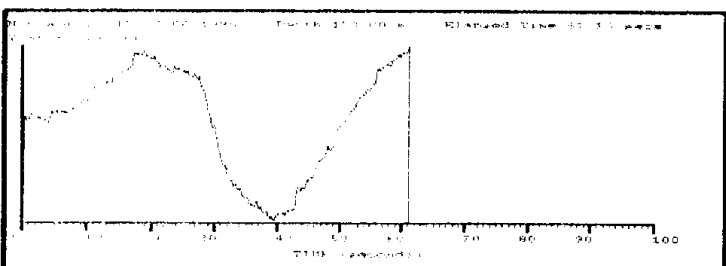




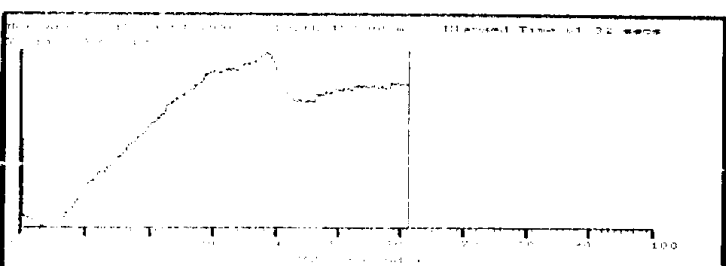
160 m.



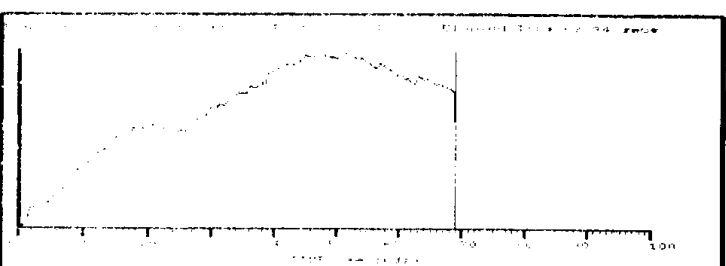
160 m.



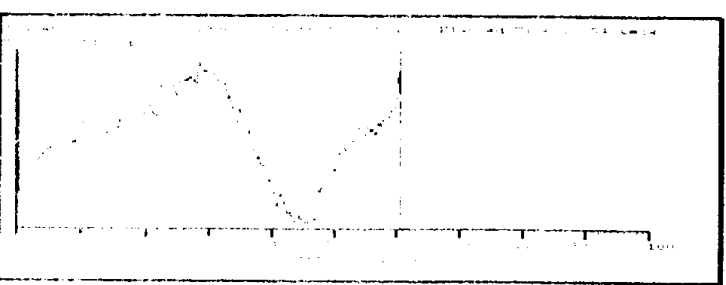
158 m.



158 m.



156 m.

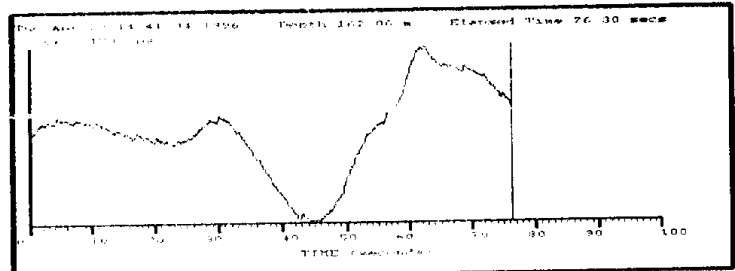


156 m.

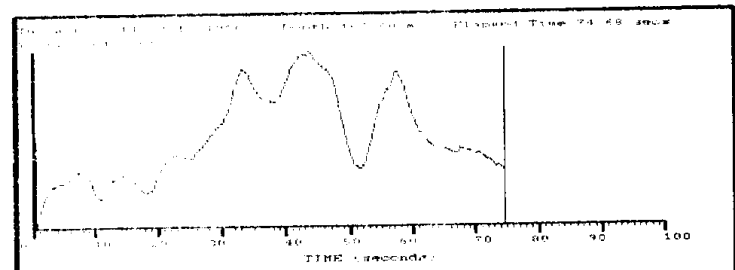
Sondeo    **43 Vc**

Fecha      23-04-96

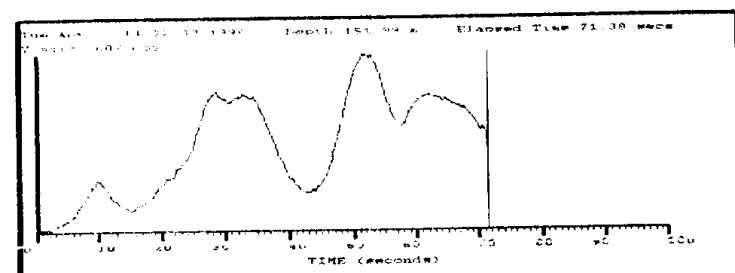
Hora      11:15--14:30



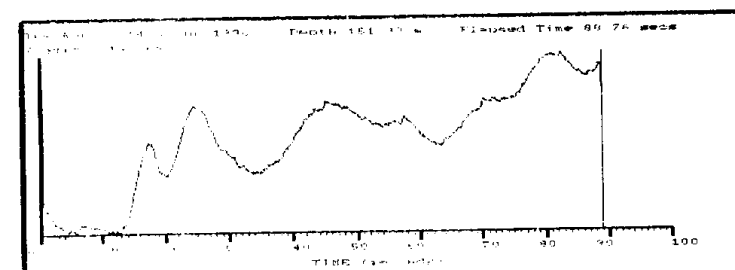
162 m.



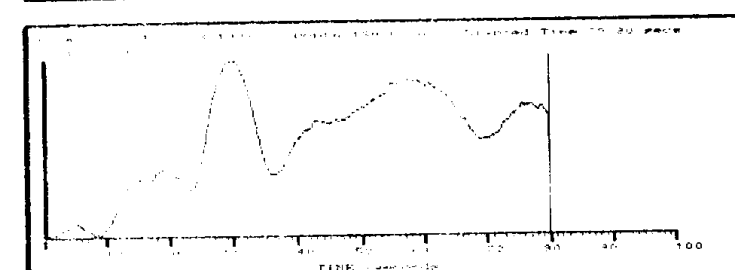
162 m.



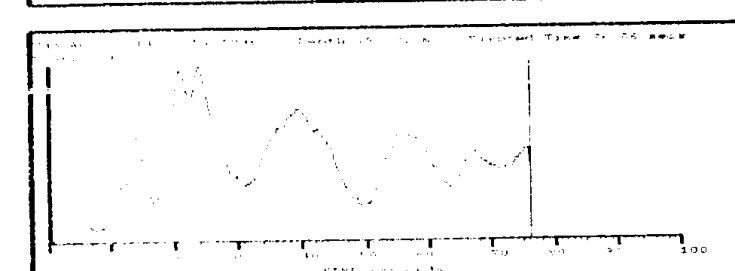
152 m.



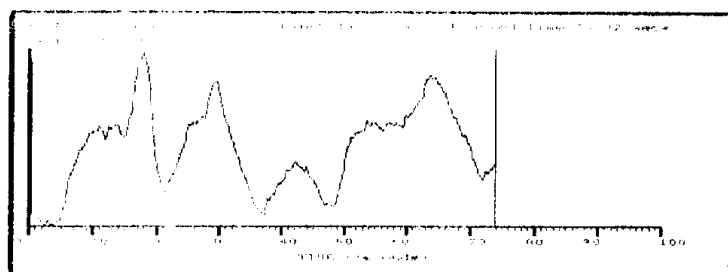
152 m.



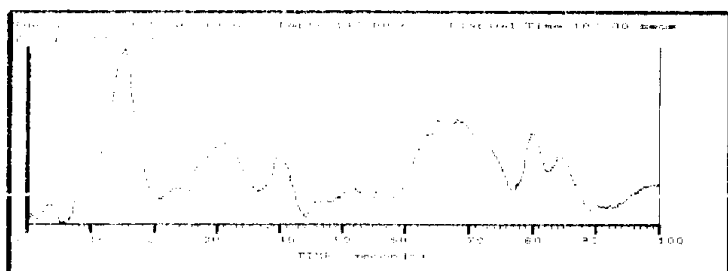
150 m.



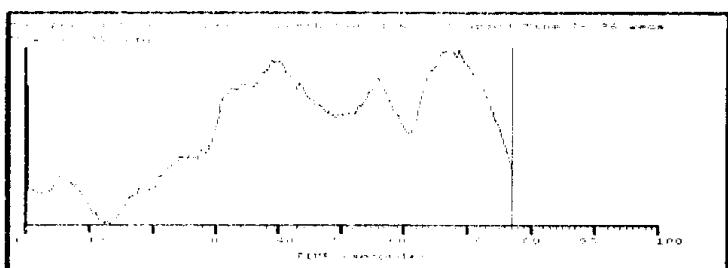
150 m.



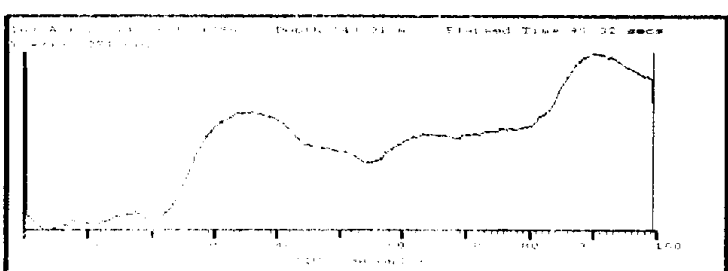
142 m.



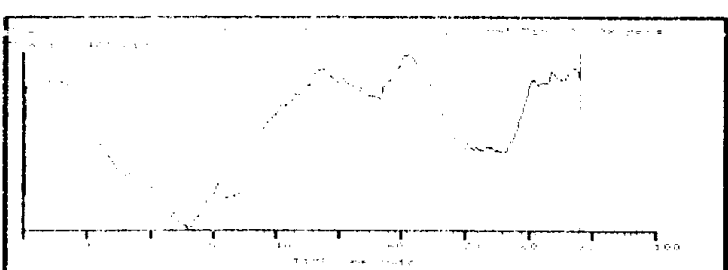
142 m.



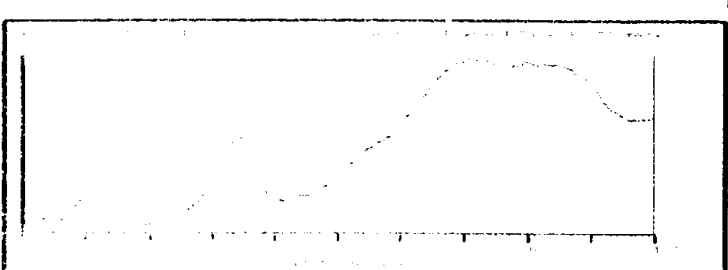
140 m.



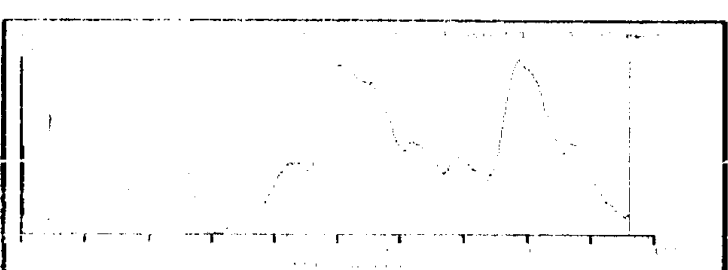
140 m.



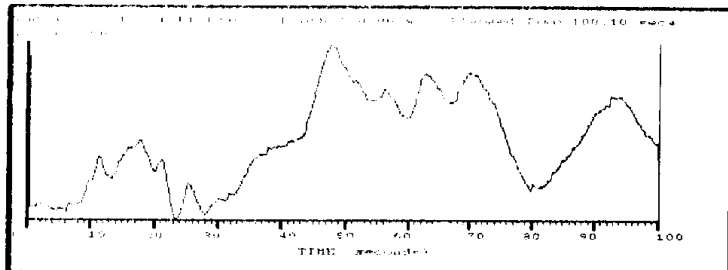
132 m.



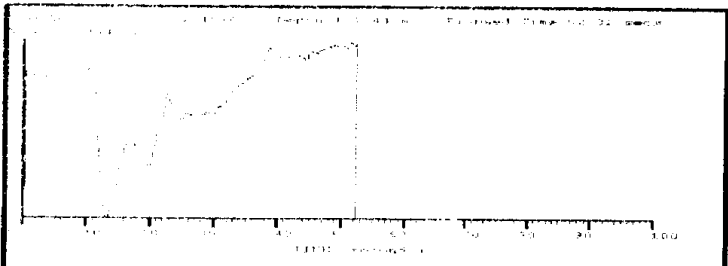
132 m.



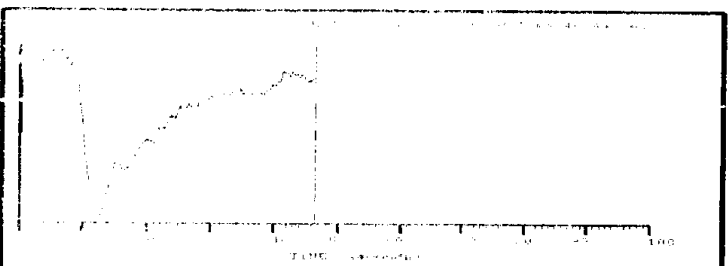
130 m.



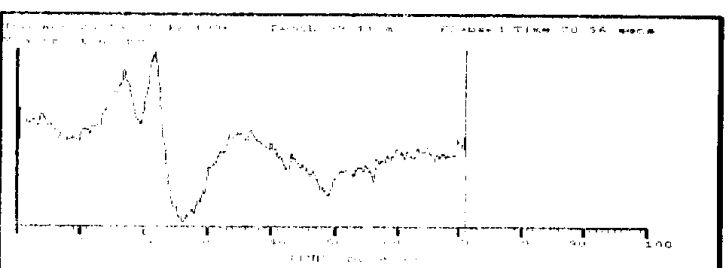
130 m.



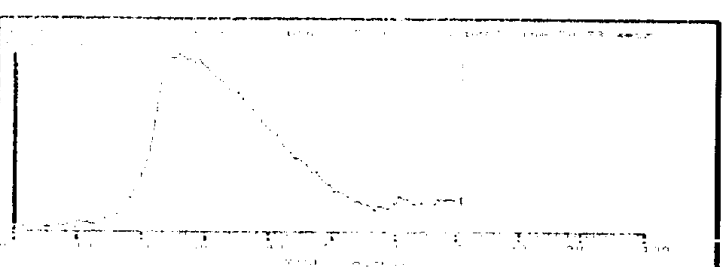
102.4 m.



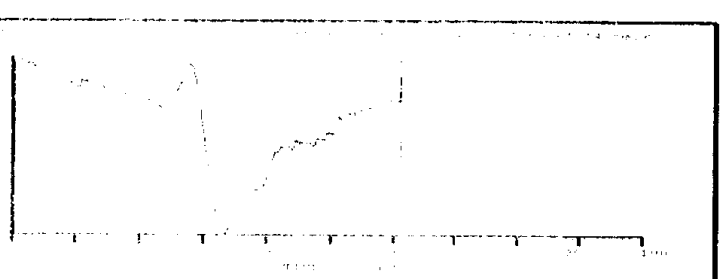
100.2 m.



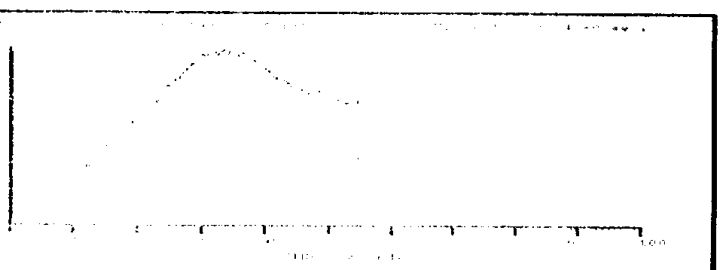
99.1 m.



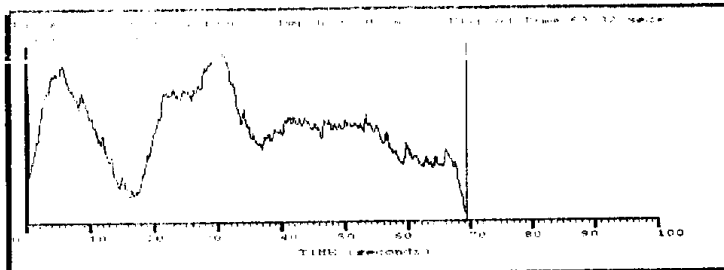
98.6 m.



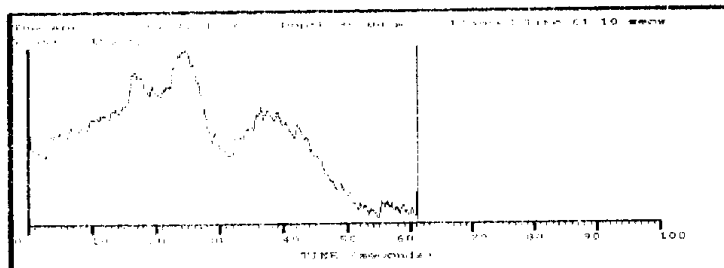
98 m.



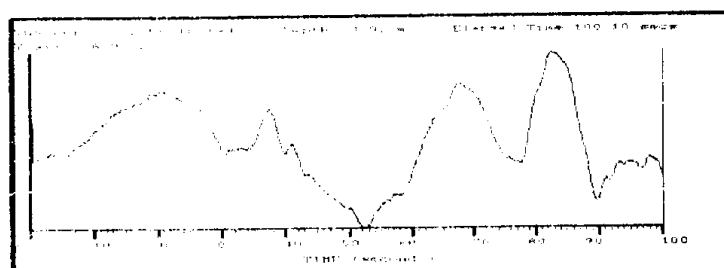
98 m.



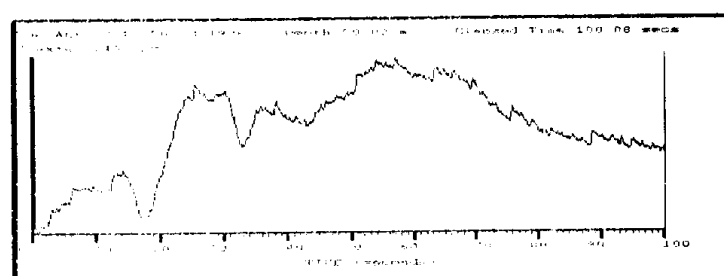
96 m.



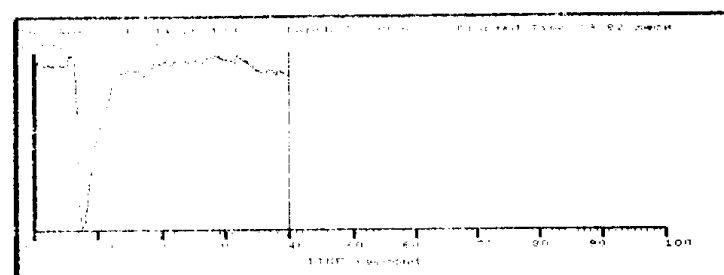
96 m.



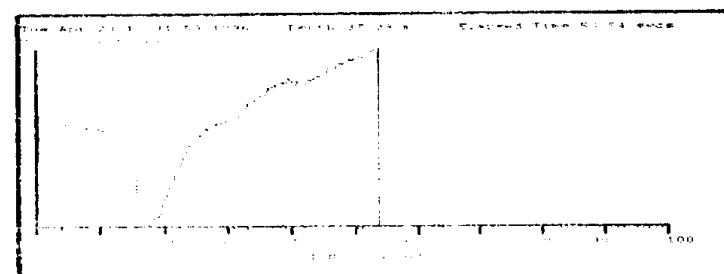
90 m.



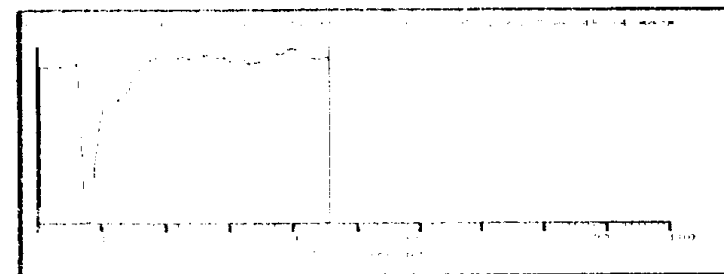
90 m.



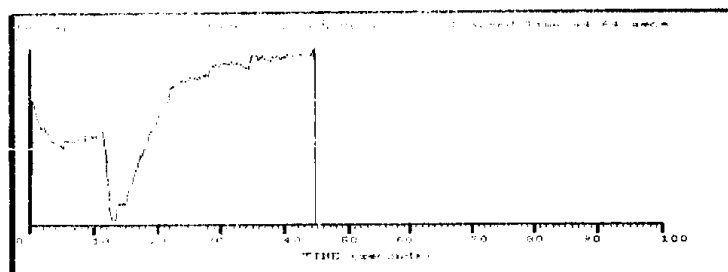
88 m.



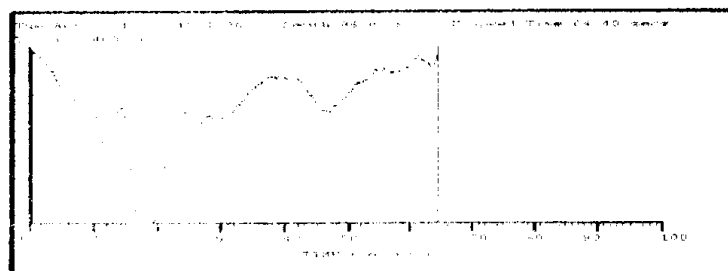
88 m.



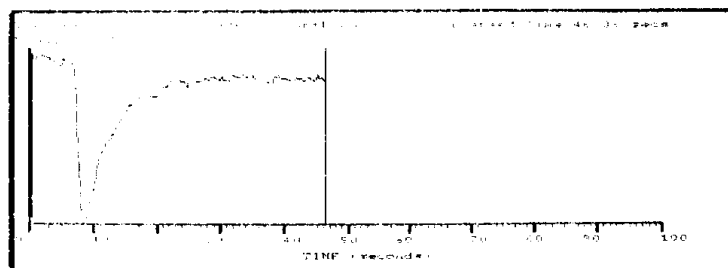
88 m.



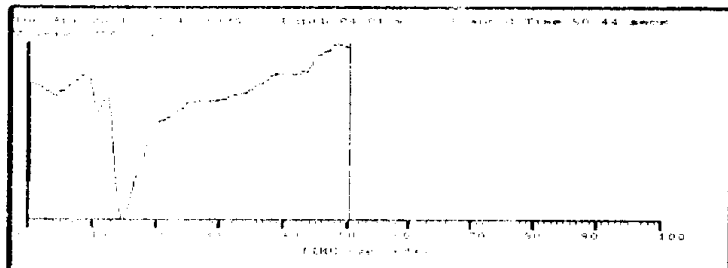
86 m.



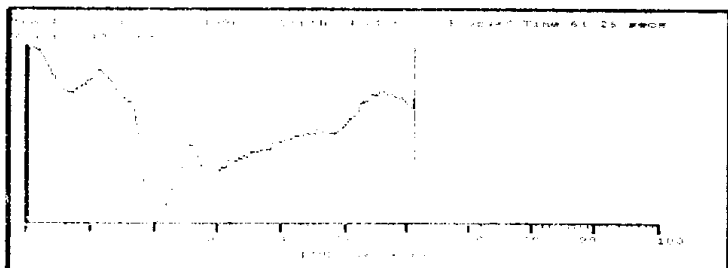
86 m.



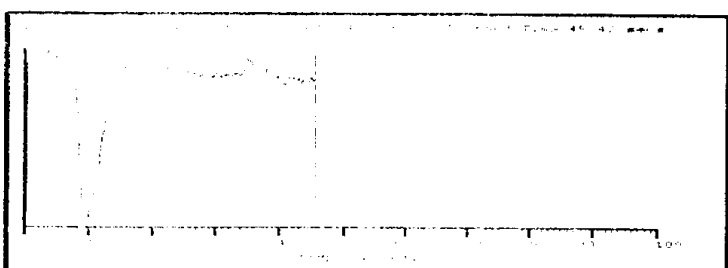
86 m.



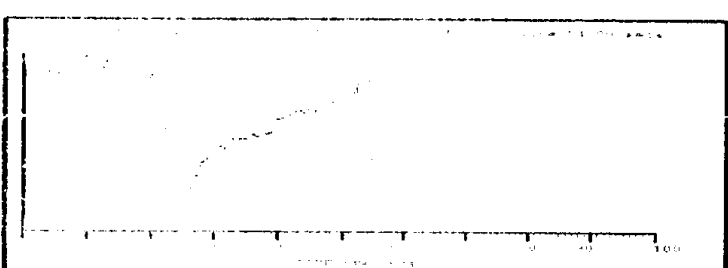
84 m.



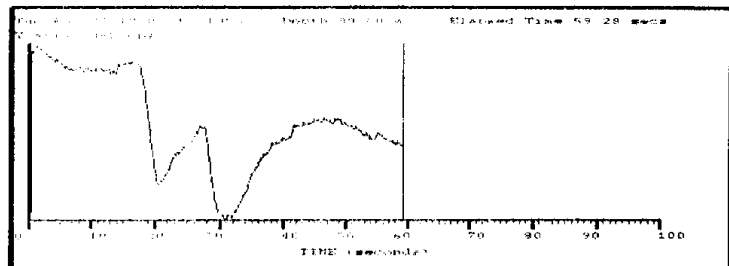
84 m.



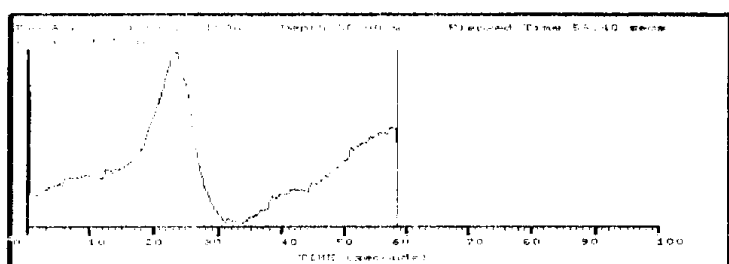
84 m.



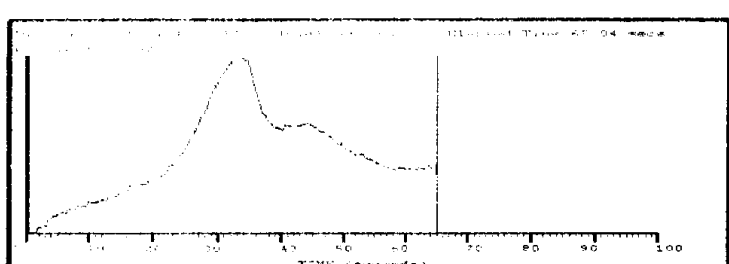
80 m.



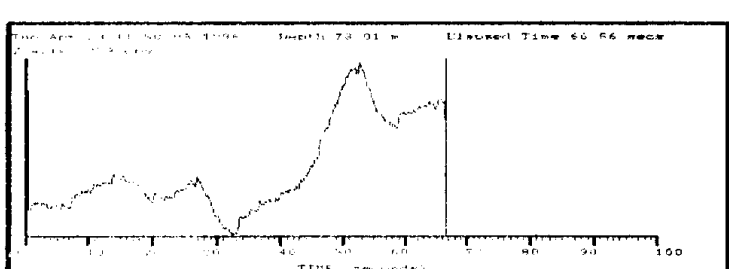
80 m.



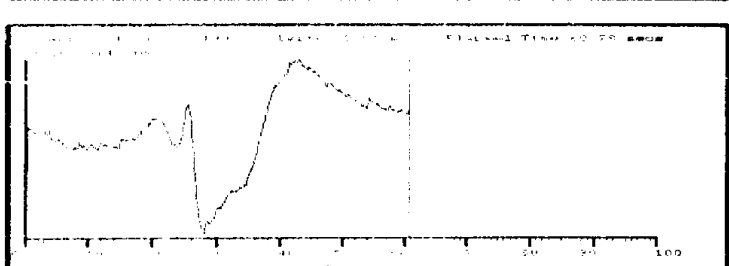
80 m.



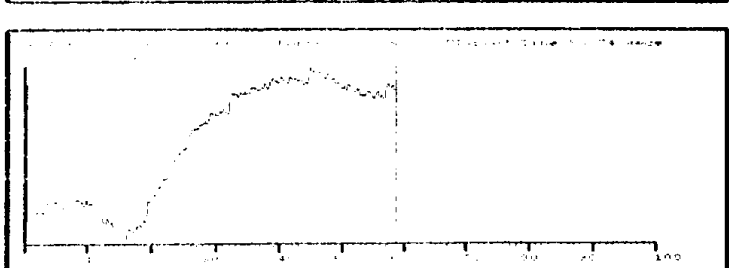
80 m.



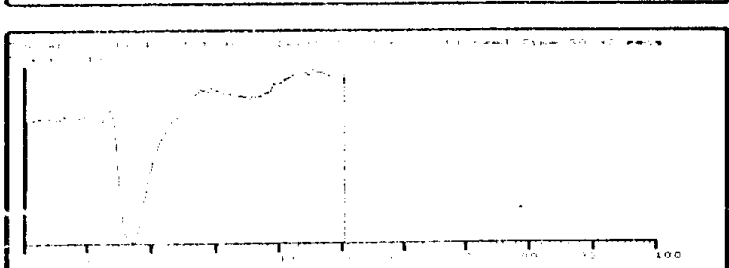
78 m.



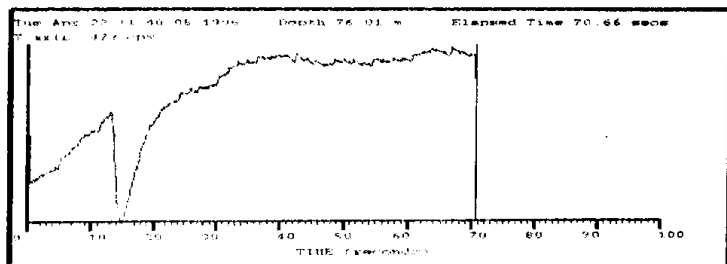
78 m.



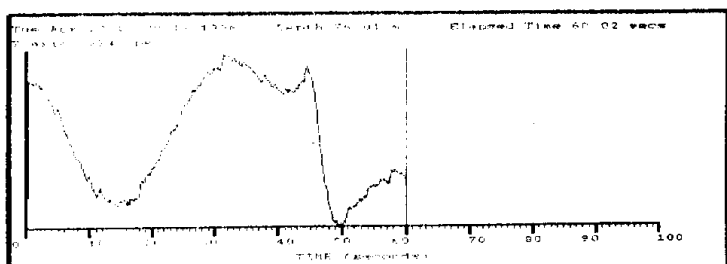
78 m.



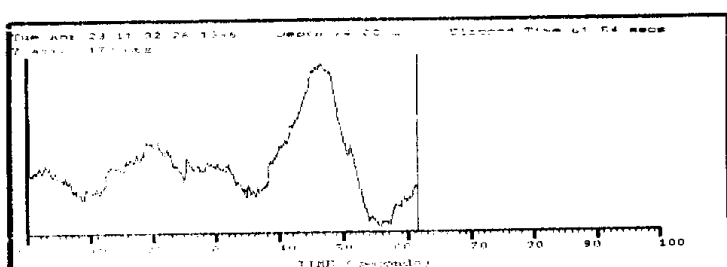
76 m.



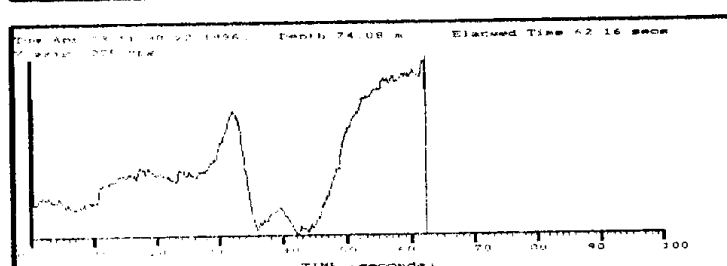
76 m.



76 m.



74 m.

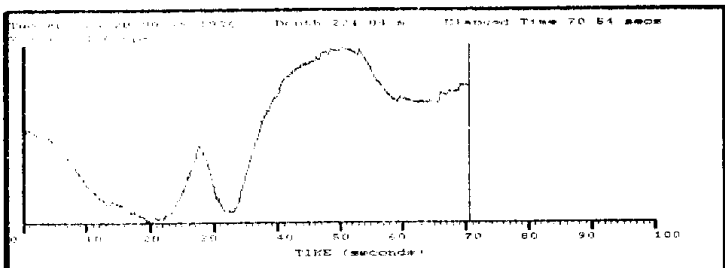


74 m.

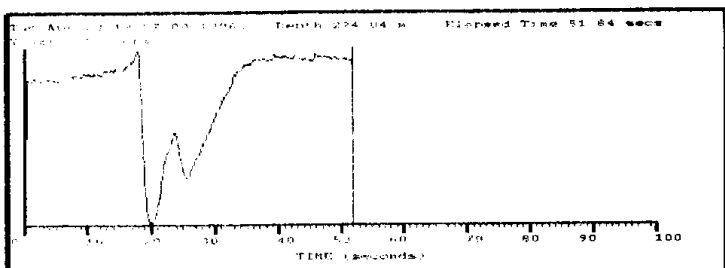
Sondeo      **253 Rm**

Fecha      23-04-96

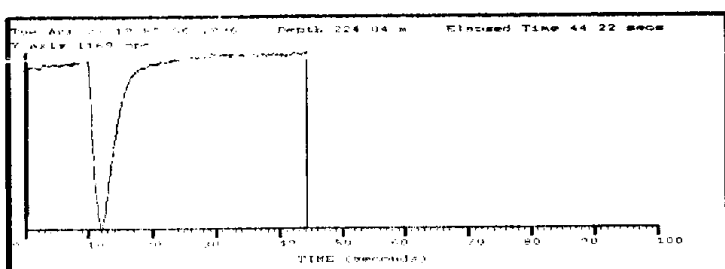
Hora      17:45-19:55



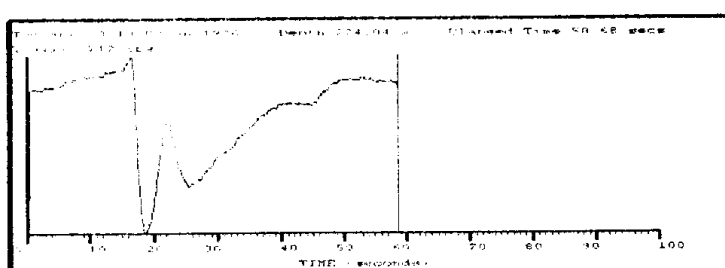
224 m.



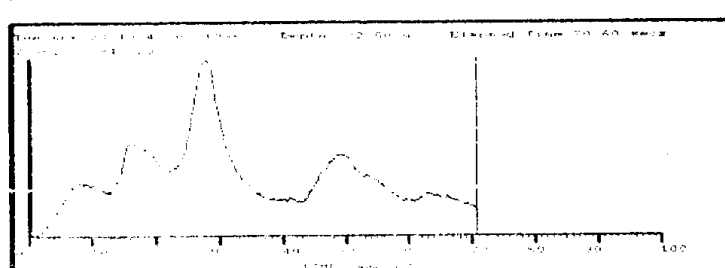
224 m.



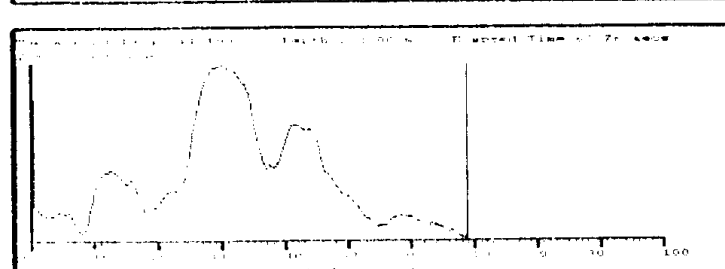
224 m.



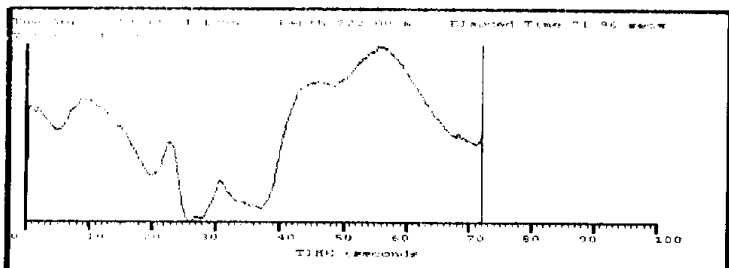
224 m.



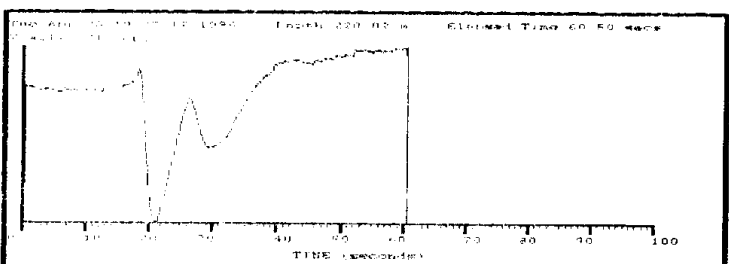
222 m.



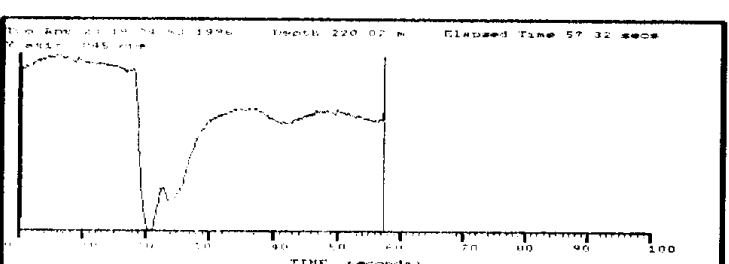
222 m.



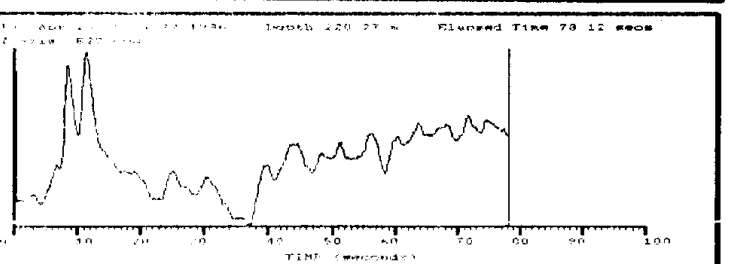
222 m.



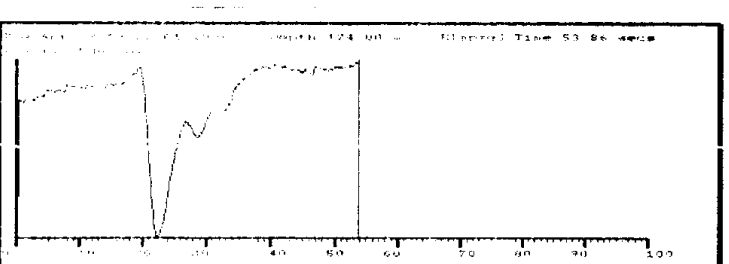
220 m.



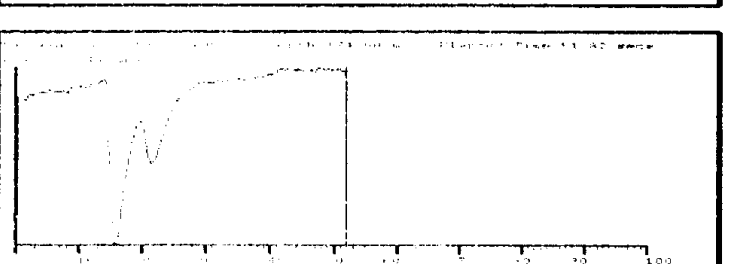
220 m.



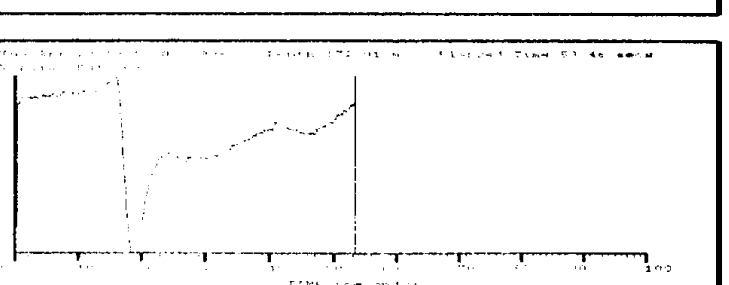
220 m.



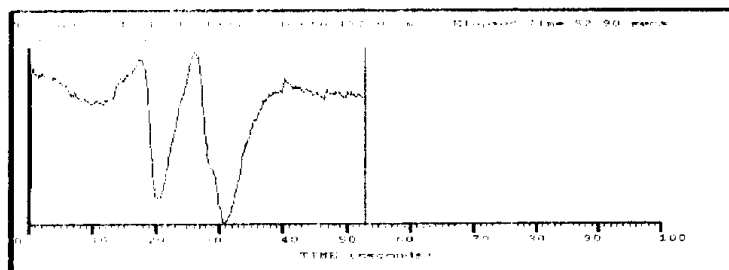
174 m.



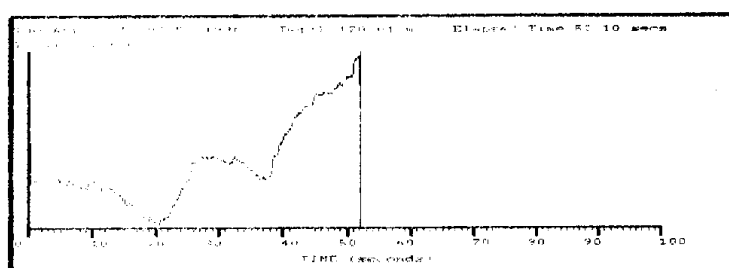
174 m.



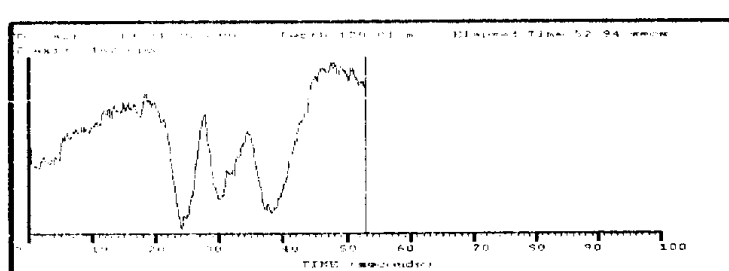
172 m.



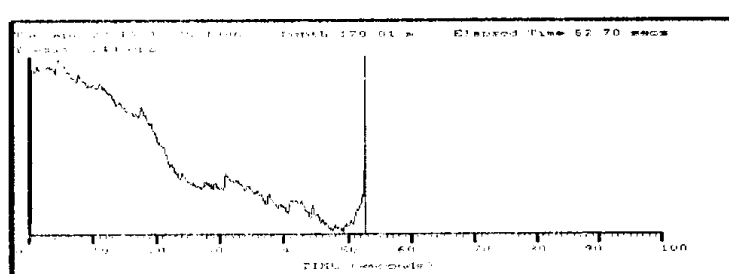
172 m.



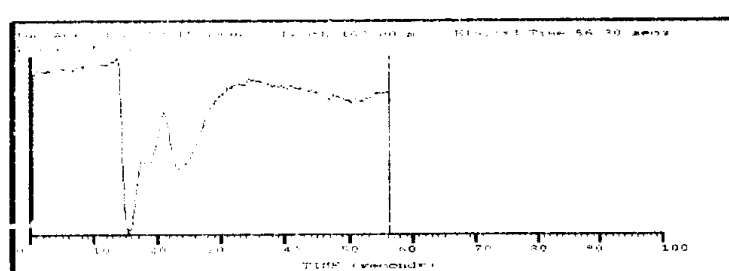
170 m.



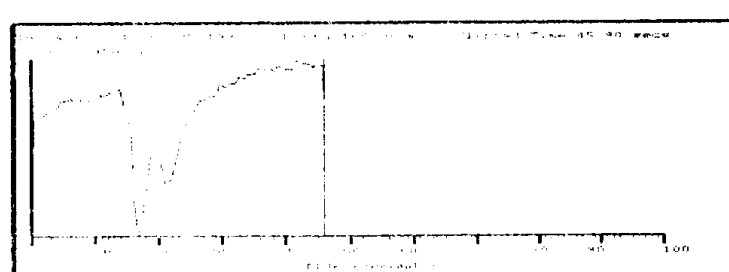
170 m.



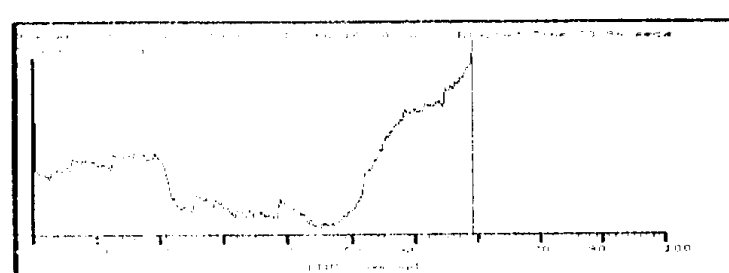
170 m.



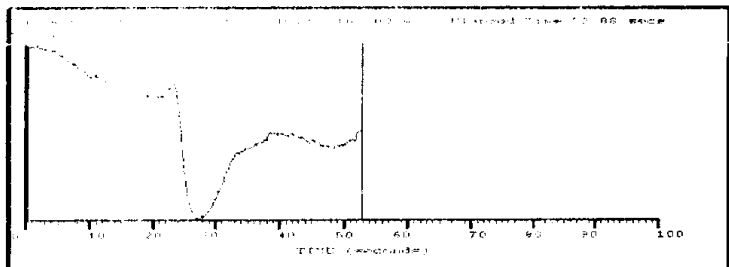
168 m.



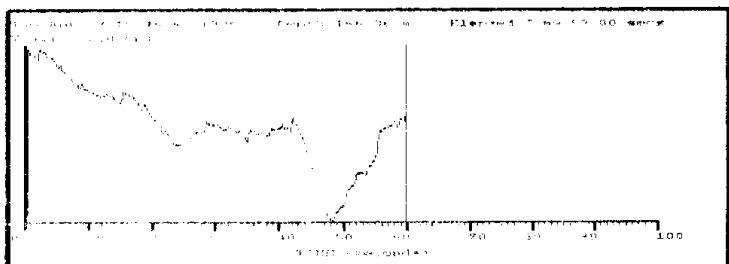
168 m.



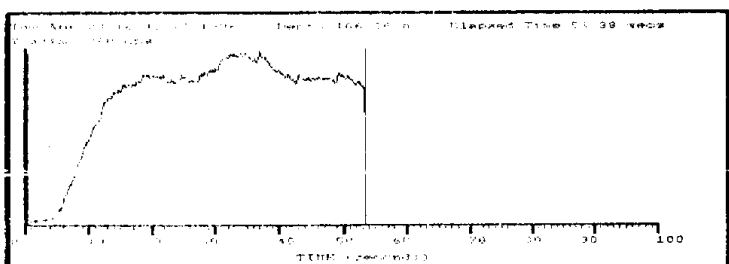
168 m.



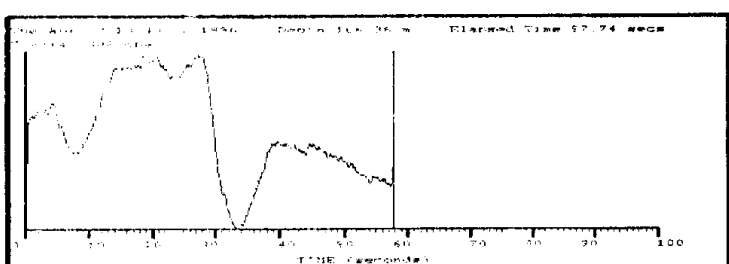
168 m



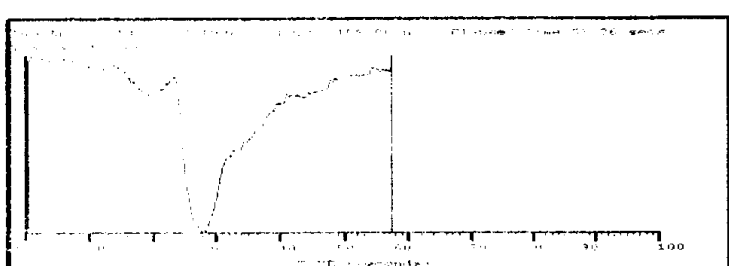
166.4 m.



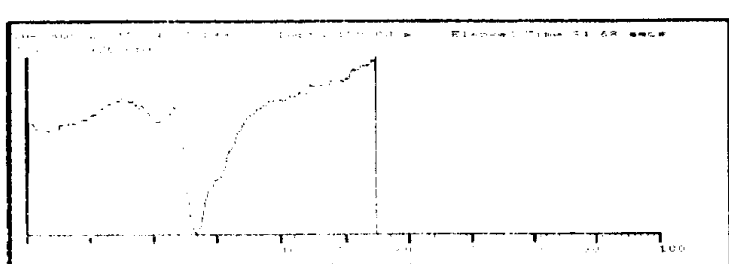
166.4 m.



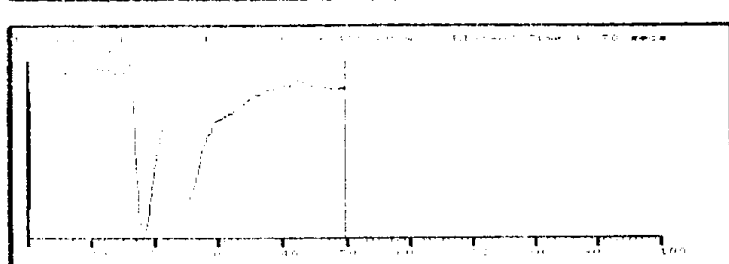
166.4 m.



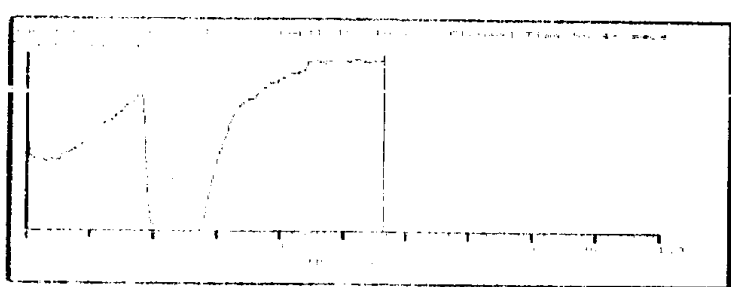
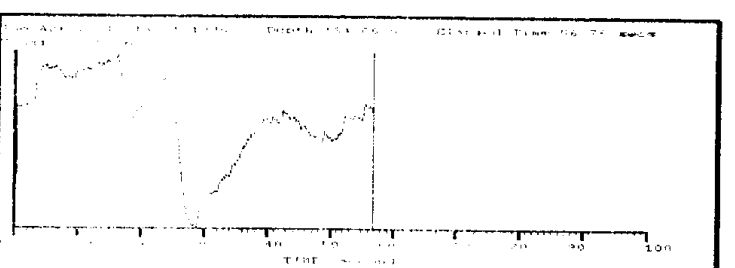
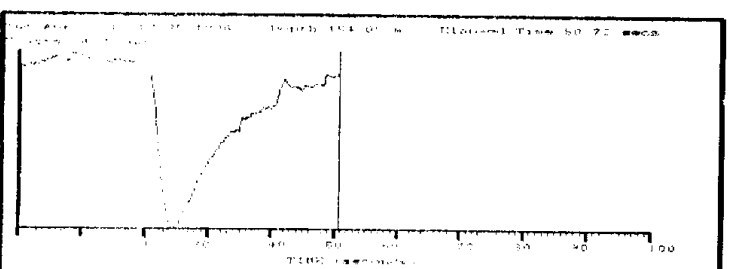
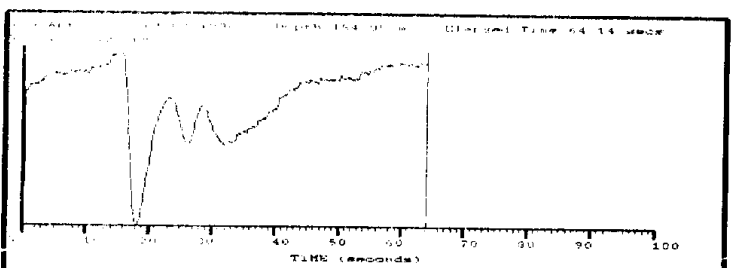
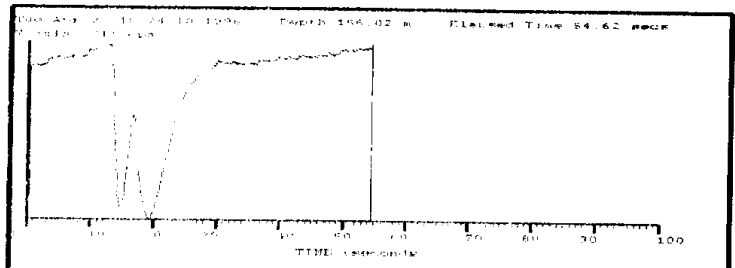
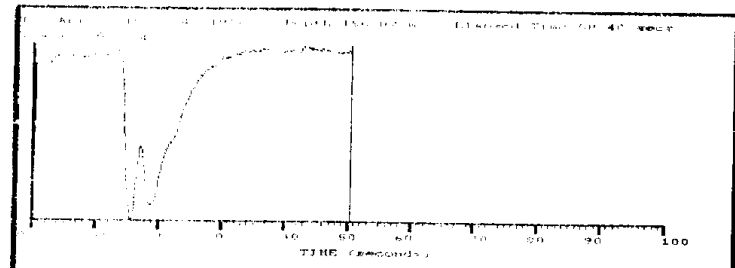
158 m.

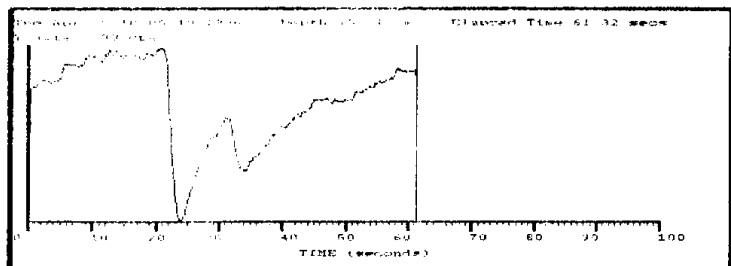


158 m.

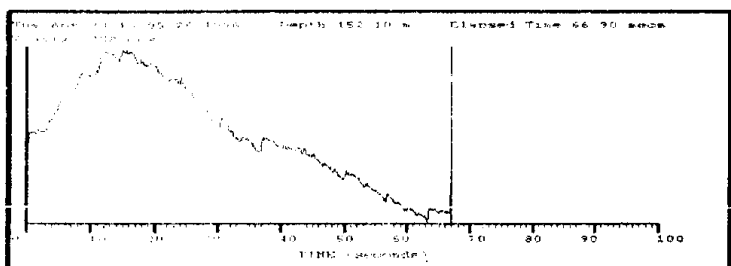


158 m.

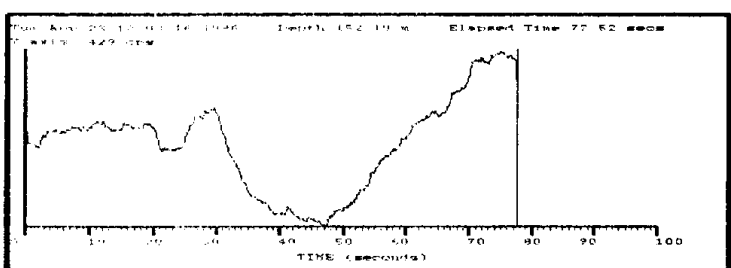




152 m.



152 m.

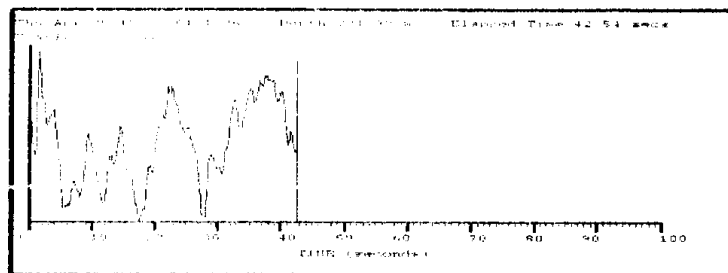


152 m.

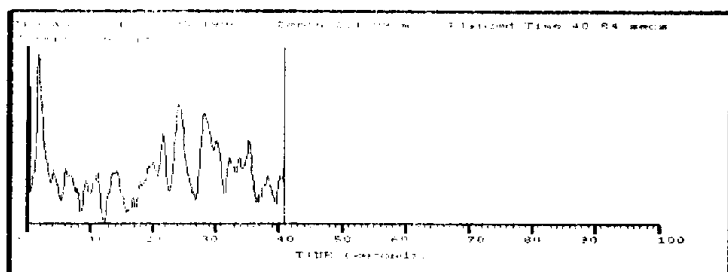
Sondeo      **485 Bi**

Fecha      25-04-96

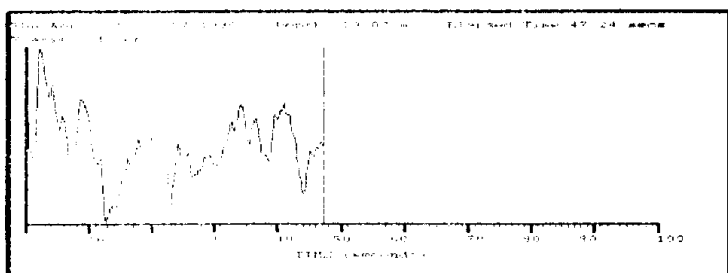
Hora      12:30--15:25



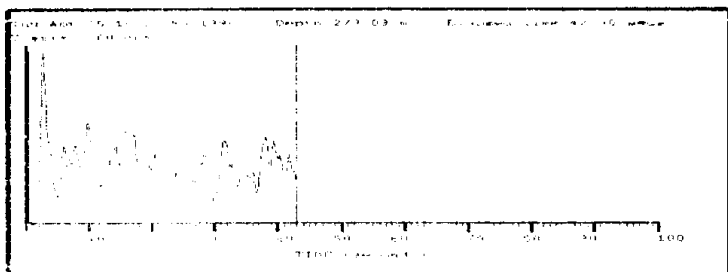
282 m.



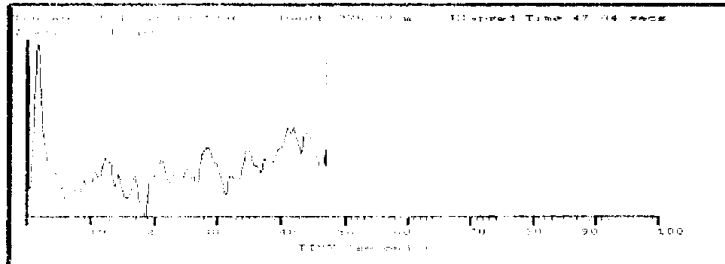
282 m.



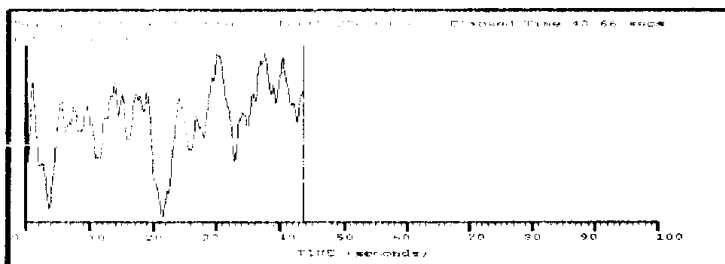
279 m.



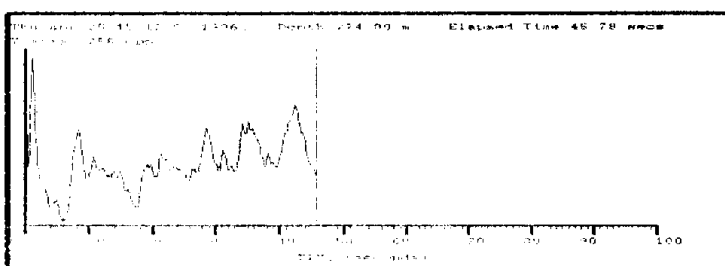
279 m.



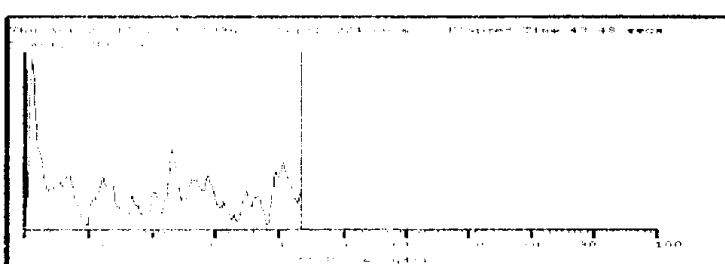
276 m.



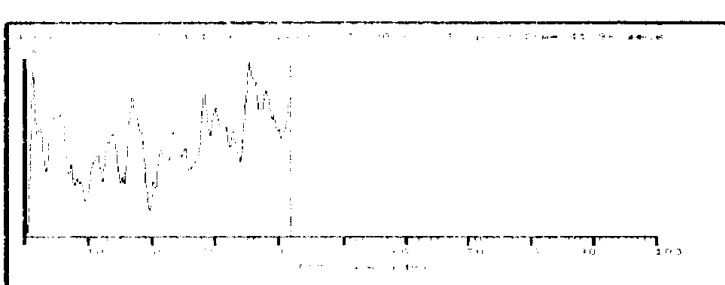
276 m.



274 m.

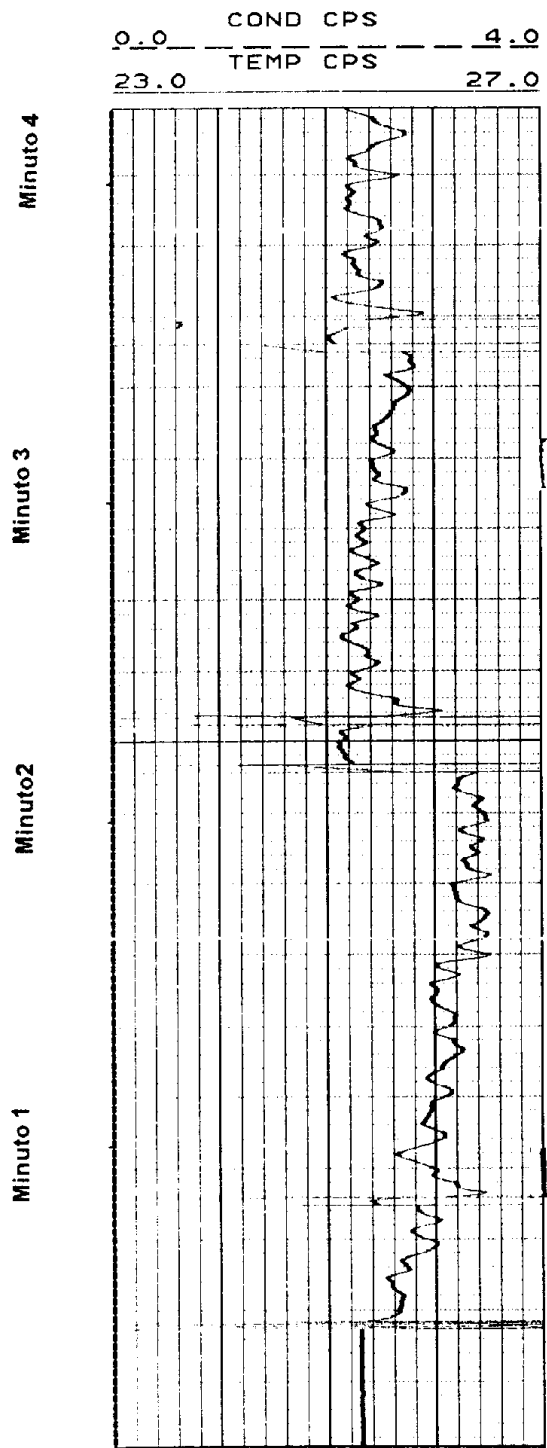


274 m.



272 m.

184 m.



Pulso de calor

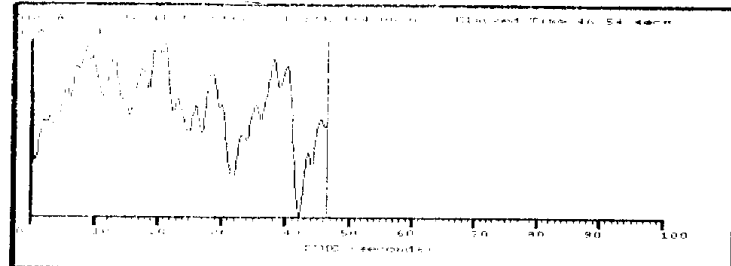
Compensación

Pulso de calor

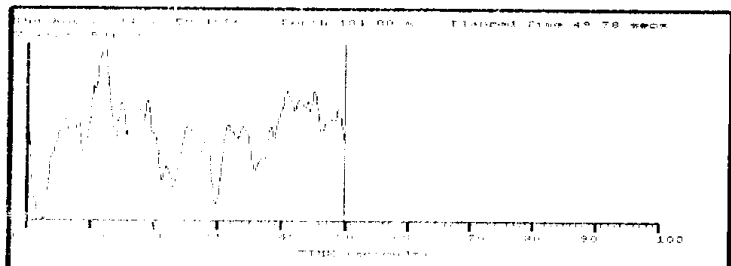
Compensación

Pulso de calor

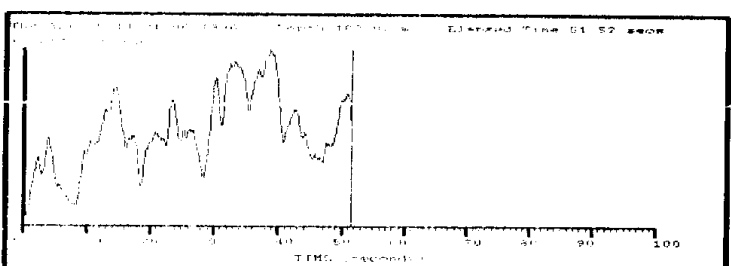
Compensación



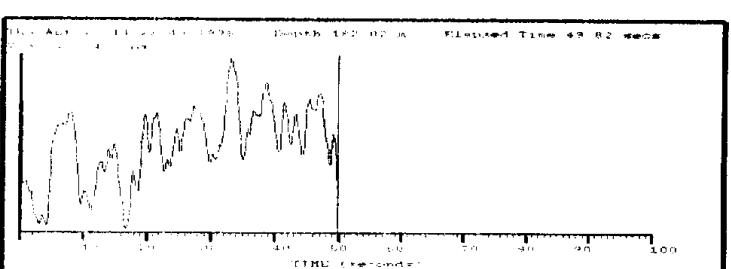
184 m.



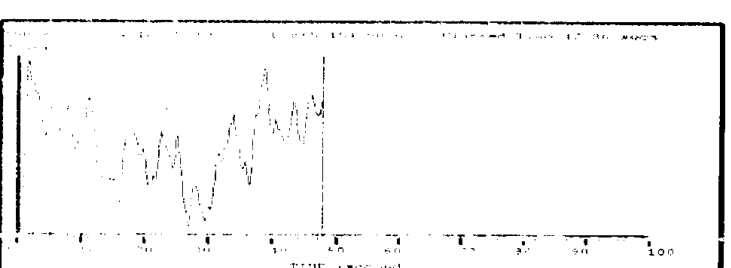
184 m.



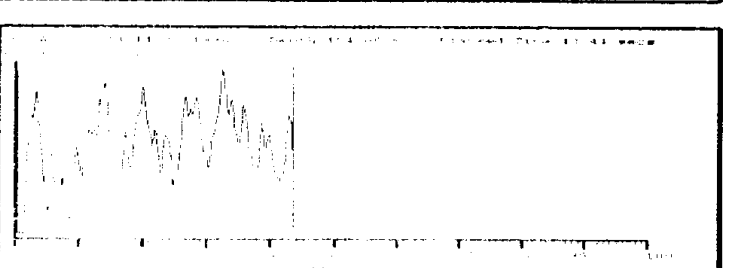
184 m.



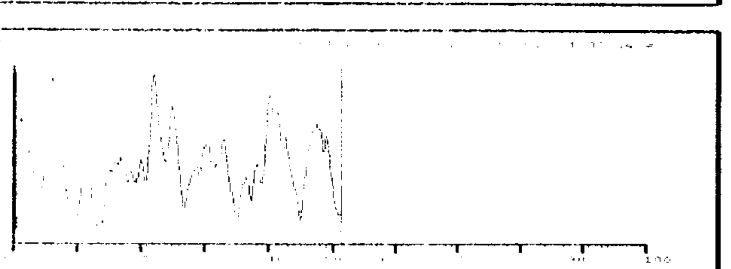
182 m.



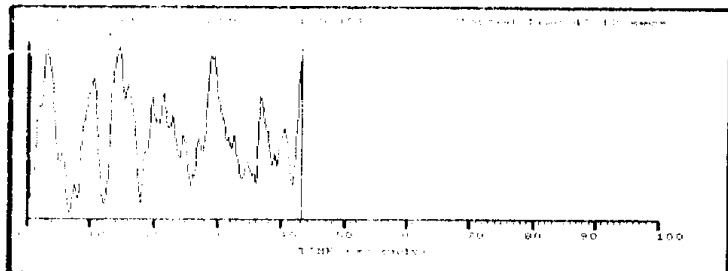
154 m.



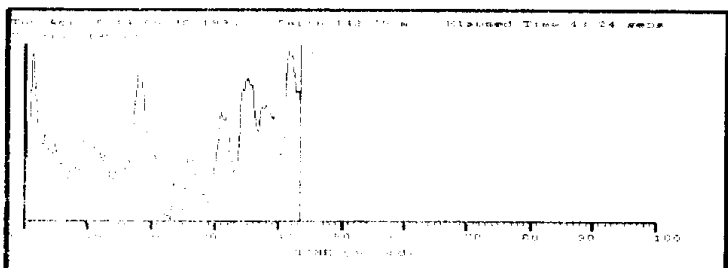
154 m.



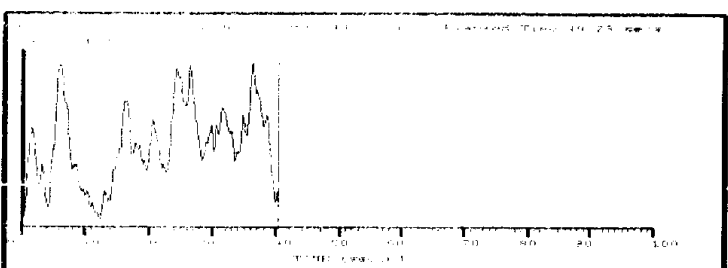
151 m.



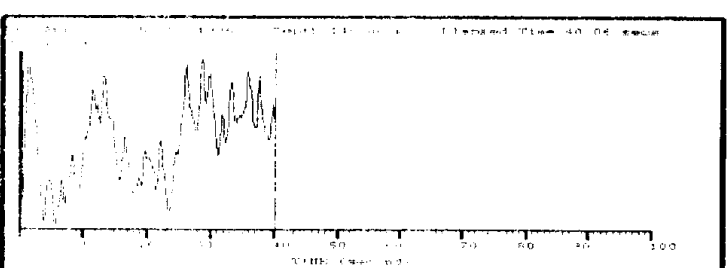
151 m.



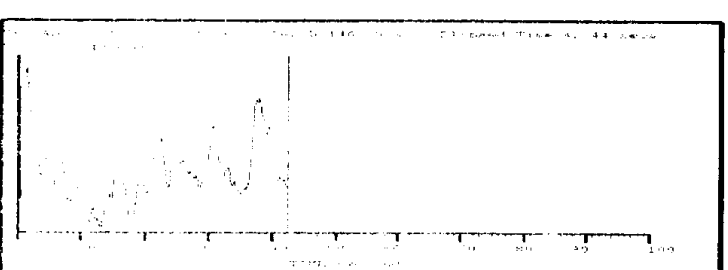
148 m.



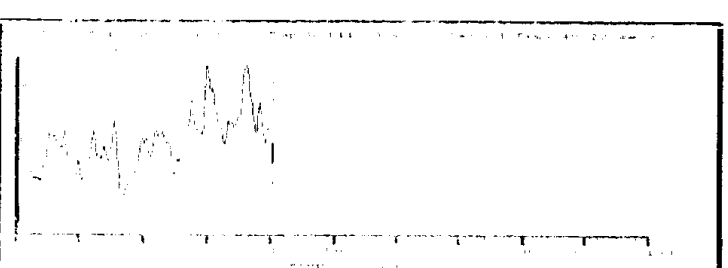
148 m.



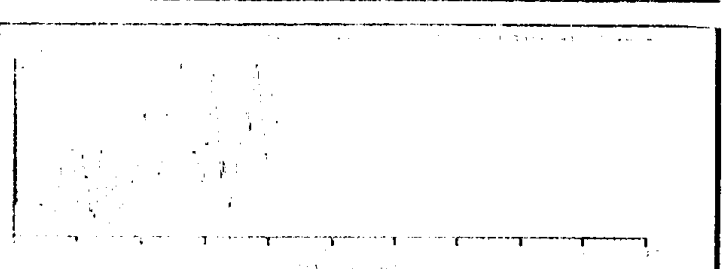
146 m.



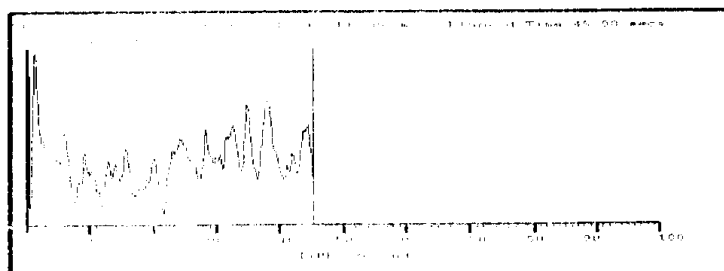
144 m.



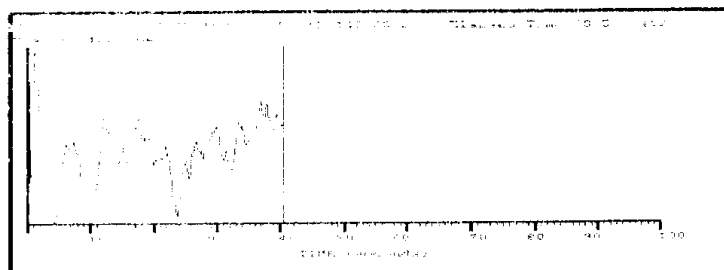
144 m.



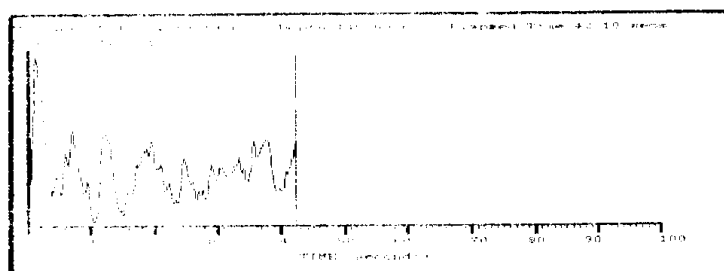
144 m.



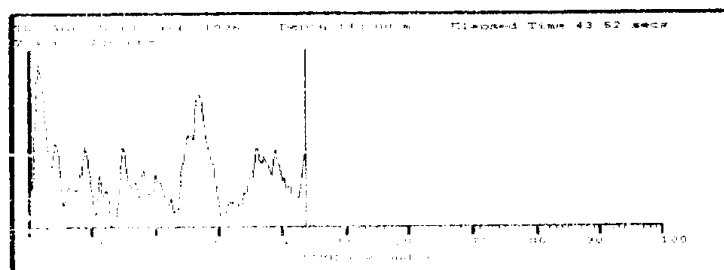
142 m.



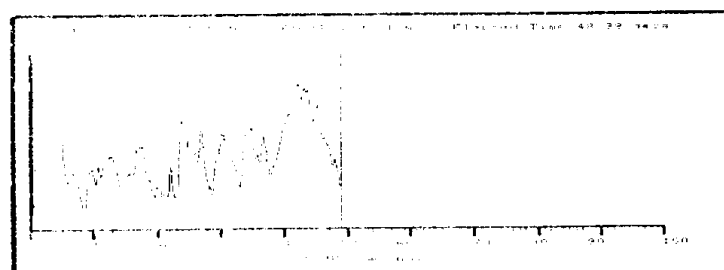
142 m.



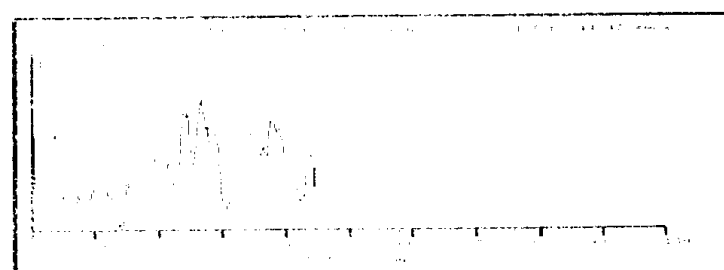
140 m.



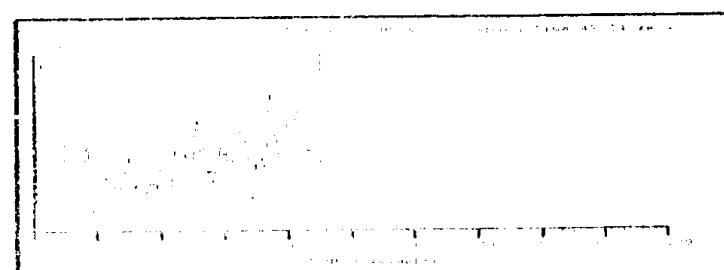
140 m.



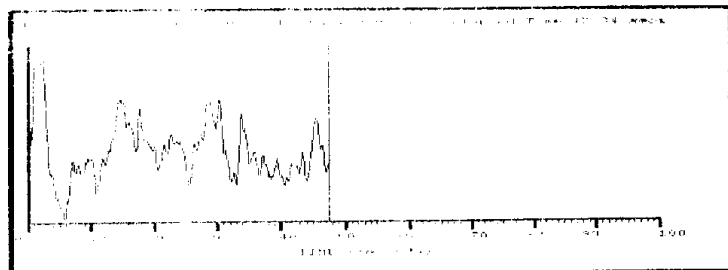
130m.



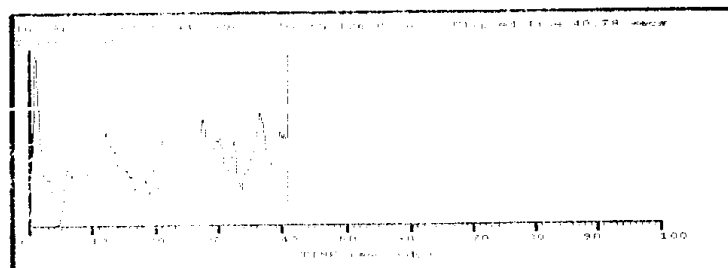
130 m.



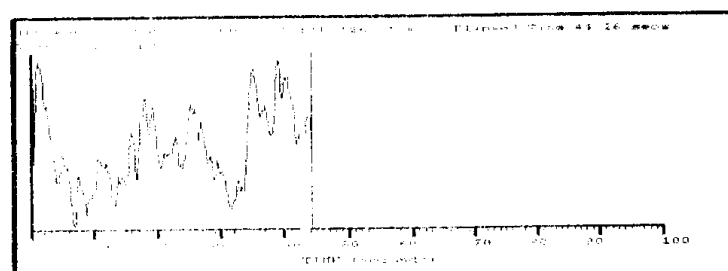
128 m.



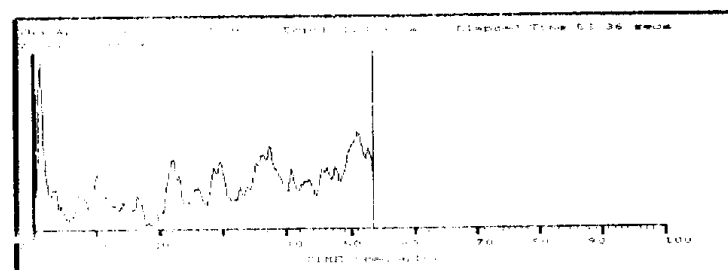
128 m.



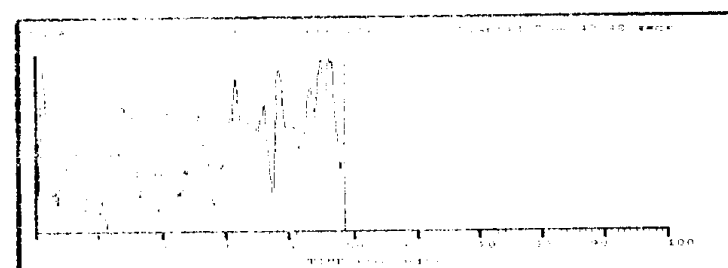
126 m.



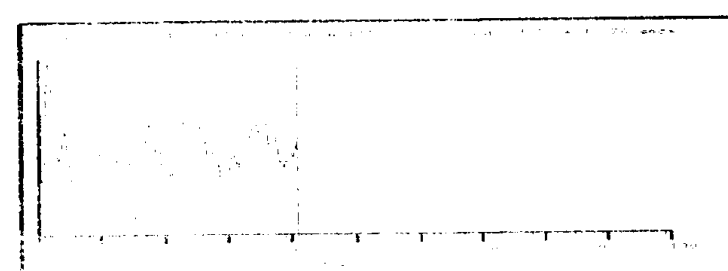
126 m.



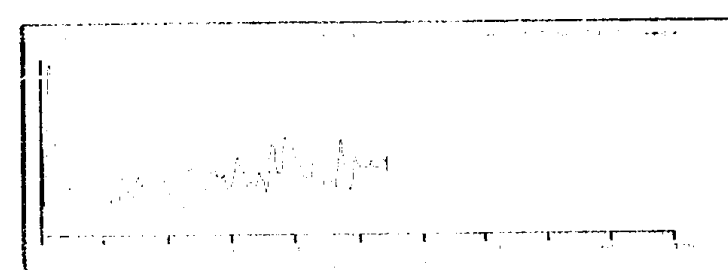
124 m.



124 m.



122 m.

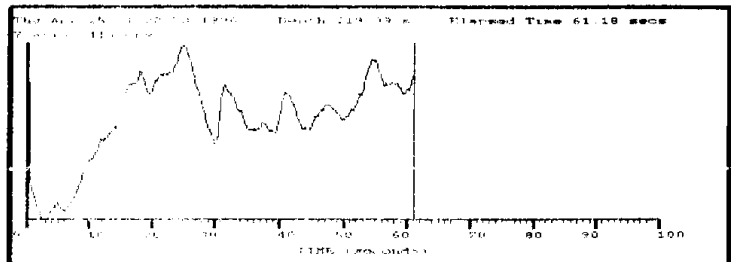


122 m.

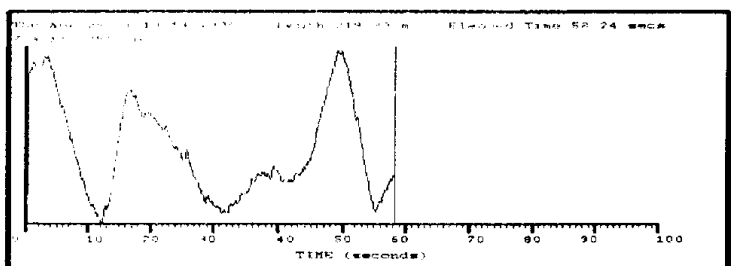
Sondeo    **508 Bj**

Fecha      25-05-96

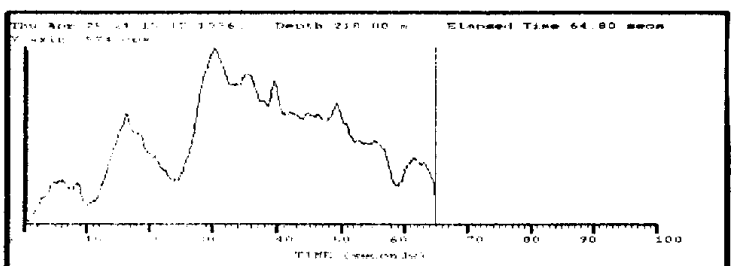
Hora        19:00--21:12



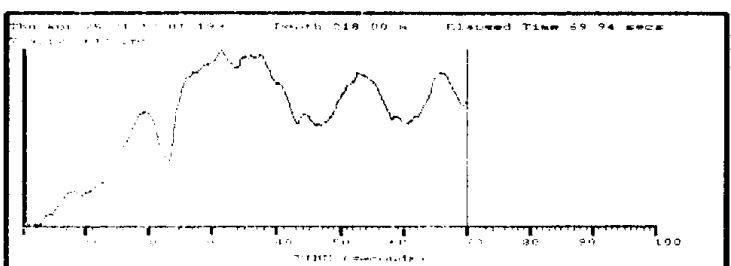
220 m.



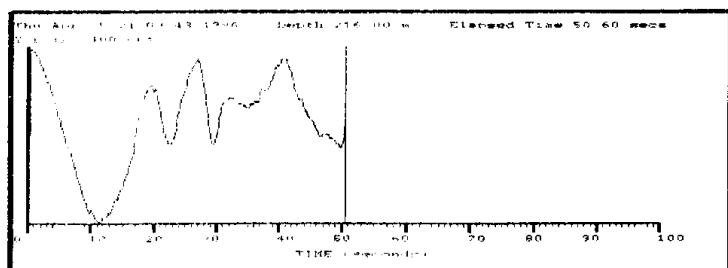
220 m.



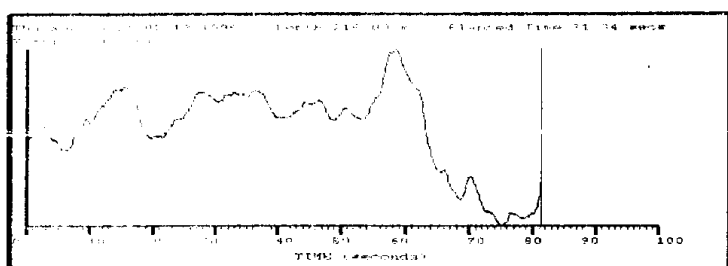
218 m.



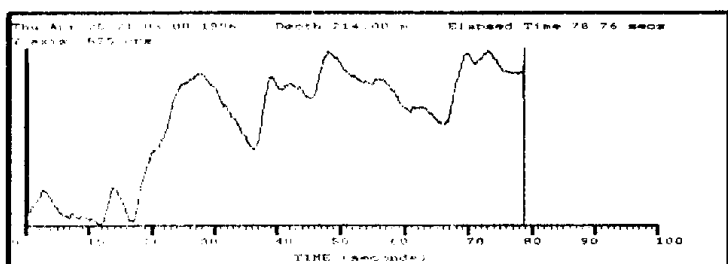
218 m.



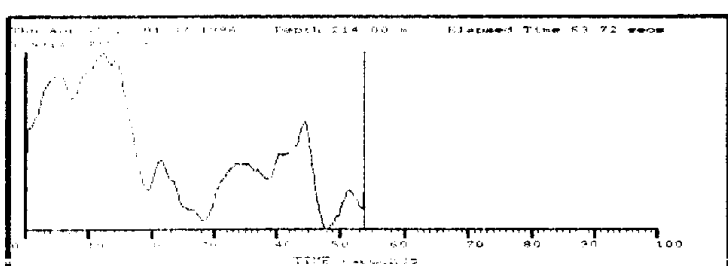
216 m.



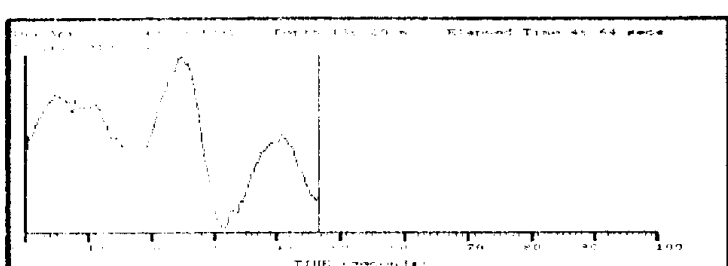
216 m.



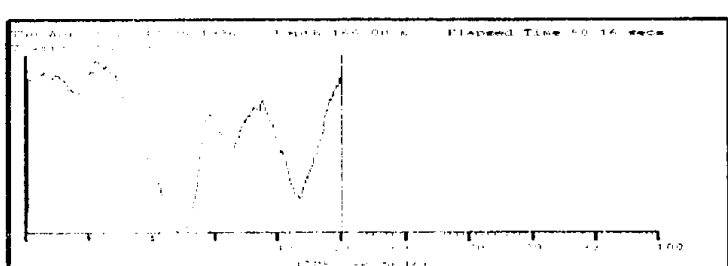
214 m.



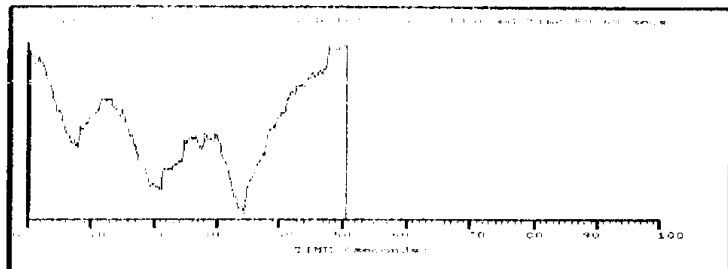
214 m.



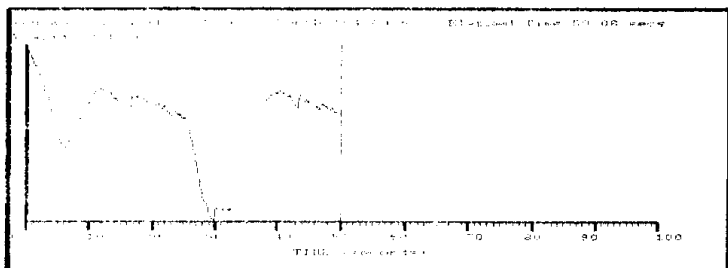
166 m.



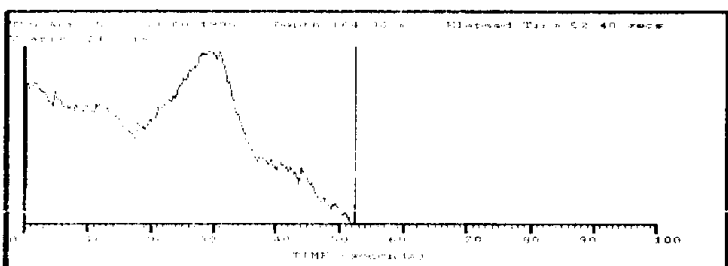
166 m.



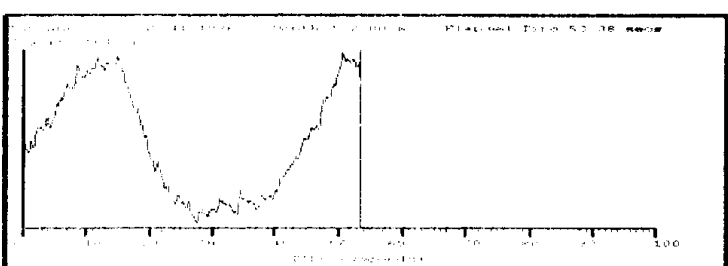
164 m.



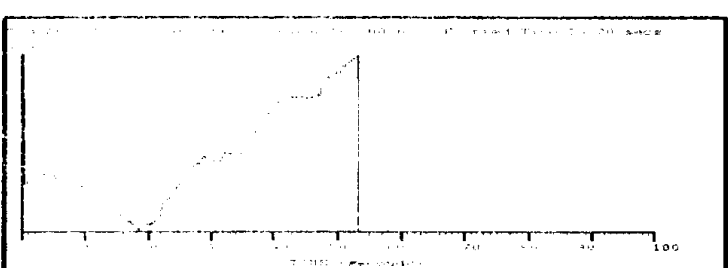
164 m.



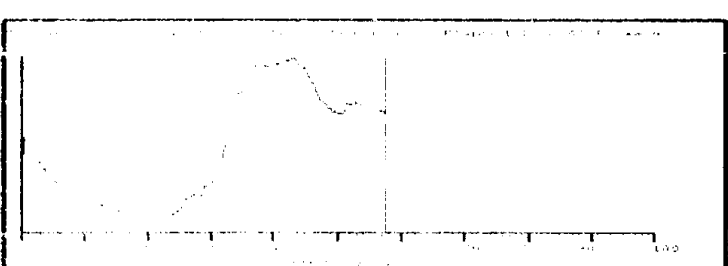
164 m.



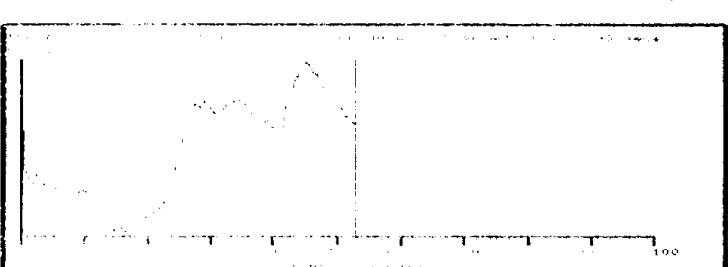
162 m.



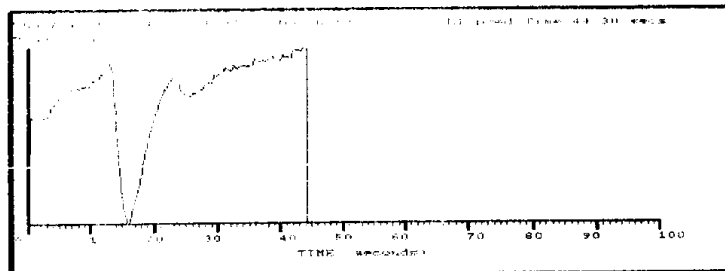
162 m.



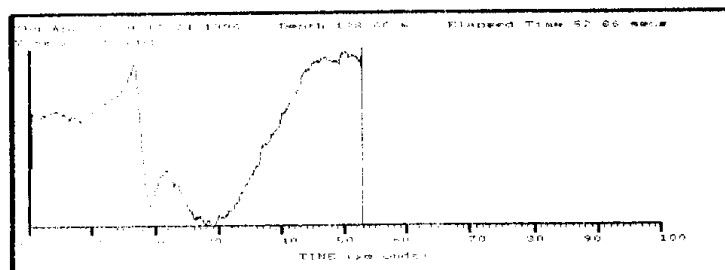
160 m.



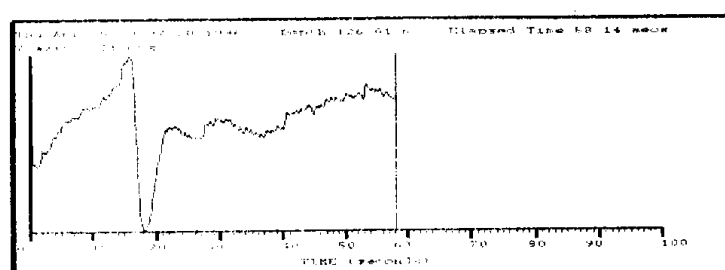
160 m.



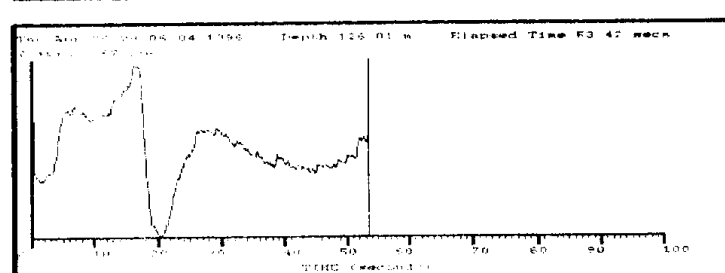
128 m.



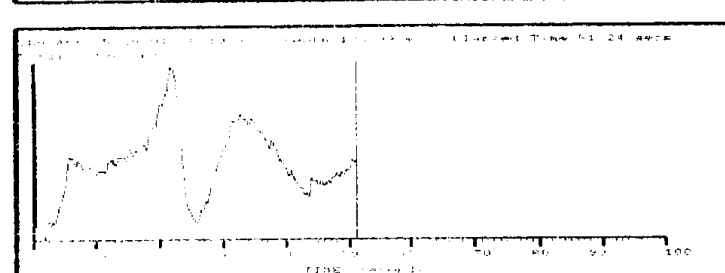
128 m.



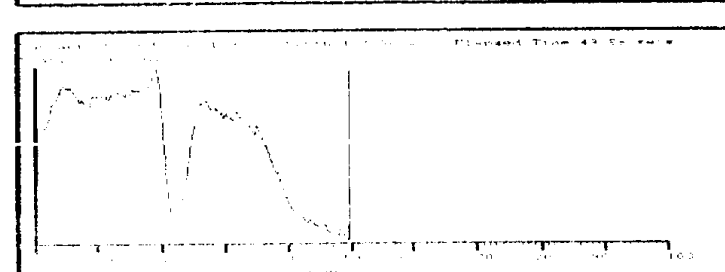
126 m.



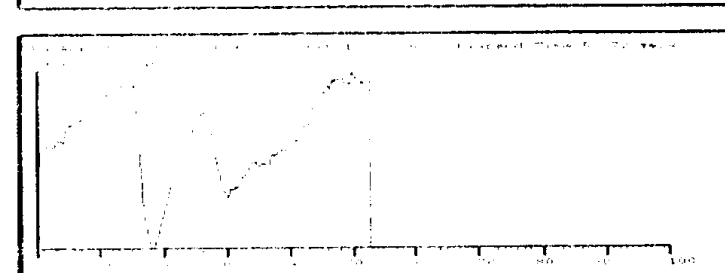
126 m.



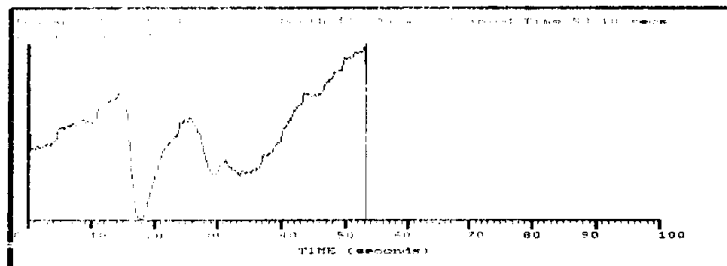
124 m.



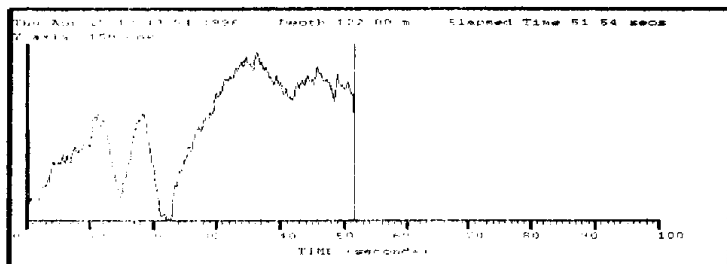
124 m.



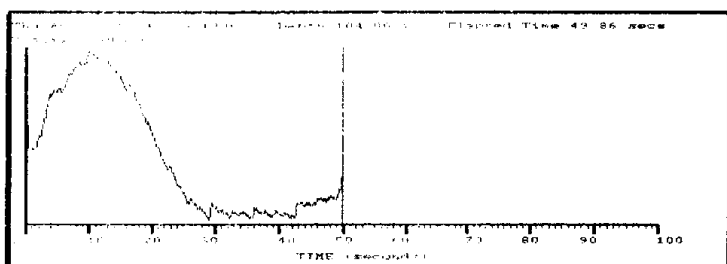
122 m.



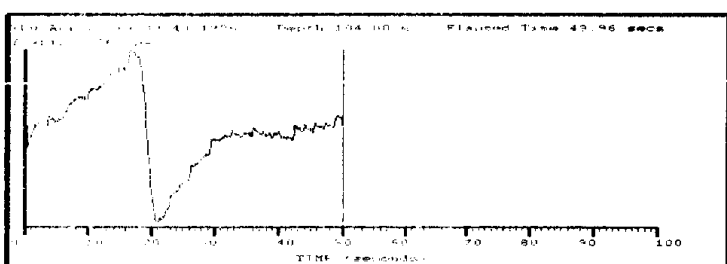
122 m.



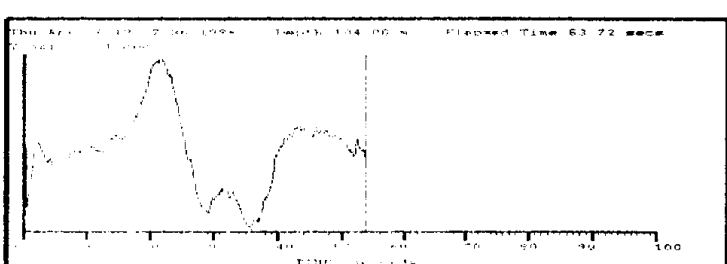
122 m.



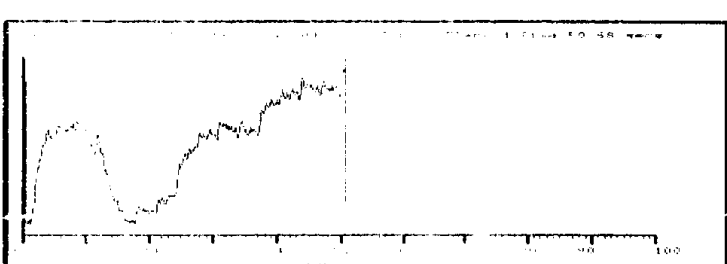
104 m.



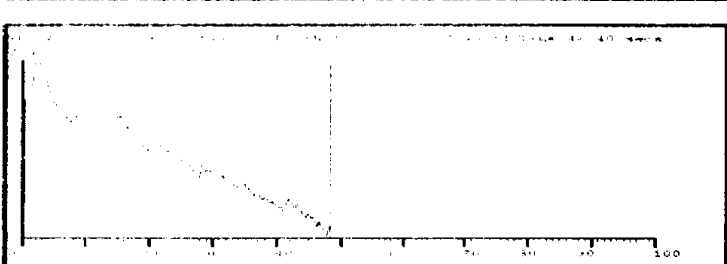
104 m.



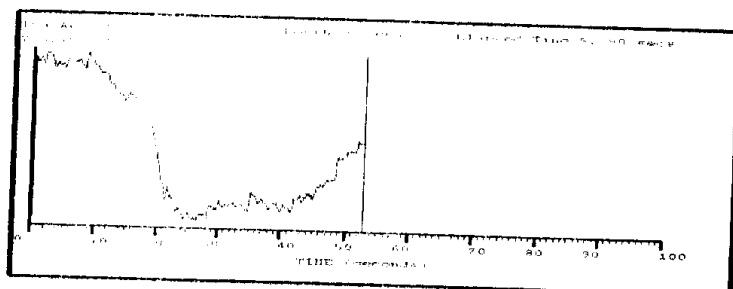
104 m.



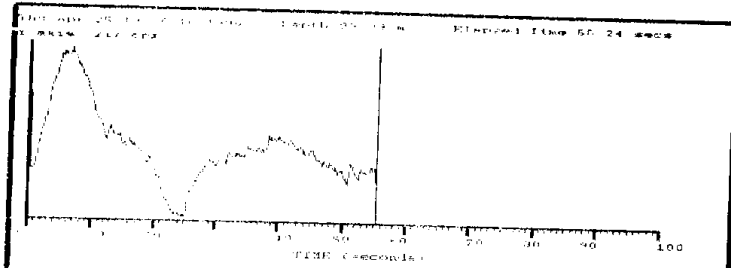
102 m.



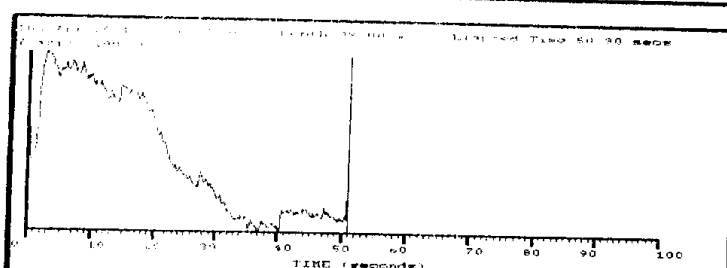
102 m.



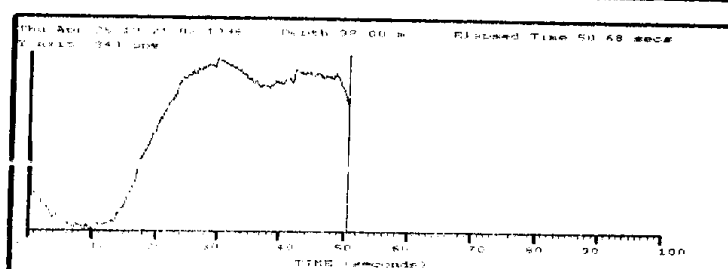
100 m.



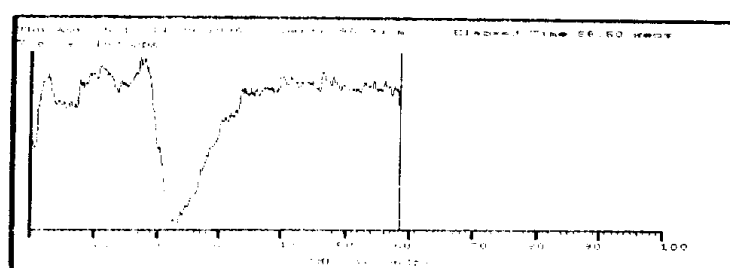
100 m.



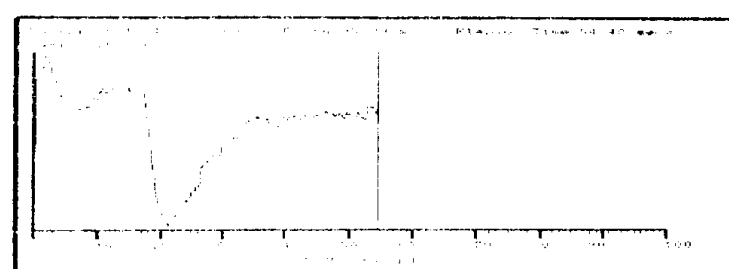
98 m.



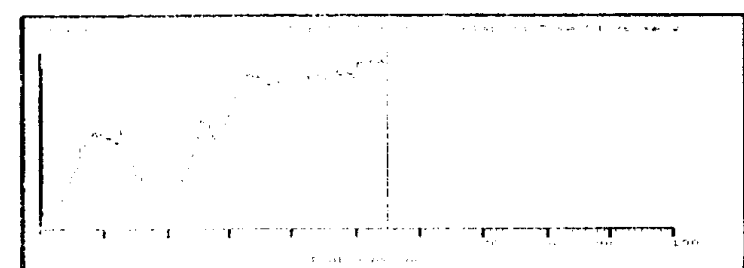
98 m.



96 m.



96 m.



96 m.

## **A N E X O 5.**

**Cálculo de flujo a partir de las medidas de la sonda Heat-pulse**

Las tablas adjuntas han sido calculadas como sigue:

- La columna de tiempos (2<sup>a</sup> por la izquierda) corresponde al intervalo temporal transcurrido entre el instante de emisión del pulso de calor y el de su recepción por algunos de los dos sensores, según los registros de los sondeos adjuntados en el Informe (Anexo 4).

Eventualmente, la columna de tiempos puede indicar «<1», cuando el flujo en el pozo es más rápido que el rango de medida de la sonda o «NO» cuando dicho flujo es inexistente, inapreciable o el registro no es de calidad aceptable.

- La columna 3<sup>a</sup> por la izquierda alude al sentido ascendente (A) o descendente (D) del flujo, discriminados estos de acuerdo a los perfiles de calibración en movimiento (Anexo 3.1) o estáticos (Anexo 3.2)

- Las velocidades (columna 4<sup>a</sup>) se calculan según la expresión:  $V_{\text{flujo}} = d/t$

donde «d» es un valor fijo ( 5 cm. separación entre emisor y sensores en la sonda) y «t» el tiempo, expresado en minutos.

- La 5<sup>a</sup> columna corresponde a la corrección de las velocidades anteriores, afectando a estas de un factor calculado a partir de los valores de calibración de la sonda, los cuales pueden obtenerse en la Figura 6 (del apartado 2.2.2) del Informe, de forma aproximada, ajustando una recta.

Los factores son dos y se han estimado de forma aproximada, dependiendo del sentido del movimiento de la sonda y sus valores son:

- \* Flujo Ascendente: 1'25
- \* Flujo Descendente: 2'85

- La 6<sup>a</sup> columna se ha obtenido multiplicando la velocidad corregida por la sección del sondeo, resultando la medida de caudal en cada punto, en m<sup>3</sup> por minuto.

**SONDEO 43 Vc**

Diámetro: 200 mm

Profundidad (m)	Tiempos (segs)	Flujo Asc./Desc. (A/D)	Velocidad (m/min)	Veloc. corregida (m/min)	Caudal (m <sup>3</sup> /min)
74	No	-	-	-	-
76	13	A	0,23	0,29	0,009
78	27	D	0,11	0,32	0,010
80	17	D	0,18	0,50	0,016
84	13	A	0,23	0,29	0,009
86	12	A	0,25	0,31	0,010
88	7	A	0,43	0,54	0,017
90	14	A	0,21	0,27	0,008
96	5	A	0,60	0,75	0,024
98	24	A	0,13	0,16	0,005
98,6	17	D	0,18	0,50	0,016
99,1	13	D	0,23	0,66	0,021
100,2	8,5	A	0,35	0,44	0,014
102,4	11	A	0,27	0,34	0,011
130	8	D	0,38	1,07	0,034
132	7	A	0,43	0,54	0,017
140	7	D	0,43	1,22	0,038
142	5	D	0,60	1,71	0,054
150	9	D	0,33	0,95	0,030
152	14	D	0,21	0,61	0,019
162	<1	D	>3	>8,5	>0,27

**SONDEO 252 Rm**

**Diámetro: 500 mm**

Profundidad (m)	Tiempos (seg.)	Flujo Asc./Desc. (A/D)	Velocidad (m/min)	Veloc. corregida (m/min)	Caudal (m <sup>3</sup> /min)
156	No	-	-	-	-
158	No	-	-	-	-
160	No	-	-	-	-
162	23	A	0,13	0,16	0,032
165	No	-	-	-	-
171,8	No	-	-	-	-

**SONDEO 227 Rm**

Diámetro: 550 mm

Profundidad (m)	Tiempos (segs)	Flujo Asc./Desc. (A/D)	Velocidad (m/min)	Veloc. corregida (m/min)	Caudal (m <sup>3</sup> /min)
58	No	-	-	-	-
74	18	A	0,17	0,21	0,049
90	25	A	0,12	0,15	0,036
97,4	14	A	0,21	0,27	0,064
109	11	A	0,27	0,34	0,081
130	14	A	0,21	0,27	0,064

**SONDEO 234 Rm**

Diámetro: 420 mm

Profundidad (m)	Tiempos (segs)	Flujo Asc./Desc. (A/D)	Velocidad (m/min)	Veloc. corregida (m/min)	Caudal (m <sup>3</sup> /min)
52	18	D	0,17	0,43	0,054
60	27	A	0,11	0,14	0,017
68	20	A	0,15	0,19	0,024
78	No	-	-	-	-
88	24	A	0,13	0,16	0,020
103	No	-	-	-	-
120	29	A	0,10	0,13	0,016
122	41	A	0,07	0,09	0,011
124	30	A	0,10	0,13	0,016
143	23	A	0,13	0,16	0,020
149	23	A	0,13	0,16	0,006
158	24	A	0,13	0,16	0,006

**SONDEO 40 Vc**

Diámetros 300-400

Profundidad (m)	Tiempos (segs)	Flujo Asc./Desc. (A/D)	Velocidad (m/min)	Veloc. corregida (m/min)	Caudal (m <sup>3</sup> /min)
76	22,5	A	0,13	0,17	0,021
78	23	A	0,13	0,16	0,020
80	21,5	A	0,14	0,17	0,022
84	25	A	0,12	0,15	0,019
86	32	A	0,09	0,12	0,015
88	25	A	0,12	0,15	0,019
110	13	A	0,23	0,29	0,036
112	26	D	0,12	0,33	0,041
114	13	A	0,23	0,29	0,036
116	14	A	0,21	0,27	0,034
136	15	A	0,20	0,25	0,018
138	22	D	0,14	0,39	0,027
140	21	D	0,14	0,41	0,029
142	22	D	0,14	0,39	0,027
144	23	D	0,13	0,37	0,026
152	23	D	0,13	0,37	0,026
154	-	-	-	-	-

**SONDEO 224 Rm**  
**Diámetros 400-219mm**

Profundidad (m)	Tiempos (segos)	Flujo Asc./Desc. (A/D)	Velocidad (m/min)	Veloc. corregida (m/min)	Caudal (m <sup>3</sup> /min)
58	18	A	0,17	0,21	0,026
64	18	A	0,17	0,21	0,026
69	24	A	0,13	0,16	0,020
76	25	A	0,12	0,15	0,019
87	30	A	0,10	0,13	0,016
103	No	A	-	-	-
114	No	A	-	-	-
116	13	D	0,23	0,66	0,083
118	10	A	0,30	0,38	0,047
120	2	A	1,50	1,88	0,236
130	23	A	0,13	0,16	0,006
142,3	42	D	0,07	0,20	0,008
155	29	D	0,10	0,29	0,011

**SONDEO 486 Bj**  
**Diámetro 450 mm**

Profundidad (m)	Tiempos (segs)	Flujo Asc./Desc. (A/D)	Velocidad (m/min)	Veloc. corregida (m/min)	Caudal (m <sup>3</sup> /min)
110	1,5	D	2,00	5,70	0,907
112	1,5	D	2,00	5,70	0,907
114	1,5	D	2,00	5,70	0,907
122	2	D	1,50	4,28	0,680
124	1,5	D	2,00	5,70	0,907
134	2	D	1,50	4,28	0,680
136	3	D	1,00	2,85	0,453
138	5	D	0,60	1,71	0,272
140	3	D	1,00	2,85	0,453
149	4	D	0,75	2,14	0,340
151	4	D	0,75	2,14	0,340
170	8	D	0,38	1,07	0,170
172	10	D	0,30	0,86	0,136
175	11	D	0,27	0,78	0,124
180	14	D	0,21	0,61	0,097
182	13	D	0,23	0,66	0,105
184	13	D	0,23	0,66	0,105
186	13	D	0,23	0,66	0,105

**SONDEO 485 Bj**

Diámetros: 350-400mm

Profundidad (m)	Tiempos (seg)	Flujo Asc./Desc. (A/D)	Velocidad (m/min)	Veloc. corregida (m/min)	Caudal (m <sup>3</sup> /min)
122	<1	D	>3	>8,5	>1,074
124	<1	D	>3	>8,5	>1,074
126	<1	D	>3	>8,5	>1,074
128	<1	D	>3	>8,5	>1,074
130	<1	D	>3	>8,5	>1,074
140	<1	D	>3	>8,5	>1,074
142	<1	D	>3	>8,5	>1,074
144	<1	D	>3	>8,5	>1,074
146	<1	D	>3	>8,5	>1,074
148	<1	D	>3	>8,5	>1,074
151	<1	D	>3	>8,5	>1,074
154	<1	D	>3	>8,5	>1,074
182	1,5	D	2	5,70	0,716
184	1	D	3	6,55	1,074
272	<1	D	>3	>8,5	>0,823
274	<1	D	>3	>8,5	>0,823
276	<1	D	>3	>8,5	>0,823
279	1,5	D	2	5,70	0,548
282	1,5	D	2	5,70	0,548

**SONDEO 253 Rm**

Diámetro: 540mm

Profundidad (m)	Tiempos (segs)	Flujo Asc./Desc. (A/D)	Velocidad (m/min)	Veloc. corregida (m/min)	Caudal (m <sup>3</sup> /min)
152	21	A	0,14	0,18	0,041
254	28	A	0,11	0,13	0,031
256	14	A	0,21	0,27	0,061
158	16	A	0,19	0,23	0,054
166,4	28	A	0,11	0,13	0,031
168	23	A	0,13	0,16	0,037
170	22	A	0,14	0,17	0,039
172	18	A	0,17	0,21	0,048
174	20	A	0,15	0,19	0,043
220	19	A	0,16	0,20	0,045
222	16	A	0,19	0,23	0,054
224	17	A	0,18	0,22	0,051

**SONDEO 508 Bj**

Diámetro: 292 mm

Profundidad (m)	Tiempos (seg)	Flujo Asc./Desc. (A/D)	Velocidad (m/min)	Veloc. corregida (m/min)	Caudal (m <sup>3</sup> /min)
96	17	A	0,18	0,22	0,015
98	20	A	0,15	0,19	0,013
100	19	A	0,16	0,20	0,013
102	12	A	0,25	0,31	0,021
104	18	A	0,17	0,21	0,014
122	15	A	0,20	0,25	0,017
124	19	A	0,16	0,20	0,013
126	17	A	0,18	0,22	0,015
128	14	A	0,21	0,27	0,018
160	<1	D	>3	>8,5	>0,57
162	<1	D	<3	>8,5	>0,57
164	<1	D	>3	>8,5	>0,57
166	<1	D	>3	>8,5	>0,57
214	<1	D	>3	>8,5	>0,57
216	<1	D	>3	>8,5	>0,57
218	<1	D	>3	>8,5	>0,57
220	<1	D	>3	>8,5	>0,57

**SONDEO 265 Rm**  
**Diámetros 338-156 mm**

Profundidad (m)	Tiempos (segs)	Flujo Asc./Desc. (A/D)	Velocidad (m/min)	Veloc. corregida (m/min)	Caudal (m <sup>3</sup> /min)
54	37	A	0,08	0,10	0,009
70	28	A	0,11	0,13	0,012
90	NO	-	-	-	-
105	20	A	0,15	0,19	0,004
120	NO	-	-	-	-
130	NO	-	-	-	-
140	NO	-	-	-	-
146	24	A	0,13	0,16	0,003
151	40	A	0,08	0,09	0,002
160	NO	-	-	-	-
174	17	A	0,18	0,22	0,004
205	23	A	0,13	0,16	0,003
240	37	A	0,08	0,10	0,002
280	20	A	0,15	0,19	0,004
332	NO	-	-	-	-
343,9	16	A	0,19	0,23	0,004
355	10	A	0,30	0,38	0,007
364	2,5	A	1,20	1,50	0,029
408	<1	A	>3	-	-
440	<1	A	>3	-	-
480	14	A	0,21	0,27	0,005
508	32	A	0,09	0,12	0,002